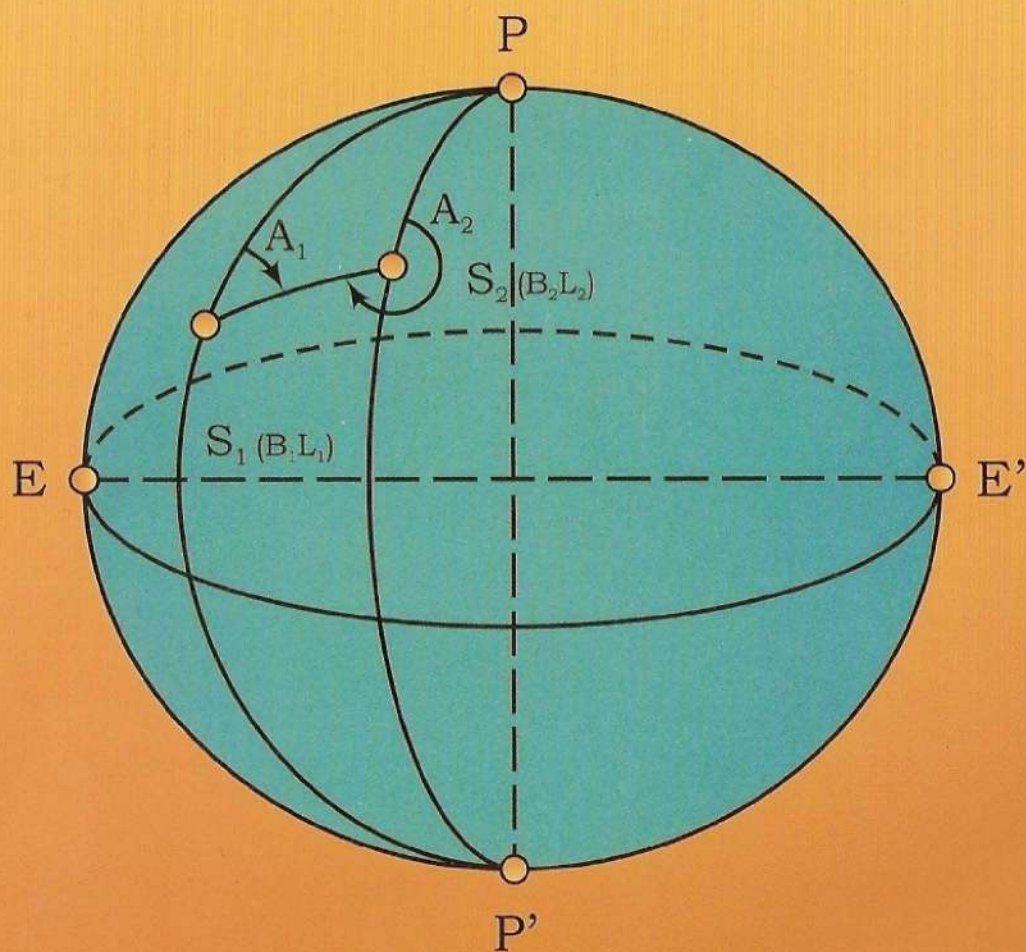


II 12.048

MIRCEA ORTELECAN

GEODEZIE



ACADEMICPRES

CLUJ-NAPOCA

2006

II 12.048

Conf.univ.dr.ing.Mircea ORTELECAN

GEODEZIE



EDITURA ACADEMICPRES
CLUJ-NAPOCA
2006

© Copyright 2006

Toate drepturile rezervate. Nici o parte din această lucrare nu poate fi reprodusă sub nici o formă, prin nici un mijloc mecanic sau electronic, sau stocată într-o bază de date, fără acordul prealabil, în scris, al editurii.



Colegiu editorial:

Director editură – Prof. dr. Doru Pamfil

Consilier editorial – Prof. dr. Radu Sestraș

Referenți științifici ai lucrării:

Prof. Univ. dr. Nicolae Dima – Universitatea din Petroșani

Prof. Univ. dr. Octavian Herbei – Universitatea din Petroșani

Copertă: Ionuț Gotea

Editura AcademicPres

- Universitatea de Științe Agricole și Medicină Veterinară Cluj-Napoca

Calea Mănăstur, nr.3, 3400 Cluj-Napoca

Tel. 0264-596384

Fax. 0264-593792

E-mail: cap@usamvcluj.ro

Universitatea de Științe
Agricole din Cluj-Napoca
BIBLIOTECA CENTRALĂ
Nr. Inv. 165077

PREFATA

Lucrarea de față este destinată în primul rând studenților care studiază disciplinele geodezice și poate fi utilă tuturor specialiștilor care activează în domeniul măsurătorilor terestre. În scopul completării cunoștințelor de specialitate, în perioada actuală, studierea Pământului a devenit o necesitate importantă pentru nevoia și dorința omului de a face noi descoperiri în domeniul măsurătorilor terestre.

Avantajul informatizării și tehnologizării acestui domeniu deschide o perspectivă mai largă pentru o mai bună înțelegere a mediului înconjurător.

Lucrarea nu cuprinde tratarea întregului domeniu al Geodeziei și nici toate implicațiile de natură tehnică, aplicativă pe care le presupune, dar oferă cititorului baza necesară pentru abordarea unor probleme cu caracter general care să permită înțelegerea noțiunilor, metodelor și principiilor absolut necesare pentru formarea pregătirii de specialitate a unui inginer geodez.

Lucrarea este structurată în 7 capitole și anexe:

- Geodezie elipsoidală;
- Rezolvarea triunghiurilor geodezice pe suprafața elipsoidului de referință;
- Probleme geodezice de bază;
- Rețele geodezice;
- Rezolvarea rețelelor de triangulație prin metoda măsurătorilor indirecte;
- Rezolvarea rețelelor de triangulație prin metoda măsurătorilor condiționate;
- Nivelmentul geodezic.

Prin conținutul său lucrarea are menirea de a clarifica elemente fundamentale cu care se operează în cadrul disciplinelor geodezice, reprezentând o sinteză a cunoștințelor din domeniul geodeziei fizice și matematice, a poziționării planimetrice și altimetrice cât și a prelucrării observațiilor geodezice.

Structura lucrării este astfel concepută încât să îndeplinească, pe de o parte solicitările legate de buna desfășurare a procesului de învățământ, iar pe de altă parte oferă cititorului baza necesară pentru abordarea unor probleme care depășesc prin amploare și dificultate cadrul limitat al prelegerilor universitare.

Lucrarea completează cunoștințele dobândite în cadrul cursului de topografie și pune bazele teoretice necesare cursurilor de cartografie matematică și geodezie satelitară, contribuind în acest mod la o pregătire pe un spectru larg al specialiștilor în măsurători terestre și cadastrale.

Prof.univ.dr.ing. Nicolae DIMA
Universitatea din Petroșani

Prof.univ.dr.ing. Octavian HERBEI
Universitatea din Petroșani

INTRODUCERE

Geodezia, este știința care se ocupă cu studiul metodelor, precise, de măsurare și determinare a formei și dimensiunilor întregului glob pământesc, precum și cu fixarea și determinarea pe acesta a unor rețele de puncte, uniform și omogen distribuite.

După Helmert(1843-1917) (citad de Ghițău), "Geodezia este știința măsurării și reprezentării suprafeței Pământului", definiție disputată și în final unanim acceptată. O serie de alte definiții ale geodeziei se regăsesc în [12] și [13].

Scopul practic cel mai important al geodeziei este determinarea, prin măsurători, a poziției unui număr suficient de puncte geodezice, care permit să definească, cu precizie, figura unui continent sau a unei țări.

Geodezia, cu elementele care le determină, stă la baza tuturor operațiilor topografice și fotogrammetrice, necesare întocmirii și redactării planurilor și hărților, utilizate la eloborarea proiectelor obiectivelor industriale și civile.

Potrivit conținutului problemelor de care se ocupă, geodezia se împarte în:

- **geodezia fizică**—studiază câmpul gravitației și figura pământului, necesare pentru definirea unor suprafețe de referință și a sistemelor de coordonate;
- **geodezia elipsoidală** — studiază suprafața elipsoidului, ca suprafață matematică, precum și metodele de rezolvare a problemelor geodezice pe suprafața elipsoidului de referință;
- **geodezia geometrică clasică sau poziționarea geodezică (triangulația geodezică)** — se ocupă cu proiectarea și materializarea în teren a rețelelor

geodezice, cu metodele și instrumentele folosite la efectuarea observațiilor în rețele geodezice, precum și cu prelucrarea observațiilor efectuate în rețele;

- **astronomia geodezică de poziție** - are ca scop determinarea directă a coordonatelor geografice a punctelor, folosind metodele astronomice;
- **geodezia spațială** - tratează probleme legate de folosirea observațiilor simultane ale sateliților artificiali, dintr-una sau mai multe stații, sau a observațiilor fotografice, laser, Doppler, în scopul determinării parametrilor orbitelor sateliților artificiali, determinării coordonatelor stațiilor într-un sistem unic de coordonate, determinarea figurii, formei și a câmpului gravitic terestru etc.

Datorită spațiului restrâns afectat geodeziei, prin planul de învățământ pentru Colegiul de Cadastru agricol, din multitudinea problemelor de care se ocupă geodezia vor fi abordate câteva probleme de geodezie fizică și elipsoidală, insistând mai mult asupra poziționării planimetrice și altimetrice a punctelor geodezice.

Problemele de trilateratii, geodezie tridimensională geodezie satelitară și astronomie geodezică, care nu se regăsesc în acest volum vor face obiectul unei alte lucrări.

Trebuie menționat faptul că în dezvoltarea ei, geodezia clasică a reușit, ca în preajma celui de-al doilea război mondial, să acopere suprafața uscatului cu rețele de triangulație, în scopuri științifice, economice și militare. Astfel fiecare țară și-a dezvoltat o rețea de triangulație, cu un anumit punct fundamental, în care se determină latitudinea și longitudinea prin metode astronomice, dar și azimutul unei direcții pentru orientarea rețelei. În punctul fundamental se consideră că elipsoidul este tangent la geoid, iar verticala locului (dată de poziția firului cu plumb) coincide cu normala la elipsoid.

Datorită criteriilor de alegere subiective a elipsoidului

și a sistemului de proiecție adoptat, racordarea triangulațiilor interstatale în general nu era posibilă.

Geodezia clasică nu putea rezolva două probleme de bază: legarea triangulațiilor intercontinentale între ele și a acestora de centrul de masă a Pământului. Aceste probleme au putut fi rezolvate odată cu lansarea primilor sateliți artificiali și respectiv cu perfecționarea Sistemului de poziționare globală G.P.S.

Rezolvarea problemei fundamentale a geodeziei și anume determinarea formei și dimensiunilor Pământului se poate realiza prin următoarele metode:

- metode geometrice, care constau din măsurători de arce de meridian și paralele, măsurători complexe în rețele de triangulație, trilateratii și poligonometrie în scopul deducerii parametrilor de bază care definesc suprafața de referință;
- metode dinamice (fizice) care se ocupă cu determinarea accelerației gravitației și a variației acesteia, în scopul determinării suprafeței de nivel a câmpului gravitațional al pământului;
- metode astrono-geodezice și cu sateliți artificiali ai Pământului, care au ca scop determinarea directă a coordonatelor geografice ale punctelor geodezice și respectiv determinarea coordonatelor geocentrice ale punctelor de stație și ale sateliților.

1. GEODEZIA ELIPSOIDALĂ

1.1. Considerații generale

Geodezia elipsoidală este știința care stabilește parametri geometrici și ecuațiile parametriche ale elipsoidului de referință (suprafața matematică cu ajutorul căreia se asimilează suprafața Pământului) și de asemenea studiază metodele de rezolvare a problemelor geodezice pe suprafața elipsoidului considerat.

Pentru a face legătura cu literatura de specialitate, din alte țări, trebuie menționat că, deși studiază aceleași probleme, geodezia elipsoidală, este întâlnită sub denumirea de *geodezie matematică* (Jordan W. și Eggert O. 1958), *geodezie geometrică* (Heiskanen W. și Moritz H. 1967) și *geodezie sferoidală* (Zakarov 1976).



Fig.1.1. Secțiune prin suprafața topografică

Din punct de vedere geometric, suprafața fizică a Pământului (fig.1.1.) este neregulată. și se numește suprafața

topografică. Pe această suprafață se execută toate măsurătorile geodezice care, în vederea calculelor și a reprezentării suprafeței pe planul de proiecție, se reduc la suprafața elipsoidului de referință.

Având în vedere că 2/3 din suprafața Pământului este acoperită de ape, iar cota medie a uscatului este de aproximativ 700 m, neglijabilă în raport cu raza Pământului (6371 km), forma generală a Pământului este dată de suprafața apelor oceanelor și mărilor, în stare liniștită, prelungită imaginar pe sub continente. Această suprafață poartă numele de geoid (denumire introdusă de I.B.Lising în 1873) și reprezintă suprafața de nivel zero, față de care se determină înălțimile punctelor.

Geoidul reprezintă o suprafață de nivel care are proprietatea că în orice punct al său direcția forței de greutate, dată de firul cu plumb, este perpendiculară pe această suprafață. Deoarece, direcțiile forței de greutate depind și de acțiunea atracției maselor dispuse neregulat în interiorul Pământului, rezultă, că din punct de vedere geometric, forma suprafeței geoidului este foarte complicată și nu poate fi considerată ca o suprafață matematică pe care să se execute diferite calcule în vederea rezolvării unor probleme geodezice.

Neputând fi exprimată printr-o relație matematică, s-a căutat ca suprafața geoidului să fie substituită cu o altă suprafață mai simplă și cât mai apropiată de ea.

Pe baza cercetărilor teoretice și a prelucrării datelor obținute prin măsurători astrono-geodezice, s-a constatat că cea mai apropiată figură matematică de geoid este elipsoidul de rotație.

Pe baza măsurătorilor graduale, executate în vederea determinării elipsoidului Krasovski, s-a constatat că Pământul este de fapt un elipsoid triaxial, care are, pe lângă turtirea de la pol, o turtire la ecuator, la longitudinea vestică de 15.4° . Acest

lucru face ca ecuatorul să nu mai fie un cerc ci, o elipsă care are între semiaxe sale o diferență de $69,5 \pm 0.8\text{m}$.

Utilizarea elipsoidului triaxial ar complica foarte mult calculele geodezice și cartografice, motiv pentru care Pământul este considerat un elipsoid biaxial. Pentru lucrările geodezice pe suprafețe mici, în vederea simplificării calculelor, Pământul poate fi aproximat cu o sferă de rază medie.

În (fig.1.1) sunt prezentate cele trei suprafețe amintite mai sus: suprafața topografică, geoidul și elipsoidul. Se constată că, în zona mărilor și oceanelor elipsoidul se situează deasupra geoidului, iar în zona uscatului se găsește sub geoid.

Se constată, de asemenea că, într-un punct "A" situat pe suprafața topografică, verticala locului, dată de direcția firului cu plumb, diferă de normala la elipsoid, aspect cunoscut sub denumirea de abatere de la verticală a normalei.

1.2. Elipsoidul de rotație

Pentru necesitățile geodezice și cartografice curente, geoidul este aproximat cu elipsoidul de rotație, a cărui axă mică este paralelă cu axa de rotație a Pământului, iar centrul său geometric în apropierea centrului de masă a Pământului.

Acest elipsoid este denumit elipsoid de referință și este utilizat la un moment dat pentru rezolvarea problemelor geodezice.

Măsurătorile efectuate în vederea determinării dimensiunilor unui elipsoid de referință cât mai apropiate de cele ale geoidului, au dat valori în concordanță cu numărul de măsurători și distribuția lor pe suprafața Pământului precum și cu nivelul științei și tehnicii la data respectivă.

După opiniile unor geodezi, nepotrivirile în înălțime dintre geoid și elipsoidul determinat și poziționat în corpul

Pământului poate să ajungă până la 100-150m. Trebuie menționat, că abaterea suprafeței terestre față de geoid este mult mai mare și este dată de cotele absolute ale punctelor suprafeței fizice ale terenului.

Neconcordanțele existente între suprafețele menționate nu pot fi neglijate și de aceea, trebuie să se țină seama de nesuprapunerea acestor suprafețe. Din această cauză, datele măsurate direct pe suprafața topografică vor fi proiectate pe suprafața elipsoidului de referință, prin aplicarea corecțiilor aferente. După proiectarea datelor geodezice (unghiuri, lungimi, diferențe de nivel) pe suprafața de referință se poate face prelucrarea matematică riguroasă, prin care se determină coordonatele unor puncte poziționate pe suprafața topografică, proiectate pe suprafața de referință.

Suprafața de referință care aproximează cel mai bine suprafața geoidului și a cărei axă de rotație coincide cu axa de rotație a Pământului, iar centrul său geometric coincide cu centrul de masă a Pământului se numește elipsoid terestru general. Acest elipsoid are o valoare de principiu, o noțiune teoretică, fiind limita către care tind determinările concrete ale elipsoizilor de referință.

În decursul timpului, diverși geodezi au determinat diferite serii de valori ale dimensiunilor elipsoidului de referință.

În tabelul 1.1 sunt date câteva din rezultatele cele mai importante ale dimensiunilor elipsoizilor de referință.

Tabelul 1.1

Denumirea elipsoidului de referință	Anul	Semiaxa mare "a" (km)	Turtirea "f:"	Perioada de utilizare în România
Bessel	1841	6.377,39715	1:299,1528	1873-1916
Clarke	1880	6.378,243	1:293,465	1916-1930
Hayford	1909	6.378,388	1:297,0	1930-1951

Krasovski	1940	6.378,245	1:298,3	1951-
WGS 84	1984	6.378,137	1:298,2572	1992-

1.2.1.Scopul și importanța elipsoidului de referință

După cum este cunoscut toate măsurătorile geodezice și topografice se efectuează pe suprafața fizică topografică a Pământului cu care ia contact în mod direct.

Prelucrarea acestor măsurători urmărește în principal determinarea pe suprafața terestră a unor puncte geodezice de sprijin de prim ordin (ordinul I) pe suportul cărora urmează a se determina punctele de ordinul II, III, IV, V și în continuare punctele de detalii necesare la întocmirea planurilor topografice.

Metodele de prelucrare aplicate în determinarea punctelor geodezice sunt: triangulația, trilateratia, și poligonometria sau combinații între acestea, care se vor studia ulterior.

Pentru punctele geodezice de ordinul I, măsurătorile efectuate pe suprafața topografică se raportează la suprafața elipsoidului de referință, iar pe aceasta din urmă se vor efectua calculele necesare.

În unele cazuri de precizie mai mică, suprafața elipsoidului se va putea înlocui, pentru prelucrarea măsurătorilor și cu suprafața unei sfere de rază medie.

Rezultă că suprafața elipsoidului de referință este utilizată în stabilirea rețelelor geodezice de sprijin, față de care se dezvoltă lucrările geodezice ulterioare într-un sistem unitar și omogen.

Calculele necesare pentru determinarea punctelor geodezice de ordinul II – V se efectuează pe o suprafață plană.

Fiind realizată o rețea de puncte geodezice, care ia în considerare forma curbă a Pământului, există o bază științifică de redactare a planurilor topografice, deci de ridicare cu precizie a suprafețelor de orice mărime. De asemenea, ridicările geodezice de precizie sunt importante și în diferite studii inginerești, la proiectarea diferitelor obiective și la aplicarea lor în teren.

1.3.Sisteme de coordonate utilizate în geodezie

Sistemele de coordonate utilizate în geodezie se clasifică după mai multe criterii, prezentate pe larg în [10].

După Gițau [12], acestea se clasifică în sisteme naturale și convenționale, care la rândul lor se împart în sisteme globale și sisteme locale.

1.3.1.Sistemul de coordonate naturale

Sistemele naturale exprimă modalitatea de definire a coordonatelor în raport de mărimi naturale, iar pe de altă parte indică legătura dintre acestea și procesele de măsurare.

1.3.1.1.Sistemul cartezian geocentric

Sistemul natural global geocentric are originea în centrul de masă a Pământului, axa Z pe direcția axei de rotație a Pământului, axa X pe direcția meridianului astronomic Greenwich, iar axa Y spre est (fig.1.2).

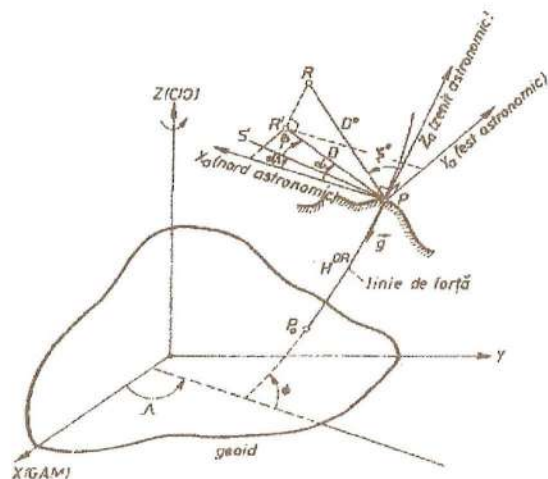


Fig.1.2. Sisteme de coordonate naturale

De menționat că direcția axei Z se mai notează cu CIO (Conventional International Origin) și definește poziția medie a polului pentru perioada 1900-1905.

Axa X este situată pe direcția meridianului astronomic mediu al punctului Greenwich, motiv pentru care se mai notează cu GAM.

Un punct "P" situat pe suprafața fizică a Pământului este determinat prin coordonatele carteziane geocentrice X, Y, Z sau diferențe de asemenea coordonate, obținute pe baza măsurătorilor satelitare din sistemul GPS, Glonass și în perspectivă Galileo.

Același punct poate fi determinat prin coordonatele astronomice " Φ " și " Λ ", completate cu altitudinea ortometrică " H^{OR} ". Aceste coordonate se numesc coordonate astronomice globale, deși " H^{OR} " nu este dedusă prin metode astronomice.

Prin " Φ " s-a notat *latitudinea astronomică* și reprezintă unghiul format de verticala ce trece prin punctul "P" cu planul ecuatorial.

Prin " Λ " s-a notat *longitudinea astronomică* și reprezintă unghiul diedru format de meridianul astronomic ce trece prin Greenwich cu meridianul astronomic al punctului "P".

H^{OR} - reprezintă înălțimea pe verticală dintre proiecția pe geoid a punctului "P" (P_0) și punctul "P" situat pe suprafața topografică (fig.1.2.).

Coordonatele astronomice " Φ " și " Λ " determină poziția verticalei în punctul considerat, iar prin calarea teodolitelor în punctele de stație se aduce axa principată a acestora în poziție verticală, încadrând astfel observațiile geodezice în sistemul natural de referință.

1.3.1.2. Sistemul astronomic local

În sistemul local (topocentric), originea coordonatelor se găsește în punctul de stație considerat "P". Sistemul se caracterizează prin:

- Dispunerea axei " Z_a " după tangenta la linia de forță, către zenitul astronomic.
- Poziționarea planului $X_a Y_a$ perpendicular pe direcția gravitației, considerent pe baza căruia este denumit și plan orizontal.
- Axa " X_a " este situată în meridianul astronomic al punctului considerat, cu sensul pozitiv pe direcția nord, iar axa " Y_a " este îndreptată pe direcția estului astronomic.

În raport cu topocentru poziția oricărui punct învecinat "R" poate fi exprimată prin coordonatele carteziane

astronomice locale X_{aR}, Y_{aR}, Z_{aR} , care se pot calcula din măsurătorile geodezice:

- D^0 - distanța înclinată dintre cele două puncte;
- α - azimutul astronomic, care este unghiul format de direcția nordului astronomic cu direcția PR;
- ζ^0 - unghiul zenital, format între verticala locului și direcția de viză PR.

cu relația:

$$\begin{pmatrix} X_{aR} \\ Y_{aR} \\ Z_{aR} \end{pmatrix} = D^0 \begin{pmatrix} \cos \alpha \sin \zeta^0 \\ \sin \alpha \sin \zeta^0 \\ \cos \zeta^0 \end{pmatrix} \quad (1.1)$$

1.3.2. Sistemul de coordonate convenționale

Aceste sisteme, se definesc în raport cu elipsoidul de referință pe care se proiectează rețelele geodezice de sprijin, de ordin superior. Dacă sistemul natural de coordonate se raportează la procesele de măsurare, sistemul convențional de coordonate se raportează la procesele de calcul.

1.3.2.1. Sistemul global elipsoidal

Sistemul global elipsoidal are originea \bar{O} , în centrul elipsoidului de referință, centru situat în apropierea centrului de greutate a Pământului. Axele sistemului global elipsoidal au anumite unghiuri de rotire ($\varepsilon_{\bar{X}}, \varepsilon_{\bar{Y}}, \varepsilon_{\bar{Z}}$), față de axele sistemului global geocentric.

Poziționarea sistemului global elipsoidal în interiorul sistemului global geocentric constituie una din problemele fundamentale ale geodeziei.

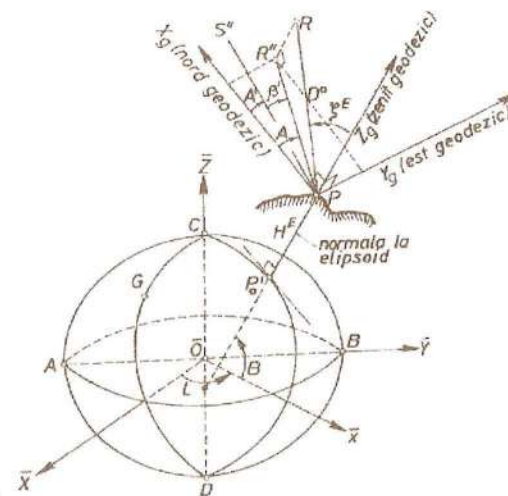


Fig.1.3. Sisteme de coordonate convenționale

Poziția unui punct "P", situat pe suprafața fizică a Pământului poate fi definit prin coordonatele carteziene $\bar{X}, \bar{Y}, \bar{Z}$, în raport cu originea \bar{O} (fig.1.3).

Poziția aceluiași punct poate fi definită prin coordonatele globale elipsoidale "B", "L", "H^E", în care:

- Latitudinea geodezică "B" este unghiul format de normala la elipsoid dusă din punctul "P" cu planul ecuatorial elipsoidal.
- Longitudinea geodezică "L" este unghiul diedru format de meridianul Greenwich cu meridianul punctului "P".

- Altitudinea elipsoidală " H^E " este înălțimea pe normală între punctul "P" și proiecția lui pe elipsoid " P'_0 ".

De menționat că în unele tratate coordonatele geodezice "B", "L" se notează cu " φ ", " λ " și se numesc coordonate geografice geodezice.

1.3.2.2. Sistemul elipsoidal local

Prin analogie cu sistemul astronomic local se poate defini sistemul elipsoidal local (fig.1.3), în care punctul de stație "P" este originea sistemului, iar direcția pozitivă a axelor de coordonate se prezintă după cum urmează:

- Axa " Z_g " este orientată după normala la elipsoid dusă din punctul considerat "P", către zenitul geodezic;
- axa " X_g " este situată în meridianul geodezic al punctului "P", orientată spre nordul geodezic;
- axa " Y_g " este orientată spre estul geodezic.

Poziția unui punct "R" poate fi definită prin coordonatele elipsoidale polare locale D^0 , A , ζ^E , în care:

- D^0 – distanța măsurată înclinată;
- A – azimutul geodezic;
- ζ^E – unghiul zenital elipsoidal.

De asemenea poziția punctului "R" poate fi definită prin coordonatele rectangulare locale X_{gR} , Y_{gR} , Z_{gR} . Intre cele două sisteme de coordonate se pot scrie relații de forma (1.1).

1.4. Parametri elipsoidului de referință

Considerând suprafața elipsoidului de referință ca suprafață a unui elipsoid de rotație, ce rezultă prin rotirea unei

GEODEZIE

elipse meridiane în jurul axei mici, atunci ecuația elipsei meridian situată în planul xoz (fig.1.4) este dată de cunoscuta relație:

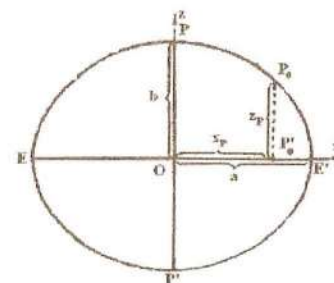


Fig.1.4. Elipsa meridian

$$\frac{x^2}{a^2} + \frac{z^2}{b^2} = 1 \quad (1.2)$$

în care:

- a – semiaxa mare a elipsoidului (ecuatorială);
- b – semiaxa mică a elipsoidului (polară).

În consecință, elipsoidul de rotație poate fi definit, geometric, prin minim doi parametri, dintre care, în mod obligatoriu, unul este liniar. În continuare se vor prezenta parametri geometrici ai elipsoidului de rotație și relațiile derivate necesare în calculele geodezice:

1. a – semiaxa mare (raza ecuatorială);
2. b – semiaxa mică;
3. $f = \frac{a-b}{a}$ – turtirea geometrică;
4. $e = \sqrt{\frac{a^2 - b^2}{a^2}}$ – prima excentricitate;

- 5 $e' = \sqrt{\frac{a^2 - b^2}{b^2}}$ - a doua excentricitate;
6. $E = \sqrt{a^2 + b^2}$ - excentricitatea liniară;
7. $c = \frac{a^2}{b}$ - raza de curbura polară.

Primii trei parametri se numesc parametri geometrici principali, iar pentru definirea elipsoidului de rotație se utilizează, de regulă, semi-axa mare și turtirea geometrică.

Relațiile scrise între parametri geometrici 3,4 și 5 pot avea și alte forme după cum urmează:

$$f = 1 - \frac{b}{a} \Rightarrow 1 - f = \frac{b}{a} \quad (1.3)$$

$$e^2 = 1 - \frac{b^2}{a^2} \Rightarrow 1 - e^2 = \frac{b^2}{a^2} \quad (1.4)$$

$$e'^2 = \frac{a^2}{b^2} - 1 \Rightarrow 1 + e'^2 = \frac{a^2}{b^2} \quad (1.5)$$

Din (1.3) se poate calcula semi-axa mică în funcție de semi-axa mare și turtirea geometrică:

$$b = a(1 - f) \quad (1.6)$$

Din (1.4) și (1.5) rezultă:

$$1 - e^2 = \frac{1}{1 + e'^2} \Rightarrow e^2 = 1 - \frac{1}{1 + e'^2} \Rightarrow e^2 = \frac{e'^2}{1 + e'^2} \quad (1.7)$$

În mod similar se poate scrie:

$$1 + e'^2 = \frac{1}{1 - e^2} \Rightarrow e'^2 = \frac{1}{1 - e^2} - 1 \Rightarrow e'^2 = \frac{e^2}{1 - e^2} \quad (1.8)$$

Din relația (1.3) prin ridicare la pătrat, ținând seama de (1.4) și considerând $f^2 = 0$, se poate scrie:

$$(1 - f)^2 = \frac{b^2}{a^2} \Rightarrow 1 - 2f - f^2 = \frac{b^2}{a^2} \Rightarrow 2f = 1 - \frac{b^2}{a^2} = e^2 \quad (1.9)$$

Din relația (1.9) se calculează turtirea din prima excentricitate:

$$f = \frac{e^2}{2} \quad (1.10)$$

1.5. Ecuațiile parametriche ale elipsoidului de rotație

Raportând elipsoidul de rotație la sistemul de referință ox yz (fig. 1.5) se disting următoarele elemente:

- EE_1 - ecuatorul;
- PGP' - meridianul origine;
- $E'E'_1$ - paralela punctului "M₀";
- \bar{V} - normala la suprafața elipsoidului în punctul "M₀";
- \bar{T}_m - tangenta în "M₀" la curba neridiană;
- \bar{T}_p - tangenta în "M₀" la paralelă.

Poziția punctului "M₀" poate fi stabilită prin coordonatele rectangulare XYZ, sau prin coordonatele geografice elipsoidale B, L.

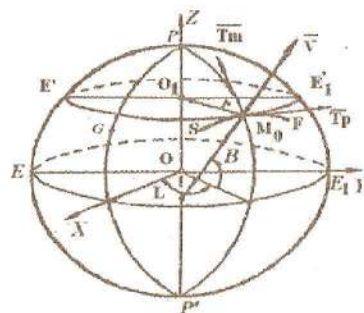


Fig. 1.5. Elipsoidul de rotație

Sub formă implicită, ecuația unui elipsoid biaxial de rotație este dată de relația:

$$\frac{X^2 + Y^2}{a^2} + \frac{Z^2}{b^2} = 1 \quad (1.11)$$

În mod frecvent, în geodezia elipsoidală se operează cu ecuațiile parametrice.

A stabili ecuațiile parametrice ale elipsoidului de referință înseamnă a stabili o corespondență între cele două sisteme de coordonate, de forma:

$$\begin{aligned} X &= f_1(B, L) \\ Y &= f_2(B, L) \\ Z &= f_3(B) \end{aligned} \quad (1.12)$$

În acest scop considerăm elipsa meridiană ce trece prin punctul "M₀". de coordonate curente x, z care verifică ecuația:

$$\frac{x^2}{a^2} + \frac{z^2}{b^2} = 1 \quad (1.13)$$

Diferențiind ecuația (1.13) se obține:

$$\frac{2xdx}{a^2} + \frac{2zdz}{b^2} = 0 \quad (1.14)$$

Fie un punct "M'₀" situat la distanța elementară față de punctul "M₀" (fig.1.6). Acestui punct îi corespund față de punctul "M₀" creșterile în coordonate - dx și dz.

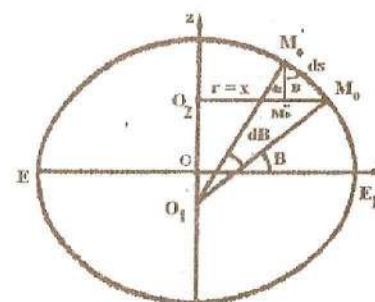


Fig. 1.6. Ecuațiile parametrice ale elipsei meridian

Creșterea coordonatei "x" a punctului "M₀" este negativă pentru faptul că, la o creștere a latitudinii "B" odată cu deplasarea punctului din "M₀" în "M'₀" distanța O₂M₀ scade.

În triunghiul dreptunghic elementar $M_0M'_0M'_0$ se poate considera arcul $M_0M'_0$ ca fiind un element liniar și în consecință putem scrie:

$$-\frac{dx}{ds} = \sin B; \quad \frac{dz}{ds} = \cos B; \quad (1.15)$$

Dacă se împarte ecuația (1.14) prin $2ds$ și se ia în considerare relația (1.15) se obține:

$$-\frac{x}{a^2} \sin B + \frac{z}{b^2} \cos B = 0 \quad (1.16)$$

Înmulțind (1.16) cu a^2 se obține :

$$-x \sin B + \frac{a^2}{b^2} z \cos B = 0 \quad (1.17)$$

Conform relațiilor (1.5) și (1.8) ecuația (1.17) devine :

$$-x \sin B + \frac{z}{1-e^2} \cos B = 0 \quad (1.18)$$

de unde :

$$z = x(1-e^2) \operatorname{tg} B \quad (1.19)$$

Plecând de la ecuația elipsei meridian (1.13), înmulțind cu a^2 și luând în considerare relațiile (1.5) și (1.8) se obține:

$$x^2 + \frac{z^2}{1-e^2} = a^2 \quad (1.20)$$

Inlocuind în relația (1.20) relația (1.19) se obține:

$$x^2 + x^2(1-e^2) \operatorname{tg}^2 B = a^2 \quad (1.21)$$

Inlocuind tangenta în funcție de sin și cos se obține:

$$x^2 \cos^2 B + x^2 \sin^2 B - x^2 e^2 \sin^2 B = a^2 \cos^2 B \quad (1.22)$$

sau:

$$x^2(1-e^2 \sin^2 B) = a^2 \cos^2 B \quad (1.23)$$

de unde :

$$x = \frac{a \cos B}{\sqrt{1-e^2 \sin^2 B}} \quad (1.24)$$

Înlocuind pe "x" din (1.24) în expresia (1.19) obținem :

$$z = \frac{a(1-e^2) \sin B}{\sqrt{1-e^2 \sin^2 B}} \quad (1.25)$$

Pentru scrierea mai concentrată și pentru ușurarea calculelor practice se utilizează notațiile:

$$\begin{aligned} \sqrt{1-e^2 \sin^2 B} &= W \\ \sqrt{1+e^2 \cos^2 B} &= V \end{aligned} \quad (1.26)$$

și cu acestea, ecuațiile (1.24) și (1.25) devin

$$\begin{aligned} x &= \frac{a \cos B}{W} \\ z &= \frac{a(1-e^2) \cos B}{W} \end{aligned} \quad (1.27)$$

Expresiile (1.27) reprezintă ecuațiile parametrice ale elipsei meridiene.

Analizând fig. 1.5 se poate scrie :

$$\begin{aligned} X &= x \cos L \\ Y &= x \sin L \\ Z &= z \end{aligned} \quad (1.28)$$

Inlocuind expresiile (1.27) în (1.28) obținem ecuațiile parametrice ale elipsoidului de referință:

$$\begin{aligned} X &= \frac{a \cos B \cos L}{W} \\ Y &= \frac{a \cos B \sin L}{W} \\ Z &= \frac{a(1-e^2) \sin B}{W} \end{aligned} \quad (1.29)$$

Ecuațiile parametrice ale elipsoidului de rotație (1.29) se mai pot exprima în funcție raza polară "c" și funcția auxiliară "V", plecând de la relația (1.26):

$$\begin{aligned} W^2 &= 1 - e^2 \sin^2 B = 1 - \frac{e^2}{1+e^2} (1 - \cos^2 B) = \\ &= \frac{1 + e^2 \cos^2 B}{1+e^2} = (1-e^2) V^2 \end{aligned} \quad (1.30)$$

Introducând relația (1.4) în (1.30) se obține

$$W^2 = \frac{b^2}{a^2} V^2 \quad (1.31)$$

Efectuând radical și inversând relația (1.31) se obține:

$$\frac{1}{W} = \frac{a}{b} \frac{1}{V^2} \quad (1.32)$$

Inmulțind relația (1.32) cu semiaxa mare "a" și ținând seama de expresia razei polare "c" rezultă:

$$\frac{a}{W} = \frac{a^2}{b} \frac{1}{V} = \frac{c}{V} \quad (1.33)$$

În baza egalității (1.33), ecuațiile (1.29) devin :

$$\begin{aligned} X &= \frac{c \cos B \cos L}{V} \\ Y &= \frac{c \cos B \sin L}{V} \\ Z &= \frac{c \cos B \sin B}{V} \end{aligned} \quad (1.34)$$

1.6. Razele principale de curbură

Considerând punctul "S", pe suprafața elipsoidului de referință. (fig.1.7), prin acest punct pot fi duse o infinitate de curbe, din care două curbe se numesc principale. Este vorba de curba meridiană și de curba normală la aceasta, denumită curba primului vertical.

Aceste curbe, în punctul "S" au raze de curbură diferite, astfel curba meridiană cu centrul de curbură în punctul "O'" are raza de curbură "M", iar curba normală la curba meridiană, cu centrul de curbură în punctul "O", are raza de curbură "N".

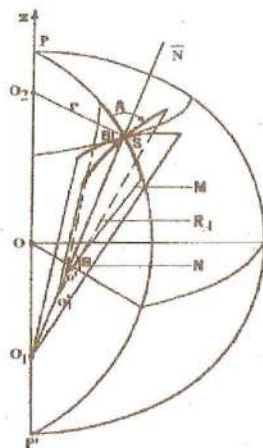


Fig.1.7 Razele de curbură

Razele de curbură "M" și "N" se numesc raze principale de curbură, cunoscute și sub numele de raza mică și raza mare. Oricare altă curbă ce aparține infinității de curbe concurente în punctul "S" va avea raza de curbură corespunzătoare " R_A " a cărei valoare se află cuprinsă între "M"

și "N". Indicele razei de curbură arată faptul că, în punctul "S", curba considerată are azimutul geodezic "A".

Așadar, într-un punct oarecare considerat pe suprafața elipsoidului de referință există o infinitate de raze de curbură, corespunzătoare infinității de curbe situate pe suprafața elipsoidului și concurente în punctul respectiv. Valorile extreme ale acestor raze sunt date de razele principale.

În calculele geodezice intervine și așa numita rază medie " R_m ", a cărei valoare se obține pe baza valorilor tuturor razelor de curbură existente în punctul respectiv.

În cele ce urmează se vor stabili expresiile razelor de curbură M, N, R_A și R_m .

1.6.1. Raza de curbură a elipsei meridiene "M"

Elipsa meridiană se obține prin intersecția unui plan normal pe elipsoidul de rotație ce cuprinde axa de rotație (trece prin cei doi poli).

Considerăm un punct oarecare " M_0 ", pe suprafața elipsoidului de referință, de latitudine "B" și elipsa meridiană ce trece prin acesta (fig.1.8).

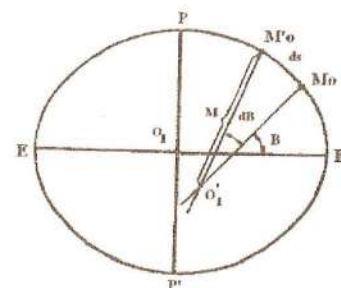


Fig.1.8. Raza elipsei meridiene

Pe elipsa meridiană se consideră punctele "M₀" de latitudine "B" și "M'₀" de latitudine B+dB, situate la o distanță elementară "ds" unul față de altul.

Elementul de arc de elipsă M₀M'₀ se aproximează cu un arc de cerc de rază "M", și în acest caz se poate scrie că lungimea arcului este egală cu raza "M" deînmulțită cu unghiul la centru dB:

$$ds = M \cdot dB \quad (1.35)$$

Din relația (1.35), ridicată la pătrat, se calculează raza mică de curbură:

$$M^2 = \frac{ds^2}{dB^2} \quad (1.36)$$

Revenind la fig. 1.6 se observă că :

$$ds^2 = dx^2 + dz^2 \quad (1.37)$$

Inlocuind relația (1.37) în (1.36) se obține

$$M^2 = \frac{dx^2 + dz^2}{dB^2} \quad (1.38)$$

sau

$$M = \sqrt{\left(\frac{dx}{dB}\right)^2 + \left(\frac{dz}{dB}\right)^2} \quad (1.39)$$

Derivând ecuațiile (1.27) în raport cu latitudinea "B" se obține:

GEODEZIE

$$\begin{aligned} \frac{dx}{dB} &= a[-\sin B(1-e^2 \sin^2 B)^{\frac{1}{2}} + \\ &+ \frac{1}{2} \cos B(1-e^2 \sin^2 B)^{\frac{3}{2}} 2e^2 \sin B \cos B] = \\ &= a \sin B \left[-\frac{1}{W} + \frac{e^2 \cos^2 B}{W^3} \right] = \frac{a \sin B}{W^3} [-W^2 + e^2 \cos^2 B] = \\ &= \frac{a \sin B}{W^3} [-(1-e^2 \sin^2 B) + e^2 \cos^2 B] = \\ &= \frac{a \sin B(1-e^2)}{W^3} \end{aligned} \quad (1.40)$$

În mod analog se calculează și cealaltă derivată, în urma căruia se obține:

$$\frac{dz}{dB} = \frac{a(1-e^2) \cos B}{W^3} \quad (1.41)$$

Inlocuind relațiile (1.40) și (1.41) în (1.39) se determină expresia razei de curbură a elipsei meridiene:

$$M = \frac{a(1-e^2)}{W^3} = \frac{c}{V^3} \quad (1.42)$$

Menționăm că ținând seama de (1.33) se poate demonstra relația:

$$\frac{a}{W^3} = \frac{c}{V^3(1-e^2)} \quad (1.43)$$

GEODEZIE

În acest fel se confirmă modul de exprimare al elipsei meridian în funcție de raza polară și funcția auxiliară "V³".

Tinând seama de expresiile de calcul ale funcțiilor auxiliare "W" și "V", rezultă că raza de curbură a elipsei meridiene este funcție de latitudinea punctului în care se determină și aceasta variază de la ecuator la pol.

$$M_{0^0} = \frac{a(1-e^2)}{\sqrt{(1-e^2 \sin^2 0^0)^3}} = a(1-e^2) \quad (1.44)$$

$$M_{90^0} = \frac{a(1-e^2)}{\sqrt{(1-e^2 \sin^2 90^0)^3}} = \frac{a(1-e^2)}{(1-e^2)^{\frac{3}{2}}} = \quad (1.45)$$

$$\frac{a}{(1-e^2)^{\frac{3}{2}-1}} = \frac{a}{\left(\frac{b^2}{a^2}\right)^{\frac{1}{2}}} = \frac{a}{\frac{b}{a}} = \frac{a^2}{b} = c$$

1.6.2. Raza de curbură a primului vertical "N"

Considerăm din nou punctul "M₀" de latitudine "B" și elipsa meridiană ce trece prin el (fig. 1.9). Secțiunea normală a primului vertical este perpendiculară pe secțiunea elipsei meridiene.

Dacă "r" este raza paralelei geografice pe care se află punctul considerat și dacă această rază este pe direcția axei "x" ($r \equiv s$), atunci din triunghiul dreptunghic M₀O₂O₁ rezultă:

$$N = \frac{r}{\cos B} = \frac{x}{\cos B} \quad (1.46)$$

În (1.46) se înlocuiește "x" cu expresia din (1.27) și se obține:

$$N = \frac{a}{W} = \frac{c}{V} \quad (1.47)$$

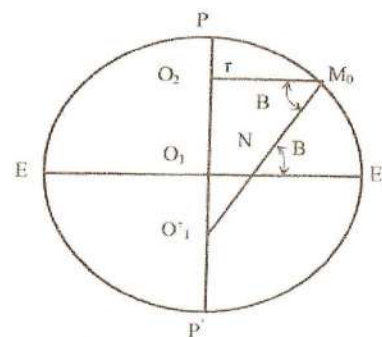


Fig. 1.9. Raza primului vertical

Raza mare de curbură este funcție de asemenea de latitudinea punctului în care se determină și variază de la ecuator la pol, astfel:

$$N_{0^0} = \frac{a}{\sqrt{1-e^2 \sin^2 0^0}} = a \quad (1.48)$$

$$N_{90^0} = \frac{a}{\sqrt{1-e^2 \sin^2 90^0}} = \frac{a}{(1-e^2)^{\frac{1}{2}}} = \frac{a}{\frac{b}{a}} = \frac{a^2}{b} = c \quad (1.49)$$

Din relațiile (1.48) și (1.49) se remarcă faptul că la ecuator raza mare de curbură este egală cu semiaxa ecuatorială, iar la pol este egală cu raza polară "c", care este mai mare decât semiaxa ecuatorială "a".

Comparând relațiile (1.46), (1.47) cu (1.48) (1.49) se constată că $N \geq M$.

1.6.3. Raza de curbura a unei secțiuni normale în funcție de azimut

Dacă într-un punct oarecare " M_0 " considerat pe suprafața elipsoidului de referință se duce o curbă oarecare de azimut geodezic " A ", atunci raza de curbura a acesteia va fi " R_A " (fig. 1.10).

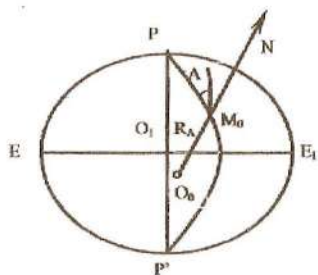


Fig. 1.10. Raza de curbura de azimut dat

Pentru a stabili expresia ce o definește, secționăm suprafața elipsoidului cu un plan perpendicular pe normala punctului " M_0 " și situat la distanța Δz de acesta.

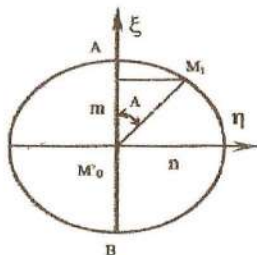


Fig. 1.10.a. Elipsa de secționare

Se va obține o elipsă de secțiune ale cărei semiaxe pe direcțiile curbelor principale le notăm cu " m " și " n " (fig. 1.10.a).

Pe baza elementelor geometrice existente în planul elipsei meridiene a punctului " M_0 " (fig. 1.10.b) se poate scrie :

$$m^2 = M^2 - (M - \Delta z)^2 = 2M\Delta z - \Delta z^2 \quad (1.50)$$

În relația (1.50), termenul Δz^2 este foarte mic în raport cu raza de curbura " M " și se neglijează, deci :

$$m^2 = 2M\Delta z \quad (1.51)$$

În mod analog, considerând elementele geometrice din planul curbei normale la meridian și din planul curbei de direcție " A ", obținem :

$$\begin{aligned} n^2 &= 2N\Delta z \\ s^2 &= 2R_A\Delta z \end{aligned} \quad (1.52)$$

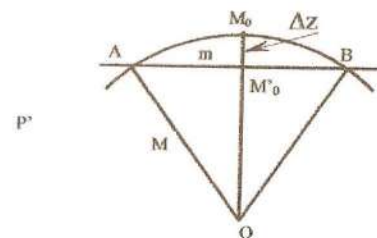


Fig. 1.10.b. Adâncimea planului de secționare

Din egalitățile (1.51) și (1.52) rezultă :

$$\Delta z = \frac{m^2}{2M} = \frac{n^2}{2N} = \frac{s^2}{2R_\alpha} \quad (1.53)$$

Dacă raportăm elipsa de secțiune la sistemul particular de coordonate, ξ, η , atunci coordonatele punctului "M₁", verifică ecuația :

$$\frac{\xi^2}{m^2} + \frac{\eta^2}{n^2} = 1 \quad (1.54)$$

însă:

$$\begin{aligned} \xi &= s \cos A \\ \eta &= s \sin A \end{aligned} \quad (1.55)$$

putem scrie:

$$\frac{s^2 \cos^2 A}{m^2} + \frac{s^2 \sin^2 A}{n^2} = 1 \quad (1.56)$$

Ecuația (1.56), în baza seriei de rapoarte egale (1.53), devine :

$$\frac{\cos^2 A}{2\Delta z M} + \frac{\sin^2 A}{2\Delta z N} = \frac{1}{2\Delta z R_A} \quad (1.57)$$

de unde prin înmulțirea cu $2\Delta z$ și aducerea la același numitor în partea stângă a egalității (1.57) se obține:

$$R_A = \frac{MN}{N \cos^2 A + M \sin^2 A} \quad (1.58)$$

Analizând expresia (1.58) din punct de vedere al factorilor componenți se constată că, raza de curbura a unei curbe de azimut geodezic "A", este funcție de raza mare și raza mică de curbura, implicit de latitudinea punctului în care se determină și de azimutul geodezic "A" ce poziționează curba pe suprafața elipsoidului.

Din punct de vedere al mărimii razei "R_A" în raport cu razele principale de curbura se constată că: $M \leq R_A \leq N$. Acest lucru se obține prin introducerea în (1.58) a expresiilor de calcul a razelor principale de curbura la ecuator și la pol.

$$\begin{aligned} R_A &= \frac{M}{\cos^2 A + \frac{M}{N} \sin^2 A} = \frac{\frac{a(1-e^2)}{W^3}}{\cos^2 A + \frac{(1-e^2)}{W^2} \sin^2 A} = \\ &= \frac{\frac{a(1-e^2)}{W}}{W^2 \cos^2 A + (1-e^2) \sin^2 A} = \frac{\frac{a}{\sqrt{1-e^2 \sin^2 B}} (1-e^2)}{(1-e^2 \sin^2 B) \cos^2 A + (1-e^2) \sin^2 A} \end{aligned} \quad (1.59)$$

Pentru B=0 relația (1.59) devine:

$$R_A = \frac{a(1-e^2)}{\cos^2 A + (1-e^2) \sin^2 A} = \frac{a(1-e^2)}{1-e^2 \sin^2 A} = \frac{M_{0^\circ}}{1-e^2 \sin^2 A} \quad (1.60)$$

În relația (1.60), numitorul fiind subunitar, rezultă $R_A > M$, la ecuator, sau pentru A=0 rezultă $R_A = M$.

Pentru B=90 relația (1.59) devine:

$$R_A = \frac{\frac{a(1-e^2)}{\sqrt{1-e^2}}}{(1-e^2)\cos^2 A + (1-e^2)\sin^2 A} = \frac{a(1-e^2)}{\sqrt{1-e^2}} = \frac{a}{1-e^2} = \frac{a}{\sqrt{1-e^2}} = \frac{a}{\frac{b}{a}} = \frac{a^2}{b} = c = N_{90^\circ} \quad (1.61)$$

1.6.5. Raza medie de curbura "R_m"

Raza medie de curbura într-un punct oarecare situat pe suprafața elipsoidului de referință se determină ca medie aritmetică a razelor de curbura "R_A" corespunzătoare curbelor ce trec prin acest punct.

$$R_m = \frac{1}{n} \sum_1^n R_A, \text{ când } n \rightarrow \infty \quad (1.62)$$

Considerând că, între două curbe vecine există un unghi elementar Δα, numărul curbilor și deci al razelor de curbura va fi :

$$n = \frac{2\pi}{\Delta A} \quad (1.63)$$

Astfel expresia razei medii de curbura scrisă prin trecerea de la sumă la integrală devine :

$$R_m = \frac{1}{2\pi} \int_0^{2\pi} R_A dA \quad (1.64)$$

Având în vedere simetria ce există în raport cu direcțiile principale, determinată de curbele principale, putem considera doar razele de curbura cuprinse între 0° și 90°. Astfel putem scrie:

$$R_m = \frac{2}{\pi} \int_0^{\frac{\pi}{2}} R_A dA \quad (1.65)$$

Înlocuind în (1.65) expresia razei de curbura a unei curbe de azimut "A" dată de relația (1.58) se obține :

$$R_m = \frac{2}{\pi} \int_0^{\frac{\pi}{2}} \frac{MN}{N \cos^2 A + M \sin^2 A} dA \quad (1.66)$$

Pentru rezolvarea integralei se aplică câteva artificii de calcul, după care se trece la schimbarea de variabilă. Artificiile de calcul constau din împărțirea expresiei de sub integrală prin Ncos²A și exprimarea lui "M" în funcție de $\sqrt{MN} \sqrt{\frac{M}{N}}$:

$$R_m = \frac{2}{\pi} \int_0^{\frac{\pi}{2}} \frac{\sqrt{MN} \sqrt{\frac{M}{N}} \frac{dA}{\cos^2 A}}{1 + \left(\sqrt{\frac{M}{N}} \right)^2 \tan^2 A} \quad (1.67)$$

Se notează :

$$\sqrt{\frac{M}{N}} \operatorname{tg} A = t; 0 \leq t \leq \infty; \text{ pentru } 0 \leq \alpha \leq \frac{\pi}{2} \quad (1.68)$$

iar diferențiala acestei variabile cu:

$$dt = \sqrt{\frac{M}{N}} \frac{dA}{\cos^2 A} \quad (1.69)$$

Introducând (1.69) și (1.68) în (1.67) se obține:

$$\begin{aligned} R_m &= \frac{2\sqrt{MN}}{\pi} \int_0^\infty \frac{dt}{1+t^2} = \frac{2}{\pi} \sqrt{MN} \left| \operatorname{arctg}(t) \right|_0^\infty = \\ &= \frac{2}{\pi} \sqrt{MN} \left(\frac{\pi}{2} - 0 \right) = \sqrt{MN} \end{aligned} \quad (1.70)$$

Exprimând razele principale de curbură "M" și "N" în funcție de raza polară și funcția auxiliară "V", date de (1.42) și (1.47), raza medie de curbură (1.70) devine:

$$R_m = \frac{c}{V^2} \quad (1.71)$$

Raza medie de curbură este funcție de latitudinea punctului în care se determină și variază de la ecuator la pol.

Astfel:

$$R_{0^\circ} = \frac{c}{1+e'^2 \cos 0^\circ} = \frac{c}{1+e'^2} = \frac{c}{1-e^2} = \frac{c}{a^2} = b \quad (1.72)$$

$$R_{90^\circ} = \frac{c}{1+e'^2 \cos 90^\circ} = c = \frac{a^2}{b} \quad (1.73)$$

1.7. Lungimea arcului de meridian

Considerând egalitatea (1.35), se poate stabili lungimea arcului de meridian cuprinsă între două puncte "S₁" și "S₂" de latitudini "B₁" și "B₂", situate pe elipsoidul de referință:

$$S_{1-2} = \int_{S_1}^{S_2} ds = \int_{B_1}^{B_2} M dB \quad (1.74)$$

Introducând în (1.74) expresia razei mici de curbură se obține:

$$S_{1-2} = a(1-e^2) \int_{B_1}^{B_2} (1-e^2 \sin^2 B)^{-3/2} dB \quad (1.75)$$

Integrala obținută poate fi rezolvată, utilizând dezvoltările în serie ale expresiei de sub integrală.

Astfel:

$$\begin{aligned} (1-e^2 \sin^2 B)^{-3/2} &= 1 + (-1) \left(-\frac{3}{2}\right) \frac{e^2 \sin^2 B}{1!} + (-1)^2 \left(-\frac{3}{2}\right) \left(-\frac{3}{2}-1\right) \frac{e^4 \sin^4 B}{2!} + \\ &+ (-1)^3 \left(-\frac{3}{2}\right) \left(-\frac{3}{2}-1\right) \left(-\frac{3}{2}-2\right) \frac{e^6 \sin^6 B}{3!} + \dots = \\ &= 1 + \frac{3}{2} e^2 \sin^2 B + \frac{15}{8} e^4 \sin^4 B + \frac{105}{48} e^6 \sin^6 B + \dots \end{aligned} \quad (1.76)$$

$$2 \sin^2 B = 1 - \cos 2B \Rightarrow \sin^2 B = \frac{1}{2} - \frac{1}{2} \cos 2B \quad (1.77)$$

$$\sin^4 B = \left(\frac{1}{2} - \frac{1}{2} \cos 2B \right)^2 = \frac{3}{8} - \frac{1}{2} \cos 2B + \frac{1}{8} \cos 4B \quad (1.78)$$

$$\begin{aligned} \sin^6 B &= \left(\sin^2 B \right)^3 + \left(\frac{1}{2} - \frac{1}{2} \cos 2B \right)^3 = \left(\frac{1}{2} \right)^3 + \\ &+ 3 \left(\frac{1}{2} \right)^2 \left(-\frac{1}{2} \cos 2B \right) + 3 \left(\frac{1}{2} \right) \left(-\frac{1}{2} \cos 2B \right)^2 + \\ &+ \left(-\frac{1}{2} \cos 2B \right)^3 = \frac{5}{16} - \frac{15}{32} \cos 2B + \frac{3}{16} \cos 4B - \frac{1}{32} \cos 6B \end{aligned} \quad (1.79)$$

Înlocuind relațiile (1.77), (1.78), (1.79) în relația (1.76) se obține:

$$\begin{aligned} (1 - e^2 \sin^2 B)^{3/2} &= A' - B' \cos 2B + C' \cos 4B - \\ &- D' \cos 6B + E' \cos 8B \dots \end{aligned} \quad (1.80)$$

În care expresiile coeficienților A' , B' , ..., E' au fost calculate de Bagratunii (1962) și sunt prezentate în cele ce urmează:

$$\begin{aligned} A' &= 1 + \frac{3}{4}e^2 + \frac{45}{64}e^4 + \frac{175}{256}e^6 + \frac{11025}{16384}e^8 + \dots \\ B' &= \frac{3}{4}e^2 + \frac{15}{16}e^4 + \frac{525}{512}e^6 + \frac{2205}{2048}e^8 + \dots \\ C' &= \frac{15}{64}e^4 + \frac{105}{256}e^6 + \frac{2205}{4096}e^8 + \dots \end{aligned}$$

$$\begin{aligned} D' &= \frac{35}{512}e^6 + \frac{315}{2048}e^8 + \dots \\ E' &= \frac{315}{16384}e^6 + \dots \end{aligned} \quad (1.81)$$

În limita aproximațiilor acceptate, integrala (1.75) devine:

$$\begin{aligned} S_{1-2} &= a(1 - e^2) \left(A' \frac{(B_2 - B_1)^0}{\rho^0} - \frac{B'}{2} (\sin 2B_2 - \sin 2B_1) + \right. \\ &+ \frac{C'}{4} (\sin 4B_2 - \sin 4B_1) - \frac{D'}{6} (\sin 6B_2 - \sin 6B_1) + \\ &\left. + \frac{E'}{8} (\sin 8B_2 - \sin 8B_1) \right) \end{aligned} \quad (1.82)$$

Se înlocuiesc coeficienții A' , B' , ..., E' cu noile valori date de produsul acestora cu parametri elipsoidului de referință, se obțin expresiile noilor coeficienți:

$$\begin{aligned} P &= a(1 - e^2) A', Q = a(1 - e^2) \frac{B'}{2}, R = a(1 - e^2) \frac{C'}{4} \\ S &= a(1 - e^2) \frac{D'}{6}, T = a(1 - e^2) \frac{E'}{8} \end{aligned} \quad (1.83)$$

Relația de calcul a lungimii arcului de meridian între punctele menționate anterior va avea următoarea formă:

$$S_{1-2} = P \frac{(B_2 - B_1)^0}{\rho^0} - Q(\sin 2B_2 - \sin 2B_1) + \\ + R(\sin 4B_2 - \sin 4B_1) - S(\sin 6B_2 - \sin 6B_1) + \\ + T(\sin 8B_2 - \sin 8B_1) - \dots \quad (1.84)$$

Observații:

- pentru necesitățile practice dezvoltările în serie se realizează până la termenul care conține e^8 ;
- în relația de calcul a coeficientului "P" nu a fost introdus factorul de transformare "p" întrucât valoarea acestuia variază de la grade sexagesimale la cele centezimale pentru grade, minute sau secunde și în acest caz implicit și coeficientul "P" ar lua valori diferite.

Pentru a calcula lungimea unui arc de meridian de la ecuator până la poziția unui punct de latitudine "B", în relația (1.83) se consideră $B_1=0$, iar $B_2=B$, astfel se obține:

$$S_{0-2} = P \frac{B^0}{\rho^0} - Q \sin 2B + C \sin 4B - D \sin 6B + E \sin 8B - \dots \quad (1.85)$$

Pentru elipsoidul Krasovski și W.G.S.84 valorile calculate ale coeficienților (1.81) sunt prezentate în tabelul 1.2, iar pentru coeficienții din relația (1.83) în tabelul 1.3.

Tabelul 1.2

Coeficienți	Krasovski	W.G.S.84
A'	1.005051773893630	1.005052501779130
B'	0.005062377645064	0.005063108582191
C'	0.000010585604075	0.000010588647947

D'	0.000000020808196	0.000000020817179
E'	0.00000000038591	0.00000000038613

Tabelul 1.3

Coeficienți	Krasovski [m]	WGS.84 [m]
P	6367558.496817900	6367449.145766540
Q	16036.480221834	16038.508614967
R	16.766413165	16.770934156
S	0.021971904	0.021980996
T	0.000030562	0.000030579

Atunci când, la calculul coeficientului "P" se ține seama de factorul de transformare "p", de la grade, minute sau secunde la radiani, valorile acestui coeficient sunt prezentate în tabelele 1.4 și 1.5. Valorile celorlalți coeficienți se regăsesc în tabelul 1.3.

Tabelul 1.4

Coeficient	Krasovski [m]	WGS.84 [m]
P^0	111134.861082813	111132.952546927
P'	1852.247684714	1852.215875782
P''	30.870794745	30.870264596

Tabelul 1.5

Coeficient	Krasovski [m]	WGS.84 [m]
P^g	100021.374974532	100019.657292234
P^c	1000.213749745	1000.196572922
P^{cc}	10.002137497	10.001965729

1.8. Lungimea arcului de paralel

Pe o paralelă de rază "r" și de latitudine "B" se consideră punctul "P₁" de longitudine "L" și punctul "P₂" de longitudine L+dL, (fig.11). În această situație, lungimea arcului elementar de paralel va fi dată relația :

$$dl = r dL \quad (1.86)$$

Atunci când, punctele "P₁" și "P₂" se află la o distanță finită, longitudinile lor fiind "L₁" și "L₂" se poate stabili lungimea arcului de paralel integrând egalitatea (1.86), respectiv :

$$l_{1-2} = r \int_{L_1}^{L_2} dL = \frac{r(L_2 - L_1)}{\rho^0} \quad (1.87)$$

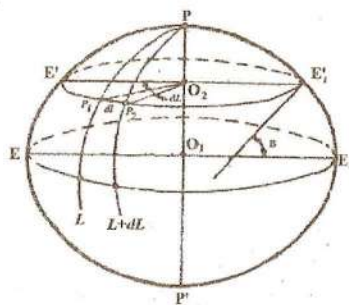


Fig.1.11 Lungimea arcului de paralel

1.9. Secțiuni normale pe elipsoid

Considerăm două puncte oarecare "S₁" și "S₂" pe suprafața elipsoidului de referință de latitudini și longitudini diferite (fig.1.12).

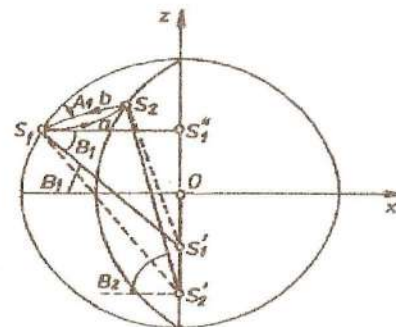


Fig. 1.12 Secțiuni normale pe elipsoid

Normala în punctul "S₁" împreună cu punctul "S₂" determină un plan normal la suprafața elipsoidului, pe care o intersectează după linia S₁aS₂, numită secțiune normală directă în punctul "S₁".

Normala în punctul "S₂" împreună cu punctul "S₁" determină un plan normal la suprafața elipsoidului pe care o intersectează după linia S₂bS₁, numită secțiune normală directă în punctul "S₂".

Secțiunea normală directă "S₁" este secțiunea inversă față de punctul "S₂" și de asemenea secțiunea normală directă din "S₂" este secțiune inversă față de punctul "S₁".

În general secțiunile normale din punctele "S₁" și "S₂" se numesc **secțiuni normale reciproce**.

Secțiunile normale reciproce sunt realizate concret în cazul observațiilor geodezice unghiulare.

Dacă admitem că, axa verticală a aparatului staționat în punctul " S_1 " coincide cu normala acestui punct, atunci linia de observație din " S_1 " către " S_2 " se află în planul normal care determină secțiunea normală directă. În consecință, corespunzător acestei linii de observație pe suprafața elipsoidului rezultă secțiunea normală directă din " S_1 ".

În același mod, pentru linia de observație realizată din " S_2 " către " S_1 ", avem pe suprafața elipsoidului secțiunea normală directă din " S_2 ".

Un caz particular a secțiunilor normale reciproce este atunci când cele două secțiuni coincid și acest lucru se întâmplă când punctele de viză sunt situate pe același meridian sau pe același paralel.

Dar, considerând cazul general și admitând că pe suprafața elipsoidului de referință există trei puncte de latitudini și longitudini diferite, prezența secțiunilor normale reciproce conduce la concluzii importante din punct de vedere geodezic.

Fie aceste puncte notate cu " S_1 ", " S_2 ", și " S_3 ". (fig.1.13).

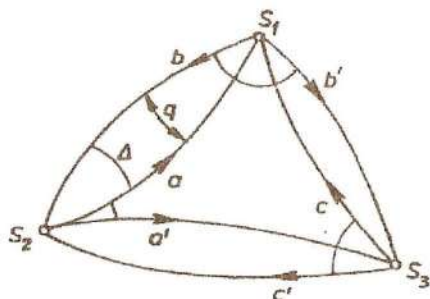


Fig.1.13. Secțiuni normale

Punctele considerate determină în principiu un triunghi pe suprafața elipsoidului.

Măsurătorile geodezice efectuate în punctele de vârf ale triunghiului conduc la obținerea unghiurilor " α ", " β ", " γ " care sunt definite de secțiunile normale directe. Este simplu de observat că aceste unghiuri nu aparțin unui triunghi bine definit.

Din această cauză se impune a fi înlocuite secțiunile normale reciproce cu linii unice.

Aceste linii, evident că vor conduce la obținerea unui triunghi bine definit.

Geometric, ele sunt linii geodezice ale căror proprietăți și poziție față de secțiunile reciproce urmează a fi tratate în continuare.

1.10. Linia geodezică

Fără a analiza din punct de vedere matematic linia geodezică sunt necesare totuși câteva precizări de ordin geometric legate de aceasta.

Linia geodezică între două puncte situate pe suprafața elipsoidului reprezintă o curbă unică și de lungime minimă.

Dacă suprafața Pământului se consideră o sferă, arcele de cerc mari sunt linii geodezice, iar dacă suprafața se consideră plană pe anumite porțiuni, liniile geodezice sunt linii drepte.

De menționat că cercurile mari se obțin prin intersecția sferei cu un plan normal ce trece prin centrul sferei, sau prin cei doi poli.

Poziția liniei geodezice față de secțiunile normale reciproce este bine definită în sensul că este mai apropiată de

secțiunea normală directă și mai depărtată de secțiunea normală inversă.

Liniile geodezice nu au echivalent în cadrul operațiilor geodezice de teren, ci intervin doar în procesele de calcul.

Pe direcția meridianelor secțiunile normale reciproce coincid cu linia geodezică.

Este de reținut și faptul că paralelele nu reprezintă linii geodezice.

1.10.1. Poziția liniei geodezice față de secțiunile normale reciproce

În măsurătorile geodezice, așa cum s-a arătat, este necesară trecerea de la secțiunile normale la linia geodezică. Pentru aceasta trebuie stabilită poziția liniei geodezice față de secțiunile normale.

Pentru rețelele de triangulație de ordinul I (maximum 60 km) liniile geodezice diferă față de secțiunile normale reciproce atât azimutal și ca lungime. Dacă diferența de lungime nu se ia în considerare, fiind foarte mică, diferența de azimut trebuie luată în considerare, chiar dacă este foarte mică.

În acest sens, s-a stabilit că linia geodezică împarte unghiul dintre secțiunile reciproce în raportul de 1/2, fiind mai apropiată de secțiunea normală directă.

Deci, dacă în punctul "A" (fig. 1.14) unghiul format de secțiunile normale este " Δ " atunci, unghiul format de linia geodezică cu secțiunea normală directă este $\delta_1 = \frac{\Delta}{3}$, iar unghiul format de linia geodezică cu secțiunea normală inversă este $\delta_2 = \frac{2\Delta}{3}$. Situația este similară în punctul "B".

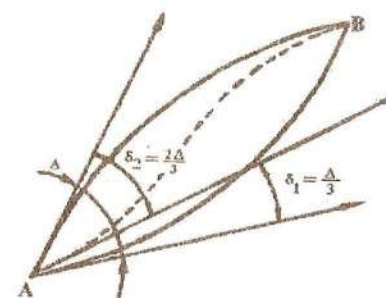


Fig. 1.14. Linia geodezică

După Jordan W.s.a. 1958 și Bagratunii G.V. 1962 (citați de Dragomir V. [10]), unghiul format de secțiunile normale reciproce " Δ " se calculează cu relația:

$$\Delta^{\circ} = \rho^{\circ} \frac{s_1^2 \eta_m^2}{4N_m^2} \sin 2A_1 \quad (1.88)$$

în care :

- s_1 – lungimea liniei geodezice;
- N_m – raza mare de curbură calculată pentru latitudinea medie a liniei geodezice;
- $\eta_m = e'^2 \cos B_m$;
- A_1 – azimutul liniei geodezice.

Din relația (1.88) rezultă: pentru $A_1 = 0^{\circ}$ și respectiv $A_1 = 100^{\circ}$, $\Delta = 0$, ceea ce confirmă afirmațiile anterioare că pe direcția meridianelor și paralelelor secțiunile normale reciproce coincid. Valorile maxime pentru Δ se obțin când $A_1 = 50^{\circ}$, însă și în aceste caz valorile sunt foarte mici.

Pentru exemplificare, se prezintă valorile lui Δ și $\Delta/3$ pentru lungimile laturilor medii ale rețelei de triangulație pentru $B_m = 46^{\circ}$ și $A_1 = 50^{\circ}$ (tab. 1.6).

Tabelul 1.6

S (km)	Δ [cc]	$\Delta/3 \Delta$ [cc]
2	0.000051	0.000017
4	0.000203	0.000068
7	0.000621	0.000207
15	0.002852	0.000951
25	0.007923	0.002641
30	0.011409	0.003803
100	0.126771	0.042257

1.10.2. Corecția de reducere la linia geodezică

Corecția de reducere la linia geodezică se aplică pentru a efectua trecerea de la secțiunea normală directă, prin care se reprezintă linia de observație pe suprafața elipsoidului, la linia geodezică.

O linie de observație realizată între două puncte situate pe suprafața terestră se reprezintă pe suprafața elipsoidului prin secțiunea normală AB. Azimutul acestei linii este " A_m " și rezultă din măsurători.

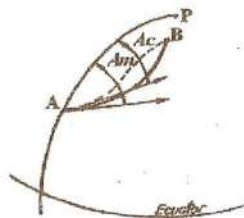


Fig. 1.15. Azimutul liniei geodezice

Azimutul liniei geodezice fiind " A_c ", este necesar a fi corectat azimutul secțiunii normale directe cu o corecție " C_1 ", numită corecție de reducere la linia geodezică, astfel încât:

$$A_c = A_m - C_1 \quad (1.89)$$

Expresia de calcul a corecției " C_1 " a fost demonstrată în [12] în funcție de azimutul secțiunii normale directe calculat din coordonatele ecuației parametrice Puiseux-Weingarten-Gauss ale liniei geodezice pe elipsoidul de referință, prin dezvoltări în serie:

$$C_1^{\alpha} = \frac{e^2 s^2 \rho^{\alpha}}{12 R_m^2} \cos^2 B_m \sin 2A_m \quad (1.90)$$

în care :

- e – prima excentricitate;
- s – distanța între punctele " S_1 " și " S_2 ", în km ;
- B_m – latitudinea medie ;
- R_m – raza medie pentru latitudinea medie.

Corecția de reducere la linia geodezică trebuie luată în calcul numai în cazul triangulațiilor de ordinul I (când distanțele sunt de mărimea 20 – 60 km).

O expresie de calcul mai precisă a fost stabilită de Jordan 1958:

$$C_1^{\alpha} = \rho^{\alpha} \left(\frac{s_1^2 \eta_m^2}{12 N_m^2} \sin 2A_1 - \frac{s_1^3 \eta_m^2}{24 N_m^3} t \sin A \right) \quad (1.91)$$

$$\text{unde: } t = \operatorname{tg} B \\ \eta_m = e' \cos B_m$$

1.11.Reducerea observațiilor geodezice pe suprafața elipsoidului de referință

Este foarte important de reținut că înainte de a fi folosite în calcule, observațiile geodezice se reduc la suprafața elipsoidului de referință.

Această operație este necesară întrucât observațiile de teren sunt raportate la verticala pe geoid, dată de poziția firului cu plumb, în timp ce calculele se efectuează pe elipsoid după ce observațiile instrumentale au fost proiectate pe elipsoidul de referință, după normala la acesta.

Pentru calculul corecțiilor de reducere pe elipsoid a observațiilor geodezice este necesară determinarea prealabilă a ondulațiilor geoidului „ N ” și a componentelor deviației verticalei ξ, η .

Aducerea rețelelor geodezice de sprijin, existente pe suprafața fizică a Pământului, pe suprafața elipsoidului de referință se poate realiza după mai multe metode, dintre care se vor menționa cele mai importante.

Metoda desfășurării. Elementele măsurate pe suprafața fizică a Pământului se reduc la suprafața geoidului (la nivelul mării) urmând să fie supuse unei compensări, în funcție de geometria rețelei de triangulație.

Pentru calcule se alege un *punct fundamental*, în care se consideră că elipsoidul de referință este tangent la geoid. De asemenea, se acceptă identitatea dintre coordonatele astronomice și cele geodezice, precum și coincidența normalei la elipsoid cu verticala la geoid.

Rezultă astfel *datele inițiale ale triangulației*: coordonatele geodezice ale punctului fundamental, lungimea și azimutul unei laturi care unește acest punct cu un punct oarecare al rețelei de triangulație. Calculele se efectuează în

continuare prin desfășurare; pornind din punctul fundamental se determină coordonatele tuturor punctelor rețelei, folosindu-se elementele reduse la suprafața geoidului, fără a se realiza trecerea lor la suprafața elipsoidului de referință.

Metoda desfășurării introduce erori sistematice de calcul, care se măresc pe măsura îndepărtării de punctul fundamental și, ca urmare, poate fi utilizată numai pentru teritorii relativ mici, pentru care se poate admite că elipsoidul de referință înfășoară optim suprafața geoidului. În acest mod s-a calculat triangulația primordială de ordinul I din țara noastră, dinaintea celui de-al doilea război mondial, pe elipsoidul internațional *Hayford*. Punctul fundamental s-a considerat în observatorul astronomic militar din Dealul Piscului cu viză de orientare spre *Foisorul de foc*.

Metoda proiectării constă în aducerea elementelor măsurate (unghiuri, direcții, lungimi ș.a.) pe suprafața elipsoidului de referință, prin aplicarea unor corecții. În cadrul metodei proiectării se cunosc variantele Pizzetti și Bruns-Helmert.

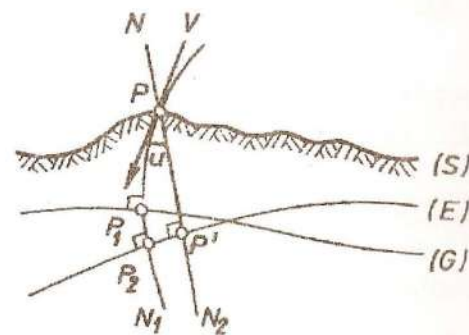


Fig.1.16 Metode de proiectare a observațiilor pe elipsoid

elipsoidului de referință, iar punctul "S₂" pe o suprafață de nivel oarecare (fig.1.17).

În această situație punctul "S₂" va avea o înălțime "H" față de punctul "S₁".

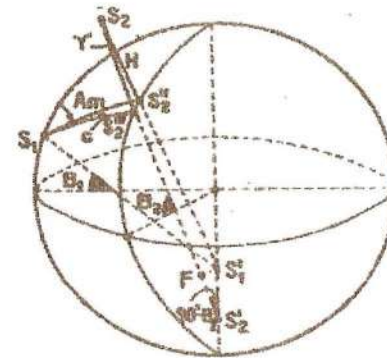


Fig.1.17. Corecția de altitudine

Proiecția punctului "S₂" pe suprafața elipsoidului, se face cu ajutorul normalei la această suprafață. Normala din "S₂" la elipsoid determină punctul "S₂'".

Măsurând azimutul direcției S₁ S₂, obținem unghiul pe care-l face secțiunea normală directă S₁ S₂' cu meridianul punctului "S₁".

În consecință, se măsoară "A_m" și trebuie determinat "A_c". Trecerea de la azimutul "A_m" la azimutul "A_c" se face introducând o corecție "C₂", numită corecția datorită înălțimii punctului vizat, relația utilizată fiind :

$$A_c = A_m + C_2 \quad (1.92)$$

Pentru calculul valorii corecției "C₂" a fost stabilită

$$\frac{\sin \eta}{\sin(\Lambda - L)} = \frac{\sin(90^\circ - \Phi)}{\sin 90^\circ} \quad (1.94)$$

sau:

$$\frac{\sin \eta}{\sin(\Lambda - L)} = \frac{\cos \Phi}{1} \quad (1.95)$$

Deoarece termenii din membrul stâng al relației (1.95) sunt foarte mici se asimilează funcția cu valoarea argumentului, rezultând:

$$\eta = (\Lambda - L) \cos \Phi \quad (1.96)$$

Componenta “ ξ ” se determină în același triunghi sferic transformat după regula lui Neper. Aceasta constă în înlocuirea laturilor adiacente unghiului drept “ A ” prin complementele lor $90^\circ - b$, $90^\circ - c$, după care, cosinusul fiecărui element este egal cu produsul elementelor neadiacente sau cu produsul cotangentelor adiacente. Triunghiul transformat este prezentat în fig. 1.18.b, pe baza căruia rezultă:

$$\cos(\Lambda - L) = \operatorname{ctg}(90^\circ - \Phi) \operatorname{ctg}(B + \xi) \quad (1.97)$$

Datorită valorii mici a diferenței dintre latitudinea astronomică “ Λ ” și cea geodezică “ L ” se aproximează cosinusul acestei diferențe cu “1”, astfel se poate scrie:

$$\operatorname{tg}(B + \xi) = \operatorname{tg} \Phi \quad (1.98)$$

sau:

$$\xi = \Phi - B \quad (1.99)$$

Corecția datorită abaterii de la verticală “ C_3 ”, ce se aplică măsurătorilor azimutale, se calculează în funcție de componentele “ ξ ” și “ η ”, de azimutul geodezic “ A ” și de unghiul zenital aparent “ Z^0 ” și rezultă dintr-o componentă corectivă de reducere a azimutelor astronomice:

$$C_3^\infty = (\eta^\infty \cos A - \xi^\infty \sin A) \operatorname{ctg} Z^0 \quad (1.100)$$

Unghiul zenital din (1.100) se calculează cu relația:

$$Z^0 = \operatorname{arc} \operatorname{ctg} \left(\frac{\Delta H}{D} \right) \quad (1.101)$$

unde:

$-\Delta H$ -diferența de nivel se calculează prin nivelment geometric sau trigonometric (pentru lungimi de până la 4km).

Comparativ cu celelalte două corecții examinate anterior, corecția datorită deviației verticalei este mai semnificativă și deci este justificată aplicarea ei.

1.11.2.Reducerea determinărilor astronomice pe elipsoidul de referință

Reducerea determinărilor astronomice se referă la reducerea coordonatelor și azimutelor astronomice.

1.11.2.1.Reducerea coordonatelor astronomice

Cunoscând componentele astronomico – geodezice ale deviației verticalei, prezentate în §1.11.1.2, se pot calcula coordonatele geodezice pe suprafața elipsoidului, din relațiile (1.99) și (1.96):

$$B = \Phi - \xi \quad (1.102)$$

$$L = \Lambda - \eta \sec \Phi \quad (1.103)$$

Intrucât coordonatele astronomice sunt determinate cu erori de poziție mult mai mari decât erorile impuse coordonatelor geodezice, relațiile (1.102) și (1.103) sunt utilizate numai pentru controlul unor puncte amplasate la distanțe de ordinul sutelor de kilometri.

Pentru reducerea observațiilor astronomice la suprafața geoidului, Heiskanen și Moritz (1967), utilizează relațiile:

$$\Phi_{\text{geoid}} = \Phi - 0.171 H_{\text{km}} \sin 2B \quad (1.104)$$

$$\Lambda_{\text{geoid}} = \Lambda$$

unde:

H_{km} -altitudinea aproximativă a punctului considerat, în km.

1.11.2.2.Reducerea azimutelor astronomice

Pentru a reduce azimutul astronomic " α " la azimutul geodezic " A " în fig.1.18.a, se observă că:

$$A = \beta + R \quad (1.104)$$

$$\alpha = \beta_1 + R_1$$

Astfel se poate scrie:

$$A = \alpha - (\beta_1 - \beta) - (R_1 - R) = \alpha + (\beta - \beta_1) + (R - R_1) \quad (1.105)$$

Pentru a determina $(\beta - \beta_1)$ în funcție de elementele cunoscute, în triunghiul sferic $Z_g P Z_a$, se aplică formula cosinusului unghiului:

$$\cos \beta = \cos(180 - \beta_1) \cos(\Lambda - L) + \sin(180 - \beta_1) \sin(\Lambda - L) \cos(90^\circ - \Phi) \quad (1.106)$$

Tinând cont de funcțiile complementare și suplimentare, în limita aproximațiilor admisibile, relația (1.106) devine:

$$\beta - \beta_1 = -(\Lambda - L) \sin \Phi = -\eta \operatorname{tg} \Phi \quad (1.107)$$

În mod analog în triunghiul $Z_g Z_a S'_2$ se poate scrie:

$$\cos R = \cos(180 - R_1) \cos q + \sin(180 - R_1) \sin q \cos Z^0 \quad (1.108)$$

de unde :

$$R - R_1 = -\sin q \cos Z^0 \quad (1.109)$$

Mărimea unghiului " q " se determină din același triunghi sferic prin aplicarea formulei sinusului:

$$\frac{\sin q}{\sin u} = \frac{\sin R}{\sin Z^0} \Rightarrow \sin q = \frac{u \sin R}{\sin Z^0} \quad (1.110)$$

Înlocuind (1.110) în (1.109) și exprimând pe " u " în funcție de componentele deviației verticalei " ξ " și " η " se obține:

$$R - R_1 = (\eta \cos A - \xi \sin A) \operatorname{ctg} Z^0 \quad (1.111)$$

Înlocuind relațiile (1.107) și (1.111) în (1.105) se obține azimutul geodezic în funcție de azimutul astronomic:

$$A = \alpha - (\Lambda - L) \sin \Phi + (\eta \cos A - \xi \sin A) \operatorname{ctg} Z^0 \quad (1.112)$$

Intrucât diferențele de nivel, dintre punctele în care se determină lungimea unei baze și azimutul astronomic al acesteia, sunt mici, în relația (1.112) $Z^0 \rightarrow 90^\circ$, iar $\operatorname{ctg} Z^0 \approx 0$. În aceste condiții (1.112) devine:

$$A = \alpha - (\Lambda - L) \sin \Phi = \alpha - \eta \operatorname{tg} \Phi \quad (1.113)$$

Relația (1.113) se utilizează în rețelele de ordin superior și este cunoscută sub denumirea de ecuația Laplace.

1.11.3.Reducerea observațiilor zenitale la normala la elipsoid

Este cunoscut faptul că în rețelele geodezice de sprijin, elementele de planimetrie (X, Y sau B, L) au ca suprafață de referință planul de proiecție sau elipsoidul de referință, iar elementele de altimetrie au ca suprafață de referință geoidul sau cvasigeoidul. Astfel, reducerea observațiilor zenitale la normala la elipsoid nu mai are sens.

Reducerea observațiilor zenitale la normala la elipsoid este necesară numai în cazul operațiilor efectuate în geodezia tridimensională, unde toate cele trei coordonate (X, Y, H^E sau B, L, H^E) se exprimă în raport de suprafața elipsoidului de referință.

În figura 1.19 se remarcă faptul, că datorită refracției

atmosferice, în teren nu se măsoară unghiurile zenitale „ z_1 ” și „ z_2 ”, ci unghiurile zenitale aparente z_1^0, z_2^0 , astfel:

$$z_1 = z_1^0 + \rho_1; \quad z_2 = z_2^0 + \rho_2 \quad (1.114)$$

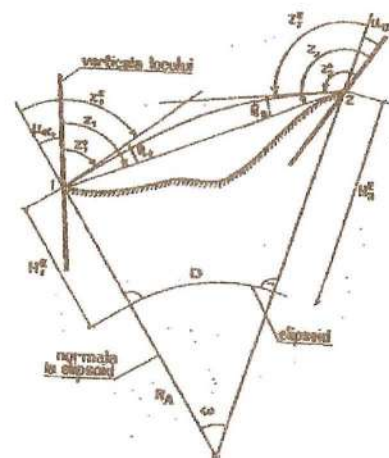


Fig.1.19.Reducerea unghiurilor zenitale la normala la elipsoid

Pentru distanțe până la 6 km se poate aproxima curba de refracție printr-un arc de cerc și, ca urmare, se acceptă egalitatea unghiurilor de refracție $\rho_1 \approx \rho_2$.

Din fig. 1.19 se observă, că legătura dintre unghiurile zenitale măsurate și cele reduse la normala la elipsoid este dată de relațiile :

$$z_1^E = z_1^0 + u_{\alpha_1}; \quad z_2^E = z_2^0 + u_{\alpha_2} \quad (1.115)$$

Unghiurile „ $u_{\alpha 1}$ ” și „ $u_{\alpha 2}$ ” reprezintă *componentele deviației verticalei pe direcția 1—2*, de azimut „ α ”, determinate în punctele 1 și 2.

Exprimând deviația verticalei în funcție de componentele „ ξ ”, „ η ” și azimutul direcției se obține:

$$u_{\alpha} = \xi \cos \alpha + \eta \sin \alpha \quad (1.116)$$

Inlocuind (1.115) în (1.114) rezultă:

$$\begin{aligned} z_1^E &= z_1^0 + \xi_1 \cos \alpha + \eta_1 \sin \alpha; \\ z_2^E &= z_2^0 + \xi_2 \cos \alpha + \eta_2 \sin \alpha \end{aligned} \quad (1.117)$$

Unghiurile zenitale reduse la normala la elipsoid se utilizează la calculul nivelmentului geodezic simultan și reciproc [11], astfel:

$$\Delta H_{12}^E = H_2^E - H_1^E = D \left(1 + \frac{H_m}{R_A} \right) \operatorname{tg} \frac{z_2^E - z_1^E}{2} + \frac{I_1 - I_2}{2} + \frac{S_2 - S_1}{2} \quad (1.118)$$

în care:

$$H_m = \frac{H_1 + H_2}{2} \quad (1.119)$$

H_1 și H_2 -altitudinile aproximative ale punctelor 1 și 2 care se pot extrage de pe hartă;

R_A -raza secțiunii normale de azimut „A”, pentru latitudinea medie „ B_m ” a celor două puncte;

I_i și S_i - înălțimea instrumentului și semnalului în punctul „i”.

În cazul nivelmentului trigonometric unilateral nu se

justifică reducerea unghiurilor zenitale la normala la elipsoid întrucât erorile de refracție sunt mult mai mari față de corecțiile de reducere la normala la elipsoid.

1.11.4.Reducerea distanțelor pe elipsoid

În funcție de categoria aparatelor utilizate, măsurarea laturilor (bazelor) necesare în prelucrarea rețelelor geodezice se realizează în mod diferit :

- cu ajutorul firului de invar;
- cu ajutorul aparatelor electronice.

În funcție de acestea și reducerea distanțelor pe suprafața de referință ,se va face în mod diferit.

1.11.4.1.Reducerea bazelor geodezice măsurate cu firul de invar

Lungimea bazei geodezice d^0 , măsurată cu firul de invar și prelucrată în prealabil după metodologia cunoscută [11], se reduce la o suprafață de nivel medie, situată la altitudinea „ H_m ”:

$$H_m = \frac{H_1 + H_2}{2} \quad (1.120)$$

unde : H_1 și H_2 sînt altitudinile capetelor bazei.

Pentru reducerea, în continuare, a bazei la elipsoid se poate proceda astfel :

- 1) Se reduce, pentru început, distanța d^0 la o suprafață paralelă

cu elipsoidul, situată la altitudinea elipsoidică H_m^E

$$H_m^E = \frac{H_1^E + H_2^E}{2} \quad (1.121)$$

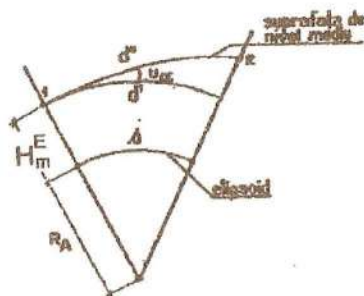


Fig.1.20.Reducerea bazelor la elipsoid

În limita aproximațiilor admisibile se poate înlocui suprafața elipsoidului cu suprafața sferică de rază " R_A ", care se calculează cu relația (1.58), la latitudinea medie a capetelor bazei. Din fig.1.20 rezultă :

$$d' = d^0 \cos u_\alpha \quad (1.122)$$

unde:

$$u_\alpha = \xi_m \cos \alpha + \eta_m \sin \alpha \quad (1.123)$$

$$\xi_m = \frac{\xi_1 + \xi_2}{2}; \quad \eta_m = \frac{\eta_1 + \eta_2}{2} \quad (1.124)$$

2) Se calculează baza redusă la nivelul elipsoidului din relația:

$$\frac{s}{R_A} = \frac{d'}{R_A + H_m^E} \quad (1.125)$$

de unde:

$$s = d' \frac{R_A}{R_A + H_m^E} = d' \frac{R_A + H_m^E - H_m^E}{R_A + H_m^E} \approx d' \left(1 - \frac{H_m^E}{R_A}\right) \quad (1.126)$$

Prin dezvoltarea în serie a relației de mai sus rezultă:

$$s = d' \left(1 - \frac{H_m^E}{R_A} + \left(\frac{H_m^E}{R_A}\right)^2 - \dots\right) \quad (1.127)$$

Altitudinile elipsoidice ale capetelor bazei se calculează în funcție de cotele ortometrice și undulațiile geoidului.

Pentru reducerea riguroasă a bazelor măsurate cu firul de invar, la suprafața elipsoidului de referință, sunt necesare componentele deviației verticale și undulațiile geoidului în punctele de capăt ale bazei.

1.11.4.2 Reducerea laturilor măsurate cu aparate electronice

Laturile măsurate cu ajutorul aparatelor electronice de tipul stațiilor totale, telurometrelor etc, sunt prelucrate de asemenea în prealabil, prin aplicarea așa numitelor *corecții fizice*. Distanța D^0 rezultată după această operație este situată la nivelul celor două puncte, între care s-a efectuat măsurătoarea (fig. 1.21). Rezultă că este necesară cunoașterea altitudinilor elipsoidice H_1^E și H_2^E , și prin urmare, a undulațiilor geoidului în aceste puncte.

În figura 1.21 se aplică ecuația lui Pitagora generalizată rezultând:

$$(D^0)^2 = (R_A + H_1^E)^2 + (R_A + H_2^E)^2 - 2(R_A + H_1^E)(R_A + H_2^E) \cos \omega \quad (1.128)$$

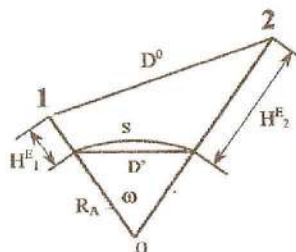


Fig.1.21.Reducerea distanțelor măsurate cu aparate electronice

Dezvoltând relația (1.128) și introducând notațiile:

$$\cos \omega = 1 - 2 \sin^2 \frac{\omega}{2}; \quad D' = 2R_A \sin \frac{\omega}{2}; \quad \Delta H_{12}^E = H_2^E - H_1^E \quad (1.129)$$

se obține:

$$(D^0)^2 = R_A^2 + 2R_A H_1^E + (H_1^E)^2 + R_A^2 + 2R_A H_2^E + (H_2^E)^2 - 2(R_A + H_1^E)(R_A + H_2^E) + 4R_A^2 \left(1 + \frac{H_1^E}{R_A}\right) \left(R_A + \frac{H_2^E}{R_A}\right) \sin^2 \frac{\omega}{2} =$$

$$\begin{aligned} &= (H_1^E)^2 - 2H_1^E H_2^E + (H_2^E)^2 + \left(1 + \frac{H_1^E}{R_A}\right) \left(R_A + \frac{H_2^E}{R_A}\right) (D')^2 = \\ &= (\Delta H_{12}^E)^2 + \left(1 + \frac{H_1^E}{R_A}\right) \left(R_A + \frac{H_2^E}{R_A}\right) (D')^2 \end{aligned} \quad (1.130)$$

Din relația (1.130) rezultă lungimea corzii D' :

$$D' = \sqrt{\frac{(D_0)^2 - (\Delta H_{12}^E)^2}{\left(1 + \frac{H_1^E}{R_A}\right) \left(1 + \frac{H_2^E}{R_A}\right)}} \quad (1.131)$$

Lungimea arcului "s" care reprezintă lungimea laturii măsurate redusă la suprafața elipsoidului se obține cu formula:

$$s = R_A \omega = 2R_A \frac{\omega}{2} = 2R_A \arcsin \frac{D'}{2R_A} \quad (1.132)$$

Din formulele (1.131) și (1.132) se observă că nu este necesară cunoașterea deviațiilor verticalelor în punctele 1 și 2, așa cum a fost în cazul reducerii bazelor măsurate cu firul de invar, dar pentru determinarea cotelor elipsoidale sunt necesare undulațiile geoidului în aceste puncte.

1.11.5. Corecția de centrare și reducere

Datorită unor imperfecțiuni inerente de construcție a semnalelor geodezice, precum și datorită influenței unor factori aleatori, observațiile unghiulare reduse la suprafața elipsoidului

trebuie centrate, prin aplicarea unor corecții corespunzătoare, în cadrul tuturor rețelelor de triangulație (indiferent de ordinul sau mărimea rețelei).

În punctul de triangulație „P” (fig.1.22) se consideră rezultatul obținut pe foaia de centrare –reducere și se acceptă că între acest punct și punctul de triangulație „P₁” există o legătură reciprocă.

Se notează cu „M” direcțiile măsurate pe pilastrul „P” al punctului „P” și reduse, în prealabil, pe direcția de referință „R”, în raport cu care s-au determinat elementele de centrare.

Deoarece borna „C” și pilastrul „I” nu se află pe aceeași verticală, în loc să se măsoare direcția „α” s-a măsurat direcția „M”. Se observă că:

$$\alpha = M + c \quad (1.133)$$

În relația (1.133) termenul „c” se numește *corecție de centrare*, care se calculează din triunghiul CP₁I prin aplicarea teoremei sinusului:

$$\frac{\sin c}{l} = \frac{\sin(\theta + M)}{D} \quad (1.134)$$

unde:

D- distanța PP₁, cunoscută din calculele preliminare;

l- excentricitatea pilastrului față de bornă;

θ- unghiul măsurat pe foaia de centrare.

Având în vedere că excentricitatea „l” este infinit mică față de distanța dintre puncte, din (1.134) rezultă:

$$c^{cc} = \rho^{cc} \frac{l \sin(\theta + M)}{D} \quad (1.135)$$

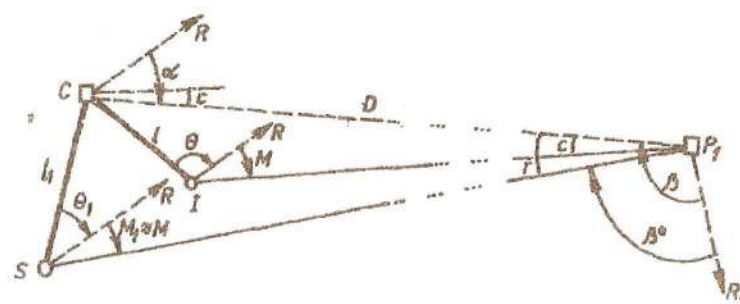


Fig.1.22. Corecția de centrare și reducere

Cu elementele foi de centrare determinate în punctul „P” se determină elementele de reducere din punctul „P₁”. Astfel datorită excentricității semnalului „S” față de borna „C” în loc să se măsoare unghiul „β” în punctul „P₁” față de direcția de referință „R₁” se măsoară unghiul β⁰. Valoarea măsurată va trebui corectată cu o corecție „r” denumită corecția de reducere.

$$\beta = \beta^0 + r \quad (1.136)$$

Corecția „r” se determină din triunghiul CP₁S prin aplicarea teoremei sinusului de unde rezultă:

$$r^{cc} = \rho^{cc} \frac{l_1 \sin(\theta_1 + M)}{D} \quad (1.137)$$

unde :

l₁- excentricitatea semnalului față de bornă;

θ₁- unghi măsurat pe foaia de centrare conform fig.1.22.

Aproximarea M ≈ M₁, nu introduce erori superioare față de valoarea unghiurilor θ și θ₁.

2. REZOLVAREA TRIUNGHIIURILOR GEODEZICE PE SUPRAFAȚA ELIPSOIDULUI DE REFERINȚĂ

Rezolvarea triunghiurilor, situate pe suprafața terestră numite și triunghiuri geodezice, poate fi realizată prin trecerea de la triunghiuri geodezice elipsoidale la triunghiuri geodezice sferice.

Această trecere este posibilă la triunghiuri mici, adică în situații în care suprafața elipsoidală de referință este aplicabilă pe o sferă de rază medie " R_m " calculată în centrul de greutate al triunghiului.

Se demonstrează că, sub 60 km, lungimea laturilor, triunghiurilor geodezice elipsoidale este egală cu cea a triunghiurilor sferice, cu aproximație de 1 mm.

A rezolva un triunghi geodezic sferic înseamnă, a determina două laturi în situația în care sunt cunoscute celelalte elemente ale triunghiului, o latură și cele trei unghiuri.

Datorită faptului că excesele sferice ale triunghiurilor geodezice sferice sunt mici, nu este necesar și nici comod să facem rezolvarea lor după formulele trigonometriei sferice, ci această rezolvare se face mai simplu, folosindu-se două metode:

- metoda Legendre;
- metoda Soldner (aditamentelor).

Intrucât în ambele metode intervine în calcul, *excesul sferic* se prezintă în continuare expresiile de calcul ale acestuia.

2.1. Excesul sferic

Diferența dintre suma unghiurilor într-un triunghi sferic (neafectată de erorile de măsurare) și condiția geometrică într-un triunghi plan ($\Sigma\alpha_i=200^g$) se numește *exces sferic* (ε):

$$\varepsilon = (\alpha) + (\beta) + (\gamma) - 200^g \quad (2.1)$$

Intrucât în procesul de măsurare și de reducere a unghiurilor pe elipsoidul de referință se produc erori, valoarea cea mai probabilă a unghiurilor, se exprimă cu relația:

$$(\alpha) = \alpha^0 + v_\alpha; (\beta) = \beta^0 + v_\beta; (\gamma) = \gamma^0 + v_\gamma \quad (2.2)$$

în care:

$\alpha^0, \beta^0, \gamma^0$ – unghiuri măsurate și reduse pe suprafața elipsoidului;

$(\alpha), (\beta), (\gamma)$ – valoarea cea mai probabilă a unghiurilor;

$v_\alpha, v_\beta, v_\gamma$ – corecțiile unghiurilor măsurate, obținute pe baza unei ecuații de corecții de forma:

$$v_\alpha + v_\beta + v_\gamma + W = 0 \quad (2.3)$$

Se înlocuiește (2.2) în (2.1) și se exprimă corecțiile unghiurilor măsurate (2.3) în funcție de neînchiderea " W ". Astfel rezultă:

$$\alpha^0 + \beta^0 + \gamma^0 - 200^g = \varepsilon + W \quad (2.4)$$

Pentru a se putea efectua calculele de compensare și de rezolvare a triunghiurilor geodezice se impune, mai întâi, calculul expresiei excesului sferic.

În acest sens, în fig.2.1 se vor calcula suprafețele fusurilor sferice, corespunzătoare unghiurilor α, β, γ , în funcție de relațiile de calcul ale acestora și în mod geometric în funcție de suprafața triunghiului sferic ABC și ale triunghiurilor adiacente.

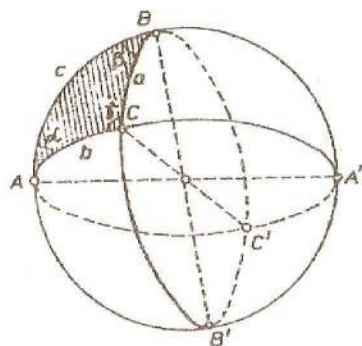


Fig.2.1. Excesul sferic

Astfel se obține:

$$\begin{aligned}(\alpha\alpha) &= 4\pi R^2 \frac{\alpha}{400} \\(\beta\beta) &= 4\pi R^2 \frac{\beta}{400} \\(\gamma\gamma) &= 4\pi R^2 \frac{\gamma}{400}\end{aligned}\quad (2.5)$$

Prin adunarea expresiilor fusurilor sferice se obține:

$$(\alpha\alpha) + (\beta\beta) + (\gamma\gamma) = \frac{2\pi R^2}{200} (\alpha + \beta + \gamma) \quad (2.6)$$

Exprimând suprafețele aceluiași fusuri sferice în mod geometric se obține:

$$\begin{aligned}(\alpha\alpha) &= S + BA'C \\(\beta\beta) &= S + CB'A \\(\gamma\gamma) &= S + BC'A = S + CA'B'\end{aligned}\quad (2.7)$$

Prin adunare rezultă:

$$(\alpha\alpha) + (\beta\beta) + (\gamma\gamma) = 3S + 2\pi R^2 - S = 2S + 2\pi R^2 \quad (2.8)$$

În funcție de (2.6) și (2.8) se obține:

$$\frac{4\pi R^2}{400} (\alpha + \beta + \gamma) = 2S + 2\pi R^2 \quad (2.9)$$

sau:

$$\frac{2\pi R^2}{200} \underbrace{(\alpha + \beta + \gamma - 200^g)}_{\varepsilon} = 2S \quad (2.10)$$

de unde rezultă:

$$\varepsilon = \frac{200^g}{\pi} \frac{S}{R^2} = \rho^g \frac{S}{R^2} \quad (2.11)$$

Intrucât mărimea excesului sferic este de ordinul secundelor și factorul de transformare se va exprima în secunde:

$$\rho^{\circ} = \frac{200 \cdot 100 \cdot 100}{\pi} \approx 636620^{\circ} \quad (2.11)$$

În triunghiurile geodezice mici, suprafața triunghiurilor sferice poate fi înlocuită cu suprafața triunghiurilor plane și astfel se poate scrie:

$$\begin{aligned} \varepsilon^{\circ} &= \rho^{\circ} \frac{S'}{R^2} = \rho^{\circ} \frac{a'b' \sin \gamma'}{2R^2} = \\ &= \rho^{\circ} \frac{a'c' \sin \beta'}{2R^2} = \rho^{\circ} \frac{b'c' \sin \alpha'}{2R^2} \end{aligned} \quad (2.12)$$

Observație: Mărimile notate cu prim, în relația (2.12), reprezintă elementele triunghiului plan.

Prin aplicarea formulei de calcul a excesului sferic în triunghiuri sferice echilaterale, pentru valorile medii ale lungimii laturilor rețelelor de triangulație, se obțin valorile :

Tabelul 2.1

Lungime laturi [km]	2	4	7	15	25	30	60
Exces sferic ε°	0.027	0.108	0.332	1.524	4.234	6.097	24.388

Din tabelul 2.1 se observă că excesul sferic are valori mai semnificative pentru rețelele de triangulație de ordinal I și II.

mai semnificative pentru rețelele de triangulație de ordinal I și II.

2.2 Rezolvarea triunghiurilor sferice mici prin metoda Legendre

Fie un triunghi geodezic sferic ABC, (fig.2.2) pe sfera de rază medie Gauss, $R_m = \sqrt{MN}$, ale cărei laturi considerate în unități liniare (exemplu în metri) le notăm cu a, b, c. Corespunzător notăm laturile în radiani prin :

$$\hat{a} = \frac{a}{R}; \hat{b} = \frac{b}{R}; \hat{c} = \frac{c}{R} \quad (2.13)$$

Aplicăm în triunghiul ABC teorema sinusului:

$$\frac{\sin \hat{a}}{\sin \alpha} = \frac{\sin \hat{b}}{\sin \beta} \quad (2.14)$$

sau:

$$\sin \hat{a} \sin \beta = \sin \hat{b} \sin \alpha \quad (2.15)$$

Dezvoltăm în serie sinusurile ale căror argumente sunt mici și avem :

$$\left(\hat{a} - \frac{\hat{a}^3}{6} \right) \sin \beta = \left(\hat{b} - \frac{\hat{b}^3}{6} \right) \sin \alpha \quad (2.16)$$

sau, conform notațiilor (2.13), relația (2.16) devine:

$$\left(\frac{a}{R} - \frac{a^3}{6R^3}\right) \sin \beta = \left(\frac{b}{R} - \frac{b^3}{6R^3}\right) \sin \alpha \quad (2.17)$$

Dezvoltând (2.17) obținem :

$$a \sin \beta - \frac{a^3 \sin \beta}{6R^2} = b \sin \alpha - \frac{b^3 \sin \alpha}{6R^2}$$

$$a \left(\sin \beta - \frac{a^2 \sin \beta}{6R^2} \right) = b \left(\sin \alpha - \frac{b^2 \sin \alpha}{6R^2} \right) \quad (2.18)$$

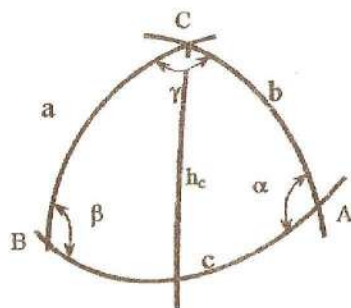


Fig.2.2. Triunghi sferic (Rezolvare Legendre)

Notând cu " h_c " înălțimea în triunghi coborâtă din "C" pe latura AB, se poate scrie:

$h_c = a \sin \beta = b \sin \alpha$ (formulă plană, însă aplicabilă din cauza numitorului foarte mare)

și deci :

$$a \left(\sin \beta - \frac{a h_c}{6R^2} \right) = b \left(\sin \alpha - \frac{b h_c}{6R^2} \right) \quad (2.19)$$

Pe de altă parte, conform teoremei proiecțiilor din trigonometria plană avem :

$$\begin{aligned} a &= c \cos \beta + b \cos \gamma \\ b &= a \cos \gamma + c \cos \alpha \end{aligned} \quad (2.20)$$

Cu aceasta putem scrie :

$$\begin{aligned} a \left(\sin \beta - \frac{c \cos \beta + b \cos \gamma}{6R^2} h_c \right) &= \\ &= b \left(\sin \alpha - \frac{a \cos \gamma + c \cos \alpha}{6R^2} h_c \right) \end{aligned} \quad (2.21)$$

După reducerea termenilor de același fel se obține :

$$a \left(\sin \beta - \frac{c h_c}{6R^2} \cos \beta \right) = b \left(\sin \alpha - \frac{c h_c}{6R^2} \cos \alpha \right) \quad (2.22)$$

Notând excesului sferic " ε ", pentru triunghiul considerat, cu expresia :

$$\varepsilon = \frac{c h_c}{2R^2} \quad (2.23)$$

egalitatea (2.22), devine :

$$a \left(\sin \beta - \frac{\varepsilon}{3} \cos \beta \right) = b \left(\sin \alpha - \frac{\varepsilon}{3} \cos \alpha \right) \quad (2.24)$$

Datorită valorilor mici ale excesului sferic "ε" se poate înlocui valoarea argumentului cu valoarea funcției :

$$\frac{\varepsilon}{3} = \operatorname{tg} \frac{\varepsilon}{3} \quad (2.25)$$

Astfel egalitatea (2.24) ia forma :

$$a \left(\sin \beta - \operatorname{tg} \frac{\varepsilon}{3} \cos \beta \right) = b \left(\sin \alpha - \operatorname{tg} \frac{\varepsilon}{3} \cos \alpha \right) \quad (2.26)$$

Înlocuind valoarea tangentei cu raportul dintre sinus și cosinus și aducând la același numitor se obține :

$$a \left(\sin \beta \cos \frac{\varepsilon}{3} - \sin \frac{\varepsilon}{3} \cos \beta \right) = b \left(\sin \alpha \cos \frac{\varepsilon}{3} - \sin \frac{\varepsilon}{3} \cos \alpha \right) \quad (2.27)$$

sau:

$$a \sin \left(\beta - \frac{\varepsilon}{3} \right) = b \sin \left(\alpha - \frac{\varepsilon}{3} \right) \quad (2.28)$$

$$\frac{a}{\sin \left(\alpha - \frac{\varepsilon}{3} \right)} = \frac{b}{\sin \left(\beta - \frac{\varepsilon}{3} \right)}$$

În general se poate scrie :

$$\frac{a}{\sin \alpha'} = \frac{b}{\sin \beta'} = \frac{c}{\sin \gamma'} \quad (2.29)$$

în care :

$$\alpha' = \alpha - \frac{\varepsilon}{3}; \beta' = \beta - \frac{\varepsilon}{3}; \gamma' = \gamma - \frac{\varepsilon}{3} \quad (2.30)$$

În concluzie, *a rezolva triunghiul sferic ABC este identic cu a rezolva triunghiul plan A'B'C' ale cărui laturi sunt egale cu cele ale triunghiului sferic și ale cărui unghiuri α', β', γ' sunt micșorate față de cele ale triunghiului sferic cu o treime din valoarea excesului sferic (ε/3).*

Recapitulând etapele de rezolvare ale triunghiurilor elipsoidice mici, prin metoda Legendre, se menționează:

- calculul excesului sferic ;
- compensarea unghiurilor în triunghiul elipsoidic mic prin repartitia neînchiderii "w" în mod egal celor trei unghiuri;
- calculul unghiurilor în triunghiul plan prin corectarea celor de pe elipsoid cu o treime din excesul sferic;
- calculul celorlalte laturi în triunghiul plan care, conform teoriei sunt egale cu cele din triunghiul sferic.

2.2.Rezolvarea triunghiurilor sferice mici, prin metoda Soldner

Considerăm din nou triunghiul sferic ABC, fig.2.3, ale cărui unghiuri sunt α, β, γ și laturile a, b, c.

Aplicând teorema sinusului obținem seria de rapoarte :

$$\frac{\sin \hat{a}}{\sin \alpha} = \frac{\sin \hat{b}}{\sin \beta} = \frac{\sin \hat{c}}{\sin \gamma} \quad (2.31)$$

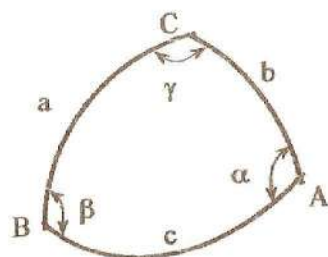


Fig.2.3.Rezolvarea triunghiurilor elipsoidale mici (metoda Soldner)

sau :

$$\frac{\sin \frac{a}{R}}{\sin \alpha} = \frac{\sin \frac{b}{R}}{\sin \beta} = \frac{\sin \frac{c}{R}}{\sin \gamma} \quad (2.32)$$

Se dezvoltă în serie sinusurile de argumente mici, până la primii doi termeni și se obține :

$$\begin{aligned} \sin \frac{a}{R} &= \frac{a}{R} - \frac{a^3}{6R^3}; \\ \sin \frac{b}{R} &= \frac{b}{R} - \frac{b^3}{6R^3}; \\ \sin \frac{c}{R} &= \frac{c}{R} - \frac{c^3}{6R^3} \end{aligned} \quad (2.33)$$

Înlocuind (2.33), în (2.32), după simplificări rezultă :

$$\frac{a - \frac{a^3}{6R^2}}{\sin \alpha} = \frac{b - \frac{b^3}{6R^2}}{\sin \beta} = \frac{c - \frac{c^3}{6R^2}}{\sin \gamma} \quad (2.34)$$

Introducem notațiile :

$$a - \frac{a^3}{6R^2} = a'; b - \frac{b^3}{6R^2} = b'; c - \frac{c^3}{6R^2} = c' \quad (2.35)$$

sau, în caz general :

$$s' = s - \frac{s^3}{6R^2} = s - A_s \quad (2.36)$$

unde: "A_s" se numește aditament liniar a laturii "s", de unde rezultă a doua denumire sub care este cunoscută metoda: *metoda aditamentelor*.

Cu acestea se poate scrie :

$$\frac{a'}{\sin \alpha} = \frac{b'}{\sin \beta} = \frac{c'}{\sin \gamma} \quad (2.37)$$

S-a obținut în acest fel formula sinusului cunoscută pentru elementele unui triunghi plan.

De aici concluzia că: *triunghiul sferic A, B, C, poate fi rezolvat ca un triunghi plan cu condiția ca triunghiul plan să aibă aceleași unghiuri ca triunghiul sferic, iar laturile să fie a', b', c' date de relațiile (2.35).*

Pentru rezolvarea triunghiurilor geodezice mici prin aceeași metodă se parcurg etapele:

- calculul excesului sferic;
- compensarea unghiurilor în triunghiul elipsoidic mic prin repartizarea neînchiderii în mod egal celor trei unghiuri:

$$\alpha = \alpha^0 - \frac{w}{3}; \beta = \beta^0 - \frac{w}{3}; \gamma = \gamma^0 - \frac{w}{3} \quad (2.38)$$

unde:

$\alpha^0, \beta^0, \gamma^0$ - valoarea unghiurilor măsurate și reduse pe suprafața elipsoidului de referință;

w - neînchiderea în triunghiul sferic:

$$w = \alpha^0 + \beta^0 + \gamma^0 - (200 + \varepsilon) \quad (2.39)$$

- calculul aditamentului liniar al laturii "a" și apoi al valorii laturii în triunghiul plan;
- calculul celorlalte laturi ale triunghiului plan;
- calculul aditamentelor liniare ale celorlalte laturi și apoi a mărimii lor, în triunghiul elipsoidic mic.

3.PROBLEME GEODEZICE DE BAZĂ

3.1.Scopul și importanța problemelor geodezice de bază

Pe baza observațiilor executate pe suprafața terestră, proiectate pe elipsoidul de referință, urmează să stabilim prin calcul pozițiile punctelor geodezice de prim ordin într-un anumit sistem de coordonate utilizat pe elipsoid.

Pentru că sistemul coordonatelor geodezice prezintă avantaje deosebite comparativ cu celelalte sisteme, privind calculele necesare și modul unitar de determinare a punctelor geodezice, indiferent de poziția lor pe suprafața elipsoidului, în practica geodezică este utilizat în mod curent.

Problemele geodezice de bază se referă la sistemul coordonatelor geografice elipsoidale și constau în următoarele :

a. *Problema geodezică directă*, determină coordonatele geodezice "B₂", "L₂" ale unui punct, "S₂" (fig.3.1) și azimutul "A₂" în acest punct în funcție de coordonatele geodezice ale punctului "S₁"(B₁, L₁) și elementele geodezice de legătură (distanța "s₁₂" între punctele "S₁" și "S₂" și azimutul "A₁" în punctul "P₁").

Această problemă este similară cu problema cunoscută la topografie, privind determinarea coordonatelor (x₂, y₂) ale unui punct "S₂" în funcție de coordonatele (x₁, y₁) ale punctului "S₁",distanța "s₁₂" și orientarea "θ₁₂".

Problema geodezică directă, dat fiind scopul care-l urmărește, mai poartă denumirea și de problema transportului de coordonate geodezice.

b. *Problema geodezică inversă*, utilizează ca mărimi coordonatele geodezice, " B_1 ", " L_1 " și " B_2 ", " L_2 " ale punctelor " S_1 " și " S_2 " cu ajutorul cărora se determină azimutele " A_1 ", " A_2 " și lungimea liniei geodezice " s_{12} ".

Cu problema geodezică directă se calculează coordonatele unor puncte geodezice ce formează o rețea geodezică de ordinul I, iar cu problema geodezică inversă se calculează elementele geodezice inițiale (distanțe și azimute) și se verifică calculele efectuate la problema geodezică directă.

3.2. Precizia de calcul a coordonatelor geodezice

Precizia de calcul, ca în orice problemă geodezică, urmărește ca erorile de calcul să fie de cca. 10 ori mai mici față de erorile medii ale mărimilor măsurate.

Evident, aceasta este în funcție și de distanțele între punctele geodezice, respectiv cu cât distanțele cresc precizia calculelor are o semnificație deosebită.

Se poate arăta că, în triangulația de ordinul I în care intervin distanțe geodezice, (în medie de 30 – 40 km) este necesar ca aproximația de calcul pentru coordonatele geodezice " B " și " L " să fie de $\pm 0'',0001$, pentru azimute de $\pm 0'',001$, iar pentru distanțe de $\pm 0,001$ m.

De asemenea din cauza distanțelor geodezice relativ mici, la rezolvarea problemelor geodezice se aplică metode în care se acceptă unele aproximații cum ar fi: dezvoltări în serie, înlocuirea suprafeței elipsoidului cu sfera de rază medie, etc.

3.3. Rezolvarea problemei geodezice directe

În funcție de lungimea liniei geodezice se pot distinge următoarele metode de rezolvare a problemelor geodezice directe:

- metoda dezvoltării în serie (metoda Legendre), pentru distanțe mici $s < 60$ km;
- metoda argumentelor medii (metoda Gauss), pentru distanțe medii $60 < s < 600$ km;
- metoda Bessel, pentru distanțe geodezice mari $600 < 20000$ km.

De menționat, că în prezenta lucrare se vor trata numai metodele de rezolvare a problemelor geodezice pentru distanțe scurte ($s < 60$ km), urmând ca persoanele interesate să regăsească celelalte metode în [10], [12], [13], [24] etc.

3.3.1. Metoda dezvoltărilor în serie

Fiind cunoscută poziția punctului inițial $S_1(B_1, L_1)$, lungimea liniei geodezice " s " și azimutul " A_1 " al direcției $S_1 S_2$ (fig.3.1), se pune problema determinării coordonatelor geodezice " B_2 " și " L_2 ", ale punctului " S_2 " și azimutul invers " A_2 ".

Deoarece diferențele $(B_2 - B_1)$, $(L_2 - L_1)$ și $(A_2 - A_1)$ vor fi funcție numai de lungimea liniei geodezice " s " se acceptă următoarele dezvoltări în serie Maclaurain:

$$B_2 - B_1 = \frac{dB}{ds}s + \frac{d^2B}{ds^2} \frac{s^2}{2!} + \frac{d^3B}{ds^3} \frac{s^3}{3!} + \dots$$

$$L_2 - L_1 = \frac{dL}{ds}s + \frac{d^2L}{ds^2} \frac{s^2}{2!} + \frac{d^3L}{ds^3} \frac{s^3}{3!} + \dots \quad (3.1)$$

$$A_2 - A_1 = \frac{dA}{ds}s + \frac{d^2A}{ds^2} \frac{s^2}{2!} + \frac{d^3A}{ds^3} \frac{s^3}{3!} + \dots$$

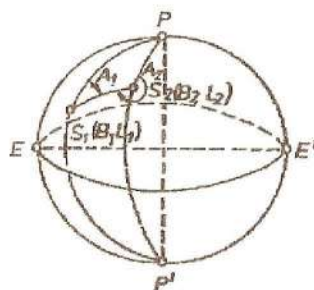


Fig. 3.1. Problema geodezică directă

Derivatele din egalitățile (3.1.) se calculează în punctul "S₁", deci cu mărimile cunoscute în acest punct.

Pentru calculul derivatelor de ordinul I, ne vom referi la fig. 3.2, în care "ds" este un element liniar al liniei geodezice S₁S₂. Elementele cunoscute în punctul "S₁" (latitudine, longitudine și azimut) sunt notate cu B, L, A, urmând ca expresiile derivatelor de ordinal I să fie stabilite în mod geometric.

Astfel din triunghiurile S₁S'S și O'S'S₁ rezultă derivata latitudinii "B" în raport cu lungimea infinitesimală a liniei geodezice :

$$S_1S' = ds \cos A = MdB \Rightarrow \frac{dB}{ds} = \frac{\cos A}{M} \quad (3.2)$$

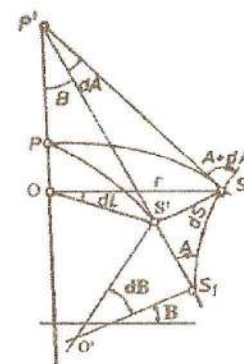


Fig. 3.2. Metoda Legendre

Din triunghiurile S₁S'S și OSS' rezultă derivata longitudinii (L) în raport cu linia geodezică :

$$SS' = rdL = ds \sin A \Rightarrow \frac{dL}{ds} = \frac{\sin A}{r} = \frac{\sin A}{N \cos B} \quad (3.3)$$

Din triunghiurile S₁S'S și P'SS' rezultă derivata azimutului (A) în raport cu ds:

$$\begin{aligned} S'S &= \overline{P'S'}dA = ds \sin B \Rightarrow \frac{dA}{ds} = \frac{\sin B}{P'S'} = \\ &= \frac{\sin B}{r} = \frac{\sin B}{N \cos A} \Rightarrow \frac{dA}{ds} = \frac{\operatorname{tg} B \sin A}{N} \end{aligned} \quad (3.4)$$

Recapitulând, expresiile derivatelor de ordinul întâi se prezintă sub forma:

$$\begin{aligned}\frac{dB}{ds} &= \frac{\cos A}{M} \\ \frac{dL}{ds} &= \frac{\sin A}{N \cos B} \\ \frac{dA}{ds} &= \frac{\operatorname{tg} B \sin A}{N}\end{aligned}\quad (3.5)$$

Înlocuind în (3.5) valorile razelor de curbură, conform relațiilor (1.34) și (1.36) se obține:

$$\begin{aligned}\frac{dB}{ds} &= \frac{V^3}{c} \cos A \\ \frac{dL}{ds} &= \frac{V \sin A}{c \cos \varphi} \\ \frac{dA}{ds} &= \frac{V}{c} \operatorname{tg} B \sin A\end{aligned}\quad (3.6)$$

Derivatele de ordin superior ordinului întâi se obțin derivând succesiv în raport cu "s" expresiile (3.6). Astfel, derivatele de ordinul doi se prezintă sub forma:

$$\frac{d^2 B}{ds^2} = \frac{1}{c} \left(3V^2 \cos A \frac{dV}{dB} \frac{dB}{ds} - V^3 \sin A \frac{dB}{ds} \right) \quad (3.7)$$

$$\frac{d^2 L}{ds^2} = \frac{1}{c} \left(\frac{\sin A}{\cos B} \frac{dV}{dB} \frac{dB}{ds} + \frac{V}{\cos B} \cos A \frac{dA}{ds} + \frac{V \sin A}{\cos^2 B} \sin B \frac{dB}{ds} \right)$$

$$\frac{d^2 A}{ds^2} = \frac{1}{c} \left(\operatorname{tg} B \sin A \frac{dV}{dB} \frac{dB}{ds} + \frac{V}{\cos B} \sin A \frac{dB}{ds} + V \operatorname{tg} B \cos A \frac{dA}{ds} \right)$$

În urma prelucrării relațiilor (3.7.) rezultă:

$$\left(\frac{d^2 B}{ds^2} \right)_1 = -\frac{V^4}{c^2} t_1 (3\eta_1^2 \cos^2 A_1 + \sin^2 A_1)$$

$$\frac{d^2 B}{ds^2} = \frac{2V^2}{c^2 \cos B} t_1 \sin A_1 \cos A_1 \quad (3.8)$$

$$\frac{d^2 A}{ds^2} = \frac{V^2}{c^2} \sin A_1 \cos A_1 (1 + 2t_1^2 + \eta_1^2)$$

în care s-a notat:

$$\begin{aligned}t_1 &= \operatorname{tg} B_1 \\ \eta_1 &= e' \cos B_1\end{aligned}\quad (3.9)$$

Pentru celelalte derivate se procedează analog.

Revenind la relația (3.1.), în care se înlocuiesc expresiile derivatelor se obțin relațiile definitive:

$$\frac{B_2 - B_1}{\nu^2} = u - \frac{1}{2\rho} \nu^2 t - \frac{3}{2\rho} u^2 \eta^2 t - \frac{\nu^2 u}{6\rho^2} (1 + 3t^2 + \eta^2 - 9\eta^2 t^2) - \frac{u^3}{2\rho^2} \eta^2 (1 - t^2) + \frac{\nu^4}{24\rho^3} t (1 + 3t^2) - \frac{\nu^2 u^2}{6\rho^3} t (2 + 3t^2) + \dots \quad (3.10)$$

$$(L_2 - L_1) \cos B = \nu + \frac{1}{\rho} \nu u t - \frac{\nu^3}{3\rho^2} t^2 + \frac{\nu u^2}{3\rho^2} (1 + 3t^2 + \eta^2) - \frac{\nu^3 u}{3\rho^3} t (1 + 3t^2) + \frac{\nu u^3}{3\rho^3} (2 + 3t^2) + \dots \quad (3.11)$$

$$A_2 - A_1 = \nu t + \frac{\nu u}{2\rho} (1 + 2t^2 + \eta^2) - \frac{\nu^3}{6\rho^2} t (1 + 2t^2 + \eta^2) + \frac{\nu u^3}{6\rho^2} (5 + 6t^2 + \eta^2) - \frac{\nu^3 u}{24\rho^3} (1 + 20t^2 + 24t^4) + \dots \quad (3.12)$$

în care :

$$\begin{aligned} u &= \frac{\rho}{N} s \cos A = \frac{\rho}{c} V s \cos A \\ \nu &= \frac{\rho}{N} s \sin A = \frac{\rho}{c} V s \sin A \end{aligned} \quad (3.13)$$

Relațiile (3.10.) , (3.11.) și (3.12.) pot fi scrise mai simplu notând coeficienții mărimilor u , ν , u^2 , ν^2 , ... cu a , b , c , ... , de indici diferiți.

Pentru elipsoidul de referință Krasovski acești coeficienți se extrag din tabele în funcție de latitudinea " B_1 " a punctului " P_1 ".

3.3.2. Metoda înlocuirii suprafeței elipsoidului cu sfera Gauss

Considerăm punctele " P_1 " și " P_2 " (fig.3.3.a) pe o sferă de rază medie a triunghiului sferic $P_1 P P_2$. Se cunosc coordonatele geodezice ale punctului " P_1 " (B_1 , $L_1=0$), azimutul direcției $P_1 P_2$ (A_1) și lungimea liniei geodezice " s ". Se vor determina coordonatele punctului " P_2 " (B_2 , L_2) și azimutul invers " A_2 ".

Pentru a ușura scrierea relațiilor se alege un triunghi sferic a căror elemente sunt reprezentate în fig. 3.3. b.

Pentru rezolvarea problemei scriem formulele a trei elemente adiacente într-un triunghi sferic oarecare (fig.3.3 b) și obținem :

$$\begin{aligned} \sin \frac{a}{2} \cos \frac{B-C}{2} &= \sin \frac{b+c}{2} \sin \frac{A}{2} \\ \sin \frac{a}{2} \sin \frac{B-C}{2} &= \sin \frac{b-c}{2} \cos \frac{A}{2} \\ \cos \frac{a}{2} \cos \frac{B+C}{2} &= \cos \frac{b+c}{2} \sin \frac{A}{2} \\ \cos \frac{a}{2} \cos \frac{B+C}{2} &= \cos \frac{b-c}{2} \cos \frac{A}{2} \end{aligned} \quad (3.13)$$

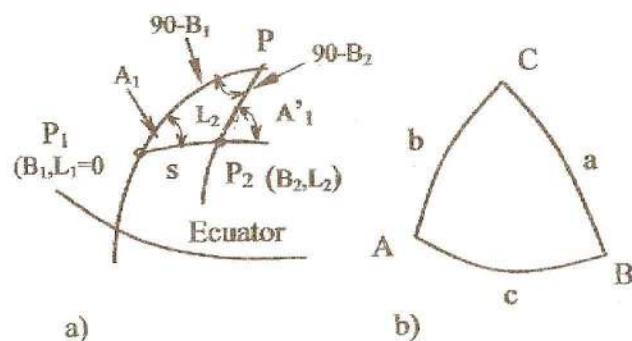


Fig.3.3. a. Triunghiul sferic pe sferă;
b. Notățiile în triunghiul sferic.

Triunghiul sferic ABC identificat cu triunghiul sferic P₁P₂P conduce la egalitățile :

$$\begin{aligned} A &= A_1 & a &= 90^\circ - B_2 \\ B &= 180^\circ - A'_1 & b &= 90^\circ - B_1 \\ C &= L_2 & c &= s \end{aligned} \quad (3.14)$$

și cu ajutorul acestora :

$$\begin{aligned} \frac{B-C}{2} &= \frac{180^\circ - A'_1 - L_2}{2} = 90^\circ - \frac{A'_1 + L_2}{2}, & \frac{b+c}{2} &= \frac{90^\circ - B_1 + s}{2} \\ \frac{B+C}{2} &= \frac{180^\circ - A'_1 + L_2}{2} = 90^\circ - \frac{A'_1 - L_2}{2}, & \frac{b-c}{2} &= \frac{90^\circ - B_1 - s}{2} \\ \frac{A}{2} &= \frac{A_1}{2}, & \frac{a}{2} &= \frac{90^\circ - B_2}{2} \end{aligned} \quad (3.15)$$

Introducând egalitățile (3.15.) în (3.13.) se obține :

$$\begin{aligned} \text{I} \quad & \sin \frac{90^\circ - B_2}{2} \sin \frac{A'_1 + L_2}{2} = \sin \frac{90^\circ - B_1 + s}{2} \sin \frac{A_1}{2} \\ \text{II} \quad & \sin \frac{90^\circ - B_2}{2} \cos \frac{A'_1 + L_2}{2} = \sin \frac{90^\circ - B_1 - s}{2} \cos \frac{A_1}{2} \\ \text{III} \quad & \cos \frac{90^\circ - B_2}{2} \sin \frac{A'_1 - L_2}{2} = \cos \frac{90^\circ - B_1 + s}{2} \sin \frac{A_1}{2} \\ \text{IV} \quad & \cos \frac{90^\circ - B_2}{2} \cos \frac{A'_1 - L_2}{2} = \cos \frac{90^\circ - B_1 - s}{2} \cos \frac{A_1}{2} \end{aligned} \quad (3.16)$$

Prin împărțirea relațiilor I și II; III și IV se obține:

$$\begin{aligned} \operatorname{tg} \frac{A'_1 + L_2}{2} &= \frac{\sin \frac{90^\circ - B_1 + s}{2}}{\sin \frac{90^\circ - B_1 - s}{2}} \operatorname{tg} \frac{A_1}{2} \\ \operatorname{tg} \frac{A'_1 - L_2}{2} &= \frac{\cos \frac{90^\circ - B_1 + s}{2}}{\cos \frac{90^\circ - B_1 - s}{2}} \operatorname{tg} \frac{A_1}{2} \end{aligned} \quad (3.17)$$

Rezolvând sistemul de ecuații (3.17) se obțin necunoscutele "A'" și "L₂" în funcție de coordonatele geodezice ale punctului "P₁" și lungimea geodezică "s". Azimutul invers A₂ = A'₁ + 200°.

Pentru a afla latitudinea geodezică a punctului "P₂" (B₂) se împart relațiile I și III ; II și IV:

$$\operatorname{tg} \frac{90 - B_2}{2} = \frac{\sin \frac{A'_1 - L_2}{2}}{\sin \frac{A'_1 + L_2}{2}} \operatorname{tg} \frac{90 - B_1 + s}{2} \quad (3.18)$$

$$\operatorname{tg} \frac{90 - B_2}{2} = \frac{\cos \frac{A'_1 - L_2}{2}}{\cos \frac{A'_1 + L_2}{2}} \operatorname{tg} \frac{90 - B_1 - s}{2}$$

Cele două relații (3.18.) determină aceeași mărime și anume latitudinea "B₂" a punctului "P₂".

Este de precizat că metoda descrisă conduce la aceleași valori cu cele obținute prin utilizarea relațiilor (3.10.), (3.11.), (3.12.), dar transformate, în sensul că semiaxele suprafeței elipsoidului vor fi egale, deci a = b și în consecință :

- excentricitatea $e = e' = 0$

$$\begin{aligned} R = \sqrt{MN} &= \frac{a\sqrt{1-e^2}}{W^2} = \frac{a\sqrt{1-e^2}}{1-e^2 \sin^2 B} = a \\ R = \sqrt{MN} &= \frac{c}{V^2} = \frac{c}{1+e'^2 \cos^2 B} = c = \frac{a^2}{b} = a \end{aligned} \quad (3.19)$$

deci:

$$N = M = R$$

3.4. Rezolvarea problemei geodezice inverse

3.4.1. Metoda înlocuirii suprafeței elipsoidului cu sfera Gauss

În limita aproximațiilor admisibile, pentru distanțe mici, se poate asimila suprafața elipsoidului cu suprafața unei sfere de rază medie Gauss.

Ne vom referi la figurile 3.4 a și 3.4 b , pe baza cărora putem, în primă etapă, scrie formulele semisumei și semidiferenței sinusului și cosinusului în triunghiurile sferice:

$$\begin{aligned} \sin \frac{a}{2} \cos \frac{B-C}{2} &= \sin \frac{b+c}{2} \sin \frac{A}{2} \\ \sin \frac{a}{2} \sin \frac{B-C}{2} &= \sin \frac{b-c}{2} \cos \frac{A}{2} \\ \cos \frac{a}{2} \cos \frac{B+C}{2} &= \cos \frac{b+c}{2} \sin \frac{A}{2} \\ \cos \frac{a}{2} \sin \frac{B+C}{2} &= \cos \frac{b-c}{2} \cos \frac{A}{2} \end{aligned} \quad (3.20)$$

Prin identificarea triunghiurilor P₁PP₂ și CAB rezultă :

$$\begin{aligned} A &= L_2 & a &= s \\ B &= 180 - A'_1 & b &= 90 - B_1 \\ C &= A_1 & c &= 90 - B_2 \end{aligned} \quad (3.21)$$

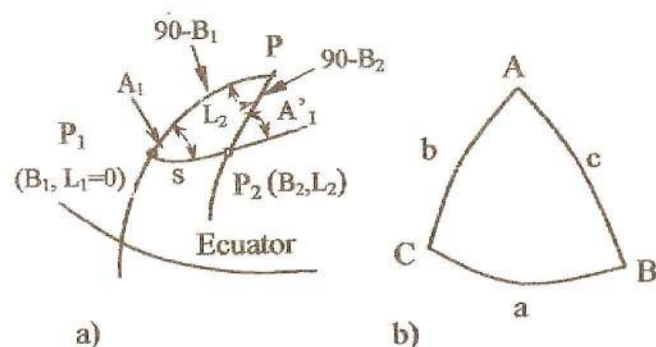


Fig.3.4.a. Triunghiul pe sferă;
b. Triunghiul sferic corespondent

și cu ajutorul acestora se calculează:

$$\begin{aligned}
 \frac{B-C}{2} &= \frac{180^\circ - A'_1 - A_1}{2} = 90^\circ - \frac{A'_1 + A_1}{2}; \\
 \frac{b-c}{2} &= \frac{90^\circ - B_1 - (90^\circ - B_2)}{2} = \frac{B_2 - B_1}{2} \\
 \frac{B+C}{2} &= \frac{180^\circ - A'_1 + A_1}{2} = 90^\circ - \frac{A'_1 - A_1}{2}; \\
 \frac{b+c}{2} &= \frac{180^\circ - B_1 - B_2}{2} = 90^\circ - \frac{B_1 + B_2}{2}
 \end{aligned} \quad (3.22)$$

$$\frac{A}{2} = \frac{L_2}{2}; \quad \frac{a}{2} = \frac{s}{2}$$

Înlocuind egalitățile (3.22.) în (3.20.) se obține :

$$\begin{aligned}
 \text{I} \quad & \sin \frac{s}{2} \sin \frac{A'_1 + A_1}{2} = \cos \frac{B_2 + B_1}{2} \sin \frac{L_2}{2} \\
 \text{II} \quad & \sin \frac{s}{2} \cos \frac{A'_1 + A_1}{2} = \sin \frac{B_2 - B_1}{2} \cos \frac{L_2}{2} \\
 \text{III} \quad & \cos \frac{s}{2} \sin \frac{A'_1 - A_1}{2} = \sin \frac{B_2 + B_1}{2} \sin \frac{L_2}{2} \\
 \text{IV} \quad & \cos \frac{s}{2} \cos \frac{A'_1 - A_1}{2} = \cos \frac{B_2 - B_1}{2} \cos \frac{L_2}{2}
 \end{aligned} \quad (3.23)$$

Împărțind egalitățile I la II și III la IV obținem :

$$\begin{aligned}
 \operatorname{tg} \frac{A'_1 + A_1}{2} &= \frac{\cos \frac{B_2 + B_1}{2}}{\sin \frac{B_2 - B_1}{2}} \operatorname{tg} \frac{L_2}{2} \\
 \operatorname{tg} \frac{A'_1 - A_1}{2} &= \frac{\sin \frac{B_2 + B_1}{2}}{\cos \frac{B_2 - B_1}{2}} \operatorname{tg} \frac{L_2}{2}
 \end{aligned} \quad (3.24)$$

În relațiile (3.24.), coordonatele punctelor "P₁" și "P₂" fiind date, rezultă că "B₁", "B₂" și "L₂" sunt cunoscute; deci

prin rezolvarea sistemului de ecuații pot fi determinate azimutele " A_1 " și " A_1' ".

Împărțind egalitățile I la III, și II la IV se obține:

$$\operatorname{tg} \frac{s}{2} = \frac{\sin \frac{A_1' - A_1}{2}}{\sin \frac{A_1' + A_1}{2}} \operatorname{ctg} \frac{B_2 + B_1}{2} \quad (3.25)$$

$$\operatorname{tg} \frac{s}{2} = \frac{\cos \frac{A_1' - A_1}{2}}{\cos \frac{A_1' + A_1}{2}} \operatorname{tg} \frac{B_2 - B_1}{2}$$

Una din relațiile (3.25) se utilizează pentru calculul lungimii liniei geodezice dintre punctele " P_1 " și " P_2 ", iar cealaltă pentru verificare.

4. RETELE GEODEZICE

Baza ridicărilor topografice și fotogrammetrice este formată din puncte geodezice uniform distribuite pe suprafața terestră și de o anumită densitate.

O *rețea geodezică* este constituită din multitudinea punctelor situate pe suprafața topografică, pentru care se cunosc coordonatele punctelor într-un sistem unitar de referință.

Poziționarea punctelor care alcătuiesc o rețea geodezică în raport cu o anumită suprafață de referință constituie una din problemele de bază ale Geodeziei, pe lângă determinarea formei și dimensiunilor Pământului.

Conceptul de poziționare punctuală, utilizat de Moldoveanu [13] se referă la stabilirea poziției unor puncte de pe suprafața terestră, apă sau din spațiu prin coordonate rectangulare, geodezice sau sferice, într-un sistem unitar de coordonate.

Înainte de prezentarea și tratarea propriu-zisă a rețelilor geodezice se va face referire la datele geodezice fundamentale utilizate la rezolvarea rețelilor de triangulație.

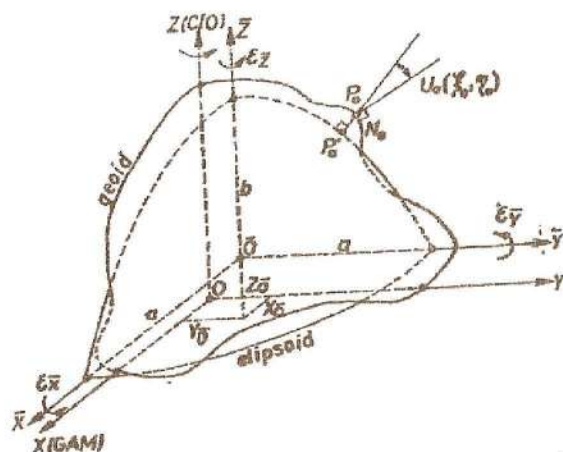
4.1. Date geodezice fundamentale de referință

Datele care poziționează sistemul de coordonate global elipsoidal $(\bar{X}, \bar{Y}, \bar{Z})$, sau a oricărui alt sistem, în interiorul sistemului cartezian geocentric (X, Y, Z) se numesc *date fundamentale de referință* (fig. 4.1).

Determinarea datelor geodezice fundamentale de referință, precum și a punctului geodezic fundamental, constituie una dintre problemele importante și în același timp dificile ale Geodeziei.

Sub forma cea mai generală, determinarea datelor geodezice fundamentale de referință, după [12], ar include stabilirea următorilor parametri:

- coordonatele $X_{\bar{O}}, Y_{\bar{O}}, Z_{\bar{O}}$ ale originii sistemului global elipsoidal în interiorul sistemului cartezian geocentric;
- unghiurile de rotație $\varepsilon_{\bar{X}}, \varepsilon_{\bar{Y}}, \varepsilon_{\bar{Z}}$ ale axelor sistemului elipsoidal în raport de sistemul geocentric;
- parametri geometrici principali "a" și "f" ai elipsoidului optim corespondent;
- punctul geodezic fundamental.



4.1. Date geodezice fundamentale

Se numește *punct geodezic fundamental*, acel punct al rețelei geodezice, în care se consideră că suprafața elipsoidului este tangentă la suprafața geoidului, iar verticala locului coincide cu normala la elipsoid.

De menționat că triangulația veche a României, dinaintea celui de-al doilea război mondial, a avut ca punct fundamental observatorul astronomic militar din Dealul Piscului (București), cu azimutul inițial spre Foișorul de Foc. Orientarea elipsoidului Hayford în interiorul geoidului s-a făcut pe baza determinărilor astronomice din acest punct.

Din 1951 până în prezent triangulația de stat a României, are următoarele date geodezice fundamentale:

- elipsoidul de referință Krasovski 1942;
- punctul fundamental Pulkovo (Rusia) de coordonate geodezice $B=59^{\circ}46'15'',359$ și $L=30^{\circ}19'28'',318$;
- azimutul geodezic Pulkovo-Bugrî ($A=121^{\circ}06'42'',305$).

Determinarea datelor geodezice fundamentale de referință a preocupat pe mai mulți geodezi (Helmert 1880, Krasovski 1955, Heiskanen-Moritz 1967, Torje 1975, Groten 1979 etc) dintre, care în cele ce urmează, se va prezenta metoda Helmert, metodă ce a fost utilizată de Hayford în determinarea parametrilor primului elipsoid intrenațional.

În mare, metoda Helmert constă în :

- neglijarea unghiurilor de rotație dintre axele de coordonate a celor două sisteme menționate:

$$\varepsilon_{\bar{X}} = \varepsilon_{\bar{Y}} = \varepsilon_{\bar{Z}} = 0 \quad (4.1)$$

- înlocuirea coordonatelor $X_{\bar{O}}, Y_{\bar{O}}, Z_{\bar{O}}$, cu componentele deviației verticalei ξ_0, η_0 și a ondulației geoidului

"N₀" în punctul geodezic fundamental "P₀". Cu mărimile ξ_0, η_0 și "N₀", se realizează poziționarea și orientarea elipsoidului de referință în interiorul geoidului;

- efectuarea *măsurătorilor astronomice complete* (Φ, A, a , *măsurători de baze și direcții*) în punctul geodezic fundamental și în punctele Laplace;
- calculul parametrilor "a" și "f" ai elipsoidului de referință optimal pentru rețeaua considerată:

$$\begin{aligned} a &= a^0 + da \\ f &= f^0 + df \end{aligned} \quad (4.2)$$

Calcululele se vor efectua pe un elipsoid oarecare, cu parametri a^0 și f^0 considerați ca valori provizorii.

De reținut:

- punctele în care se fac măsurători astronomice complete se numesc *puncte Laplace*, iar numărul acestora este mult mai mic decât numărul punctelor geodezice din rețea;
- parametri care definesc *datele geodezice fundamentale de referință, în metoda Helmert, sunt:* ξ_0, η_0, N_0, a, f ale căror semnificație a fost prezentată în capitolele anterioare.

În detaliu metoda Helmert constă în:

1. Acceptarea, într-o primă etapă, în punctul geodezic fundamental, a identității între coordonatele astronomice și cele geodezice, precum și identitatea dintre azimutul astronomic inițial α_{01} și cel geodezic A_{01} . De asemenea, nu se ia în considerare deviația de la verticală a normalei și nici ondulația geoidului. Astfel se poate scrie:

$$P_0(B_0^0 = \Phi_0; L_0^0 = \Lambda_0; A_0^0 = \alpha_0; N_0 = 0) \quad (4.3)$$

2. Determinarea prin calcul a tuturor punctelor rețelei geodezice (B_i^0, L_i^0), inclusiv a punctelor Laplace în care s-au efectuat observații astronomice.

3. Calculul abaterilor de la verticală în punctele Laplace:

$$\begin{aligned} \xi_{L_i}^0 &= \Phi_{L_i} - B_{L_i}^0 \\ \eta_{L_i}^0 &= (\Lambda_{L_i} - L_{L_i}^0) \cos \Phi_{L_i}; i = 1, 2, \dots, t \end{aligned} \quad (4.4)$$

Se încheie astfel, etapa preliminară de calcul și se trece în continuare la rezolvarea problemei propriu-zise, unde necunoscutele sunt:

- da, df -modificări în parametri elipsoidului folosit inițial;
- dB_0, dL_0, dA_0 - modificări în coordonatele punctului inițial.

4. Calculul coordonatelor rețelei (B_i, L_i) pe noul elipsoid:

$$\begin{aligned} B_i &= B_i^0 + dB_i; \\ L_i &= L_i^0 + dL_i \end{aligned} \quad (4.5)$$

în care, diferențele dB_i și dL_i se calculează cu relațiile:

$$dB_i = \frac{\partial B_i}{\partial B_0} dB_0 + \frac{\partial B_i}{\partial L_0} dL_0 + \frac{\partial B_i}{\partial A_0} dA_0 + \frac{\partial B_i}{\partial a} da + \frac{\partial B_i}{\partial f} df;$$

$$dL_i = \frac{\partial L_i}{\partial B_0} dB_0 + \frac{\partial L_i}{\partial L_0} dL_0 + \frac{\partial L_i}{\partial A_0} dA_0 + \frac{\partial L_i}{\partial a} da + \frac{\partial L_i}{\partial f} df; (4.6)$$

unde derivatele parțiale:

$$\frac{\partial B_i}{\partial B_0}, \frac{\partial B_i}{\partial L_0}, \dots, \frac{\partial L_i}{\partial B_0}, \frac{\partial L_i}{\partial L_0}, \dots$$

reprezintă coeficienții necunoscutelor problemei luate în studiu, ale căror valori se obțin prin calcule complexe ce se regăsesc în [10].

Pe noul elipsoid abaterile de la verticală ale normalei, în punctele Laplace, se calculează cu relațiile:

$$\begin{aligned} \xi_{L_i} &= \Phi_{L_i} - B_{L_i} = \Phi_{L_i} - (B_{L_i}^0 + dB_{L_i}) = \xi_{L_i}^0 - dB_{L_i} \\ \eta_{L_i} &= (\Lambda_{L_i} - L_{L_i}) \cos \Phi_{L_i} = [\Lambda_{L_i} - (L_{L_i}^0 + dL_{L_i})] \cos \Phi_{L_i} = \\ &= \eta_{L_i}^0 - dL_{L_i} \cos \Phi_{L_i}; i = 1, 2, \dots, f \end{aligned} \quad (4.7)$$

unde s-a notat cu:

B_{L_i}, L_{L_i} - coordonatele geodezice calculate ale punctului Laplace L_i ;

$\Phi_{L_i}, \Lambda_{L_i}$ - coordonatele astronomice măsurate ale punctului Laplace L_i ;

ξ_{L_i}, η_{L_i} - abaterile de la verticală ale normalei în punctul Laplace " L_i ", pe noul elipsoid;

$\xi_{L_i}^0, \eta_{L_i}^0$ - abaterile de la verticală ale normalei în punctul Laplace " L_i ", pe elipsoidul provizoriu;

Tinând seama de expresiile (4.6), relațiile (4.7) devin:

$$\begin{aligned} \xi_{L_i} &= \xi_{L_i}^0 - \frac{\partial B_{L_i}}{\partial B_0} dB_0 - \frac{\partial B_{L_i}}{\partial L_0} dL_0 - \frac{\partial B_{L_i}}{\partial A_0} dA_0 - \frac{\partial B_{L_i}}{\partial a} da - \frac{\partial B_{L_i}}{\partial f} df; \\ \eta_{L_i} &= \eta_{L_i}^0 - \frac{\partial L_{L_i}}{\partial B_0} \cos \Phi_{L_i} dB_0 - \frac{\partial L_{L_i}}{\partial L_0} \cos \Phi_{L_i} dL_0 - \\ &- \frac{\partial L_{L_i}}{\partial A_0} \cos \Phi_{L_i} dA_0 - \frac{\partial L_{L_i}}{\partial a} \cos \Phi_{L_i} da - \frac{\partial L_{L_i}}{\partial f} \cos \Phi_{L_i} df \end{aligned} \quad (4.8)$$

Pentru a arăta că în noua etapă de calcul nu se neglijează deviația verticalei, Helmert introduce în locul necunoscutelor dB_0 , și dL_0 necunoscutele $d\xi_0$ și $d\eta_0$, obținute prin diferențierea relațiilor:

$$\xi_0 = \Phi_0 - B_0; \quad (4.9)$$

$$\eta_0 = (\Lambda_0 - L_0) \cos \Phi_0$$

de unde rezultă:

$$\begin{aligned} d\xi_0 &= -dB_0; \\ d\eta_0 &= -dL_0 \cos \Phi_0 \end{aligned} \quad (4.10)$$

Tinând seama de relațiile (4.10), relațiile (4.8) devin:

$$\xi_{L_i} = \xi_{L_i}^0 + \frac{\partial B_{L_i}}{\partial B_0} d\xi_0 + \frac{\partial B_{L_i}}{\partial L_0} \sec \Phi_0 d\eta_0 - \frac{\partial B_{L_i}}{\partial A_0} dA_0 - \frac{\partial B_{L_i}}{\partial a} da - \frac{\partial B_{L_i}}{\partial f} df;$$

$$\eta_{L_i} = \eta_4^0 + \frac{\partial L_{L_i}}{\partial B_0} \cos \Phi_{L_i} d\xi_0 + \frac{\partial L_{L_i}}{\partial L_0} \frac{\cos \Phi_{L_i}}{\cos \Phi_0} d\eta_0 - \frac{\partial L_{L_i}}{\partial A_0} \cos \Phi_{L_i} dA_0 - \frac{\partial L_{L_i}}{\partial a} \cos \Phi_{L_i} da - \frac{\partial L_{L_i}}{\partial f} \cos \Phi_{L_i} df \quad (4.11)$$

Pentru determinarea celor cinci necunoscute $d\xi_0$, $d\eta_0$, dA_0 , da , df sunt necesare minim 3 puncte Laplace în care se vor scrie, ecuațiile de forma (4.11), care vor fi rezolvate prin metoda celor mai mici pătrate în baza condiției :

$$[\xi^2 + \eta^2] \rightarrow \text{minim} \quad (4.12)$$

Metoda Helmert nu abordează poziționarea pe înălțime a elipsoidului, ea presupune o repartizare uniformă a punctelor geodezice pe suprafața considerată, fapt pentru care este cunoscută sub denumirea metoda suprafețelor.

Conform [12], la ecuațiile (4.11) și (4.12) specifice metodei Helmert se mai pot adăuga și alte ecuații, deduse din ecuația Laplace.

În determinări cu caracter tridimensional intervin trei translații spațiale ale elipsoidului în raport cu geoidul, precum și modificări ale parametrilor elipsoidului folosit. De regulă se acceptă paralelismul dintre axele elipsoidului global și cele ale geoidului, iar necunoscutele problemei sunt: $d\xi_0$, $d\eta_0$, dN_0 , da , df . Prezentarea în detaliu a acestor probleme se regăsește în Torje 1975, Dragomir ș.a.1977.

De menționat că modificările care apar în parametri care determină datele geodezice fundamentale, conduc la modificarea coordonatelor geodezice ale tuturor punctelor din rețea, respectiv la modificarea componentelor deviațiilor verticalelor și a ondulațiilor geoidului în aceste puncte.

4.2. Clasificarea rețelelor geodezice

Clasificarea rețelelor geodezice poate fi făcută după mai multe criterii, care indică modul de rezolvare, numărul elementelor cunoscute și a elementelor determinate, destinația, forma și importanța rețelelor etc.

➤ După modul de rezolvare rețelele geodezice, se clasifică în:

-din punct de vedere: planimetric:

- rețele de triangulație;
- rețele de trilateratie;
- rețele poligonometrice.

-din punct de vedere altimetric:

-rețele de nivelment geometric geodezic

De menționat că rețelele planimetrice sunt poziționate altimetric, în general, prin nivelment trigonometric, iar rețelele de nivelment geometric sunt poziționate planimetric, cu o precizie scăzută, având ca scop identificarea punctelor de nivelment.

➤ După numărul elementelor cunoscute, rețelele se clasifică în:

-*Rețele geodezice libere.* - nu conțin nici un element cunoscut, în acestea intervin doar observațiile instrumentale necesare determinării geometrice a rețelei.

Prezintă dezavantajul că nu pot fi încadrate într-un anumit sistem de coordonate.

- *Rețele geodezice fără constrângeri* - au un număr strict necesar de elemente pentru încadrarea acestora în sistemul de coordonate adoptat.

- *Rețele geodezice constrânse* - conțin un număr suplimentar de elemente, în raport de cele strict necesare și suficiente, pentru determinarea poziționării rețelei în sistemul de coordonate adoptat. Pe astfel de elemente urmează să se realizeze, prin procesul de prelucrare a măsurătorilor, constrângeri de natură geometrică și analitică.

► *Clasificarea după formă*- ia în considerare forma de prezentare a rețelei, astfel se întâlnesc:

- *Rețele formate din lanțuri de triunghiuri și patrulatere* (fig.4.2.). - dispuse în lungul meridianelor și paralelelor, la distanțe de circa 200 km, la intersecția lor existând puncte Laplace.

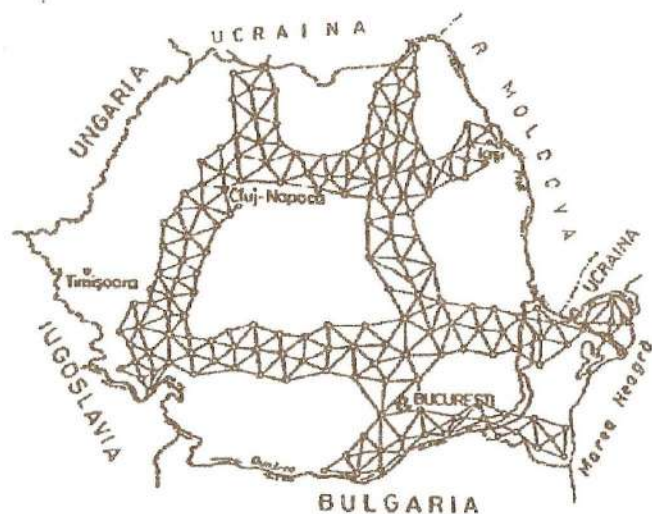


Fig.4.2. Rețele primordiale

De menționat că în rețeaua veche a României au existat trei lanțuri primordiale dispuse în lungul meridianelor și două lanțuri dispuse în lungul paralelelor, care făceau parte din lanțuri internaționale, fiind sprijinite pe 9 baze geodezice.

În interiorul lanțurilor primordiale de ordinul I se crea rețeaua de triangulație complementară de ordinul I, de îndesire, care era ulterior compensată, ca o triangulație constrânsă, pe elemente fixe ale lanțurilor primordiale, anterior și independent compensate.

Rețea compactă de triangulație (de suprafață)-(fig.4.3) acoperă integral teritoriul considerat, fără a se mai crea golurile existente în rețelele formate din lanțurile primordiale. Compensarea rețelelor compacte se realizează în bloc sau prin metode riguroase de compensare pe grupe de ecuații.



Fig.4.3. Rețea compactă

Actuala rețea de triangulație a țării noastre este o rețea compactă. Afirmatia poate fi extinsă și asupra rețelei de nivelment care, deși este creată sub formă de poligoane, asigură acoperirea întregii suprafețe a țării în mod uniform. Rețeaua gravimetrică se realizează, de asemenea, sub forma unor poligoane.

➤ **Clasificarea după destinație**- ia în considerare arealul de dezvoltare a rețelelor geodezice, astfel se întâlnesc:

- **Rețea geodezică internațională**. - creată pe teritoriul mai multor state, pe baza unor convenții și colaborări internaționale. Pe lângă scopurile științifice, de determinare a formei și dimensiunilor Pământului, rețelele internaționale sunt utilizate în scopuri cartografice, militare, economice etc.

- **Rețea geodezică de stat**. -(fig.4.4) creată separat pentru triangulație și respectiv pentru nivelment, pe întreg teritoriul țării, constituie principala rețea de sprijin pentru toate lucrările topografice, fotogrammetrice și cartografice.

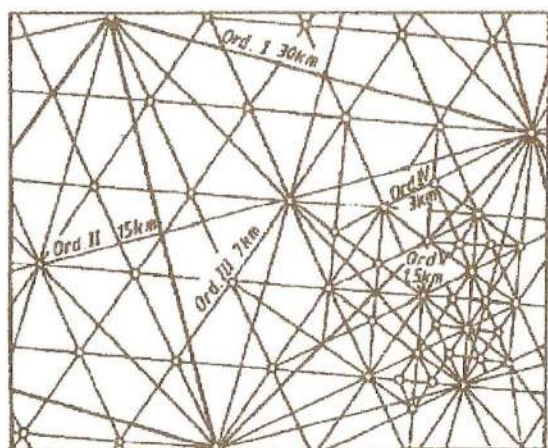


Fig.4.4. Reteaua geodezică de stat

Rețelele geodezice planimetrice sunt împărțite în rețele de diferite ordine, după lungimile laturilor ce unesc puncte geodezice apropiate. Astfel sunt cunoscute rețele geodezice de ordinul I, II, III, IV. În tabelul 4.1 sunt prezentate câteva caracteristici ale rețelelor geodezice.

Tabelul 4.1

Ordinul	Lungimea medie a laturii (km)	Lungimea minimă a laturii (km)	Marimea unghiurilor triunghiurilor	Neînchiderea pe triunghi
I	25-30	10	$>45''$ ($40''$)	$8''$ ($2,7''$)
II	15	7	$>33''$ ($30''$)	$12,5''$ ($3,7''$)
III	7	5,5	$>28''$ ($25''$)	$19''$ ($6''$)
IV	4	2	cel puțin $28''$ ($25''$)	$< 28''$ ($8,6''$)

Rețelele de ordinul I ÷ III sunt denumite rețele de ordin superior de triangulație (fig.4.4.), iar cele de ordinal IV și V de ordin inferior. Aceste rețele au fost create de către Direcția topografică militară începând cu anul 1956.

Rețeaua de triangulație de stat a fost completată cu o rețea de îndesire de ord. V, ale cărei puncte au fost determinate nu numai prin metoda triangulației, ci și prin metodele trilateratiei, poligonometriei, prin intersecții înainte și înapoi sau combinate.

Rețelele geodezice de nivelment sunt împărțite în rețele de nivelment geodezic de ordinul I, II, III, IV care diferă între ele prin lungimea traseelor sau poligoanelor închise din care sunt formate, conform tabelului 4.2.

În mod similar cu rețelele planimetrice, rețeaua de nivelment de stat (fig.4.5) a fost, de asemenea, îndesită și completată până la ordinul V.

Tabelul 4.2

Ordinul	Lungimea traseului L (km)	Toleranța admisă [mm]
I	1500	$\pm 2 \text{ mm } \sqrt{[L]_{km}}$
II	500-600	$\pm 5 \text{ mm } \sqrt{[L]_{km}}$
III	150-200	$\pm 10 \text{ mm } \sqrt{[L]_{km}}$
IV	50	$\pm 20 \text{ mm } \sqrt{[L]_{km}}$
V	5-10	$\pm 30 \text{ mm } \sqrt{[L]_{km}}$



Fig.4.5. Rețeaua de nivelment de ordinal I

Rețele geodezice locale - se utilizează pentru lucrări ingineresti de amploare, cum ar fi marile complexe

hidroenergetice, bazinele miniere, complexe industriale etc., în cazul când, în zona de interes nu se găsesc puncte ale rețelei de stat. Uneori, precizia interioară a unor astfel de rețele este mai ridicată, în comparație cu precizia din rețeaua geodezică de stat. De aceea, în mod obișnuit, rețelele geodezice locale nu se constrâng, ci se realizează doar o încadrare în rețelele geodezice de stat corespondente.

➤ După numărul de dimensiuni determinate ale spațiului în care este amplasată rețeaua - se pot distinge următoarele :

- **Rețele geodezice unidimensionale** - au doar o singură mărime determinată omogen, altitudinea. În această categorie de rețele geodezice se pot încadra rețelele de nivelment. Celelalte coordonate, atașate punctelor respective, au un rol de identificare, fiind determinate aproximativ.

- **Rețele geodezice bidimensionale**. În aceste rețele punctele au determinate două coordonate într-un sistem unitar de referință: x, y în planul de proiecție sau B, L pe elipsoidul de referință. Aceste rețele se mai numesc și rețele planimetrice, deși în ultimul caz denumirea este improprie. Altitudinea este determinată separat, într-un sistem de coordonate unidimensional.

- **Rețele geodezice tridimensionale**. -au determinate omogen și unitar toate cele trei coordonate care descriu poziția punctului într-un sistem cartezian de coordonate. Spre deosebire de rețelele prezentate anterior, acestea au o singură suprafață de referință - elipsoidul.

- **Rețele geodezice în spațiu cu patru dimensiuni**. -se referă la rețele geodezice care se determină în mod repetat la anumite intervale de timp. Timpul constituie cea de-a patra dimensiune.

4.3. Prelucrarea măsurătorilor geodezice

Principiile de prelucrare a măsurătorilor geodezice sunt cunoscute de la *cursul de teoria de prelucrare a măsurătorilor geodezice*. De aceea, unele noțiuni sau algoritmi de calcul se presupune a fi cunoscute.

În vederea evaluării unor parametri, în Geodezie există o anumită metodologie, ce trebuie respectată, pentru obținerea rezultatelor finale.

Baza metodologiei, o reprezintă *modelul matematic* constituit din formularea relației funcționale dintre parametri necunoscuți și mărimile măsurate.

Prin *model* se înțelege o reprezentare simplificată a unui fenomen sau proces real.

În funcție de natura variabilelor care intervin în model în Geodezie modelele se împart în două categorii principale, *modelul funcțional* și *modelul stochastic*.

La prelucrarea observațiilor efectuate în rețele geodezice se pot utiliza mai multe modele funcțional-stochastice, dintre care cel mai cunoscut model este *modelul Gauss-Markov*.

Prelucrarea observațiilor efectuate într-o rețea geodezică se desfășoară conform modelului funcțional-stochastic adoptat, reprezentat prin relațiile:

$$v = Ax + l$$

$$C_m = \begin{pmatrix} \sigma_1^2 & r_{12}\sigma_1\sigma_2 & \dots & r_{1n}\sigma_1\sigma_n \\ r_{21}\sigma_2\sigma_1 & \sigma_2^2 & \dots & r_{2n}\sigma_2\sigma_n \\ \dots & \dots & \dots & \dots \\ r_{n1}\sigma_n\sigma_1 & r_{n2}\sigma_n\sigma_2 & \dots & \sigma_n^2 \end{pmatrix} = \sigma_0^2 Q_m \quad (4.13)$$

în care:

σ_i^2 - varianța teoretică a mărimilor măsurate (M_i^o);

r_{ij} - coeficient de corelație între măsurătorile

$$M_i^o \text{ și } M_j^o \quad ; r_{ij} = \frac{\sigma_{ij}}{\sigma_i\sigma_j}; i, j = 1, 2, \dots, n$$

σ_{ij} - covarianța teoretică între măsurătorile M_i^o și M_j^o

Prima ecuație din (4.13) reprezintă *modelul funcțional*, nu conține elemente aleatoare și descrie o relație funcțională între mărimi, adică la o valoare dată a argumentului corespunde o valoare unică a funcției.

A doua ecuație din (4.13) reprezintă *modelul stochastic* sau *statistic* și conține variabile aleatoare, ce corespund efectului posibil al unor factori necontrolabili, care influențează procesul modelat. Ecuația descrie o relație complexă între mărimi, adică la o valoare dată a argumentului corespunde un ansamblu de valori posibile ale funcției.

În modelul stochastic matricea „ C_m ”, de dimensiuni (n, n) , reprezintă *matricea de varianță - covarianță* a măsurătorilor. Matricea „ Q_m ”, de aceleași dimensiuni, reprezintă matricea cofactorilor măsurătorilor, iar σ_0^2 este o constantă denumită „varianța unității de pondere” sau „factor de varianță” și este adimensională.

Elementele matricei cofactorilor se numesc cofactori sau coeficienți de pondere, iar condiția necesară și suficientă ca matricea să fie independentă este ca toți coeficienții de pondere dreptunghiulari să fie nuli adică, $Q_{ij} = 0$, pentru $i \neq j$.

În continuare, se va prezenta metoda celor mai mici pătrate utilizată la rezolvarea rețelelor geodezice pentru cazul măsurătorilor indirecte, condiționate și indirecte supuse la condiții.

4.3.1. Măsurători indirecte

Se cunoaște faptul că, între mărimile măsurate direct și mărimile care se obțin indirect, pot fi stabilite legături funcționale ce pot fi liniare sau neliniare. În practica geodezică sunt frecvente cazurile când funcțiile de legătură sunt neliniare.

Pentru acestea forma generală de exprimare este:

$$\begin{aligned} f_1(x_1, x_2, \dots, x_k) &= l_1 \\ f_2(x_1, x_2, \dots, x_k) &= l_2 \\ &\dots\dots\dots \\ f_n(x_1, x_2, \dots, x_k) &= l_n \end{aligned} \quad (4.14)$$

în care :

x_1, x_2, \dots, x_k - necunoscute (mărimile care se determină);
 l_1, l_2, \dots, l_n - mărimile măsurate și considerate fără

erori.

Notăm cu $l_1^0, l_2^0, \dots, l_n^0$ mărimile măsurate și eronate, cum de altfel există practic întotdeauna și avem :

$$\begin{aligned} f_1(x_1, x_2, \dots, x_k) - l_1^0 &= v_1 \\ f_2(x_1, x_2, \dots, x_k) - l_2^0 &= v_2 \\ &\dots\dots\dots \\ f_n(x_1, x_2, \dots, x_k) - l_n^0 &= v_n \end{aligned} \quad (4.15)$$

Este important de precizat că mărimile x_1, x_2, \dots, x_k nu sunt independente, ci legate între ele prin relațiile (4.15).

De asemenea, sistemul de ecuații (4.15) este format din atâtea ecuații câte mărimi măsurate există, iar numărul lor este mai mare decât numărul necunoscutelor, adică există întotdeauna $n > k$.

Exprimând necunoscutele " x_i " din (4.14), în funcție de valorile aproximative x_i^0 și corecțiile (creșterile) Δx_i se poate scrie:

$$x_i = x_i^0 + \Delta x_i, \quad i = 1, 2, \dots, k \quad (4.16)$$

Introducând (4.16) în (4.14) se obține:

$$f_i(x_1^0 + \Delta x_1, x_2^0 + \Delta x_2, \dots, x_k^0 + \Delta x_k) - l_i^0 = v_i \quad (4.17)$$

$$i = 1, 2, \dots, n$$

Creșterile necunoscutelor fiind mici, funcțiile (4.17) pot fi dezvoltate în serie Taylor. Se rețin din dezvoltare termenii până la puterea întâi.

$$\begin{aligned} f_i(x_1^0, x_2^0, \dots, x_k^0) + \left(\frac{\partial f_i}{\partial x_1} \right) \Delta x_1 + \left(\frac{\partial f_i}{\partial x_2} \right) \Delta x_2 + \dots \\ + \left(\frac{\partial f_i}{\partial x_k} \right) \Delta x_k - l_i^0 = v_i, \quad i = 1, 2, \dots, n \end{aligned} \quad (4.18)$$

Expresiile derivatelor se calculează pentru:

$$x_i = x_i^0 \quad (i = 1, 2, \dots, k).$$

4.3.2.1. Stabilirea sistemului normal de ecuații

Rezolvarea sistemului (4.23) este posibilă în condiția de minim:

$$[vv] = \text{minim} \quad (4.25)$$

Erorile aparente v_1, v_2, \dots, v_n sunt funcții de necunoscutele x_1, x_2, x_3 , deci se poate scrie:

$$F(x_1, x_2, x_3) = v_1^2 + v_2^2 + \dots + v_n^2 = (a_1 x_1 + b_1 x_2 + c_1 x_3 + l_1)^2 + \\ + (a_2 x_1 + b_2 x_2 + c_2 x_3 + l_2)^2 + \dots + (a_n x_1 + b_n x_2 + c_n x_3 + l_n)^2 \quad (4.26) \\ = \text{minim}$$

Se cunoaște că extremul unei funcții se obține pentru valorile variabilelor care anulează derivatele parțiale ale funcției în raport cu acestea:

$$\frac{\partial F}{\partial x_1} = 0; \frac{\partial F}{\partial x_2} = 0; \frac{\partial F}{\partial x_3} = 0; \quad (4.27)$$

Efectuând derivatele parțiale ale funcției (4.26) și grupând termenii după necunoscutele " x_1 ", " x_2 ", " x_3 ", se obține sistemul normal de ecuații, care se prezintă sub forma:

$$\begin{aligned} [aa]x_1 + [ab]x_2 + [ac]x_3 + [al] &= 0 \\ [ab]x_1 + [bb]x_2 + [bc]x_3 + [bl] &= 0 \\ [ac]x_1 + [bc]x_2 + [cc]x_3 + [cl] &= 0 \end{aligned} \quad (4.28)$$

Datorită simetriei coeficienților necunoscutelor față de diagonala principală, sistemul se mai poate scrie:

$$\begin{aligned} [aa]x_1 + [ab]x_2 + [ac]x_3 + [al] &= 0 \\ [bb]x_2 + [bc]x_3 + [bl] &= 0 \\ [cc]x_3 + [cl] &= 0 \end{aligned} \quad (4.29)$$

4.3.2.2. Calculul coeficienților ecuațiilor normale

Pentru calculul coeficienților ecuațiilor normale se utilizează coeficienții și termenii liberi din sistemul ecuațiilor de erori (4.24).

Metodologia care se utilizează urmărește ca valorile care se obțin pentru coeficienții și termenii liberi din sistemul ecuațiilor normale să fie corecte, fapt pentru care se impune introducerea unor relații de control, astfel din (4.24) se calculează:

$$a_i + b_i + c_i + l_i = s_i; \quad i = 1, 2, \dots, n \quad (4.30)$$

Adunând pe coloane termenii din egalitățile (4.30) rezultă:

$$[a] + [b] + [c] + [l] = [s] \quad (4.31)$$

Inmulțind succesiv relațiile (4.30) cu a_i, b_i, c_i, l_i, s_i și adunând pe coloane se obțin relațiile de control:

$$\begin{aligned}
 [aa] + [ab] + [ac] + [al] &= [as] \\
 [ab] + [bb] + [bc] + [bl] &= [bs] \\
 [ac] + [bc] + [cc] + [cl] &= [cs] \\
 [al] + [bl] + [cl] + [ll] &= [ls] \\
 [as] + [bs] + [cs] + [ls] &= [ss]
 \end{aligned}
 \quad (4.32)$$

Calculul coeficienților se realizează cu ajutorul unor tabele, întocmite în utilitare de calcul tabelar (Excel, Lotus 1 2 3, Works, Padox etc).

Se va prezenta în continuare schema redusă de calcul a coeficienților ecuațiilor normale.

Astfel:

- în coloana 1 se introduce numărul curent al ecuațiilor;
- în coloanele 2,3,4 se trec coeficienții necunoscutelor;
- în coloana 5 se trec termenii liberi;
- în coloana 6 se face controlul (4.30);
- în partea de jos a tabelului se realizează controlul (4.31), după care urmează calculul coeficienților ecuațiilor normale:

Coeficienții ecuațiilor normale se obțin aplicând funcția *sumproduct*.

Astfel, pentru coeficienții primei ecuații normale se aplică "sumproduct" între coloana coeficienților "a", de la 1 la "n" (coloană luată ca fixă) deînmulțită cu aceeași coloană. Prin acționarea tastei "enter" se obține [aa].

Se copiază formulele spre dreapta până la coloana sumă (s), obținând coeficienții [ab],[ac],[al], [as]. Se procedează în mod similar și pentru celelalte ecuații.

De menționat, că pentru a obține o celulă sau coloană fixă, în utilitarul Excel, se acționează tasta F4.

Tabel 4.3

Nr.crt.	a	b	c	l	s
1	a ₁	b ₁	c ₁	l ₁	s ₁
2	a ₂	b ₂	c ₂	l ₂	s ₂
3	a ₃	b ₃	c ₃	l ₃	s ₃
.
n	a _n	b _n	c _n	l _n	s _n
[]	[a]	[b]	[c]	[l]	[s]
	[aa]	[ab]	[ac]	[al]	[as]
		[bb]	[bc]	[bl]	[bs]
			[cc]	[cl]	[cs]
				[ll]	[ls]
					[ss]

Având în vedere că, în sistemul normal de ecuații numărul necunoscutelor este egal cu numărul ecuațiilor, sistemul este compatibil bine determinat.

Rezolvarea sistemului de ecuații normale se realizează prin mai multe metode printre care amintim:

- metoda reducerii successive (Gauss-Doolittle);
- metoda matriceală;
- metoda aproximațiilor succesive;
- metoda Seidel;
- metoda relaxării;
- metoda eliminării parțiale.

Din metodele enumerate se vor prezenta în continuare metoda Gauss-Doolittle și metoda matriceală.

4.3.2.3. Rezolvarea sistemului de ecuații normale prin metoda Gauss-Doolittle

Tabelul 4.4

	a]	b]	c]	l]	S]	Rând
[a	[aa]	[ab]	[ac]	[al]	[as]0	1
	-1	$\frac{[ab]}{[aa]}$	$\frac{[ac]}{[aa]}$	$\frac{[al]}{[aa]}$	$\frac{[as]}{[aa]}$	2
x ₁		[bb]	[bc]	[bl]	[bS]	3
		$\frac{[ab][ac]}{[aa]}$	$\frac{[ab][ac]}{[aa]}$	$\frac{[ab][al]}{[aa]}$	$\frac{[ab][as]}{[aa]}$	4
		[bb.1]	[bc.1]	[bl.1]	[bS.1]	5
		-1	$\frac{[bc.1]}{[bb.1]}$	$\frac{[bl.1]}{[bb.1]}$	$\frac{[bS.1]}{[bb.1]}$	6
x ₂ =		[cc]	[cl]	[cS]		7
		$\frac{[ac][ac]}{[aa]}$	$\frac{[ac][al]}{[aa]}$	$\frac{[ac][as]}{[aa]}$		8
		$\frac{[bc.1][bc.1]}{[bb.1]}$	$\frac{[bc.1][bl.1]}{[bb.1]}$	$\frac{[bc.1][bS.1]}{[bb.1]}$		9
		[cc.2]	[cl.2]	[cS.2]		10
		-1	$\frac{[cl.2]}{[cc.2]}$	$\frac{[cS.2]}{[cc.2]}$		11
		x ₃ =	[ll]	[ls]		12
			$\frac{[al][al]}{[aa]}$	$\frac{[al][as]}{[aa]}$		13
			$\frac{[bl.1][bl.1]}{[bb.1]}$	$\frac{[bl.1][bS.1]}{[bb.1]}$		14
			$\frac{[cl.2][cl.2]}{[cc.2]}$	$\frac{[cl.2][cS.2]}{[cc.2]}$		15
		[vv]=	[ll.3]	[ls.3]		16

Modul de lucru, pe linii, cu schema triunghiulară Gauss-Doolittle se realizează după cum urmează :

- În rândul 1 se introduc coeficienții, termenul liber și suma acestora din prima ecuație normală.
- Rândul 2 se obține împărțind elementele rândului 1 la primul coeficient ([aa]) luat cu semn schimbat. Linia se înregistrează cu roșu și reprezintă prima ecuație eliminativă din care va rezulta necunoscuta "x₁".
- În rândul 3 se introduc coeficienții celei de-a doua ecuații normale și suma acestora.
- Rândul 4 se obține- înmulțind elementul din rândul 2 (linia roșie), coloana b] cu fiecare element din rândul 1, începând cu coloana b] spre dreapta.
- Rândul 5 se obține prin adunarea pe coloane, a elementelor din rândurile 3 și 4.
- Rândul 6 se obține prin împărțirea rândului 5 la primul element ([bb]) luat cu semn schimbat. Această linie reprezintă a doua ecuație eliminativă din care rezultă "x₂" și se înregistrează cu roșu.
- În rândul 7 se trec coeficienții celei de-a treia ecuații normale și suma acestora.
- Rândul 8 se obține- înmulțind elementul din rândul 2 (linia roșie), coloana c] cu fiecare element din rândul 1, începând cu coloana c] spre dreapta.
- Rândul 9 se obține înmulțind elementul din rândul 6 (linia roșie), coloana c] cu fiecare element din rândul 5, începând cu coloana c] spre dreapta.
- Rândul 10 se obține prin adunarea pe coloane, a elementelor din rândul 7, 8 și 9.
- Rândul 11 se obține prin împărțirea rândului 10 la primul element ([cc]) luat cu semn schimbat. Această linie reprezintă a treia ecuație eliminativă din care rezultă "x₃" și se înregistrează cu roșu.
- În rândul 12, pe coloana termenilor liberi, se trece [ll]

- Rândul 13 se obține prin înmulțirea elementului situat pe coloana termenului liber din prima ecuație eliminatoare (rândul 2), cu cea de deasupra.
- Rândul 14 se obține prin înmulțirea elementului situat pe coloana termenului liber din cea de a doua ecuație eliminatoare (rândul 6), cu cea de deasupra.
- Rândul 15 se obține prin înmulțirea elementului situat pe coloana termenului liber din cea de a treia ecuație eliminatoare (rândul 11), cu cea de deasupra.
- Insumând pe coloane rândurile 12, 13, 14, 15 se obține $[ll.3]$ care este egal cu $[ls]$ și care reprezintă chiar $[vv]$.

În tabelul 4.5 se poate urmări modul de calcul al necunoscutelor. Se remarcă faptul că necunoscuta " x_3 ", rezultă din ecuația eliminatoare 3. Se introduce " x_3 " în ecuația eliminatoare 2 și rezultă " x_2 ", după care, " x_2 " și " x_3 " se introduc în ecuația eliminatoare 1 și rezultă " x_1 ".

Tabelul 4.5.

		$x_3 =$	$-\frac{[d.2]}{[cc.2]}$
	$x_2 =$	$-\frac{[bc.1] * x_3}{[bb.1]}$	$-\frac{[bl.1]}{[bb.1]}$
$x_1 =$	$-\frac{[ab]}{[aa]} * x_2$	$-\frac{[ac]}{[aa]} * x_3$	$-\frac{[a.l]}{[aa]}$

Tot din schema Gauss rezultă $[vv]$ ca algoritmul al termenului liber redus de trei ori, valoare ce se va utiliza la calculul *erorii medii pătratice* " m_0 " (abaterea standard) dată de relația (4.33):

$$m_0 = \mp \sqrt{\frac{[vv]}{n-k}} = \mp \sqrt{\frac{[ll.3]}{n-3}} \quad (4.33)$$

unde: n - numărul de ecuații;
 k - numărul de necunoscute

$$[ll.3] = [ll] - \frac{[al]^2}{[aa]} - \frac{[bl]^2}{[bb.1]} - \frac{[cl]^2}{[cc.2]} \quad (4.34)$$

Erorile necunoscutelor se calculează cu relațiile:

$$m_{x_1} = \pm m_0 \sqrt{Q_{11}}; m_{x_2} = \pm m_0 \sqrt{Q_{22}}; \\ m_{x_3} = \pm m_0 \sqrt{Q_{33}}; m_{FF} = \pm m_0 \sqrt{Q_{FF}} \quad (4.35)$$

Coefficienții de pondere " Q_{ii} " se calculează în trei coloane atașate schemei Gauss, de unde rezultă:

$$Q_{11} = \frac{1}{[aa]} + \frac{S_1^2}{[bb.1]} + \frac{S_2^2}{[cc.2]}; Q_{22} = \frac{1}{[bb.1]} + \frac{R_1^2}{[cc.2]}; Q_{33} = \frac{1}{[cc.2]} \quad (4.36) \\ Q_{FF} = \frac{A_1^2}{[aa]} + \frac{[A_2.1]^2}{[bb.1]} + \frac{[A_3.2]^2}{[cc.2]}$$

De menționat că vectorii termenilor liberi pentru cei trei coeficienți de pondere au valorile $(-1, 0, 0)$, $(0, -1, 0)$, $(0, 0, -1)$, iar modul de lucru în coloanele atașate este similar cu modul de lucru din celelalte coloane.

Din relațiile (4.35) și (4.21) rezultă semnificația mărimilor " Q_{ii} ":

$$\frac{1}{Q_{ii}} = \left(\frac{m_0}{m_{x_i}} \right)^2 = p_{x_i}; \quad i = 1, 2, 3, F \quad (4.37)$$

Se poate trage concluzia că inversa mărimilor " Q_{ii} " definește ponderile mărimilor obținute indirect " x_i ", motiv pentru care Q_{ii} ($i=1,2,3$), se mai numesc coeficienți de pondere.

unde:

v^T - este transpusă matricei „ v ” din (4.39).

Inlocuim relația matricială (4.39) în (4.41) și obținem :

$$F = v^T v = (x^T A^T - l^T)(Ax - l) = x^T A^T Ax - 2x^T A^T l + l^T l = \text{minim} \quad (4.42)$$

unde:

x^T, A^T, l^T - transpusele matricilor din (4.40).

Condiția de minim a funcției (4.41) este îndeplinită atunci când derivatele funcției în raport cu „ x ” sunt egale cu zero:

$$\frac{1}{2} \frac{\partial F}{\partial x} = 0 \quad (4.43)$$

Prin derivare rezultă *sistemul ecuațiilor normale*:

$$A^T Ax - A^T l = 0 \quad (4.44)$$

de unde rezultă *necunoscutele sistemului* :

$$x = (A^T A)^{-1} A^T l \quad (4.45)$$

în care:

$(A^T A)^{-1}$ - inversa matricii $A^T A$

Se cunoaște că *eroarea medie pătratică a unei singure măsurători* se determină cu relația (4.33), în care se pune problema calculării prin metoda matriceală a expresiei $[vv]$.

În acest sens se va scrie expresia matriceală a sistemului ecuațiilor de erori (4.39) și transpusa acestuia (4.39') :

$$\begin{aligned} v &= Ax - l \\ v^T &= x^T A^T - l^T \end{aligned} \quad (4.39')$$

Cu aceste egalități expresia matriceală a principiului micilor pătrate, ce se regăsește în (4.42), se scrie (4.42') :

$$\begin{aligned} v^T v &= (x^T A^T - l^T)(Ax - l) = x^T A^T Ax - l^T Ax - x^T A^T l + l^T l = \\ &= x^T A^T Ax - 2x^T A^T l + l^T l \end{aligned} \quad (4.42')$$

Observație:

Expresiile care se repetă au fost notate cu prim („'”).

Luând în considerare expresia matriceală a necunoscutelor (4.44) și a coeficienților de pondere $Q_{xx} = (A^T A)^{-1}$, se poate scrie:

$$x = Q_{xx} A^T l \quad (4.46)$$

de unde:

$$x^T = l^T A Q_{xx} \quad (4.47)$$

Inlocuind (4.47) în (4.42') se obține:

$$\begin{aligned}
 v^T v &= l^T A Q_{xx} A^T A Q_{xx} A^T l - 2 l^T A Q_{xx} A^T l + l^T l = \\
 &= l^T A Q_{xx} A^T l - 2 l^T A Q_{xx} A^T l + l^T l = l^T l - l^T A Q_{xx} A^T l = (4.48) \\
 &= l^T (E - A Q_{xx} A^T) l
 \end{aligned}$$

unde:

E- matricea diagonală unitate

4.3.2.5. Exprimarea matriceală a coeficienților de pondere

Cunoscând expresia erorii unei funcții pentru cazul general [6]:

$$m_x^2 = C_1^2 m_1^2 + C_2^2 m_2^2 + \dots + C_n^2 m_n^2 \quad (4.49)$$

sau:

$$m_x = \sqrt{C^T m^2} \quad (4.50)$$

În scriere matriceală relația (4.50) se prezintă sub forma:

$$m_x = \sqrt{C^T m^2 C} \quad (4.51)$$

în care:

$$C = \begin{pmatrix} C_1 \\ C_2 \\ \vdots \\ C_n \end{pmatrix}; \quad m^2 = \begin{pmatrix} m_1^2 & \cdot & \cdot & \cdot \\ \cdot & m_2^2 & \cdot & \cdot \\ \cdot & \cdot & \cdot & \cdot \\ \cdot & \cdot & \cdot & m_n^2 \end{pmatrix} \quad (4.52)$$

Tinând seama de (4.21), (4.22), relația (4.51) se poate scrie sub forma:

$$\frac{1}{p_x} = C^T p^{-1} C \quad (4.53)$$

unde:

p -matricea diagonală a ponderilor:
p⁻¹ -inversa matricii "p".

$$p = \begin{pmatrix} p_1 & 0 & 0 & 0 \\ 0 & p_1 & 0 & 0 \\ \cdot & \cdot & \cdot & \cdot \\ 0 & 0 & 0 & p_1 \end{pmatrix}; \quad p^{-1} = \begin{pmatrix} p_1^{-1} & 0 & 0 & 0 \\ 0 & p_1^{-1} & 0 & 0 \\ \cdot & \cdot & \cdot & \cdot \\ 0 & 0 & 0 & p_1^{-1} \end{pmatrix} \quad (4.54)$$

Tinând seama de cele prezentate și revenind la matricea necunoscutelor sistemului ecuațiilor de erori (corecții) (4.45), se remarcă faptul că aceasta este o funcție de matricea termenilor liberi "l", ale căror elemente sunt mărimi măsurate direct și independente.

În consecință se poate aplica relația (4.54) în care ponderile sunt egale cu unitatea și avem:

$$\begin{aligned} Q_{xx} &= (A^T A)^{-1} A^T [(A^T A)^{-1} A^T]^T = \\ &= (A^T A)^{-1} A^T A (A^T A)^{-1} = (A^T A)^{-1} \end{aligned} \quad (4.55)$$

În funcție de (4.55) se poate scrie:

$$Q_{xx}^{-1} = (A^T A) \quad (4.56)$$

unde :

Q_{xx} -matricea coeficienților de pondere , coeficienți corespunzători mărimilor obținute indirect.

Pentru determinarea *coeficientului de pondere al unei funcții, se consideră funcția:*

$$F = f_0 + f_1 x_1 + f_2 x_2 + \dots + f_k x_k \quad (4.57)$$

în care:

x_1, x_2, \dots, x_k - mărimi obținute prin măsurători indirecte;
 f_1, f_2, \dots, f_k - coeficienți constanți.

Matricial funcția se scrie:

$$F = f_0 + f^T x \quad (4.58)$$

în care:

$$f^T = (f_1, f_2, \dots, f_k) \quad (4.59)$$

Luând în considerare expresiile (4.45) și (4.55) putem scrie:

$$x = Q_{xx} A^T l \quad (4.60)$$

Cu expresia (4.56) funcția (4.57) devine:

$$F = f_0 + f^T Q_{xx} A^T l \quad (4.61)$$

Se observă că funcția (4.58) realizează trecerea de la variabilele dependente x_1, x_2, \dots, x_k la variabile independente l_1, l_2, \dots, l_k și în consecință se poate aplica formula:

$$Q_{FF} = f^T Q_{xx} A^T A Q_{xx} f \quad (4.62)$$

sau ținând seama de 4.53, rezultă:

$$Q_{FF} = f^T Q_{xx} f \quad (4.63)$$

Coeficienții de pondere stabiliți cu relațiile (4.53) și (4.63) sunt utilizați la calculul erorilor medii pătratice ale mărimilor obținute indirect și a erorii unei funcții de aceste mărimi.

4.3.3. Măsurători indirecte de precizii diferite

În cazul când erorile ecuațiilor sau ponderile lor sunt diferite, măsurătorile indirecte sunt de precizii diferite.

Considerând ponderile ecuațiilor din sistemul ecuațiilor de erori ca fiind p_1, p_2, \dots, p_n , condiția de minim atașată sistemului de ecuații, va avea forma:

$$[pvv] = \text{minim} \quad (4.64)$$

Considerând erorile aparente ca funcții de mărimile ce se determină se poate scrie:

$$\begin{aligned} F(x_1, x_2, x_3) &= p_1 v_1^2 + p_2 v_2^2 + \dots + p_n v_n^2 = \\ &= p_1 (a_1 x_1 + b_1 x_2 + c_1 x_3 + l_1)^2 + p_2 (a_2 x_1 + b_2 x_2 + c_2 x_3 + l_2)^2 + \\ &+ \dots + p_n (a_n x_1 + b_n x_2 + c_n x_3 + l_n)^2 = \text{minim} \end{aligned} \quad (4.65)$$

Derivând parțial funcția (4.61) în raport cu x_1, x_2, x_3 și egalând cu zero se obține sistemul ecuațiilor normale pentru cazul măsurătorilor indirecte de precizii diferite.

$$\begin{aligned} [paa]x_1 + [pab]x_2 + [pac]x_3 + [pal] &= 0 \\ [pab]x_1 + [pbb]x_2 + [pbc]x_3 + [pbl] &= 0 \\ [pac]x_1 + [pbc]x_2 + [pcc]x_3 + [pcl] &= 0 \end{aligned} \quad (4.66)$$

Calculul coeficienților necunoscutelor și termenii liberi din sistemul ecuațiilor normale (4.61) se efectuează în mod similar ca și în cazul măsurătorilor indirecte de aceeași precizie, cu deosebirea că în schemele de calcul apare o coloană în plus, cea a ponderilor.

Relațiile de control ale coeficienților ecuațiilor normale au forma:

$$[a] + [b] + [c] + [l] = [s]$$

$$\begin{aligned} [paa] + [pab] + [pac] + [pal] &= [pas] \\ [pab] + [pbb] + [pbc] + [pbl] &= [pbs] \\ [pac] + [pbc] + [pcc] + [pcl] &= [pcs] \\ [pal] + [pbl] + [pcl] + [pll] &= [pls] \\ [pas] + [pbs] + [pcs] + [pls] &= [pss] \end{aligned} \quad (4.67)$$

Tabelul 4.7

Nr.crt.	p	a	b	c	l	s
1	p_1	a_1	b_1	c_1	l_1	s_1
2	p_2	a_2	b_2	c_2	l_2	s_2
3	p_3	a_3	b_3	c_3	l_3	s_3
.
n	p_n	a_n	b_n	c_n	l_n	s_n
[]	[p]	[a]	[b]	[c]	[l]	[s]
		[paa]	[pab]	[pac]	[pal]	[pas]
			[pbb]	[pbc]	[pbl]	[pbs]
				[pcc]	[pcl]	[pcs]
					[pll]	[pls]
						[pss]

În tabelul 4.7. se prezintă schema redusă de calcul a coeficienților și termenilor liberi. Calculul coeficienților ecuațiilor normale se realizează cu ajutorul aceleiași funcții SUMPRODUCT, dar în acest caz, la efectuarea produselor, apare coloană în plus cu ponderile ecuațiilor de erori.

Rezolvarea sistemului de ecuații normale se realizează prin mai multe metode, dintre care se va prezenta, în continuare, metoda reducerilor successive și metoda matriceală.

Din sistemul ecuațiilor normale (4.66) se exprimă, în prima ecuație, necunoscuta " x_1 " în funcție de celelalte necunoscute și se obține:

$$x_1 = -\frac{[pab]}{[paa]}x_2 - \frac{[pac]}{[paa]}x_3 - \frac{[pal]}{[paa]} \quad (4.68)$$

Se introduce expresia lui " x_1 " în celelalte ecuații și se grupează termenii după celelalte necunoscute:

$$\left\{ [pbb] - \frac{[pab][pab]}{[paa]} \right\} x_2 + \left\{ [pbc] - \frac{[pab][pac]}{[paa]} \right\} x_3 + \left\{ [pbl] - \frac{[pab][pal]}{[paa]} \right\} = 0$$

$$\left\{ [pbb] - \frac{[pab][pab]}{[paa]} \right\} x_2 + \left\{ [pbc] - \frac{[pab][pac]}{[paa]} \right\} x_3 + \left\{ [pbl] - \frac{[pab][pal]}{[paa]} \right\} = 0 \quad (4.69)$$

Se introduc algoritmi lui Gauss (termenii din acolade) după reducerea necunoscutei " x_1 " și astfel rezultă:

$$[pbb.1]x_2 + [pbc.1]x_3 + [pbl.1] = 0 \quad (4.70)$$

$$[pbc.1]x_2 + [pcc.1]x_3 + [pcl.1] = 0$$

În continuare se exprimă necunoscuta " x_2 " în funcție de " x_3 " și se introduce în cea de-a doua ecuație a sistemului (4.70):

$$x_2 = -\frac{[pbc.1]}{[pbb.1]}x_3 - \frac{[pbl.1]}{[pbb.1]} \quad (4.71)$$

$$\left\{ [pcc.1] - \frac{[pbc.1][pbc.1]}{[pbb.1]} \right\} x_3 + \left\{ [pcl.1] - \frac{[pbc.1][pbl.1]}{[pbb.1]} \right\} = 0 \quad (4.72)$$

Se introduc algoritmi lui Gauss reduși de două ori, în funcție de care relația (4.72) devine:

$$[pcc.2]x_3 + [pcl.2] = 0 \quad (4.73)$$

$$x_3 = -\frac{[pcl.2]}{[pcc.2]} \quad (4.74)$$

Celelalte necunoscute se obțin în ordine inversă, prin introducerea relației (4.74) în (4.71), rezultă " x_2 ", iar apoi prin introducerea necunoscutelor " x_2 ", " x_3 " în (4.68) rezultă " x_1 ".

Rezolvarea sistemului de ecuații normale se realizează în schema triunghiulară Gauss-Doolittle:

Tabelul 4.8

	a]	b]	c]	l]	S]	Rând
[a	[paa]	[pab]	[pac]	[pal]	[pas]0	1
	-1	$-\frac{[pab]}{[paa]}$	$-\frac{[pac]}{[paa]}$	$-\frac{[pal]}{[paa]}$	$-\frac{[pas]}{[paa]}$	2
x_1		[pbb]	[pbc]	[pbl]	[pbs]	3
		$\frac{[pab][pac]}{[paa]}$	$\frac{[pab][pac]}{[paa]}$	$\frac{[pab][pal]}{[paa]}$	$\frac{[pab][pas]}{[paa]}$	4
		[pbb.1]	[pbc.1]	[pbl.1]	[pbs.1]	5
		-1	$-\frac{[pbc.1]}{[pbb.1]}$	$-\frac{[pbl.1]}{[pbb.1]}$	$-\frac{[pbs.1]}{[pbb.1]}$	6
	$x_2 =$		[pcc]	[pcl]	[pcs]	7

			$\frac{[pac][pac]}{[paa]}$	$\frac{[pac][pal]}{[paa]}$	$\frac{[pac][pas]}{[paa]}$	8
			$\frac{[pbc.1][pbc.1]}{[pbb.1]}$	$\frac{[pbc.1][pbl.1]}{[pbb.1]}$	$\frac{[pbc.1][pbs.1]}{[pbb.1]}$	9
			$[pcc.2]$	$[pcl.2]$	$[pcs.2]$	10
			-1	$\frac{[pcl.2]}{[pcc.2]}$	$\frac{[pcs.2]}{[pcc.2]}$	11
		$x_3 =$		$[pll]$	$[pls]$	12
				$\frac{[pal][pal]}{[paa]}$	$\frac{[pal][pas]}{[paa]}$	13
				$\frac{[pbl.1][pbl.1]}{[pbb.1]}$	$\frac{[pbl.1][pbs.1]}{[pbb.1]}$	14
				$\frac{[pcl.2][pcl.2]}{[pcc.2]}$	$\frac{[pcl.2][pcs.2]}{[pcc.2]}$	15
			$[pvv] =$	$[pll.3] =$	$[pls.3]$	16

Schema Gauss oferă, pe lângă o rezolvare simplă a sistemului normal de ecuații un control periodic. Astfel se execută un control facultativ în liniile 2, 6, 11:

$$\begin{aligned}
 -1 \frac{[pab]}{[paa]} - \frac{[pac]}{[paa]} - \frac{[pal]}{[paa]} &= -\frac{[pas]}{[paa]} \\
 -1 \frac{[pbc.1]}{[pbb.1]} - \frac{[pbl.1]}{[pbb.1]} &= -\frac{[pbs.1]}{[pbb.1]} \\
 -1 \frac{[pcl.2]}{[pcc.2]} &= -\frac{[pcs.2]}{[pcc.2]}
 \end{aligned} \quad (4.75)$$

și un control obligatoriu în liniile 5, 10:

$$[pbb.1] + [pbc.1] + [pbl.1] = [pbs.1]$$

$$[pcc.2] + [pcl.2] = [pcs.2] \quad (4.76)$$

Pentru verificarea necunoscutelor se folosește relația:

$$[pal]x_1 + [pbl]x_2 + [pcl]x_3 + [pll] = [pll.3] = [pls.3] \quad (4.77)$$

Eroarea medie pătratică a unei singure măsurători în cazul măsurătorilor indirecte de aceeași precizie, denumită și eroarea unității de pondere se calculează cu relația:

$$m_0 = \pm \sqrt{\frac{[pvv]}{n-k}} = \pm \sqrt{\frac{[pll.k]}{n-k}} \quad (4.78)$$

În cazul calculării sistemului normal de ecuații (corecții) prin metoda reducerilor succesive există egalitatea:

$$[pvv] = [pll.k] \quad (4.79)$$

unde :

k – numărul reducerilor egal cu numărul necunoscutelor

Erorile necunoscutelor se calculează cu relațiile similare cu cele din (4.35), în care coeficienții de pondere se calculează cu relațiile:

$$\begin{aligned}
 Q_{11} &= \frac{1}{[paa]} + \frac{S_1^2}{[pbb.1]} + \frac{S_2^2}{[pcc.2]} \\
 Q_{22} &= \frac{1}{[pbb.1]} + \frac{R_1^2}{[pcc.2]} \\
 Q_{33} &= \frac{1}{[pcc.2]}
 \end{aligned} \quad (4.80)$$

Eroarea medie pătratică a unei funcții de mărimi măsurate indirect și de precizii diferite, se calculează în mod similar cu relația (4.35), în care coeficientul de pondere a funcției se calculează într-o coloană atașată schemei Gauss și este dat de relația:

$$Q_{ff} = \frac{A_1^2}{[paa]} + \frac{[A_2.1]^2}{[pbb.1]} + \frac{[A_3.2]^2}{[pcc.2]} \quad (4.81)$$

4.3.3.1. Metoda matriceală

Sistemul ecuațiilor de erori în cazul măsurătorilor indirecte de precizii diferite se prezintă sub forma:

$$v_i = a_i x_1 + b_i x_2 + \dots + h_i x_n - l_i; \text{ de pondere } p_i \quad (4.82)$$

$$i = 1, 2, \dots, n$$

Prezentat sub formă matriceală, sistemul ecuațiilor de erori devine:

$$v = (Ax - l) \text{ de pondere } p \quad (4.83)$$

Intrucât elementele matricei "I" au erori diferite, ecuațiile sistemului au erori diferite, ceea ce duce la un sistem de ponderi diferite.

În relația (4.83), "p" reprezintă matricea diagonală:

$$p = \begin{pmatrix} p_1 & 0 & 0 & 0 \\ 0 & p_2 & 0 & 0 \\ \cdot & \cdot & \cdot & \cdot \\ 0 & 0 & 0 & p_h \end{pmatrix}; \quad (4.84)$$

iar celelalte matrici se prezintă sub forma:

$$v = \begin{pmatrix} v_1 \\ v_2 \\ \cdot \\ v_n \end{pmatrix}; \quad A = \begin{pmatrix} a_1 & b_1 & \dots & h_1 \\ a_2 & b_2 & \dots & h_2 \\ \cdot & \cdot & \dots & \cdot \\ a_n & b_n & \dots & h_n \end{pmatrix}; \quad x = \begin{pmatrix} x_1 \\ x_2 \\ \cdot \\ x_n \end{pmatrix}; \quad l = \begin{pmatrix} l_1 \\ l_2 \\ \cdot \\ l_n \end{pmatrix}; \quad (4.85)$$

Aplicând principiul micilor pătrate, se poate scrie:

$$F = [pvv] = v^T p v = \text{minim} \quad (4.86)$$

Dacă se ține seama de expresia (4.83) se poate scrie:

$$F = (x^T A^T - l^T) p (Ax - l) = x^T A^T p A x - 2x^T A^T p l - l^T p l = \text{minim} \quad (4.87)$$

Derivând funcția obținem:

$$A^T pAx - A^T pl = 0 \quad (4.88)$$

de unde rezultă:

$$x = (A^T pA)^{-1} A^T pl \quad (4.89)$$

Pentru a calcula eroarea medie pătratică a unității de pondere în mod matriceal, în relația (4.78) se exprimă termenul [pvv] cu relația:

$$\begin{aligned} [pvv] &= v^T pv = l^T pAQ_{xx}A^T pl - 2l^T pAQ_{xx}A^T pl - l^T pl = \\ &= l^T (p - pAQ_{xx}A^T p)l \end{aligned} \quad (4.90)$$

unde:

Q_{xx} - matricea coeficienților de pondere care se calculează cu relația:

$$\begin{aligned} Q_{xx} &= (A^T pA)^{-1} A^T pp^{-1} [(A^T pA)^{-1} A^T p]^T = \\ &= (A^T pA)^{-1} A^T pp^{-1} pA (A^T pA)^{-1} = \\ &= (A^T pA)^{-1} \end{aligned} \quad (4.91)$$

Eroarea medie pătratică a unei funcții de mărimi măsurate indirect și de precizii diferite se obține cu relația:

$$m_f = m_0 \sqrt{Q_{FF}} \quad (4.92)$$

unde :

Q_{FF} se calculează cu relația:

$$Q_{FF} = f^T Q_{xx} f \quad (4.93)$$

4.3.4. Măsurători condiționate

Măsurătorile directe supuse la condiții sunt întâlnite și sub denumirea de măsurători condiționate. În practica prelucrării observațiilor geodezice în afara condițiilor geometrice liniare se întâlnesc deseori și condiții geometrice neliniare, care trebuie liniarizate înainte de a fi utilizate în prelucrare.

Considerând valorile probabile ale mărimilor măsurate direct $(x_1), (x_2), \dots, (x_n)$, și condițiile geometrice exprimate prin funcțiile neliniare f_1, f_2, \dots, f_r , date de expresiile:

$$\begin{aligned} f_1[(x_1), (x_2), \dots, (x_n)] &= 0 \\ f_2[(x_1), (x_2), \dots, (x_n)] &= 0 \\ &\dots\dots\dots \\ f_r[(x_1), (x_2), \dots, (x_n)] &= 0 \end{aligned} \quad (4.94)$$

și ținând seama de faptul că valorile probabile se obțin din mărimile măsurate " x_i " și corecțiile " v_i " ale acestora:

$$(x_i) = x_i + v_i; i = 1, 2, \dots, n \quad (4.95)$$

sistemul (4.94) devine:

$$\begin{aligned} f_1(x_1 + v_1, x_2 + v_2, \dots, x_n + v_n) &= 0 \\ f_2(x_1 + v_1, x_2 + v_2, \dots, x_n + v_n) &= 0 \end{aligned} \quad (4.96)$$

$$f_r(x_1 + v_1, x_2 + v_2, \dots, x_n + v_n) = 0$$

Având în vedere faptul că, valorile corecțiilor " v_i " sunt mici, funcțiile (4.96) se pot dezvolta în serie Taylor. Reținând din dezvoltare numai termenii de ordinal I (până la puterea întâi) se obține:

$$f_1(x_1, x_2, \dots, x_n) + \left(\frac{\partial f_1}{\partial x_1}\right)v_1 + \left(\frac{\partial f_1}{\partial x_2}\right)v_2 + \dots + \left(\frac{\partial f_1}{\partial x_n}\right)v_n = 0$$

$$f_2(x_1, x_2, \dots, x_n) + \left(\frac{\partial f_2}{\partial x_1}\right)v_1 + \left(\frac{\partial f_2}{\partial x_2}\right)v_2 + \dots + \left(\frac{\partial f_2}{\partial x_n}\right)v_n = 0 \quad (4.97)$$

$$f_r(x_1, x_2, \dots, x_n) + \left(\frac{\partial f_r}{\partial x_1}\right)v_1 + \left(\frac{\partial f_r}{\partial x_2}\right)v_2 + \dots + \left(\frac{\partial f_r}{\partial x_n}\right)v_n = 0$$

Intrucât funcțiile din (4.97) sunt calculate cu mărimile măsurate și nu cu cele probabile, vor conduce la valori diferite de zero, valori ce reprezintă neînchiderile în condițiile geometrice.

Dacă se notează cu " a_i " derivatele parțiale din prima egalitate a sistemului (4.97), cu " b_i " derivatele parțiale din a doua egalitate, cu " r_i " din ultima egalitate și cu $w_i = f_i(x_1, x_2, \dots, x_n)$ se obține:

$$\begin{aligned} a_1 v_1 + a_2 v_2 + \dots + a_n v_n + w_1 &= 0 \\ b_1 v_1 + b_2 v_2 + \dots + b_n v_n + w_2 &= 0 \end{aligned} \quad (4.98)$$

$$r_1 v_1 + r_2 v_2 + \dots + r_n v_n + w_r = 0$$

Sistemul de ecuații (4.98) se numește sistemul ecuațiilor de corecții în care $n > r$, iar ecuațiile trebuie să fie independente, adică o ecuație oarecare să nu fie o consecință a altora.

De menționat că: dacă sistemul admite o soluție unică el se numește *compatibil determinat*, iar dacă admite cel puțin două soluții se numește *compatibil nedeterminat*. Dacă sistemul nu are soluții, el este *incompatibil*.

Analizând sistemul ecuațiilor de erori, se constată că numărul necunoscutelor este mai mare decât numărul ecuațiilor, ceea ce face ca sistemul să fie incompatibil.

Sistemul de ecuații poate fi rezolvat dacă se atașează condiția:

$$[vv] = \text{minim} \quad (4.99)$$

Considerând în locul funcției (4.99) o funcție compusă de forma:

$$\begin{aligned} F(v_1, v_2, \dots, v_n) &= v_1^2 + v_2^2 + \dots + v_n^2 - 2k_1([av] + w_1) - \\ &\quad - 2k_2([bv] + w_2) - \\ &\quad \dots \quad (4.100) \\ &\quad - 2k_r([rv] + w_r) - \end{aligned}$$

în care :

k_1, k_2, \dots, k_r - corelate s-au coeficienții nedeterminați a lui Lagrange.

Condiția de minim a funcției (4.100) este îndeplinită pentru valorile corecțiilor care reprezintă soluția sistemului de ecuații:

$$\frac{\partial F}{\partial v_1} = 0; \frac{\partial F}{\partial v_2} = 0; \dots, \frac{\partial F}{\partial v_n} = 0; \quad (4.101)$$

Efectuând derivatele funcției (4.100) se obține:

$$\begin{aligned} 2v_1 - 2k_1a_1 - 2k_2b_1 - \dots - 2k_r r_1 &= 0 \\ 2v_2 - 2k_1a_2 - 2k_2b_2 - \dots - 2k_r r_2 &= 0 \\ \dots &\dots \\ 2v_n - 2k_1a_n - 2k_2b_n - \dots - 2k_r r_n &= 0 \end{aligned} \quad (4.102)$$

de unde rezultă:

$$\begin{aligned} v_1 &= a_1k_1 + b_1k_2 + \dots + r_1k_r \\ v_2 &= a_2k_1 + b_2k_2 + \dots + r_2k_r \\ \dots &\dots \\ v_n &= a_nk_1 + b_nk_2 + \dots + r_nk_r \end{aligned} \quad (4.103)$$

Se înlocuiește (4.103) în (4.98) și se obține sistemul normal de ecuații:

$$\begin{aligned} [aa]k_1 + [ab]k_2 + \dots + [ar]k_r + w_1 &= 0 \\ [ab]k_1 + [bb]k_2 + \dots + [br]k_r + w_2 &= 0 \\ \dots &\dots \\ [ar]k_1 + [br]k_2 + \dots + [rr]k_r + w_r &= 0 \end{aligned} \quad (4.104)$$

Pentru a rezolva sistemului normal de ecuații se calculează, mai întâi, coeficienții corelatelor, utilizând coeficienții ecuațiilor de erori.

Calculul coeficienților ecuațiilor normale se face în tabelul 4.9 cu aplicarea unor relații de control:

$$\begin{aligned} a_1 + a_1 + a_1 + \dots + a_1 &= s_1 \\ [a] + [b] + [c] + \dots + [r] &= [s] \\ [aa] + [ab] + [ac] + \dots + [ar] &= [as] \\ [aa] + [ab] + [ac] + \dots + [ar] &= [as] \\ \dots &\dots \\ [ra] + [rb] + [rc] + \dots + [rr] &= [rs] \end{aligned} \quad (4.105)$$

Prin aplicarea relațiilor de control (4.105) se elimină posibilitatea de a greși.

Rezolvarea sistemului ecuațiilor normale ale corelatelor se realizează în mod similar cu măsurătorile indirecte, dar cu unele particularități.

Astfel în coloana termenilor liberi (tabelul 4.10) se trec neînchiderile "w". Pe aceeași coloană, în linia 15, se va calcula [vv], prin însumarea liniilor 12, 13, 14, care la rândul lor se obțin din produsul termenilor situați pe liniile roșii cu cei de deasupra și luați cu semn schimbat:

$$[vv] = \frac{w_1^2}{[aa]} + \frac{[w_2.1]^2}{[bb.1]} + \frac{[w_3.2]^2}{[cc.2]} \quad (4.106)$$

Tabelul 4.9

Nr.crt.	a	b	c	d	...	r	s
1	a ₁	b ₁	c ₁	d ₁	...	r ₁	s ₁
2	a ₂	b ₂	c ₂	d ₂	...	r ₂	s ₂
3	a ₃	b ₃	c ₃	d ₃	...	r ₃	s ₃
.
n	a _n	b _n	c _n	d _n	...	r _n	s _n
[]	[a]	[b]	[c]	[d]	...	[r]	[s]
	[aa]	[ab]	[ac]	[ad]	...	[ar]	[as]
		[bb]	[bc]	[bd]	...	[br]	[bs]
			[cc]	[cd]	...	[cr]	[cs]
				[dd]	...	[dr]	[ds]
						[rr]	[rs]
							[ss]

Tabelul 4.10

	a]	b]	c]	w]	S]	Contr ol
[a	[aa]	[ab]	[ac]	w ₁	S ₁	
	-1	$-\frac{[ab]}{[aa]}$	$-\frac{[ac]}{[aa]}$	$-\frac{[w_1]}{[aa]}$	$-\frac{S_1}{[aa]}$	CF
k ₁		[bb]	[bc]	w ₂	S ₂	

		$\frac{[ab][ac]}{[aa]}$	$\frac{[ab][ac]}{[aa]}$	$\frac{[ab]w_1}{[aa]}$	$\frac{[ab]S_1}{[aa]}$	
		[bb.1]	[bc.1]	[w ₂ .1]	[S ₁ .1]	CO
		-1	$-\frac{[bc.1]}{[bb.1]}$	$-\frac{[w_2.1]}{[bb.1]}$	$-\frac{[S_2.1]}{[bb.1]}$	CF
	k ₂ =		[cc]	w ₃	S ₃	
			$\frac{[ac][ac]}{[aa]}$	$\frac{[ac]w_1}{[aa]}$	$\frac{[ac]S_1}{[aa]}$	
			$\frac{[bc.1][bc.1]}{[bb.1]}$	$\frac{[bc.1][w_2.1]}{[bb.1]}$	$\frac{[bc.1][S_2.1]}{[bb.1]}$	
			[cc.2]	[w ₃ .2]	[S ₃ .2]	CO
			-1	$-\frac{[w_3.2]}{[cc.2]}$	$-\frac{[S_3.2]}{[cc.2]}$	CF
				$\frac{w_1^2}{[aa]}$	$\frac{S_1^2}{[aa]}$	12
				$\frac{[w_2.1]^2}{[bb.1]}$	$\frac{[S_2.1]^2}{[bb.1]}$	13
				$\frac{[w_3.2]^2}{[cc.2]}$	$\frac{[S_3.2]^2}{[cc.2]}$	14
			[vv]=	[w.3]=	[S.3]	15

Observații: CO- control obligatoriu;
 CF- control facultativ (linie roșie);
 [vv] – suma corecțiilor se utilizează ca un control de calcul a corelatelor “k_i”.

Plecând de la relația (4.103) în care numărul condițiilor geometrice este egal cu trei, se poate scrie:

$$v_i = a_i k_1 + b_i k_2 + c_i k_3; \quad i = 1, 2, \dots, n \quad (4.107)$$

Înmulțind egalitățile (4.107) cu “v_i”, adunînd și ținînd seama de expresiile sistemului ecuațiilor de erori:

$$\begin{aligned} [av] + w_1 &= 0 \\ [bv] + w_2 &= 0 \\ [cv] + w_3 &= 0 \end{aligned} \quad (4.108)$$

se obține:

$$[vv] = -w_1 k_1 - w_2 k_2 - w_3 k_3 = -[kw] \quad (4.109)$$

4.3.4.1. Rezolvarea matriceală a măsurătorilor condiționate de aceeași precizie

Considerând sistemul ecuațiilor de erori (4.98) prin introducerea notațiilor:

$$B = \begin{pmatrix} a_1 & b_1 & \dots & r_1 \\ a_1 & b_1 & \dots & r_2 \\ \dots & \dots & \dots & \dots \\ a_n & b_n & \dots & r_n \end{pmatrix}; B^T = \begin{pmatrix} a_1 & a_2 & \dots & a_n \\ b_1 & b_2 & \dots & b_n \\ \dots & \dots & \dots & \dots \\ r_1 & r_2 & \dots & r_n \end{pmatrix}; w = \begin{pmatrix} w_1 \\ w_2 \\ \dots \\ w_r \end{pmatrix}; v = \begin{pmatrix} v_1 \\ v_2 \\ \dots \\ v_r \end{pmatrix} \quad (4.110)$$

sistemul matriceal de ecuații se scrie:

$$B^T v = w \quad (4.111)$$

Atașând sistemului ecuațiilor de erori condiția de minim scrisă matriceal avem:

$$F = v^T v - 2k^T (B^T v - w) = v^T v - 2v^T Bk + 2k^T w = \text{minim} \quad (4.112)$$

în care :

$k^T = (k_1, k_2, \dots, k_r)$ -matricea transpusă a corelatelor
Valorile corecțiilor, pentru care este îndeplinită condiția (4.112), verifică sistemul:

$$\frac{1}{2} \frac{\partial F}{\partial v_i} = 0, \quad i = 1, 2, \dots, n \quad (4.113)$$

Derivând se obține:

$$v = Bk \quad (4.114)$$

Înlocuind (4.114) în (4.111) se obține *sistemul ecuațiilor normale* al corelatelor:

$$B^T Bk = w \quad (4.115)$$

de unde:

$$k = (B^T B)^{-1} w \quad (4.116)$$

Introducând (4.116) în (4.114) se obține valoarea cea mai probabilă a corecțiilor. " v_i ".

$$v = B(B^T B)^{-1} w \quad (4.117)$$

Eroarea medie pătratică a unei singure măsurători în cazul măsurătorilor condiționate de aceeași precizie se calculează cu relația:

$$m_0 = \pm \sqrt{\frac{[vv]}{r}} \quad (4.118)$$

Expresia $[vv]$ poate fi calculată matriceal cu relația:

$$[vv] = v^T v \quad (4.119)$$

unde :

$$v^T = k^T B^T \quad (4.120)$$

iar:

$$v^T v = k^T B^T B k \quad (4.121)$$

Tinând seama de (4.116), relația (4.121) devine:

$$v^T v = k^T w \quad (4.122)$$

4.3.4.2. Expresia matriceală a coeficienților de pondere

La definirea măsurătorilor condiționate s-a arătat că valoarea cea mai probabilă a mărimilor măsurate direct este dată de relația (4.95). Înlocuind în expresia menționată pe " x_i " cu " l_i " se obține:

$$(x_i) = l_i + v_i \quad (4.123)$$

Exprimând matriceal relația (4.123) devine:

$$(x) = l + v \quad (4.124)$$

Tinând seama de expresia (4.117), în care $w = -B^T l$, se poate scrie:

$$v = B(B^T B)^{-1} B^T l \quad (4.125)$$

Introducând expresia (4.125) în (4.124) se obține:

$$(x) = [E - B(B^T B)^{-1} B^T] l \quad (4.126)$$

Relația (4.126) arată că valorile probabile ale mărimilor măsurate direct și supuse la condiții sunt funcții de mărimile măsurate direct. În consecință se poate aplica formula (4.53) în care ponderile sunt egale cu unitatea și avem:

$$\begin{aligned} Q_{ll} &= [E - B(B^T B)^{-1} B^T] [E - B(B^T B)^{-1} B^T] = \\ &= E - B(B^T B)^{-1} B^T - B(B^T B)^{-1} B^T + B(B^T B)^{-1} B^T B(B^T B)^{-1} B^T = \\ &\vdots \\ &= E - B(B^T B)^{-1} B^T \end{aligned} \quad (4.127)$$

4.3.4.3. Coeficientul de pondere al unei funcții de mărime obținute prin măsurători condiționate

Considerând funcția de mărime obținute prin măsurători condiționate:

$$F = f_0 + f_1(l_1 + v_1) + f_2(l_2 + v_2) + \dots + f_n(l_n + v_n) \quad (4.128)$$

se poate prezenta sub formă matriceală astfel:

$$\begin{aligned}
 2p_1v_1 - 2a_1k_1 - 2b_1k_2 - \dots - 2r_1k_r &= 0 \\
 2p_2v_2 - 2a_2k_1 - 2b_2k_2 - \dots - 2r_2k_r &= 0 \\
 \dots &\dots \\
 2p_nv_n - 2a_nk_1 - 2b_nk_2 - \dots - 2r_nk_r &= 0
 \end{aligned} \quad (4.138)$$

de unde rezultă:

$$\begin{aligned}
 v_1 &= \frac{1}{p_1}(a_1k_1 + b_1k_2 + \dots + r_1k_r) \\
 v_2 &= \frac{1}{p_2}(a_2k_1 + b_2k_2 + \dots + r_2k_r) \\
 \dots &\dots \\
 v_n &= \frac{1}{p_n}(a_nk_1 + b_nk_2 + \dots + r_nk_r)
 \end{aligned} \quad (4.139)$$

Introducând relația (4.139) în sistemul (4.134), se obține sistemul normal de ecuații:

$$\begin{aligned}
 \left[\frac{aa}{p} \right] k_1 + \left[\frac{ab}{p} \right] k_2 + \dots + \left[\frac{ar}{p} \right] k_r + w_1 &= 0 \\
 \left[\frac{ab}{p} \right] k_1 + \left[\frac{bb}{p} \right] k_2 + \dots + \left[\frac{br}{p} \right] k_r + w_2 &= 0 \\
 \dots &\dots \\
 \left[\frac{ar}{p} \right] k_1 + \left[\frac{br}{p} \right] k_2 + \dots + \left[\frac{rr}{p} \right] k_r + w_r &= 0
 \end{aligned} \quad (4.140)$$

În mod similar cu măsurătorile condiționate de aceeași precizie etapele de rezolvare sunt următoarele:

- se calculează coeficienții ecuațiilor normale;
- se rezolvă sistemul ecuațiilor normale, rezultând corelatele;
- se calculează corecțiile;
- se determină valorile cele mai probabile ale mărimilor măsurate.

Pentru calculul coeficienților ecuațiilor normale se utilizează schema redusă, similară cu tabelul 4.9, la care se mai adaugă o coloană pentru se introduce inversele ponderilor.

Tabelul 4.11.

Nr. crt.	1/p	a	b	c	d	...	r	S
1	$\frac{1}{p_1}$	a_1	b_1	c_1	d_1	...	r_1	S_1
2	$\frac{1}{p_2}$	a_2	b_2	c_2	d_2	...	r_2	S_2
3	$\frac{1}{p_3}$	a_3	b_3	c_3	d_3	...	r_3	S_3
.
n	$\frac{1}{p_n}$	a_n	b_n	c_n	d_n	...	r_n	S_n
[]		[a]	[b]	[c]	[d]	...	[r]	[S]
		$\left[\frac{aa}{p} \right]$	$\left[\frac{ab}{p} \right]$	$\left[\frac{ac}{p} \right]$	$\left[\frac{ad}{p} \right]$...	$\left[\frac{ar}{p} \right]$	$\left[\frac{aS}{p} \right]$
			$\left[\frac{bb}{p} \right]$	$\left[\frac{bc}{p} \right]$	$\left[\frac{bd}{p} \right]$...	$\left[\frac{br}{p} \right]$	$\left[\frac{bS}{p} \right]$

$\begin{bmatrix} cc \\ p \end{bmatrix}$	$\begin{bmatrix} cd \\ p \end{bmatrix}$...	$\begin{bmatrix} cr \\ p \end{bmatrix}$	$\begin{bmatrix} cS \\ p \end{bmatrix}$
	$\begin{bmatrix} dd \\ p \end{bmatrix}$...	$\begin{bmatrix} dr \\ p \end{bmatrix}$	$\begin{bmatrix} dS \\ p \end{bmatrix}$
			$\begin{bmatrix} rr \\ p \end{bmatrix}$	$\begin{bmatrix} rS \\ p \end{bmatrix}$
				$\begin{bmatrix} SS \\ p \end{bmatrix}$

Tabelul 4.12

a]	b]	c]	w	S
$\begin{bmatrix} aa \\ p \end{bmatrix}$	$\begin{bmatrix} ab \\ p \end{bmatrix}$	$\begin{bmatrix} ac \\ p \end{bmatrix}$	w_1	S_1
-1	$-\frac{\begin{bmatrix} ab \\ p \end{bmatrix}}{\begin{bmatrix} aa \\ p \end{bmatrix}}$	$-\frac{\begin{bmatrix} ac \\ p \end{bmatrix}}{\begin{bmatrix} aa \\ p \end{bmatrix}}$	$-\frac{\begin{bmatrix} w_1 \\ p \end{bmatrix}}{\begin{bmatrix} aa \\ p \end{bmatrix}}$	$-\frac{\begin{bmatrix} S_1 \\ p \end{bmatrix}}{\begin{bmatrix} aa \\ p \end{bmatrix}}$
	$\begin{bmatrix} bb \\ p \end{bmatrix}$	$\begin{bmatrix} bc \\ p \end{bmatrix}$	w_2	S_2
	$\frac{\begin{bmatrix} ab \\ p \end{bmatrix}}{\begin{bmatrix} aa \\ p \end{bmatrix}} \begin{bmatrix} ab \\ p \end{bmatrix}$	$-\frac{\begin{bmatrix} ab \\ p \end{bmatrix}}{\begin{bmatrix} aa \\ p \end{bmatrix}} \begin{bmatrix} ac \\ p \end{bmatrix}$	$-\frac{\begin{bmatrix} ab \\ p \end{bmatrix}}{\begin{bmatrix} aa \\ p \end{bmatrix}} w_1$	$-\frac{\begin{bmatrix} ab \\ p \end{bmatrix}}{\begin{bmatrix} aa \\ p \end{bmatrix}} S_1$

	$\begin{bmatrix} bb.1 \\ p \end{bmatrix}$	$\begin{bmatrix} bc.1 \\ p \end{bmatrix}$	$\begin{bmatrix} w_2.1 \\ p \end{bmatrix}$	$\begin{bmatrix} S_2.1 \\ p \end{bmatrix}$
	-1	$-\frac{\begin{bmatrix} bc.1 \\ p \end{bmatrix}}{\begin{bmatrix} bb.1 \\ p \end{bmatrix}}$	$-\frac{\begin{bmatrix} w_2.1 \\ p \end{bmatrix}}{\begin{bmatrix} bb.1 \\ p \end{bmatrix}}$	$-\frac{\begin{bmatrix} S_2.1 \\ p \end{bmatrix}}{\begin{bmatrix} bb.1 \\ p \end{bmatrix}}$
		$\begin{bmatrix} cc \\ p \end{bmatrix}$	w_3	S_3
		$-\frac{\begin{bmatrix} ac \\ p \end{bmatrix}}{\begin{bmatrix} aa \\ p \end{bmatrix}} \begin{bmatrix} ac \\ p \end{bmatrix}$	$-\frac{\begin{bmatrix} ac \\ p \end{bmatrix}}{\begin{bmatrix} aa \\ p \end{bmatrix}} w_1$	$-\frac{\begin{bmatrix} ac \\ p \end{bmatrix}}{\begin{bmatrix} aa \\ p \end{bmatrix}} S_1$
		$\frac{\begin{bmatrix} bc.1 \\ p \end{bmatrix}}{\begin{bmatrix} bb.1 \\ p \end{bmatrix}} \begin{bmatrix} bc.1 \\ p \end{bmatrix}$	$-\frac{\begin{bmatrix} bc.1 \\ p \end{bmatrix}}{\begin{bmatrix} bb.1 \\ p \end{bmatrix}} \begin{bmatrix} w_2.1 \\ p \end{bmatrix}$	$-\frac{\begin{bmatrix} bc.1 \\ p \end{bmatrix}}{\begin{bmatrix} bb.1 \\ p \end{bmatrix}} \begin{bmatrix} S_2.1 \\ p \end{bmatrix}$
		$\begin{bmatrix} cc.2 \\ p \end{bmatrix}$	$\begin{bmatrix} w_3.2 \\ p \end{bmatrix}$	$\begin{bmatrix} S_3.2 \\ p \end{bmatrix}$
		-1	$-\frac{\begin{bmatrix} w_3.2 \\ p \end{bmatrix}}{\begin{bmatrix} cc.2 \\ p \end{bmatrix}}$	$-\frac{\begin{bmatrix} S_3.2 \\ p \end{bmatrix}}{\begin{bmatrix} cc.2 \\ p \end{bmatrix}}$

De menționat că rezolvarea și controlul schemei Gauss – Doolittle se face în mod similar cu sistemul normal de ecuații de

la măsurătorile condiționate de aceeași precizie, cu precizarea că la numitorii elementelor apar ponderi.

Eroarea medie pătratică a unității de pondere se calculează cu relația:

$$m_0 = \pm \sqrt{\frac{[pvv]}{r}} \quad (4.141)$$

unde:

r —numărul de condiții geometrice

Pentru eroarea medie pătratică a unei mărimi obținute prin măsurători condiționate de precizii diferite sau a unei funcții de mărimi obținute prin prelucrarea aceluiași mărimi se utilizează relația:

$$m_F = \pm m_0 \sqrt{Q_{FF}} \quad (4.142)$$

în care:

$$Q_{FF} = \left[\frac{AA.3}{P} \right] = \left[\frac{AA}{P} \right] - \left[\frac{\frac{aA}{p}}{\frac{aa}{p}} \right] - \left[\frac{\frac{bA.1}{p}}{\frac{bb.1}{p}} \right] - \left[\frac{\frac{cA.2}{p}}{\frac{cc.2}{p}} \right] \quad (4.143)$$

4.3.5.1. Rezolvarea matriceală a măsurătorilor condiționate de precizii diferite

Cunoscând expresia matriceală a sistemului ecuațiilor de corecții, de la măsurătorile condiționate de aceeași precizie ($B^T v = w$), în care corecțiile " v_i " au erori (ponderi) diferite, va exista o matrice a ponderilor de forma:

$$P = \begin{pmatrix} p_1 & 0 & 0 & 0 \\ 0 & p_2 & 0 & 0 \\ \cdot & \cdot & \cdot & \cdot \\ 0 & 0 & 0 & p_n \end{pmatrix}; \quad (4.144)$$

Se atașează sistemului ecuațiilor de erori, condiția:

$$F = v^T pv - 2k^T (B^T v - w) = \text{minim} \quad (4.145)$$

Funcția (4.145) se poate scrie:

$$F = v^T pv - 2v^T Bk + k^T w = \text{minim} \quad (4.146)$$

Condiția de minim a funcției (4.146) este îndeplinită pentru soluția sistemului rezultat din derivatele parțiale ale funcției în raport cu " v_i ":

$$\frac{1}{2} \frac{\partial F}{\partial v_i} = 0 \quad (4.147)$$

În urma derivării se obține:

$$pv = Bk \quad (4.148)$$

de unde:

$$v = p^{-1} Bk \quad (4.149)$$

Înlocuind (4.149) în sistemul ecuațiilor de erori se obține:

$$B^T p^{-1} B k = w \quad (4.150)$$

în care:

$$p^{-1} = Q = \begin{pmatrix} \frac{1}{P_1} & 0 & 0 & 0 \\ 0 & \frac{1}{P_2} & 0 & 0 \\ . & . & . & . \\ 0 & 0 & 0 & \frac{1}{P_n} \end{pmatrix}; \quad (4.151)$$

Tinând seama de (4.151), relația (4.150) devine:

$$B^T Q B k = w \quad (4.153)$$

de unde:

$$k = (B^T Q B)^{-1} w \quad (4.154)$$

Prin introducerea corelatelor (4.154) în relația (4.149) se obțin *valorile cele mai probabile ale corecțiilor*:

$$v = p^{-1} B k = Q B (B^T Q B)^{-1} w \quad (4.155)$$

însă:

$$w = -B^T l \quad (4.156)$$

atunci:

$$v = -Q B (B^T Q B)^{-1} B^T l \quad (4.157)$$

Cu ajutorul corecțiilor "v" se calculează *valorile cele mai probabile ale mărimilor măsurate*:

$$(x) = l + v \quad (4.158)$$

în care "v" se înlocuiește cu expresia (4.157):

$$(x) = [E - Q B (B^T Q B)^{-1} B^T] l \quad (4.159)$$

Pentru a calcula coeficienții de pondere ai corecțiilor se va pleca de la relația (4.159), pentru care se aplică o relație asemănătoare cu (4.55), în care apare și matricea ponderilor $p^{-1} = Q$:

$$\begin{aligned} Q_u &= [E - Q B (B^T Q B)^{-1} B^T] Q [E - B (B^T Q B)^{-1} B^T Q] = \\ &= Q - B (B^T Q B)^{-1} B^T Q \end{aligned} \quad (4.160)$$

Pentru calculul coeficienților de pondere ai unei funcții de mărimi condiționate, de precizii diferite, se consideră funcția:

$$F = f_0 + f^T (l + v) \quad (4.161)$$

sau:

$$F = [f^T - f^T QB(B^T QB)^{-1}] Y \quad (4.162)$$

Pentru a calcula coeficientul de pondere al funcției se pleacă de la ecuația (4.162) și conform procedurii cunoscut se scrie:

$$\begin{aligned} Q_{vr} &= [f^T - f^T QB(B^T QB)^{-1} B^T] Q [f - \\ &- B(B^T QB)^{-1} B^T Qf] = f^T Qf - f^T QB(B^T QB)^{-1} B^T Qf \quad (4.162) \\ &= f^T Q_{rr} f \end{aligned}$$

4.3.6. Măsurători indirecte supuse la condiții

În practica geodezică se întâlnesc situații când anumite mărimi (x_1, x_2, \dots, x_h) sunt legate de "n" observații printr-un sistem de forma:

$$\begin{aligned} a_i x_1 + b_i x_2 + \dots + h_i x_h + l_i &= v_i \\ i &= 1, 2, \dots, n \end{aligned} \quad (4.163)$$

În același timp mărimile trebuie să îndeplinească condițiile scrise sub forma:

$$\begin{aligned} [A_i x_i]_1^h + w_1 &= 0 \\ [B_i x_i]_1^h + w_2 &= 0 \\ \dots\dots\dots \\ [R_i x_i]_1^h + w_r &= 0 \end{aligned} \quad (4.164)$$

Trebuie precizat că între numărul observațiilor "n", numărul necunoscute "h" și numărul condițiilor "r" există inegalitățile:

$$n > h, \quad r < h \quad (4.165)$$

Pentru a rezolva sistemul corespunzător măsurătorilor indirecte supus la condiții, din (4.164) se exprimă primele "r" necunoscute în funcție de celelalte h-r necunoscute și acestea se substituie în sistemul (4.163).

Se obține astfel, un sistem de "n" ecuații cu h-r necunoscute și care se rezolvă utilizând teoria măsurătorilor indirecte.

Eroarea medie pătratică a unei singure măsurători se calculează cu relația:

$$m_0 = \pm \sqrt{\frac{[vv]}{n - h + r}} \quad (4.166)$$

Pentru rezolvarea sistemului de ecuații format din (4.163) și (4.164), prin metoda corelatelor, se scrie condiția de minim:

$$\begin{aligned} F &= v_1^2 + v_2^2 + \dots + v_n^2 - 2k_1(A_1 x_1 + A_2 x_2 + \dots + A_n + w_1) - \\ &- 2k_2(B_1 x_1 + B_2 x_2 + \dots + B_n + w_2) - \\ &\dots\dots\dots \\ &- 2k_r(R_1 x_1 + R_2 x_2 + \dots + R_n + w_r) = \text{minim} \end{aligned} \quad (4.167)$$

Minimul funcției (4.167) se află pentru valorile care anulează derivatele parțiale ale acesteia în raport cu x_1, x_2, \dots, x_n , deci se poate scrie:

$$\begin{aligned} \frac{\partial F}{\partial x_i} = & 2v_1 \frac{\partial v_1}{\partial x_i} + 2v_2 \frac{\partial v_2}{\partial x_i} + \dots + 2v_n \frac{\partial v_n}{\partial x_i} - \\ & - 2A_i k_1 - 2B_i k_2 - \dots - 2R_i k_r = 0 \end{aligned} \quad (4.168)$$

$$F = (x^T A^T + l^T)(Ax + l) - 2k^T(Bx + w) = \quad (4.175')$$

$$= x^T A^T Ax + 2x^T A^T l - 2x^T B^T k - 2k^T w = \text{minim}$$

După derivare se obține:

$$\begin{aligned} A^T Ax + A^T l - B^T k &= 0 \\ Bx + w &= 0 \end{aligned} \quad (4.176)$$

În cazul măsurătorilor ponderate se poate scrie:

$$\begin{aligned} A^T pAx + A^T pl - B^T k &= 0 \\ Bx + w &= 0 \end{aligned} \quad (4.177)$$

Din prima ecuație a sistemului (4.177) se determină:

$$x = -(A^T pA)^{-1} A^T pl + (A^T pA)^{-1} B^T k \quad (4.178)$$

Se notează:

$$(A^T pA)^{-1} = Q_0$$

Atunci (4.178) ia forma:

$$x = -Q_0 A^T pl + Q_0 B^T k \quad (4.179)$$

Introducând relația (4.179) în a doua ecuație a sistemului (4.177) se obține:

$$-BQ_0 A^T pl + BQ_0 B^T k + w = 0 \quad (4.180)$$

de unde:

GEODEZIE

$$k = (BQ_0 B^T)^{-1} BQ_0 A^T pl - w \quad (4.181)$$

Introducând (4.181) în relația (4.179) se obține:

$$\begin{aligned} x = -Q_0 A^T pl + Q_0 B^T (BQ_0 B^T)^{-1} BQ_0 A^T pl - \\ - Q_0 B^T (BQ_0 B^T)^{-1} w \end{aligned} \quad (4.182)$$

sau:

$$x = -Q_0 \{ [B^T (BQ_0 B^T)^{-1} BQ_0 - E] A^T l - B^T (BQ_0 B^T)^{-1} w \} \quad (4.183)$$

Matricea coeficienților de pondere, pentru mărimile "x_i" care se determină, se stabilește după ce în prealabil acestea se exprimă în funcție de mărimile măsurate direct.

Pentru aceasta din prima ecuație a sistemului (4.177) se poate scrie:

$$\begin{aligned} x = -(A^T pA)^{-1} A^T pl + (A^T pA)^{-1} B^T k = \\ = -Q_0 A^T pl + Q_0 B^T k; \quad Q_0 = (A^T pA)^{-1} \end{aligned} \quad (4.184)$$

Se introduce expresia lui "x" în a doua ecuație a sistemului (4.177):

$$-BQ_0 A^T pl + BQ_0 B^T k + w = 0 \quad (4.185)$$

de unde:

$$k = (BQ_0 B^T)^{-1} BQ_0 A^T pl - (BQ_0 B^T)^{-1} w \quad (4.186)$$

Introducând notația (4.187), relația (4.186) va deveni (4.188).

GEODEZIE

$$\bar{Q} = (BQ_0B^T)^{-1} \quad (4.187)$$

$$k = \bar{Q}BQ_0A^T pl - \bar{Q}w \quad (4.188)$$

Se introduce expresia lui "k" în relația (4.184) și rezultă:

$$\begin{aligned} x &= -Q_0A^T pl + Q_0B^T (\bar{Q}BQ_0A^T pl - \bar{Q}w) = \\ &= -Q_0A^T pl + Q_0B^T \bar{Q}BQ_0A^T pl - Q_0B^T \bar{Q}w = \quad (4.189) \\ &= Q_0[(B^T \bar{Q}BQ_0A^T p - A^T p)l - B^T \bar{Q}w] \end{aligned}$$

Luând în considerare numai termenul care conține matricea "I" se poate scrie:

$$Q^{**} = Q_0(B^T \bar{Q}BQ_0A^T p - A^T p)Q(pAQ_0B^T \bar{Q}B - pA)Q_0 \quad (4.190)$$

După rezolvare și reducere se obține:

$$Q^{**} = Q_0 - Q_0B^T \bar{Q}BQ_0 \quad (4.191)$$

Conform [6], eroarea medie pătratică a unității de pondere se calculează cu relația:

$$m_0 = \pm \sqrt{\frac{[pvv]}{n-h+r}} \quad (4.192)$$

în care :

$$\begin{aligned} [pvv] &= x^T A^T pAx + 2x^T A^T pl + l^T pl = \\ &= x^T A^T pl - x^T B^T k + l^T pl \end{aligned} \quad (4.193)$$

5. REZOLVAREA REȚELELOR DE TRIANGULAȚIE PRIN METODA MĂSURĂTORILOR INDIRECTE

5.1. Considerații generale

Pentru determinarea pozițiilor noilor puncte, în rețelele de triangulație se măsoară, întotdeauna, un număr mult mai mare de direcții decât strictul necesar.

Direcțiile măsurate, efectuate în plus față de strictul necesar, permit descoperirea erorilor la măsurători, aprecierea asupra preciziei observațiilor de teren, determinarea cu mai mare precizie a coordonatelor punctelor rețelei executate.

Utilizarea în calcule a direcțiilor măsurate, datorită erorilor inerente oricărei măsurători conduce la obținerea pentru un același punct a mai multor valori.

De aceea, înaintea calculelor definitive ale triangulației se fac calcule de compensare, care au ca scop să obțină, pentru fiecare punct ce se determină, numai o singură și cea mai probabilă valoare a coordonatelor sale.

Rețelele de triangulație de ordin superior se compensează prin metode riguroase și anume: prin metoda măsurătorilor indirecte (variația coordonatelor punctelor) și metoda măsurătorilor condiționate (variația unghiurilor și a direcțiilor).

Valorile corecțiilor determinate prin metoda măsurătorilor indirecte se aplică coordonatelor punctelor, iar

cele obținute prin metoda măsurătorilor condiționate se referă la unghiuri și laturi și răspund condițiilor de geometrizare a rețelei.

Indiferent de metoda de compensare aplicată, înainte de a se introduce în calculele de compensare, direcțiile măsurate pe teren se verifică, se reduc la centrele punctelor, se reduc de asemeni în planul de proiecție Gauss sau stereografic.

Pentru obținerea direcțiilor reduse în plan, se efectuează următoarele operații:

- se verifică datele de teren;
- se înscriu în tabele direcțiile măsurate;
- se întocmește schema rețelei care urmează a se

compensa;

- se face o rezolvare provizorie a triunghiurilor;
- se calculează provizoriu coordonatele punctelor;
- se calculează corecțiile de centrare și reducere

la coardă în plan Gauss sau stereografic.

Cu privire la metoda de compensare este de precizat că metoda compensării prin măsurători indirecte are o largă aplicare în cazul rețelelor vaste de ordinul I și II și se explică prin faptul că necesită un volum mai redus de muncă și permite o repartitie a lucrărilor pe mai mulți calculatori.

La prelucrarea rețelelor inferioare ordinelor III, IV se aplică atât metoda variației coordonatelor, cât și compensarea după metoda măsurătorilor condiționate.

Alegerea uneia sau a celeilalte metode de compensare, depinde atât de complexitatea rețelei cât și de numărul și modul de distribuire a punctelor rețelei.

La rețele complicate, sau în cazul unui număr mare de puncte inițiale, se aplică metoda compensării coordonatelor. La rețelele mai simple se execută compensarea după metoda măsurătorilor condiționate.

Rețelele de ordinul I se rezolvă pe suprafața de referință elipsoidală sau sferică, pe baza noțiunilor tratate la Geodezia elipsoidală, iar rețelele de triangulație de ordinele II, III, IV și V, se rezolvă pe suprafața plană.

Prin rezolvarea rețelelor de triangulație se urmărește determinarea coordonatelor plane a unor puncte geodezice, utilizând ca mărimi cunoscute coordonatele plane ale punctelor geodezice (mărimi date) și direcții de legătură între punctele geodezice (mărimi măsurate).

5.2 Rezolvarea rețelelor de triangulație prin metoda măsurătorilor indirecte

Considerând rețeaua geodezică (fig.5.1.) formată din punctele cunoscute P_1, P_2, \dots, P_5 (puncte vechi sau fixe) și din punctele necunoscute P_0 și R_0 (puncte noi sau variabile).

În aceste puncte s-au notat cu 1, 2, ..., 28, direcțiile de legătură măsurate, centrate și reduse, la suprafața de proiecție.

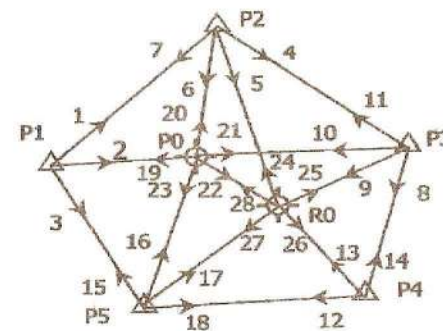


Fig.5.1.Rețea geodezică

Rezolvarea acestei rețele constă în determinarea coordonatelor plane ale punctelor noi "P₀" și "R₀".

Se consideră că punctele vechi aparțin unei rețele geodezice de ordin superior, iar punctele noi sunt de ordin inferior.

În situațiile practice de determinare a punctelor geodezice *prin metoda măsurătorilor indirecte* apar diferite cazuri și anume:

- cazul în care punctele vechi sunt staționabile și punctele noi sunt nestaționabile, cunoscut sub denumirea de intersecție înainte multiplă;
- cazul în care punctele vechi sunt nestaționabile și punctele noi sunt staționabile, cunoscut sub denumirea de intersecție multiplă înapoi;
- cazul în care punctele geodezice vechi și noi sunt staționabile, cunoscut sub numele de intersecție combinată.

Înainte de a trece la rezolvarea propriu-zisă a rețelelor de triangulație, se va prezenta modul de scriere a ecuațiilor de corecții corespunzătoare măsurătorilor indirecte.

5.2.1. Scrierea ecuațiilor de corecții

Considerând punctele provizorii i^0 , j^0 ale rețelei de triangulație, cu vize reciproce, de coordonate $i^0(x_i^0, y_i^0)$, $j^0(x_j^0, y_j^0)$, determinate prin metode topografice, după compensare vor avea coordonatele:

$$(x_i) = x_i^0 + \Delta x; \quad (x_j) = x_j^0 + \Delta x \quad (5.1)$$

$$(y_i) = y_i^0 + \Delta y; \quad (y_j) = y_j^0 + \Delta y$$

În fig.5.2. se remarcă faptul că, la o variație a coordonatelor Δx , Δy a punctelor i^0 și j^0 , se înregistrează o variație a orientării $\Delta\theta$.

Exprimând valoarea cea mai probabilă a orientării în funcție de orientarea calculată și corecția $\Delta\theta$ vom obține:

$$(\theta_{ij}^c) = \theta_{ij}^c + \Delta\theta_{ij} \quad (5.2)$$

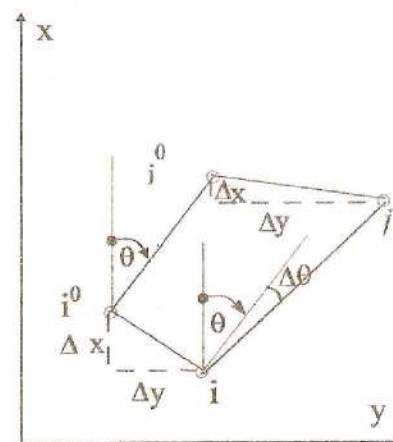


Fig.5.2 Variația orientării în funcție de variația coordonatelor

De asemenea, se exprimă valoarea cea mai probabilă a orientării măsurate în funcție de valoarea cea mai probabilă a orientării direcției zero a limbului (z) și valoarea cea mai probabilă a direcției măsurate (r_{ij}), astfel se poate scrie:

$$(z_i) = z_i + \Delta z_i \quad (5.3)$$

$$(r_{ij}) = r_{ij} + v_{ij} \quad (5.4)$$

$$(\theta_{ij}^m) = (z_i) + (r_{ij}) = z_i + \Delta z_i + r_{ij} + v_{ij} \quad (5.5)$$

unde:

z_i – orientarea direcției zero a limbului pentru stația „i”;

Δz_i – corecția orientării stației „i”;

v_{ij} – corecția direcției măsurate.

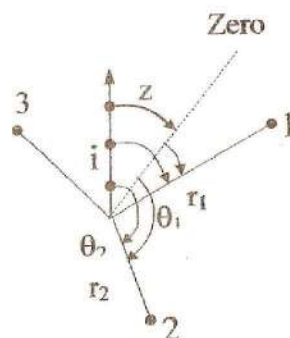


Fig.5.3.Orientarea direcției zero a limbului (modulul stației)

Orientarea direcției zero a limbului (fig.5.3.), pentru o stație „i”, se obține ca o medie aritmetică a diferențelor dintre orientările calculate θ_{ij}^c ($j=1,2,3\dots n$) și lecturile direcțiilor r_{ij} :

$$z_i = \frac{[\theta_{ij}^c - r_{ij}]}{n} \quad \text{unde } j=1,2,3\dots n \quad (5.6)$$

Egalând relațiile (5.2) și (5.5) se poate scrie:

$$\theta_{ij}^c + \Delta \theta_{ij} = z_i + \Delta z_i + r_{ij} + v_{ij} \quad (5.7)$$

$$\Delta \theta_{ij} - \Delta z_i - \underbrace{(z_i + r_{ij})}_{\theta_{ij}^m} + \theta_{ij}^c = v_{ij} \quad (5.8)$$

$$\Delta \theta_{ij} - \Delta z_i - \underbrace{\theta_{ij}^m + \theta_{ij}^c}_{l_{ij}} = v_{ij} \quad (5.9)$$

$$\Delta \theta_{ij} - \Delta z_i + l_{ij} = v_{ij} \quad (5.10)$$

În relația (5.10.), pentru a exprima variația orientării $\Delta \theta_{ij}$ în funcție de variația coordonatelor Δx , Δy , ale punctelor „i” și „j” (considerate ca puncte noi) se va diferenția expresia tangentei (5.11):

$$\operatorname{tg}(\theta_{ij}^0) = \frac{y_j^0 - y_i^0}{x_j^0 - x_i^0} \quad (5.11)$$

$$\frac{\Delta \theta_{ij}}{\cos^2 \theta_{ij}^0} = \frac{\Delta x_j^0 (\Delta y_j - \Delta y_i) - \Delta y_j^0 (\Delta x_j - \Delta x_i)}{(\Delta x_{ij}^0)^2} \quad (5.12)$$

de unde:

$$\Delta\theta_{ij} = \cos^2 \theta_{ij}^0 \left(\frac{\Delta x_{ij}^0}{(\Delta x_{ij}^0)^2} \Delta y_j - \frac{\Delta x_{ij}^0}{(\Delta x_{ij}^0)^2} \Delta y_i - \frac{\Delta y_{ij}^0}{(\Delta x_{ij}^0)^2} \Delta x_j + \frac{\Delta y_{ij}^0}{(\Delta x_{ij}^0)^2} \Delta x_i \right) =$$

$$= \rho^{cc} \cos^2 \theta_{ij}^0 \left(\frac{D_{ij} \cos \theta_{ij}^0}{D_{ij}^2 \cos^2 \theta_{ij}^0} \Delta y_j - \frac{D_{ij} \cos \theta_{ij}^0}{D_{ij}^2 \cos^2 \theta_{ij}^0} \Delta y_i - \frac{D_{ij} \sin \theta_{ij}^0}{D_{ij}^2 \cos^2 \theta_{ij}^0} \Delta x_j + \frac{D_{ij} \sin \theta_{ij}^0}{D_{ij}^2 \cos^2 \theta_{ij}^0} \Delta x_i \right)$$

$$= -\rho^{cc} \frac{\sin \theta_{ij}^0}{D_{ij}} \Delta x_j + \frac{\cos \theta_{ij}^0}{D_{ij}} \Delta y_j + \rho^{cc} \frac{\sin \theta_{ij}^0}{D_{ij}} \Delta x_i - \frac{\cos \theta_{ij}^0}{D_{ij}} \Delta y_i \quad (5.13)$$

Introducând în relația (5.13) notațiile :

$$a_{ij} = -\rho^{cc} \frac{\sin \theta_{ij}^0}{D_{ij}} \quad (5.14)$$

$$b_{ij} = \rho^{cc} \frac{\cos \theta_{ij}^0}{D_{ij}}$$

se obține :

$$\Delta\theta_{ij}^{cc} = a_{ij} \Delta x_j + b_{ij} \Delta y_j - a_{ij} \Delta x_i - b_{ij} \Delta y_i \quad (5.15)$$

unde:

„ a_{ij} ” și „ b_{ij} ” se numesc coeficienți de direcție, prin intermediul cărora se exprimă variația orientării pe unitatea de lungime considerată.

Calculul practic al coeficienților de direcție se efectuează în tabelul 5.1. Astfel se trec:

- în coloana 1 denumirile punctelor;
- în coloana 2 și 3 coordonatele punctelor;
- în coloana 4 se calculează $\text{tg } \theta$, $\text{ctg } \theta$, și θ ;
- în coloana 5 se calculează $\sin \theta$ și $\cos \theta$;
- în coloana 6 se calculează distanțele;

- în coloana 7 se calculează coeficienții de direcție cu relațiile (5.14)
- în coloana 8 se face controlul coeficienților de direcție.

Tabelul 5.1.

Pct.	X	Y	$\text{tg } \theta$, $\text{ctg } \theta$, θ	$\sin \theta$ $\cos \theta$	$D = \Delta x / \cos \theta$ $D = \Delta y / \sin \theta$ $D = \sqrt{\Delta x^2 + \Delta y^2}$	a_{ij} b_{ij}	Control $a/b = -\text{tg}$ $b/a = -\text{ctg}$
1	2	3	4	5	6	7	8
i	x_i	y_i	$\Delta y_{ij} / \Delta x_{ij}$				
j	x_j	y_j	$\Delta x_{ij} / \Delta y_{ij}$				
Δ_{ij}	$x_j - x_i$	$y_j - y_i$	arc tg				

Observații:

- Pentru rețele de mici dimensiuni (1-4km) se poate opera cu coeficienți de 100 sau de 1000 de ori mai mici decât cei din (5.14) și ca urmare corecțiile Δx și Δy vor fi exprimate în „cm” sau „mm”.
- Controlul calculului coeficienților de direcție se realizează cu relațiile:

$$\frac{a_{ij}}{b_{ij}} = -\text{tg } \theta_{ij}^0; \quad \frac{b_{ij}}{a_{ij}} = -\text{ctg } \theta_{ij}^0 \quad (5.16)$$

- Deoarece $\theta_{ji}^0 = \theta_{ij}^0 + 200^g$ vom avea:

$$a_{ij} = -a_{ji}; \quad b_{ij} = -b_{ji} \quad (5.17)$$

$$\Delta\theta_{ij} = \Delta\theta_{ji}$$

Înlocuind relația (5.15) în (5.10) se obține ecuația de

corecții între două puncte noi:

$$a_{ij}dx_j + b_{ij}dy_j - a_{ij}dx_i - b_{ij}dy_i - \Delta z_i + l_{ij} = v_{ij} \quad (5.18)$$

Relația (5.18) reprezintă forma generală de scriere a unei ecuații de corecții, utilizată la încadrarea simultană a două puncte noi. Din relația menționată mai sus derivă cazurile particulare, după cum urmează:

► Considerând că punctul „i” este vechi, iar punctul „j” este nou, astfel încât $dx_i=dy_i=0$ și ca urmare ecuația (5.18) devine:

$$a_{ij}dx_j + b_{ij}dy_j - \Delta z_i + l_{ij} = v_{ij} \quad (5.19)$$

Ecuația (5.19) se utilizează în cazul intersecțiilor multiple înainte.

► Considerând că punctul „j” este vechi și punctul de stație „i” este nou, în acest caz $dx_j=dy_j=0$, și ca urmare expresia (5.18) devine:

$$-a_{ij}dx_i - b_{ij}dy_i - \Delta z_i + l_{ij} = v_{ij} \quad (5.20)$$

Ecuația (5.20) se utilizează în cazul intersecțiilor multiple înapoi.

► Considerând că punctele „i” și „j” sunt vechi, caz în care $dx_i=dy_i=dx_j=dy_j=0$, astfel ecuația (5.18) devine:

$$-\Delta z_i + l_{ij} = v_{ij} \quad (5.21)$$

Ca necunoscută în această ecuație apare variația direcției zero a limbului calculată față de media aritmetică.

5.2.2. Intersecția multiplă înainte

Considerăm punctele vechi $P_1, P_2, P_3, A, B, C, D$ și punctul nou „ P_0 ”. Din punctele P_1, P_2, P_3 se fac observații, conform schiței de observații (fig.5.4), către punctele vechi, cât și spre punctul nou.

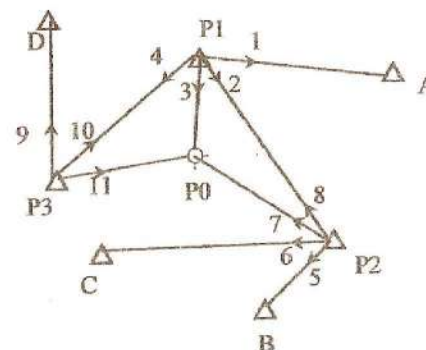


Fig.5.4 Intersecția multiplă înainte

Pentru utilizarea teoriei măsurătorilor indirecte la rezolvarea rețelei geodezice se va porni de la principiul că sistemul ecuațiilor de corecții este format dintr-un număr de ecuații egal cu numărul mărimilor măsurate, respectiv 11 ecuații.

Scrierea unui astfel de sistem este posibilă odată cu stabilirea formei ecuației corespunzătoare unei direcții măsurate. În acest sens se vor aplica relațiile (5.19) și (5.21).

5.2.2.1. Scrierea sistemului ecuațiilor de corecții

Sistemul ecuațiilor de corecții, conform fig.5.4. este format din 11 ecuații, compus din: 4 ecuații corespunzătoare celor 4 direcții măsurate în punctul "P₁", 4 ecuații pentru cele 4 direcții din punctul "P₂" și 3 ecuații pentru direcțiile din punctul "P₃".

Cu aceste precizări putem scrie:

- pentru punctul de stație "P₁":

$$\begin{aligned} -\Delta z_1 + l_{1A} &= v_{1A} \\ -\Delta z_1 + l_{12} &= v_{12} \\ a_{10}\Delta x_0 + b_{10}\Delta y_0 - \Delta z_1 + l_{10} &= v_{10} \\ -\Delta z_1 + l_{1D} &= v_{1D} \end{aligned}$$

- pentru punctul de stație "P₂":

$$\begin{aligned} -\Delta z_2 + l_{2B} &= v_{2B} \\ -\Delta z_2 + l_{2C} &= v_{2C} \\ a_{20}\Delta x_0 + b_{20}\Delta y_0 - \Delta z_2 + l_{20} &= v_{20} \\ -\Delta z_2 + l_{21} &= v_{21} \end{aligned}$$

- pentru punctul de stație "P₃":

$$-\Delta z_3 + l_{3D} = v_{3D}$$

$$\begin{aligned} -\Delta z_3 + l_{31} &= v_{31} \\ a_{30}\Delta x_0 + b_{30}\Delta y_0 - \Delta z_3 + l_{30} &= v_{30} \end{aligned} \quad (5.22)$$

Se consideră că ecuațiile au ponderi egale și egale cu 1, în ideea că măsurarea direcțiilor s-a făcut cu aceeași precizie.

5.2.2.2. Rezolvarea sistemului ecuațiilor de corecții

Analizând forma sistemului ecuațiilor de corecții (5.22) se observă că acesta aparține categoriei de măsurători indirecte, adică numărul ecuațiilor este mai mare decât numărul necunoscutelor principale ($\Delta x_0, \Delta y_0, \Delta z_1, \Delta z_2, \Delta z_3$).

Notând coeficienții necunoscutelor cu a_i, b_i, \dots, e_i și termenii liberi cu l_i ("i" luând valori de la 1 la 11) obținem, conform teoriei măsurătorilor indirecte § 4.3.2, forma literală a sistemului de ecuații normale:

$$\begin{aligned} [aa]\Delta x_0 + [ab]\Delta y_0 + [ac]\Delta z_1 + [ad]\Delta z_2 + [ae]\Delta z_3 + [af] &= 0 \\ [bb]\Delta y_0 + [bc]\Delta z_1 + [bd]\Delta z_2 + [be]\Delta z_3 + [bf] &= 0 \\ [cc]\Delta z_1 + [cd]\Delta z_2 + [ce]\Delta z_3 + [cf] &= 0 \\ [dd]\Delta z_2 + [de]\Delta z_3 + [df] &= 0 \\ [ee]\Delta z_3 + [ef] &= 0 \end{aligned} \quad (5.23)$$

Procedând la rezolvarea sistemului de ecuații normale (5.23.) după stabilirea numerică a coeficienților și termenilor liberi ai acestui sistem, obținem valorile probabile ale corecțiilor ($\Delta x_0, \Delta y_0$) și în același timp valorile probabile ale corecțiilor unghiurilor de orientare a stațiilor ($\Delta z_1, \Delta z_2, \Delta z_3$).

Având în vedere faptul că, practic nu interesează corecțiile $\Delta z_1, \Delta z_2, \Delta z_3$ sistemul de ecuații (5.22) poate fi transformat într-un sistem echivalent de ecuații care să conțină numai corecțiile $\Delta x_0, \Delta y_0$.

În acest scop se vor prezenta câteva metode de transformare a unui sistem de ecuații de erori, corespunzător măsurătorilor indirecte, într-un sistem echivalent, care are aceleași soluții cu sistemul inițial.

5.2.2.3. Transformarea sistemelor de ecuații în sisteme echivalente (Regulile lui Schreiber)

Două sisteme de ecuații ale corecțiilor se numesc echivalente dacă le corespund unul și același sistem de ecuații normale și prin urmare conduc la obținerea acelorași valori pentru necunoscutele care le conțin.

Considerând o rețea geodezică formată din "N" puncte noi și "S" stații, numărul total al necunoscutelor va fi de $2N+S$, fiind format din corecțiile $\Delta x, \Delta y$ al punctelor noi și din corecțiile Δz ale orientărilor punctelor de stație.

Pentru simplificarea demonstrațiilor considerăm un sistem format din "n" ecuații și 3 necunoscute, grupate în jurul unui punct de stație, de forma (5.22).

Regula 1

Considerăm următorul sistem de ecuații al corecțiilor:

$$a_1 \Delta x + b_1 \Delta y - \Delta z + l_1 = v_1 \quad \text{cu ponderea } p_1$$

$$a_2 \Delta x + b_2 \Delta y - \Delta z + l_2 = v_2 \quad \text{cu ponderea } p_2$$

$$\dots\dots\dots a_n \Delta x + b_n \Delta y - \Delta z + l_n = v_n \quad \text{cu ponderea } p_n \quad (5.24)$$

Sistemul (5.24) poate fi înlocuit printr-un sistem echivalent care are un număr de $n+1$ ecuații, însă din care lipsește necunoscuta Δz :

$$a_1 \Delta x + b_1 \Delta y + l_1 = v_1 \quad \text{cu ponderea } p_1$$

$$a_2 \Delta x + b_2 \Delta y + l_2 = v_2 \quad \text{cu ponderea } p_2$$

$$\dots\dots\dots a_n \Delta x + b_n \Delta y + l_n = v_n \quad \text{cu ponderea } p_n$$

$$[p_a] \Delta x + [p_b] \Delta y + [p_l] = [p_v] \quad p_{n+1} = -\frac{1}{[p]} \quad (5.25)$$

Ultima ecuație a sistemului, de mai sus, este denumită *ecuație sumă*.

Se demonstrează echivalența sistemelor de ecuații (5.24) și (5.25), arătând că ele au același sistem de ecuații normale.

Sistemul de ecuații normale, corespunzător sistemului ecuațiilor de corecții (5.24), are forma:

$$[p_{aa}] \Delta x + [p_{ab}] \Delta y - [p_a] \Delta z + [p_{al}] = 0$$

$$[p_{ba}] \Delta x + [p_{bb}] \Delta y - [p_b] \Delta z + [p_{bl}] = 0 \quad (5.26)$$

$$-[p_a] \Delta x - [p_b] \Delta y + [p] \Delta z - [p_l] = 0$$

Din ultima ecuație a sistemului (5.26) determinăm necunoscuta Δz :

$$\Delta z = \frac{[pa]}{[p]} \Delta x + \frac{[pb]}{[p]} \Delta y + \frac{[pl]}{[p]} \quad (5.27)$$

și o introducem în primele două ecuații ale sistemului (5.26):

$$\begin{cases} [paa] - \frac{[pa][pa]}{[p]} \Delta x + \left[[pab] - \frac{[pa][pb]}{[p]} \right] \Delta y + \left[[pal] - \frac{[pa][pl]}{[p]} \right] = 0 \\ [pba] - \frac{[pb][pa]}{[p]} \Delta x + \left[[pbb] - \frac{[pb][pb]}{[p]} \right] \Delta y + \left[[pbl] - \frac{[pb][pl]}{[p]} \right] = 0 \end{cases} \quad (5.28)$$

Sistemul de ecuații normale (5.28) este identic cu sistemul de ecuații normale ce poate fi scris pentru sistemul (5.25).

Regula 2

Sistemul de ecuații, cu aceiași coeficienți ai necunoscutelor și cu termenii liberi diferiți:

$$\begin{aligned} a\Delta x + b\Delta y + c\Delta z + l_1 &= v_1 && \text{cu ponderea } p_1 \\ a\Delta x + b\Delta y + c\Delta z + l_2 &= v_2 && \text{cu ponderea } p_2 \\ \dots &\dots && \dots \\ a\Delta x + b\Delta y + c\Delta z + l_n &= v_n && \text{cu ponderea } p_n \end{aligned} \quad (5.29)$$

este echivalent cu ecuația:

$$a\Delta x + b\Delta y + c\Delta z + \frac{[pl]}{[p]} = v' \quad \text{cu ponderea } [p] \quad (5.30)$$

în care termenul liber este media ponderată a termenilor liberi ai sistemului (5.29), iar ponderea este egală cu suma ponderilor ecuațiilor de erori.

Arătăm acest lucru scriind sistemul ecuațiilor normale ale sistemului (5.30), respectiv:

$$\begin{aligned} aa[p]\Delta x + ab[p]\Delta y + ac[p]\Delta z + a[pl] &= 0 \\ ab[p]\Delta x + bb[p]\Delta y + bc[p]\Delta z + b[pl] &= 0 \\ ac[p]\Delta x + bc[p]\Delta y + cc[p]\Delta z + c[pl] &= 0 \end{aligned} \quad (5.31)$$

Ecuației (5.30) îi corespunde același sistem de ecuații normale.

Regula 3

Ecuația de erori:

$$a\Delta x + b\Delta y + c\Delta z + l = v \quad \text{cu ponderea } p \quad (5.32)$$

este echivalentă cu ecuația:

$$a\sqrt{p}\Delta x + b\sqrt{p}\Delta y + c\sqrt{p}\Delta z + l\sqrt{p} = v' \quad \text{cu ponderea } 1 \quad (5.33)$$

pentru că, au același sistem de ecuații normale.

5.2.2.4 Rezolvarea simplificată a sistemului ecuațiilor de erori

Pentru prezentarea metodei, din sistemul (5.22) se vor lua ecuațiile de erori ce revin direcțiilor măsurate în punctul de stație "P₁":

$$\begin{aligned} -\Delta z_1 + l_{1A} &= v_{1A} & p_{1A} &= 1 \\ -\Delta z_1 + l_{12} &= v_{12} & p_{12} &= 1 \\ a_{10}\Delta x_0 + b_{10}\Delta y_0 - \Delta z_1 + l_{10} &= v_{10} & p_{10} &= 1 \quad (5.34) \\ -\Delta z_1 + l_{1D} &= v_{1D} & p_{1D} &= 1 \end{aligned}$$

Conform regulii 1 sistemul (5.34) devine:

$$a_{10}\Delta x_0 + b_{10}\Delta y_0 + l_{10} = v'_{10} \text{ cu ponderea } 1 \quad (5.35)$$

$$a_{10}\Delta x_0 + b_{10}\Delta y_0 + [l] = v'_{10} \quad p = -\frac{1}{[p]} = -\frac{1}{n_1}; [p] = n_1$$

Termenii liberi din sistemul ecuațiilor de erori se calculează de asemenea, într-un tabel a cărui formă se prezintă în cele ce urmează. Pentru punctul de stație „P₁” din fig.5.4 vom avea:

Tabelul 5.2

Punct		Nr. viză	r _i	θ°	z _i =θ° r _i	z _m =[z _i]/n	θ ^m =z _m + r _i	l _i =θ° θ ^m
S	V							
	A	1	r ₁	θ ₁ ^c	z ₁		θ ₁ ^m =z _m + r ₁	l ₁
P ₁	P ₂	2	r ₂	θ ₂ ^c	z ₂		θ ₂ ^m =z _m + r ₂	l ₂
	P ₀	3	r ₃	θ ₃ ^c	z ₃		θ ₃ ^m =z _m + r ₃	l ₃

							r ₃	
	P ₃	4	r ₄	θ ₄ ^c	z ₄		θ ₄ ^m =z _m + r ₄	l ₄
	[]							[l _i]=0

Observație : În tabelul 5.2. se remarcă faptul că suma termenilor liberi este egală cu zero ([l] = 0) deoarece termenii liberi se calculează față de o medie aritmetică.

Așadar se poate scrie:

$$a_{10}\Delta x_0 + b_{10}\Delta y_0 + l_{10} = v'_{10} \text{ cu ponderea } 1 \quad (5.36)$$

$$a_{10}\Delta x_0 + b_{10}\Delta y_0 = v'_{10} \text{ cu ponderea } p = -\frac{1}{n_1} = -\frac{1}{[p]},$$

n₁ – numărul direcțiilor măsurate în "P₁"

Conform regulii 2 sistemul (5.36) poate fi scris:

$$a_{10}\Delta x_0 + b_{10}\Delta y_0 + \frac{n_1}{n_1 - 1} l_{10} = v''_{10} ; p = \frac{n_1 - 1}{n_1} \quad (5.37)$$

Conform regulii 3 ecuația (5.37) devine:

$$a_{10} \frac{\sqrt{n_1 - 1}}{\sqrt{n_1}} \Delta x_0 + b_{10} \frac{\sqrt{n_1 - 1}}{\sqrt{n_1}} \Delta y_0 + \frac{n_1}{n_1 - 1} \frac{\sqrt{n_1 - 1}}{\sqrt{n_1}} l_{10} = v'''_{10} \quad (5.38)$$

În același mod ecuațiile de erori pentru direcțiile din "P₂" și "P₃" sunt echivalente cu ecuațiile:

$$a_{20} \frac{\sqrt{n_2-1}}{\sqrt{n_2}} \Delta x_0 + b_{20} \frac{\sqrt{n_2-1}}{\sqrt{n_2}} \Delta y_0 + \frac{n_2}{n_2-1} \frac{\sqrt{n_2-1}}{\sqrt{n_2}} l_{20} = v_{20}'' \quad (5.40)$$

$$a_{30} \frac{\sqrt{n_3-1}}{\sqrt{n_3}} \Delta x_0 + b_{30} \frac{\sqrt{n_3-1}}{\sqrt{n_3}} \Delta y_0 + \frac{n_3}{n_3-1} \frac{\sqrt{n_3-1}}{\sqrt{n_3}} l_{30} = v_{30}'' \quad (5.41)$$

în care "n₂" și "n₃" reprezintă numărul direcțiilor măsurate în punctele de stație "P₂" și "P₃".

Așadar, sistemul inițial al ecuațiilor de erori format din 11 ecuații se transformă într-un sistem echivalent format din 3 ecuații și care conține numai două necunoscute (Δx₀, Δy₀).

De aici și sistemul ecuațiilor normale este mai simplu de stabilit și evident mai simplu de rezolvat.

Necunoscutele Δz₁, Δz₂, Δz₃ pot fi eliminate fără a reduce numărul de ecuații de erori.

Pentru aceasta sistemul (5.22) conform metodei 1 poate fi scris:

$$\begin{aligned} 0\Delta x_0 + 0\Delta y_0 + l_{1A} &= v'_{1A}; p_{1A} = 1 \\ 0\Delta x_0 + 0\Delta y_0 + l_{12} &= v'_{12}; p_{12} = 1 \\ a_{10}\Delta x_0 + b_{10}\Delta y_0 + l_{10} &= v'_{10}; p_{10} = 1 \\ 0\Delta x_0 + 0\Delta y_0 + l_{1D} &= v'_{1D}; p_{1D} = 1 \end{aligned} \quad (5.42)$$

$$a_{10}\Delta x_0 + b_{10}\Delta y_0 + 0 = v'_{10} \text{ cu ponderea } -\frac{1}{n_1}$$

Ultima ecuație poate fi scrisă conform regulei 3 printr-o ecuație echivalentă, dar de pondere egală cu unu și sistemul devine:

$$\begin{aligned} 0\Delta x_0 + 0\Delta y_0 + l_{1A} &= v'_{1A} \\ 0\Delta x_0 + 0\Delta y_0 + l_{12} &= v'_{12} \\ a_{10}\Delta x_0 + b_{10}\Delta y_0 + l_{10} &= v'_{10} \\ 0\Delta x_0 + 0\Delta y_0 + l_{1D} &= v'_{1D} \\ a_{10} \frac{i}{\sqrt{n_1}} \Delta x_0 + b_{10} \frac{i}{\sqrt{n_1}} \Delta y_0 + 0 \frac{i}{\sqrt{n_1}} &= v''_{10} \end{aligned} \quad (5.43)$$

De menționat că în sistemul (5.43) ponderile ecuațiilor sunt egale cu 1. De asemenea, ecuațiile scrise între punctele vechi nu mai au sens pentru că, în urma eliminării corecției "Δz₁", ecuațiile nu mai conțin necunoscute și astfel sistemul devine:

$$\begin{aligned} a_{10}\Delta x_0 + b_{10}\Delta y_0 + l_{10} &= v'_{10} \\ a_{10} \frac{i}{\sqrt{n_1}} \Delta x_0 + b_{10} \frac{i}{\sqrt{n_1}} \Delta y_0 + 0 \frac{i}{\sqrt{n_1}} &= v''_{10} \end{aligned} \quad (5.44)$$

În mod similar se pot scrie sisteme de ecuații pentru direcțiile din punctele "P₂" și "P₃":

$$a_{20}\Delta x_0 + b_{20}\Delta y_0 + l_{20} = v'_{20}$$

$$\begin{aligned}
 a_{20} \frac{i}{\sqrt{n_2}} \Delta x_0 + b_{20} \frac{i}{\sqrt{n_2}} \Delta y_0 + 0 \frac{i}{\sqrt{n_2}} &= v_{20}'' \\
 a_{30} \Delta x_0 + b_{30} \Delta y_0 + l_{30} &= v_{30}' \\
 a_{30} \frac{i}{\sqrt{n_3}} \Delta x_0 + b_{30} \frac{i}{\sqrt{n_3}} \Delta y_0 + 0 \frac{i}{\sqrt{n_3}} &= v_{30}'' \quad (5.45)
 \end{aligned}$$

Ecuatiile (5.44) și (5.45) formează împreună sistemul ecuațiilor de corecții aferent intersecției multiple înainte.

Se remarcă faptul că sistemul inițial de 11 ecuații cu 5 necunoscute s-a transformat, după aplicarea regulilor 1 și 3 a lui Schreiber într-un sistem de 6 ecuații cu 2 necunoscute.

Pentru a înlătura inconvenientul de a lucra cu coeficienți imaginari în ecuațiile sumă, acestea se pot considera ecuații de pondere -1, astfel sistemul devine:

$$\begin{aligned}
 a_{10} \Delta x_0 + b_{10} \Delta y_0 + l_{10} &= v_{10}'; \quad p=1 \\
 a_{10} \frac{1}{\sqrt{n_1}} \Delta x_0 + b_{10} \frac{1}{\sqrt{n_1}} \Delta y_0 &= v_{10}''; \quad p=-1 \\
 a_{20} \Delta x_0 + b_{20} \Delta y_0 + l_{20} &= v_{20}'; \quad p=1 \\
 a_{20} \frac{1}{\sqrt{n_2}} \Delta x_0 + b_{20} \frac{1}{\sqrt{n_2}} \Delta y_0 &= v_{20}''; \quad p=-1 \\
 a_{30} \Delta x_0 + b_{30} \Delta y_0 + l_{30} &= v_{30}'; \quad p=1 \\
 a_{30} \frac{1}{\sqrt{n_3}} \Delta x_0 + b_{30} \frac{1}{\sqrt{n_3}} \Delta y_0 &= v_{30}''; \quad p=-1 \quad (5.46)
 \end{aligned}$$

Rezolvarea acestui sistem se va face aplicând metodologia de rezolvare de la măsurătorile indirecte de precizii diferite.

5.2.3. Intersecția multiplă înapoi

Metoda intersecției multiple înapoi constă în măsurarea direcțiilor din punctele noi către punctele vechi. Acest lucru se întâmplă atunci când punctele noi sunt staționabile, iar punctele vechi sunt nestaționabile.

Conform fig.5.5., direcțiile măsurate sunt din punctul "P₀" către punctele P₁, P₂, ..., P₅.

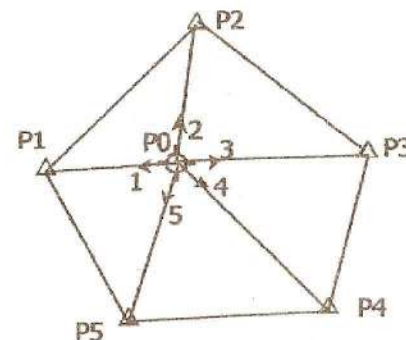


Fig.5.5. Intersecția multiplă înapoi

Pentru cele 5 direcții măsurate se scriu 5 ecuații ce formează sistemul ecuațiilor de corecții. Ca și în cazul intersecției multiple înainte, este necesar să se stabilească forma ecuației de erori corespunzătoare unei direcții măsurate.

$$\begin{aligned}
 a_{10}\Delta x_0 + b_{10}\Delta y_0 + l_{01} &= v_{01} \text{ cu ponderea } 1 \\
 a_{20}\Delta x_0 + b_{20}\Delta y_0 + l_{02} &= v_{02} \text{ cu ponderea } 1 \\
 &\dots\dots\dots \\
 a_{50}\Delta x_0 + b_{50}\Delta y_0 + l_{05} &= v_{05} \text{ cu ponderea } 1 \\
 \frac{[a]}{\sqrt{n}}\Delta x_0 + \frac{[b]}{\sqrt{n}}\Delta y_0 + \frac{[l]}{\sqrt{n}} &= v'' \text{ cu ponderea } -1
 \end{aligned}
 \tag{5.54}$$

unde:

$n = 5$ - numărul direcțiilor măsurate în punctul "P₀".
 $[l] = 0$

Sistemul ecuațiilor normale corespunzător sistemului (5.54.) se prezintă sub forma:

$$\begin{aligned}
 \left\{ [aa] - \frac{[a][a]}{n} \right\} \Delta x_0 + \left\{ [ab] - \frac{[a][b]}{n} \right\} \Delta y_0 + \left\{ [al] - \frac{[a][l]}{n} \right\} &= 0 \\
 \left\{ [aa] - \frac{[a][a]}{n} \right\} \Delta x_0 + \left\{ [bb] - \frac{[b][b]}{n} \right\} \Delta y_0 + \left\{ [bl] - \frac{[b][l]}{n} \right\} &= 0
 \end{aligned}
 \tag{5.55}$$

Sistemul (5.55.) se rezolvă cu metodele prezentate în capitolul anterior, obținând în urma calculelor corecțiile probabile Δx_0 , Δy_0 , care adăugate algebric la coordonatele provizorii (x_0 , y_0), conduc la obținerea coordonatelor probabile ale punctului P₀ [(x_0), (y_0)].

În cazul când ecuațiile sistemului, utilizate la încadrarea punctelor prin intersecții multiple înapoi, se prezintă sub forma (5.50), se poate scrie:

$$\begin{aligned}
 -a_{01}\Delta x_0 - b_{01}\Delta y_0 - \Delta z_0 + l_{01} &= v_{01} \text{ cu ponderea } 1 \\
 -a_{02}\Delta x_0 - b_{02}\Delta y_0 - \Delta z_0 + l_{02} &= v_{02} \text{ cu ponderea } 1 \\
 &\dots\dots\dots \\
 -a_{05}\Delta x_0 - b_{05}\Delta y_0 - \Delta z_0 + l_{05} &= v_{05} \text{ cu ponderea } 1
 \end{aligned}
 \tag{5.56}$$

Din sistemul (5.56), necunoscuta Δz_0 se elimină punând condițiile cunoscute $[v] = 0$ și $[l] = 0$, astfel prin adunare se obține:

$$n\Delta z_0 = -[a]\Delta x_0 - [b]\Delta y_0; \quad n = 5 \tag{5.57}$$

de unde:

$$\Delta z_0 = -\frac{[a]}{n}\Delta x_0 - \frac{[b]}{n}\Delta y_0; \quad n = 5 \tag{5.58}$$

Înlocuind (5.58) în (5.56) și efectuând notațiile:

$$A_{0j} = \frac{[a]}{n} - a_{0j}; \quad B_{0j} = \frac{[b]}{n} - b_{0j}; \quad j = 1, 2, \dots, 5, \tag{5.59}$$

se obține sistemul transformat al corecțiilor:

$$A_{0j}\Delta x_0 + B_{0j}\Delta y_0 + l_{0j} = v_{0j} \tag{5.60}$$

$j = 1, 2, \dots, 5$

Rezolvarea sistemului de ecuații (5.60) se face după metodologia prezentată în § 4.3.2.

5.2.4. Intersecții combinate

Intersecțiile combinate reprezintă cazul general al intersecțiilor multiple și deci cazul general de rezolvare a triangulațiilor geodezice prin metoda măsurătorilor indirecte. În figura 5.6 este reprezentat un asemenea caz în care sunt cunoscute coordonatele punctelor P_1, P_2, P_3, P_4 și direcțiile măsurate și notate cu 1, 2, ..., 20.

Punctele geodezice noi " P_0 " și " R_0 " trebuie determinate ca poziții în plan, respectiv prin coordonatele $(x_{P_0}), (y_{P_0})$ și $(x_{R_0}), (y_{R_0})$ exprimate prin valori probabile.

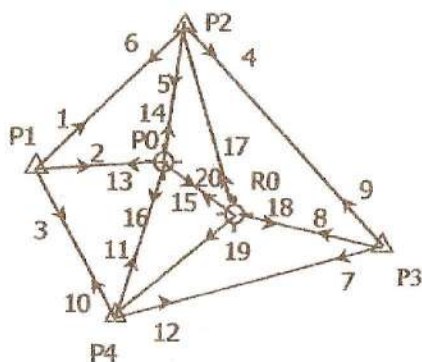


Fig. 5.6. Intersecții combinate

Într-o primă etapă de calcul, se vor obține coordonatele provizorii x_{P_0}, y_{P_0} și x_{R_0}, y_{R_0} ale punctelor noi folosind procedeele cunoscute ale intersecțiilor înainte și înapoi. Corecțiile probabile ale acestor coordonate provizorii

$\Delta x_{P_0}, \Delta y_{P_0}$ și $\Delta x_{R_0}, \Delta y_{R_0}$ se obțin din sistemul ecuațiilor de corecții scris pentru toate direcțiile măsurate.

Forma ecuațiilor fiind funcție de natura punctelor geodezice legate printr-o direcție de viză, în cazul intersecțiilor combinate apar toate tipurile de ecuații prezentate în §5.1.1.

Conform direcțiilor de viză în fig. 5.6 se poate scrie 20 de ecuații cu 10 necunoscute. După aplicarea regulilor 1 și 3 de echivalență sistemul de ecuații se reduce la 18 ecuații cu 4 necunoscute.

Astfel sistemul se prezintă sub forma:

$$a_2 \Delta x_{P_0} + b_2 \Delta y_{P_0} + l_2 = v_2$$

$$a_2 \frac{i}{\sqrt{3}} \Delta x_{P_0} + b_2 \frac{i}{\sqrt{3}} \Delta y_{P_0} + 0 \frac{i}{\sqrt{3}} = v'_2$$

$$a_5 \Delta x_{P_0} + b_5 \Delta y_{P_0} + l_5 = v_5$$

$$a_5 \frac{i}{\sqrt{3}} \Delta x_{P_0} + b_5 \frac{i}{\sqrt{3}} \Delta y_{P_0} + 0 \frac{i}{\sqrt{3}} = v'_5$$

$$c_8 \Delta x_{R_0} + d_8 \Delta y_{R_0} + l_8 = v_8$$

$$c_8 \frac{i}{\sqrt{3}} \Delta x_{R_0} + d_8 \frac{i}{\sqrt{3}} \Delta y_{R_0} + 0 \frac{i}{\sqrt{3}} = v'_8$$

$$a_{11} \Delta x_{P_0} + b_{11} \Delta y_{P_0} + l_{11} = v_{11}$$

$$a_{11} \frac{i}{\sqrt{3}} \Delta x_{P_0} + b_{11} \frac{i}{\sqrt{3}} \Delta y_{P_0} + 0 \frac{i}{\sqrt{3}} = v'_{11}$$

$$-a_{13} \Delta x_{P_0} - b_{13} \Delta y_{P_0} + l_{13} = v_{13}$$

$$\begin{aligned}
 & -a_{14}\Delta x_{P_0} - b_{14}\Delta y_{P_0} + l_{14} = v_{14} \\
 & a_{15}\Delta x_{R_0} + b_{15}\Delta y_{R_0} - a_{15}\Delta x_{P_0} - b_{15}\Delta y_{P_0} + l_{15} = v_{15} \\
 & -a_{16}\Delta x_{P_0} - b_{16}\Delta y_{P_0} + l_{16} = v_{16} \\
 & a_{15}\frac{i}{\sqrt{4}}\Delta x_{R_0} + b_{15}\frac{i}{\sqrt{4}}\Delta y_{R_0} - i\frac{[a]}{\sqrt{4}}\Delta x_{P_0} - i\frac{[b]}{\sqrt{4}}\Delta y_{P_0} + 0\frac{i}{\sqrt{4}} = v_{15} \\
 & -a_{17}\Delta x_{R_0} - b_{17}\Delta y_{R_0} + l_{17} = v_{17} \\
 & -a_{18}\Delta x_{R_0} - b_{18}\Delta y_{R_0} + l_{18} = v_{18} \\
 & -a_{19}\Delta x_{R_0} - b_{19}\Delta y_{R_0} + l_{19} = v_{19} \\
 & a_{20}\Delta x_{P_0} + b_{20}\Delta y_{P_0} - a_{20}\Delta x_{R_0} - b_{20}\Delta y_{R_0} + l_{20} = v_{20} \\
 & a_{12}\frac{i}{\sqrt{4}}\Delta x_{P_0} + b_{20}\frac{i}{\sqrt{4}}\Delta y_{P_0} - i\frac{[a]}{\sqrt{4}}\Delta x_{R_0} - i\frac{[b]}{\sqrt{4}}\Delta y_{R_0} + 0\frac{i}{\sqrt{4}} = v_{20}
 \end{aligned}
 \tag{5.61}$$

De menționat că Dima [7] notează coeficienții de direcție din punctul "R" cu "c" și "d", iar valorile acestora sunt egale cu cele ale coeficienților "a" și "b", dar de semne contrarii. Aceste constatări, sunt deosebit de utile în calculul practic al coeficienților de direcție.

Coficienții și termenii liberi corespunzători celor 20 de direcții măsurate sunt prezentați în tabelul 5.3

Tabelul 5.3

P.S.	P.V.	Nr. viz.	P ₀		R ₀		l
			a _i	b _i	c _i	d _i	
P ₁	P ₂	1					l ₁
	P ₀	2	a ₂	b ₂			l ₂
	P ₄	3					l ₃
	$i\frac{\sum}{\sqrt{n_1}}$		$i\frac{a_2}{\sqrt{3}}$	$i\frac{b_2}{\sqrt{3}}$			0

			P ₀		R ₀		
			a ₅	b ₅			
P ₁	P ₃	4					l ₄
	P ₀	5	a ₅	b ₅			l ₅
	P ₁	6					l ₆
	$i\frac{\sum}{\sqrt{n_2}}$		$i\frac{a_5}{\sqrt{3}}$	$i\frac{b_5}{\sqrt{3}}$			0
P ₃	P ₄	7					l ₇
	R ₀	8			c ₈	d ₈	l ₈
	P ₂	9					l ₉
	$i\frac{\sum}{\sqrt{n_3}}$				$i\frac{c_8}{\sqrt{3}}$	$i\frac{d_8}{\sqrt{3}}$	0
P ₄	P ₁	10					l ₁₀
	P ₀	11	a ₁₁	b ₁₁			l ₁₁
	P ₃	12					l ₁₂
	$i\frac{\sum}{\sqrt{n_4}}$		$i\frac{a_{11}}{\sqrt{3}}$	$i\frac{b_{11}}{\sqrt{3}}$			0
P ₀	P ₁	13	a ₁₃ =	b ₁₃ =			l ₁₃
	P ₂	14	a ₂	b ₂			l ₁₄
	R ₀	15	a ₁₄ =	b ₁₄ =			l ₁₅
	P ₄	16	a ₅	b ₅	c ₁₅ = -	d ₁₅ =	l ₁₆
			a ₁₅	b ₁₅	a ₁₅	- b ₁₅	
			a ₁₆ =a ₁	b ₁₆ =b ₁			
	$i\frac{\sum}{\sqrt{n_{P_0}}}$		$i\frac{[a]}{\sqrt{4}}$	$i\frac{[b]}{\sqrt{4}}$	$i\frac{c_{15}}{\sqrt{4}}$	$i\frac{d_{15}}{\sqrt{4}}$	0
R ₀	P ₂	17			c ₁₇	d ₁₇	l ₁₇
	P ₃	18			c ₁₈ =c ₈	d ₁₈ =	l ₁₈
	P ₄	19	a ₂₀ =a ₁	b ₂₀ =b ₁	c ₁₉	d ₈	l ₁₉
	P ₀	20	s	s	c ₂₀ =c ₁	d ₁₉	l ₂₀
					s	d ₂₀ =	

		P ₀		R ₀		
	i	i	i	i	i	
	$\frac{\sum}{\sqrt{n_{R_0}}}$	$\frac{a_{20}}{\sqrt{4}}$	$\frac{b_{20}}{\sqrt{4}}$	$\frac{[c]}{\sqrt{4}}$	$\frac{[d]}{\sqrt{4}}$	0

Rezolvarea sistemului de ecuații se realizează conform metodologiei prezentate în § 4.3.2.

5.2.5. Controlul rezolvării rețelei geodezice și calculul preciziei.

Teoria măsurătorilor indirecte aplicată la rezolvarea problemelor geodezice impune verificarea calculelor pe parcursul efectuării lor și la diferite etape.

Aceste verificări se realizează prin controalele specificate la formarea sistemului de ecuații al corecțiilor și la rezolvarea acestui sistem.

Controlul final al rezolvării rețelei geodezice constă în verificarea orientărilor direcțiilor de legătură a punctelor geodezice.

Astfel, se poate obține valoarea orientării pentru o direcție oarecare folosind coordonatele probabile ale punctului determinat.

De exemplu, pentru direcția P_1P_0 (fig.5.4), valoarea orientării " θ_{10} ". rezultă din egalitatea:

$$(\theta_{10}) = \theta_{10}^c + \Delta\theta_{10} \quad (5.62)$$

la care θ_{10}^c se obține utilizând coordonatele provizorii ale punctului " P_0 ", iar $\Delta\theta_{10}$ se obține din egalitatea

$$\Delta\theta_{10} = a_{10}\Delta x_0 + b_{10}\Delta y_0 \quad (5.63)$$

la care $\Delta x_0, \Delta y_0$ sunt corecțiile probabile determinate.

Pentru calculul preciziei se folosesc relațiile:

$$m_0 = \pm \sqrt{\frac{[vv]}{n-k}} \\ m_{\Delta x_0} = \pm m_0 \sqrt{Q_{11}}; m_{\Delta y_0} = \pm m_0 \sqrt{Q_{22}}; \quad (5.64)$$

n = numărul de ecuații de corecții din sistemul inițial de ecuații (neimplificat);

k = numărul de necunoscute din același sistem de ecuații;

Q_{11}, Q_{22} = coeficienți de pondere care se stabilesc după metoda arătată la teoria măsurătorilor indirecte.

5.2.6.EXEMPLE DE CALCUL

Intersecția multiplă înainte

Se cunosc coordonatele punctelor din rețeaua de triangulație de ordin superior (tabelul 5.4), fig.5.7, precum și direcțiile măsurate, centrate și reduse în planul de proiecție Stereografic 70, tabelul 5.5.

Coordonatele provizorii ale punctului "P₀" se determină prin intersecții simple înainte, iar valorile acestora sunt prezentate în tabelul 5.6.

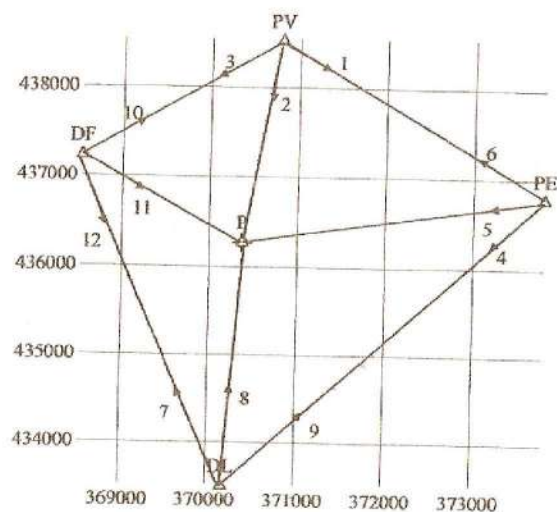


Fig.5.7. Intersecția multiplă înainte

Tabelul 5.4

Denumirea punctului	Coordonate Stereo 70	
	X	Y
PE	436794,70	373805,78
PV	438543,03	370799,25
DF	437243,38	368543,76
DM	431245,33	374022,57
DL	433535,43	370176,05
Chicera	438520,800	369020,090

Tabelul 5.5

P		Nr.	Direcții. măsurate.
P.B	P.V	vizei	r _i
	PE	1	130,5304
PV	P ₀	2	208,9364
	DF	3	263,7202
	DL	4	248,4205
PE	P ₀	5	285,6592
	PV	6	328,5324
	DF	7	361,6010
DL	P ₀	8	392,5095
	PE	9	41,4203
	PV	10	51,7201
DF	P ₀	11	115,6895
	DL	12	158,6009

Tabelul 5.6

Denumirea punctului	Coordonate provizorii	
	X	Y
P ₀	436287,150	370371,235

În tabelul 5.7 se prezintă calculul orientărilor, distanțelor, coeficienților de direcție și verificarea acestora.

În tabelul 5.8 se calculează orientarea direcției zero a limbului (modulul stației) și termenii liberi.

Conform 5.1.2 și a figurii 5.7., numărul de ecuații de erori este egal cu numărul vizelor (12), iar necunoscutele principale sunt 6 (Δx_{P_0} , Δy_{P_0} , Δz_{PV} , Δz_{PE} , Δz_{DL} , Δz_{DF}).

Aplicând regulile 1 și 3 ale lui Schreiber vom obține un sistem echivalent de 8 ecuații cu 2 necunoscute (Δx_{P_0} , Δy_{P_0}), a căror coeficienți sunt prezentați în tabelul 5.9.

De menționat, în tabelul 5.9 sunt trecuți și termenii liberi corespunzători ecuațiilor scrise între două puncte vechi. Se verifică astfel condiția ca suma termenilor liberi într-un punct de stație să fie egală cu zero.

În tabelul 5.9 coeficienții de direcție au fost reduși de 100 ori față de cei calculați în tabela 5.7, pentru a lucra cu valori mai mici și a ușura, astfel, calculele. Având în vedere acest lucru, corecțiile Δx și Δy se vor obține în "cm" și nu în "m".

Aceiași termeni liberi apar și în tabelul 5.10, pentru a putea calcula [II].

Tabelul 5.7

Pct.	Coordonate		tg θ ctg θ θ	sin θ cos θ	D = $\Delta x / \cos \theta$ D = $\Delta y / \sin \theta$ $D = \sqrt{(\Delta x^2 + \Delta y^2)}$	Control	
	X	Y				a	b
	[m]	[m]					b/a = -ctg θ
PV	438543,030	370799,250	-1,719658198	0,8644637	3477,913229	-158,2371	1,719658
PE	436794,700	373805,780	-0,581510911	-0,5026962	3477,913229	-92,0166	0,581511
Δ	-1748,330	3006,530	133,5316		3477,913229		
PV	438543,030	370799,250	0,189733053	-0,1864075	2296,125305	51,8830	-0,189733
P0	436287,150	370371,235	5,270562948	-0,9824725	2296,125305	-272,3987	-5,270563
Δ	-2255,880	-428,015	211,9369		2296,125305		
PV	438543,030	370799,250	1,735459547	-0,8664505	2603,13758	211,8980	-1,735480
DF	437243,380	368543,760	0,576216255	-0,4992628	2603,13758	-122,0991	-0,576216
Δ	-1299,650	-2255,490	266,7208		2603,13758		
PE	436794,700	373805,780	1,113663489	-0,7440668	4878,296917	97,0998	-1,113663
DL	433635,430	370176,050	0,897937312	-0,6681163	4878,296917	-87,18949	-0,897937
Δ	-3259,270	-3629,730	253,4202		4878,296917		
PE	436794,700	373805,780	6,766909684	-0,9892564	3471,844806	181,3965	-6,766910
P0	436287,150	370371,235	0,147777944	-0,1461902	3471,844806	-26,8064	-0,147778

Δ	-507,550	-3434,545	290,6598		3471,844806		
PE	436794,700	373805,780	-1,719658188	-0,8644637	3477,913229	158,2371	1,719658
PV	438543,030	370799,250	-0,581510911	0,5026951	3477,913229	92,0166	0,581511
Δ	1748,330	-3006,530	333,5316315		3477,913229		
DL	433535,430	370176,050	-0,440213595	-0,4029023	4051,328652	63,3115	0,440214
DF	437243,380	368543,760	-2,271624528	0,9152429	4051,328652	143,8199	2,271625
Δ	3707,950	-1632,290	373,6002814		4051,328652		
DL	433535,430	370176,050	0,070931999	0,0707542	2758,633746	-16,3282	-0,070932
P0	436287,150	370371,235	14,09800958	0,9974937	2758,633746	230,1953	-14,098010
Δ	2751,720	195,185	4,508120774		2758,633746		
DL	433535,430	370176,050	1,113663489	0,7440568	4878,296917	-97,0998	-1,113663
PE	436794,700	373805,780	0,897937312	0,6681163	4878,296917	87,1895	-0,897937
Δ	3259,270	3629,730	53,42016573		4878,296917		
DF	437243,380	368543,760	1,735459547	0,8664505	2603,13758	-211,8980	-1,735460
PV	438543,030	370799,250	0,576216255	0,4992628	2603,13758	122,0991	-0,576216
Δ	1299,650	2255,490	66,72083846		2603,13758		
DF	437243,380	368543,760	-1,911124939	0,8860344	2062,532591	-273,4828	1,911125
P0	436287,150	370371,235	-0,523252028	-0,4636193	2062,532591	-143,1005	0,523252

GEODEZIE

RETELE GEODEZICE

213

Δ	-956,230	1827,475	130,6898941		2062,532591		
DF	437243,380	368543,760	-0,440213595	0,4029023	4051,328652	-63,31155	0,440214
DL	433535,430	370176,050	-2,271624528	-0,9152429	4051,328652	-143,8199	2,271625
Δ	-3707,950	1632,290	173,6002814		4051,328652		

Tabelul 5.8

P		Nr.	Dir. masurate.	Orient.	$Z_i = \theta^c - r_i$	$z = [\theta^c - r_i]/n$	$\theta^m = z + r_i$	$l_i = -(\theta^m - \theta^c)$
P.S	P.V	vizei	r_i	calc. (θ^c)	[g.c.cc]	[g.c.cc]	[g.c.cc]	[cc]
	PE	1	130,5304	133,5316	3,0012		133,5312	4,333
PV	P ₀	2	208,9364	211,9369	3,0005	3,0007667	211,9372	-2,667
	DF	3	263,7202	266,7208	3,0006		266,7210	-1,667
	[]				9,0023			0,000
	DL	4	248,4205	253,4202	4,9997		253,4203	-1,547
PE	P ₀	5	285,6592	290,6598	5,0006	4,9998204	290,6590	7,436

	PV	6	328,5324	333,5316	4,9992		333,5322	-5,890
	[]				14,9995			0,000
	DF	7	361,6010	373,6003	11,9993		373,6003	0,254
DL	P ₀	8	392,5095	4,5081	11,9986	11,9992560	4,5088	-6,352
	PE	9	41,4203	53,4202	11,9999		53,4196	6,098
	[]				35,9978			0,000
	PV	10	51,7201	66,7208	15,0007		66,7203	5,672
DF	P ₀	11	115,6895	130,6899	15,0004	15,0001713	130,6897	2,228
	DL	12	158,6009	173,6003	14,9994		173,6011	-7,900
	[]				45,0005			0,000

Tabelul 5.9

P.S.	P.V.	Nr. viza	P ₀		l _i
			a _i	b _i	
PV	PE	1			4,333
	P ₀	2	0,5168	-2,7240	-2,667
	DF	3			-1,667
	$i \frac{[]}{\sqrt{n_1}}$	$i \frac{[]}{\sqrt{3}}$	i 0,2984	-i 1,5727	0,000
PE	DL	4			4,333
	P ₀	5	1,8140	-0,2681	-2,667
	PV	6			-1,667
	$i \frac{[]}{\sqrt{n_3}}$	$i \frac{[]}{\sqrt{3}}$	i 1,0473	-i 0,1548	0,000
DL	DF	7			0,254
	P ₀	8	-0,1633	2,3020	-6,352
	PE	9			6,098
	$i \frac{[]}{\sqrt{n_2}}$	$i \frac{[]}{\sqrt{3}}$	-i 0,0943	i 1,3290	0,000
DF	PV	10			5,672
	P ₀	11	-2,7348	-1,4310	2,228
	DL	12			-7,900
	$i \frac{[]}{\sqrt{n_4}}$	$i \frac{[]}{\sqrt{3}}$	-i 1,5790	-i 0,8262	0,000

În tabelul 5.10 se prezintă schema redusă de calcul a coeficienților ecuațiilor normale a lui Gauss.

Pentru ecuațiile sumă apar termenii în "i", ce reprezintă radical din "-1".

Datorită produselor duble, ce apar la calculul coeficienților, termenii în "i" se transformă în "-1"

Tabelul 5.10

Nr.crt.	Nr. viza	a	b	l	s
1	1			4,3333	4,3333
2	2	0,5168	-2,7240	-2,6667	-4,8738
3	3			-1,6667	-1,6667
4	[]	0,2984 i	-i1,5727	0	-1,2743 i
5	4			4,3333	4,3333
6	5	1,8140	-0,2681	-2,6667	-1,1208
7	6			-1,6667	-1,6667
8	[]	1,0473 i	-0,1548 i	0	0,8925 i
9	7			0,2540	0,2540
10	8	-0,1633	2,3020	-6,3518	-4,2131
11	9			6,0978	6,0978
12	[]	-0,0943 i	1,3290 i	0	1,2348 i
13	10			5,6716	5,6716
14	11	-2,7348	-1,4310	2,2280	-1,9379
15	12			-7,8996	-7,8996
16	[]	-1,5790 i	-0,8262 i	0	-2,4051 i
	[]	-0,5673	-2,1211	-9,4571	-12,1456
		-0,3275 i	-1,2246 i	+0,0000 i	-1,5522 i
[a]		7,3757	1,0957	-11,2714	-2,8000
[b]			9,8925	-9,8309	1,1573
[l]				234,4598	213,3574

Pe baza coeficienților calculți în tabelul 5.10 se scrie sistemul normal redus al ecuațiilor nomale:

$$7.3757\Delta x + 1.0957\Delta y - 11.2714 = 0$$

$$9.8925\Delta y - 9.8309 = 0$$

Rezolvarea sistemului se poate realiza pe baza metodelor cunoscute de la cursul de Teoria de prelucrare a măsurilor măsurate, iar în tabelul 5.11 se prezintă rezolvarea sistemului prin schema triunghiulară Gauss-Doolittle.

Tabelul 5.11

[aa]	[ab]	[al]	[as]	control	Q11	Q22
7,3757	1,0957	-11,2714	-2,8000	-2,8000	-1	0
-1	-0,14855889	1,5281876	0,379628709	0,379628709	0,135581	0
$\Delta x = 1.4036$	9,8925	-9,8309	1,1573	1,1573	0	-1
	-0,16277951	1,6744715	0,415968207	0,415968207	0,148559	0
	9,72970511	-8,156485	1,573240111	1,573240111	0,148559	-1
	-1	0,8383055	-0,161694532	-0,161694532	-0,01527	0,102778
$\Delta y = 0.8383$		234,45978	213,3574123		Q11	0,1378
		-17,224864	-4,278959483			0,1028
		-6,8376092	1,318855788			
	[vv]=	210,3973	210,3973086			

$$m_0 = \pm \sqrt{\frac{[vv]}{n-k}} = \pm \sqrt{\frac{210.3973}{12-6}} = \pm 5^{cc},922$$

$$m_{\Delta x} = m_0 \sqrt{Q_{11}} = 5.922 \cdot \sqrt{0.1378} = \pm 2.199 \text{ cm}$$

$$m_{\Delta y} = m_0 \sqrt{Q_{22}} = 5.922 \cdot \sqrt{0.1028} = \pm 1.898 \text{ cm}$$

Cu ajutorul corecțiilor Δx și Δy se vor calcula valorile cele mai probabile a punctului „P₀” încadrat prin metoda intersecțiilor multiple înainte:

$$(X_{P_0}) = X_0 + \Delta x = 436287.150 + 0.014036 = 436287.164 \text{ m}$$

$$(Y_{P_0}) = Y_0 + \Delta y = 370371.235 + 0.0083 = 370371.243 \text{ m}$$

Pentru controlul încadrării punctului „P₀”, va trebui ca orientările calculate din punctele vechi și coordonatele compensate ale punctului nou să fie egale cu orientările provizorii plus corecțiile $\Delta\theta$.

Tabelul 5.12.

Punct	Coordonate definitive		Orient.def.
	X	Y	(θ)
	[m]	[m]	g.c.cc.
1	2	3	4
PV	438543,0300	370799,2500	
P ₀	436287,1640	370371,2434	211,9367
Δ	-2255,8660	-428,0086	

a	Δx	$\Delta\theta = a \Delta x + b \Delta y$	Orient.def.
b	Δy		(θ) = $\theta^c + \Delta\theta$
[cc / cm]	[cm]	[cc]	[cc]
5	6	7	8
0,5168	1,4036		
-2,7240	0,8383	-1,5580	211,9367

Pentru ca, în ecuațiile sumă să nu apară termenul imaginar „i” se pot considera aceste ecuații de pondere -1, astfel sistemul se prezintă sub forma:

$$\begin{aligned} a_2 \Delta x_0 + b_2 \Delta y_0 + l_2 &= v_2; & p_1 &= 1 \\ \frac{a_2}{\sqrt{3}} \Delta x_0 + \frac{b_2}{\sqrt{3}} \Delta y_0 + 0 &= v'_2; & p_2 &= -1 \\ a_5 \Delta x_0 + b_5 \Delta y_0 + l_5 &= v_5; & p_3 &= 1 \\ \frac{a_5}{\sqrt{3}} \Delta x_0 + \frac{b_5}{\sqrt{3}} \Delta y_0 + 0 &= v'_5; & p_4 &= -1 \end{aligned} \quad (5.63)$$

$$\begin{aligned} a_8 \Delta x_0 + b_8 \Delta y_0 + l_8 &= v_8; & p_5 &= 1 \\ \frac{a_8}{\sqrt{3}} \Delta x_0 + \frac{b_8}{\sqrt{3}} \Delta y_0 + 0 &= v'_8; & p_6 &= -1 \\ a_{11} \Delta x_0 + b_{11} \Delta y_0 + l_{11} &= v_{11}; & p_7 &= 1 \\ \frac{a_{11}}{\sqrt{3}} \Delta x_0 + \frac{b_{11}}{\sqrt{3}} \Delta y_0 + 0 &= v'_{11}; & p_8 &= -1 \end{aligned}$$

Coeficienții necunoscutelor sunt cei din tabelul 5.10. cu specificația că în ecuațiile sumă nu mai apare termenii imaginari „i”, în schimb aceste ecuații vor avea ponderea -1

Rezolvarea sistemului de corecții (5.63.) se mai poate realiza și în mod matriceal conform teoriei prezentată în § 4.3.3.1, astfel se poate scrie:

$$x = (A^T p A)^{-1} A^T p l$$

Valorile rezultate din calcul coeficienților sunt prezentate în matricele următoare:

$$A = \begin{pmatrix} 0.5168 & -2.7240 \\ 0.2984 & -1.5727 \\ 1.8140 & -0.2681 \\ 1.0473 & -0.1548 \\ -0.1633 & 2.3020 \\ -0.0943 & 1.3290 \\ -2.7348 & -1.4310 \\ -1.5790 & -0.8262 \end{pmatrix}; P = \begin{pmatrix} 1 & 0 & 0 & 0 & 0 & 0 & 0 & 0 \\ 0 & -1 & 0 & 0 & 0 & 0 & 0 & 0 \\ 0 & 0 & 1 & 0 & 0 & 0 & 0 & 0 \\ 0 & 0 & 0 & -1 & 0 & 0 & 0 & 0 \\ 0 & 0 & 0 & 0 & 1 & 0 & 0 & 0 \\ 0 & 0 & 0 & 0 & 0 & -1 & 0 & 0 \\ 0 & 0 & 0 & 0 & 0 & 0 & 1 & 0 \\ 0 & 0 & 0 & 0 & 0 & 0 & 0 & -1 \end{pmatrix};$$

$$I = \begin{pmatrix} 2.6667 \\ 0 \\ 2.6667 \\ 0 \\ 6.3518 \\ 0 \\ -2.228 \\ 0 \end{pmatrix}; x = \begin{pmatrix} \Delta x_0 \\ \Delta y_0 \end{pmatrix}$$

$$A^T = \begin{pmatrix} 0.517 & 0.298 & 1.814 & 1.047 & -0.163 & -0.094 & -2.735 & -1.579 \\ -2.724 & -1.573 & -0.268 & -0.155 & 2.302 & 1.329 & -1.431 & -0.826 \end{pmatrix}$$

$$A^T P = \begin{pmatrix} 0.517 & -0.298 & 1.814 & -1.047 & -0.163 & 0.094 & -2.735 & 1.579 \\ -2.724 & 1.573 & -0.268 & 0.155 & 2.302 & -1.329 & -1.431 & 0.826 \end{pmatrix}$$

$$A^T P A = \begin{pmatrix} 7.375 & 1.096 \\ 1.096 & 9.893 \end{pmatrix}; A^T P I = \begin{pmatrix} 11.271 \\ 9.831 \end{pmatrix}$$

$$(A^T P A)^{-1} = \begin{pmatrix} 0.138 & -0.015 \\ -0.015 & 0.103 \end{pmatrix}$$

$$\begin{pmatrix} \Delta x_0 \\ \Delta y_0 \end{pmatrix} = (A^T P A)^{-1} A^T P I = \begin{pmatrix} 1.404 \\ 0.838 \end{pmatrix}$$

Valorile corecțiilor rezultate din calcul sunt exprimate în centimetri și în funcție de acestea se determină valorile cele mai probabile ale punctului încadrat:

$$X_p = 436287,150 + 0.014 = 436287,164 \text{ m}$$

$$Y_p = 370371,235 + 0.008 = 370371,243 \text{ m}$$

Se remarcă faptul că, în urma efectuării calculelor prin metoda matriceală, aplicată în cazul măsurătorilor indirecte de precizii diferite, s-au obținut aceleași valori ca și în cazul rezolvării sistemului prin metoda Gauss-Doolittle.

De precizat că, metoda de rezolvare Gauss necesită, mai întâi, transformarea sistemului de ecuații într-un sistem normal, și numai după aceea se trece la rezolvarea acestuia.

Intersecția multiplă înapoi

Pentru încadrarea punctului "R₀" (fig.5.8) prin metoda intersecțiilor multiple înapoi, se cunosc punctele rețelei de triangulație, date în tabelul 5.4 (prezentat la intersecția multiplă înainte) și direcțiile măsurate prezentate în tabelul (5.13).

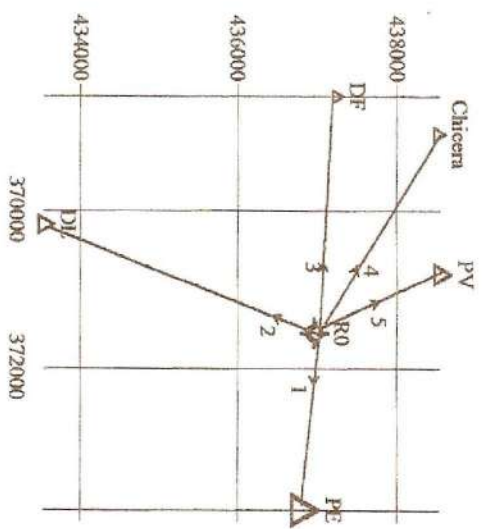


Fig.5.8 Intersecția multiplă înapo

Tabelul 5.13.

Punct		Nr. vizei	Dir. mas. r_i
S	V		
	PE	1	324,7038
	DL	2	44,3008
R_0	DF	3	125,9486
	Chicera	4	155,1480
	PV	5	191,7405

Tabelul 5.14

Denumirea punctului	Coordonate provizorii	
	X	Y
R_0	436961,553	371551,335

Tabelul 5.15

Pct.	Coordonate		$\tan \theta$	$\sin \theta$	$D = \Delta x / \cos \theta$	a	Control
	X	Y	$\cotg \theta$	$\cos \theta$	$D = \Delta y / \sin \theta$	b	$a/b = -\tan \theta$
	[m]	[m]	θ°		$D = \sqrt{\Delta x^2 + \Delta y^2}$		$b/a = -\cotg \theta$
R_0	436961,553	371551,335	-0,47555861	-0,429468	1751,2000	-1,561262	0,475559
PV	438543,03	370799,25	-2,10279024	0,903082	1751,2000	-3,283006	2,102790
Δ	1581,477	-752,085	371,7402		1751,2000	0,000000	
R_0	436961,553	371551,335	-13,5115641	0,997272	2260,6110	2,808460	13,511564
PE	436794,7	373805,78	-0,07401068	-0,073809	2260,6110	0,207856	0,074011
Δ	-166,853	2254,445	104,7031		2260,6110	0,000000	
R_0	436961,553	371551,335	0,40141145	-0,372520	3691,8461	-0,642371	-0,401411
DL	433535,43	370176,05	2,49120946	-0,928024	3691,8461	1,600280	-2,491209
Δ	-3426,123	-1375,285	224,3012		3691,8461	0,000000	
R_0	436961,553	371551,335	-10,6717064	-0,995638	3020,7505	-2,098297	10,671706
DF	437243,38	368543,76	-0,09370573	0,093297	3020,7505	-0,196622	0,093706
Δ	281,827	-3007,575	305,9481		3020,7505	0,000000	

R_0	436961,553	371551,335	-1,62337654	-0,851424	2972,9535	-1,823216	1,623377
Chicera	438520,800	369020,090	-0,61600003	0,524477	2972,9535	-1,123101	0,616000
Δ	1559,247	-2531,245	335,1479		2972,9535	0,000000	

Tabelul 5.16.

P	Nr. vizei	Dir. masurate. r_i	Orient. calc. θ°	$Z_i = \theta^\circ - r_i$ [g.c.cc]	$z = [\theta^\circ - r_i]/n$ [g.c.cc]	$\theta^m = \omega \theta^+$ r_i [g.c.cc]	$l = -(\theta^m - \theta^\circ)$ [cc]
P.S.							
	1	324,7038	104,7031	179,9993		104,7036	-4,638
	2	44,3008	224,3012	180,0004		224,3008	6,573
R_0	3	125,9486	305,9481	179,9995	179,9998	305,9484	-2,324
Chicera	4	155,1480	335,1479	179,9999		335,1478	1,011
PV	5	191,7405	371,7402	179,9997		371,7403	-0,622
[]				899,9988			0,000

GEODEZIE

Coordonatele provizorii ale punctului " R_0 " se determină prin intersecții simple înapoi (prezentate la cursul de Topografie generală), iar valorile acestora sunt date în tabelul 5.14.

În tabelul 5.15 se prezintă calculul orientărilor, distanțelor, coeficienților de direcție și verificarea acestora.

În tabelul 5.16 se calculează orientarea direcției zero a limbului (modulul stației) și termenii liberi.

Coeficienții ecuațiilor echivalente de erori (în care lipsește Δz) se prezintă în tabelul 5.17.

Tabelul 5.17

P.S.	P.V.	Nr. vizei	P_0		l_i
			a_i	b_i	
	PE	1	2,8085	0,2079	-4,638
	DL	2	-0,6424	1,6003	6,573
R_0	DF	3	-2,0983	-0,1966	-2,324
	Chicera	4	-1,8232	-1,1231	1,011
	PV	5	-1,5613	-3,2830	-0,622
[]	$i \frac{[a_i]}{\sqrt{n}}; n=5$		-1,4833	-1,2498	0,000

În tabelul 5.18 se prezintă tabelul redus de calcul al coeficienților ecuațiilor normale.

Tabelul 5.18

Nr.crt.	Nr. viză	a	b	l	s
1	1	2.8085	0.2079	-4.6379	-1.6215
2	2	-0.6424	1.6003	6.5726	7.5305
3	3	-2.0983	-0.1966	-2.3241	-4.6190

GEODEZIE

4	4	-1.8232	-1.1231	1.0112	-1.9351
5	5	-1.5613	-3.2830	-0.6219	-5.4661
6	[]i	-1.4833	-1.2498	0.0000	-2.7330
[]		-3.3167	-2.7946	0.0000	-6.1113
[]i		-1.4833	-1.2498	0.0000	-2.7330
		16.2645	2.5998	-13.2434	8.3090
			13.1203	10.9170	29.3252
				71.5199	69.1935

Rezolvarea ecuațiilor normale utilizând schema triunghiulară Gauss Doolittle se prezintă în tabelul 5.19.

Tabelul 5.19

[aa]	[ab]	[al]	[as]	control	Q11	Q22
16.2645	2.5998	-13.2434	5.6209	5.6209	-1.0000	0.0000
-1	-0.1598	0.8143	-0.3456	-0.3456	0.0615	0.0000
0.9782	13.1203	10.9170	26.6371	26.6371	0.0000	-1.0000
	-0.4156	2.1169	-0.8985	-0.8985	0.1598	0.0000
	12.7047	13.0339	25.7386	25.7386	0.1598	-1.0000
	-1.0000	-1.0259	-2.0259	-2.0259	-0.0126	0.0787
$\Delta y =$	-1.0259	71.5199	69.1935		0.0635	0.0787
		-10.7835	4.5768			
		-13.3715	-26.4054			
[vv]		47.3649	47.3649			
				$m_0 =$	4.8665	
				$m_{dx} =$	1.2263	
				$m_{dy} =$	1.3653	

Tabelul 5.20

Pct.	Coordonate provizorii		Coordonate definitive	
	X	Y	X	Y
R0	436961.553	371551.335	436961.563	371551.325

Verificarea încadrării punctului R_0 se realizează în tabelul 5.21, prin calculul orientărilor din coordonatele definitive ale punctului încadrat și compararea acestora cu orientările calculate din corecțiile Δx , Δy și coeficienții de direcție.

Tabelul 5.21

Punct	Coordonate definitive		0°
	X	Y	(θ)
	[m]	[m]	g.c.cc.
1	2	3	4
R0	436961.563	371551.325	-95.2967
PE	436794.700	373805.780	104.7033
Δ	-166.863	2254.455	
R0	436961.563	371551.325	24.3010
DL	433535.430	370176.050	224.3010
Δ	-3426.133	-1375.275	
R0	436961.563	371551.325	-94.0521
DF	437243.380	368543.760	305.9479
Δ	281.817	-3007.565	

a	Δx		Orient.def.
b	Δy	$\Delta\theta = a \Delta x + b \Delta y$	(θ) = $0^\circ + \Delta\theta$
[cc / cm]	[cm]	[cc]	[cc]
5	6	7	8
2.8085	0.9782		
0.2079	-1.0259	2.534	104.7033
-0.6424	0.9782		
1.6003	-1.0259	-2.270	224.3010
-2.0983	0.9782		
-0.1966	-1.0259	-1.851	305.9479

Intersecția multiplă combinată

Partea teoretică de rezolvare a problemei a fost prezentată la § 5.1.4, iar rezolvarea practică se referă la exemplul ilustrat în fig.5.8.

Se remarcă faptul că, se utilizează aceeași rețea de triangulație și se încadrează aceleași puncte, pentru a avea criterii de comparație între rezultatele obținute, prin diferitele metode și pentru a utiliza valorile provizorii de încadrare a punctelor obținute prin metodele anterioare.

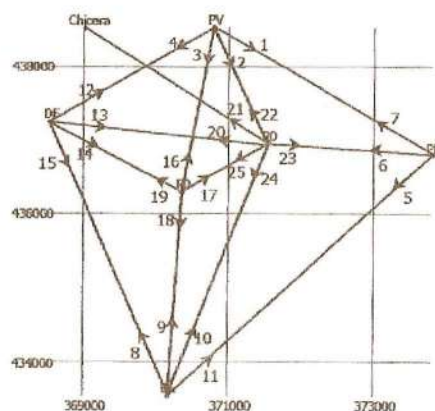


Fig. 5.8 Intersecția multiplă combinată

În exemplu numeric de rezolvare a intersecției multiple combinate se urmează aceeași cale de rezolvare ca și la metodele anterioare. Astfel, în tabelul 5.4 se dau coordonatele punctelor de triangulație. În tabelul 5.22 sunt trecute valorile

GEODEZIE

medii ale seriilor complete reiterate. Valorile provizorii ale coordonatelor punctelor "P" și "R" sunt preluate de la metodele anterioare și sunt date în tabelul 5.23.

Coeficienții de direcție, orientarea direcției zero a limbului și termenii liberi sunt date în tabelul 5.24. Coeficienții de direcție și termenii liberi sunt calculați în tabelul 5.25.

Coeficienții ecuațiilor echivalente sunt prezentați în tabelul 5.26.

Coeficienții ecuațiilor normale se calculează în tabelul 5.27, iar rezolvarea sistemului în tabelul 5.28. În tabelul 5.29. se prezintă coordonatele definitive ale punctelor încadrate.

Verificarea rezultatelor se va face în tabelul 5.30, iar valorile comparative al punctelor încadrate sunt prezentate în tabelul 5.31.

Tabelul 5.22

P		Nr.	Dir. mas.
P.S	P.V	vizei	r_i
PV	PE	1	130,5304
	R_0	2	168,7392
	P_0	3	208,9364
	DF	4	263,7202
PE	DL	5	248,4205
	R_0	6	285,6605
	PV	7	328,5328
DL	DF	8	361,601
	P_0	9	392,5095
	R_0	10	12,3026
	PE	11	41,4213
	PV	12	51,7201

GEODEZIE

Intersecția multiplă combinată

Partea teoretică de rezolvare a problemei a fost prezentată la § 5.1.4, iar rezolvarea practică se referă la exemplul ilustrat în fig.5.8.

Se remarcă faptul că, se utilizează aceeași rețea de triangulație și se încadrează aceleași puncte, pentru a avea criterii de comparație între rezultatele obținute, prin diferitele metode și pentru a utiliza valorile provizorii de încadrare a punctelor obținute prin metodele anterioare.

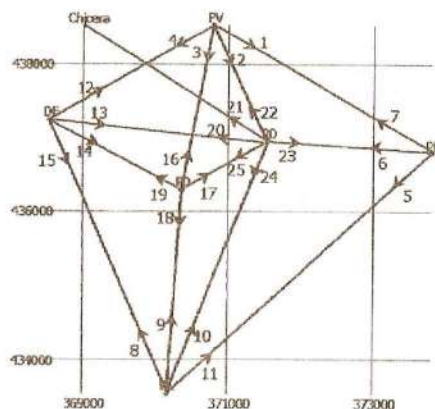


Fig.5.8 Intersecția multiplă combinată

În exemplu numeric de rezolvare a intersecției multiple combinate se urmează aceeași cale de rezolvare ca și la metodele anterioare. Astfel, în tabelul 5.4 se dau coordonatele punctelor de triangulație. În tabelul 5.22 sunt trecute valorile

GEODEZIE

medii ale seriilor complete reiterate. Valorile provizorii ale coordonatelor punctelor "P" și "R" sunt preluate de la metodele anterioare și sunt date în tabelul 5.23.

Coeficienții de direcție, orientarea direcției zero a limbului și termenii liberi sunt date în tabelul 5.24. Coeficienții de direcție și termenii liberi sunt calculați în tabelul 5.25.

Coeficienții ecuațiilor echivalente sunt prezentați în tabelul 5.26.

Coeficienții ecuațiilor normale se calculează în tabelul 5.27, iar rezolvarea sistemului în tabelul 5.28. În tabelul 5.29. se prezintă coordonatele definitive ale punctelor încadrate.

Verificarea rezultatelor se va face în tabelul 5.30, iar valorile comparative al punctelor încadrate sunt prezentate în tabelul 5.31.

Tabelul 5.22

P		Nr.	Dir. mas.
P.S	P.V	vizei	r_i
PV	PE	1	130,5304
	R_0	2	168,7392
	P_0	3	208,9364
	DF	4	263,7202
PE	DL	5	248,4205
	R_0	6	285,6605
	PV	7	328,5328
DL	DF	8	361,601
	P_0	9	392,5095
	R_0	10	12,3026
	PE	11	41,4213
	PV	12	51,7201

GEODEZIE

	R_0	13	90,9476
	P_0	14	115,6895
	DL	15	158,6009
	PV	16	21,2342
	R_0	17	76,2453
	DL	18	213,8054
	DF	19	339,9874
	DF	20	25,4236
	Chicera	21	54,6236
	PV	22	91,216
	PE	23	224,1789
	DL	24	343,7761
	P_0	25	386,4228

Tabelul 5.23.

Pct.	X	Y
P_0	436287,150	370371,235
R_0	436961,553	371551,335

Tabelul 5.24

Punct	Coordonate		tg θ	sin θ	$D = dx/\cos \theta$	a	Control
	X	Y	ctg θ	cos θ	$D = dy/\sin \theta$	b	a/b = -tg θ
	[m]	[m]	θ°		$D = \sqrt{\Delta x^2 + \Delta y^2}$		b/a = -ctg θ
PV	438543,030	370799,250	-1,7196582	0,8644638	3477,913229	-1,5824	1,7197
PE	436794,700	373805,780	-0,581511	-0,50269512	3477,913229	-0,9202	0,5815
Δ	-1748,330	3006,530	133,5316		3477,913229	0,0000	
PV	438543,030	370799,250	-0,47555861	0,42946837	1751,199974	-1,5613	0,4756
R_0	436961,553	371551,335	-2,10279021	-0,90308190	1751,199974	-3,2830	2,1028
Δ	-1581,477	752,085	171,7402		1751,199974	0,0000	
PV	438543,030	370799,250	0,189733053	-0,18640751	2296,125305	0,5168	-0,1897
P_0	436287,150	370371,235	5,270562948	-0,98247251	2296,125305	-2,7240	-5,2706
Δ	-2255,880	-428,015	211,9369		2296,125305	0,0000	
PV	438543,030	370799,250	1,735459547	-0,86645055	2603,13758	2,1190	-1,7355
DF	437243,380	368543,760	0,576216255	-0,49926289	2603,13758	-1,2210	-0,5762

Δ	-1299,650	-2255,490	266,7208		2603,13758	0,0000	
PE	436794,700	373805,780	1,113663489	-0,74405680	4878,296917	0,9710	-1,1137
DL	433535,430	370176,050	0,897937312	-0,66811636	4878,296917	-0,8719	-0,8979
Δ	-3259,270	-3629,730	253,4202		4878,296917	0,0000	
PE	436794,700	373805,780	6,766909664	-0,98925649	3471,844806	1,8140	-6,7669
R_0	436287,150	370371,235	0,147777944	-0,14619029	3471,844806	-0,2681	-0,1478
Δ	-507,550	-3434,545	290,6598		3471,844806	0,0000	
PE	436794,700	373805,780	-1,7196582	-0,86446378	3477,913229	1,5824	1,7197
PV	438543,030	370799,250	-0,58151092	0,50269512	3477,913229	0,9202	0,5815
Δ	1748,330	-3006,530	333,5316315		3477,913229	0,0000	
DL	433535,430	370176,050	-0,4402136	-0,40290239	4051,328652	0,6331	0,4402
DF	437243,380	368543,760	-2,2716246	0,91624295	4051,328652	1,4382	2,2716
Δ	3707,950	-1632,290	373,6002814		4051,328652	0,0000	
DL	433535,430	370176,050	0,070931999	0,07075423	2758,633746	-0,1633	-0,0709
P_0	436287,150	370371,235	14,09800958	0,99749378	2758,633746	2,3020	-14,0980
Δ	2751,720	195,185	4,508120774		2758,633746	0,0000	
DL	433535,430	370176,050	0,40141145	0,37251959	3691,846102	-0,6424	-0,4014

GEODEZIE

R_0	436961,553	371551,335	2,491209458	0,92802433	3691,846102	1,6003	-2,4912
Δ	3426,123	1375,285	24,30121238		3691,846102	0,0000	
DL	433535,430	370176,050	1,113663489	0,74405680	4878,296917	-0,9710	-1,1137
PE	436794,700	373805,780	0,897937312	0,66811636	4878,296917	0,8719	-0,8979
Δ	3259,270	3629,730	53,42016573		4878,296917	0,0000	
DF	437243,380	368543,760	1,735459547	0,86645055	2603,13758	-2,1190	-1,7355
PV	438543,030	370799,250	0,576216255	0,49926289	2603,13758	1,2210	-0,5762
Δ	1299,650	2255,490	66,72083846		2603,13758	0,0000	
DF	437243,380	368543,760	-10,6717084	0,99563832	3020,750542	-2,0983	10,6717
R_0	436961,553	371551,335	-0,09370573	-0,09329701	3020,750542	-0,1966	0,0937
Δ	-281,827	3007,575	105,9481227		3020,750542	0,0000	
DF	437243,380	368543,760	-1,91112494	0,88603448	2062,532591	-2,7348	1,9111
P_0	436287,150	370371,235	-0,52325202	-0,46361934	2062,532591	-1,4310	0,5233
Δ	-956,230	1827,475	130,6898941		2062,532591	0,0000	
DF	437243,380	368543,760	-0,4402136	0,40290239	4051,328652	-0,6331	0,4402
DL	433535,430	370176,050	-2,27162453	-0,91524295	4051,328652	-1,4382	2,2716
Δ	-3707,950	1632,290	173,6002814		4051,328652	0,0000	

GEODEZIE

P ₀	436287,150	370371,235	0,189733053	0,18640751	2296,125305	-0,5168	-0,1897
PV	438543,030	370799,250	5,270562948	0,98247251	2296,125305	2,7240	-5,2706
Δ	2255,880	428,015	11,93689372		2296,125305	0,0000	
P ₀	436287,150	370371,235	1,749843936	0,86822408	1359,211321	-4,0665	-1,7498
R ₀	436961,553	371551,335	0,571479536	0,49617229	1359,211321	2,3239	-0,5715
Δ	674,403	1180,100	66,94768611		1359,211321	0,0000	
P ₀	436287,150	370371,235	0,070931999	-0,07075423	2758,633746	0,1633	-0,0709
DL	433535,430	370176,050	14,09800958	-0,99749378	2758,633746	-2,3020	-14,0980
Δ	-2751,720	-195,185	204,6081208		2758,633746	0,0000	
P ₀	436287,150	370371,235	-1,91112494	-0,88603448	2062,532591	2,7348	1,9111
DF	437243,380	368543,760	-0,52325203	0,46361934	2062,532591	1,4310	0,5233
Δ	956,230	-1827,475	330,6898941		2062,532591	0,0000	
R ₀	436961,553	371551,335	-10,6717064	-0,99563832	3020,750542	2,0983	10,6717
DF	437243,380	368543,760	-0,09370573	0,09329701	3020,750542	0,1966	0,0937
Δ	281,827	-3007,575	305,9481227		3020,750542	0,0000	
R ₀	436961,553	371551,335	-1,62337654	-0,85142435	2972,953491	1,8232	1,6234
Chicer	438520,800	369020,090	-0,61600003	0,52447743	2972,953491	1,1231	0,6160

GEODEZIE

a							
Δ	1559,247	-2531,245	335,1478562		2972,953491	0,0000	
R ₀	436961,553	371551,335	-0,47555861	-0,42946837	1751,199974	1,5613	0,4756
PV	438543,030	370799,250	-2,10279024	0,90308190	1751,199974	3,2830	2,1028
Δ	1581,477	-752,085	371,7401929		1751,199974	0,0000	
R ₀	436961,553	371551,335	-13,5115641	0,99727241	2260,61102	-2,8085	13,5116
PE	436794,700	373805,780	-0,07401068	-0,07380881	2260,61102	-0,2079	0,0740
Δ	-166,853	2254,445	104,7030913		2260,61102	0,0000	
R ₀	436961,553	371551,335	0,40141145	-0,37251959	3691,846102	0,6424	-0,4014
DL	433535,430	370176,050	2,491209458	-0,92802433	3691,846102	-1,6003	-2,4912
Δ	-3426,123	-1375,285	224,3012124		3691,846102	0,0000	
R ₀	436961,553	371551,335	1,749843936	-0,86822408	1359,211321	4,0665	-1,7498
P ₀	436287,150	370371,235	0,571479536	-0,49617229	1359,211321	-2,3239	-0,5715
Δ	-674,403	-1180,100	266,9476861		1359,211321	0,0000	

GEODEZIE

Tabelul 5.25

P		Nr. vizei	Dir. masurate.	Orient. Calc.	$Z_i = \theta^\circ - r_i$	$Z = [\theta^\circ - r_i]/n$	$\theta^m = Z + r_i$	$l_i = -(\theta^m - \theta^\circ)$
P.S	P.V		r_i	(θ°)	[g.c.cc]	[g.c.cc]	[g.c.cc]	[cc]
PV	PE	1	130,5304	133,5316	3,0012		133,5312	3,923
	R ₀	2	168,7392	171,7402	3,0010	3,0008	171,7400	1,538
	P ₀	3	208,9364	211,9369	3,0005		211,9372	-3,454
	DF	4	263,7202	266,7208	3,0006		266,7210	-2,007
	[]				12,0034			0,000
PE	DL	5	248,4205	253,4202	4,9997		253,4203	-1,547
	R ₀	6	285,6592	290,6598	5,0006	4,9998	290,6590	7,436
	PV	7	328,5324	333,5316	4,9992		333,5322	-5,890
	[]				14,9995			0,000
DL	DF	8	361,601	373,6003	11,9993		373,5998	4,363
	P ₀	9	392,5095	4,5081	11,9986	11,9988	4,5083	-2,243
	R ₀	10	12,3026	24,3012	11,9986		24,3014	-2,327
	PE	11	41,4213	53,4202	11,9989		53,4201	0,207

GEODEZIE

	[]				47,9954			0,000
DF	PV	12	51,7201	66,7208	15,0007		66,7204	4,793
	R ₀	13	90,9476	105,9481	15,0005		105,9479	2,636
	P ₀	14	115,6895	130,6899	15,0004	15,0003	130,6898	1,349
	DL	15	158,6009	173,6003	14,9994		173,6012	-8,778
	[]				60,0010			0,000
P ₀	PV	16	21,2342	11,9369	390,7027		11,9368	1,200
	R ₀	17	76,2453	66,9477	390,7024	390,7026	66,9479	-1,876
	DL	18	213,8054	204,5081	390,7027		204,5080	1,471
	DF	19	339,9874	330,6899	390,7025		330,6900	-0,796
	[]				1562,8103			0,000
R ₀	DF	20	25,4236	305,9481	280,5245		305,9481	-0,042
	Chic era	21	54,6236	335,1479	280,5243	280,5245	335,1481	-2,707
	PV	22	91,216	371,7402	280,5242		371,7405	-3,340
	PE	23	224,1789	104,7031	280,5242		104,7034	-3,356
	DL	24	343,7761	224,3012	280,5251		224,3006	5,854

GEODEZIE

P_0	25	386,4228	266,9477	280,5249		266,9473	3,592
[]				1683,1472			0,000

Tabelul 5.26

P		Nr. vizei	P_0		R_0		l_i
P.S	P.V		a_i	b_i	c_i	d_i	
PV	PE	1					3,9232
	R_0	2			-1,5613	-3,2830	1,5379
	P_0	3	0,5168	-2,7240			-3,4542
	DF	4					-2,0068
	$\frac{l[]}{\sqrt{4}}$		0,2584 i	-1,3620 i	-0,7806 i	-1,6415 i	0,0000 i
PE	DL	5					-1,5469
	R_0	6			1,8140	-0,2681	7,4365
	PV	7					-5,8896

GEODEZIE

	$\frac{l[]}{\sqrt{3}}$				1,0473 i	-0,1548 i	0,0000 i
DL	DF	8					4,3629
	P_0	9	-0,1633	2,3020			-2,2429
	R_0	10			-0,6424	1,6003	-2,3268
	PE	11					0,2067
	$\frac{l[]}{\sqrt{4}}$		-0,0816 i	1,1510 i	-0,3212 i	0,8001 i	0,0000 i
DF	PV	12					4,7931
	R_0	13			-2,0983	-0,1966	2,6356
	P_0	14	-2,7348	-1,4310			1,3495
	DL	15					-8,7781
	$\frac{l[]}{\sqrt{4}}$		-1,3674 i	-0,7155 i	-1,0491 i	-0,0983 i	0,0000 i
P_0	PV	16	-0,5168	2,7240			1,2004
	R_0	17	-4,0665	2,3239	4,0665	-2,3239	-1,8757
	DL	18	0,1633	-2,3020			1,4710

GEODEZIE

R ₀	DF	19	2,7348	1,4310			-0,7957
	$\frac{i[\]}{\sqrt{4}}$		-0,8426 i	2,0885 i	2,0333 i	-1,1620 i	0,0000 i
	DF	20			2,0983	0,1966	-0,0424
	Chice ra	21			1,8232	1,1231	-2,7071
	PV	22			1,5613	3,2830	-3,3402
	PE	23			-2,8085	-0,2079	-3,3562
	DL	24			0,6424	-1,6003	5,8543
	P ₀	25	4,0665	-2,3239	-4,0665	2,3239	3,5915
	$\frac{i[\]}{\sqrt{6}}$		1,6602 i	-0,9487 i	-0,3061 i	2,0896 i	0,0000 i

Tabelul 5.27

Nr.crt.	Nr.viza	ai	bi	ci	di	li	si
1	1					3,9232	3,9232
2	2			-1,5613	-3,2830	1,5379	-3,3064
3	3	0,5168	-2,7240			-3,4542	-5,6614

GEODEZIE

4	4					-2,0068	-2,0068
5	i[]	0,2584 i	-1,3620 i	-0,7806 i	-1,6415 i	0,0000 i	-3,5257 i
6	5					-1,5469	-1,5469
7	6			1,8140	-0,2681	7,4365	8,9824
8	7					-5,8896	-5,8896
9	i[]			1,0473 i	-0,1548 i	0,0000 i	0,8925 i
10	8					4,3629	4,3629
11	9	-0,1633	2,3020			-2,2429	-0,1042
12	10			-0,6424	1,6003	-2,3268	-1,3689
13	11					0,2067	0,2067
14	i[]	-0,0616 i	1,1510 i	-0,3212 i	0,8001 i	0,0000 i	1,5483 i
15	12					4,7931	4,7931
16	13			-2,0983	-0,1966	2,6356	0,3406
17	14	-2,7348	-1,4310			1,3495	-2,8164
18	15					-8,7781	-8,7781
19	i[]	-1,3674 i	-0,7155 i	-1,0491 i	-0,0983 i	0,0000 i	-3,2304 i
20	16	0,5168	-2,7240			1,2004	-1,0067
21	17	-4,0665	2,3239	4,0665	-2,3239	-1,8757	-1,8757

GEODEZIE

22	18	-0,1633	2,3020			1,4710	3,6097
23	19	-2,7348	-1,4310			-0,7957	-4,9616
24	I[]	-0,8426	2,0885	2,0333	-1,1620	0,0000	2,1172
25	20			-2,0983	-0,1966	-0,0424	-2,3373
26	21			1,8232	1,1231	-2,7071	0,2392
27	22			-1,5613	-3,2830	-3,3402	-8,1845
28	23			1,8140	-0,2681	-3,3562	-1,8103
29	24			-0,6424	1,6003	5,8543	6,8122
30	25	-4,0665	2,3239	4,0665	-2,3239	3,5915	3,5915
31	I[]	-1,6602	0,9487	3,0142	0,1921	0,0000	2,4949
[a]		43,2102	-11,8387	-27,6153	18,5958	-9,5306	12,8213
[b]			31,3815	10,3505	-11,7840	7,5576	25,6669
[c]				41,3550	-7,9872	4,5501	20,6530
[d]					34,2064	2,9305	35,9615
[l]						349,0938	354,6013

GEODEZIE

Tabelul 5.28

	a]	b]	c]	d]	l]	s]	Q11	Q22	Q33	Q44
	43,2102	-11,8387	-27,6153	18,5958	-9,5306	12,8213	-1	0	0	0
	-1	0,2740	0,6391	-0,4304	0,2206	-0,2967	0,0231	0,0000	0	0
dx	0,401	31,3815	10,3505	-11,7840	7,5576	25,6669	0	-1	0	0
		-3,2436	-7,5660	5,0949	-2,6112	3,5128	-0,2740	0	0	0
		28,1380	2,7844	-6,6891	4,9484	28,1797	-0,2740	-1	0	0
		-1	-0,0990	0,2377	-0,1758	-1,0370	0,0097	0,0355	0	0
dy ₁ =	-0,278	41,3550	-7,9872	4,5501	20,6530	0,0000	0	-1	0	0
		-17,8487	11,8844	-8,0910	8,1940	-0,8391	0	0	0	0
		-0,2755	0,6619	-0,4895	-2,8875	0,0271	0,0990	0	0	0
		23,4308	4,5591	-2,0304	25,9595	-0,6120	0,0990	-1	0	0
		-1	-0,1946	0,0867	-1,1079	0,0261	-0,0042	0,0427	0	0
dx ₂ =	0,167	34,2064	2,9305	35,9615	0,0000	0	0	0	-1	0
		-8,0028	4,1016	-5,6177	0,4304	0	0	0	0	0
		-1,6902	1,1759	6,9367	-0,0651	-0,24	0	0	0	0
		-0,6871	0,3951	-5,0511	0,1191	-0,02	0,1948	0	0	0

GEODEZIE

23,7263	8,6031	32,3294	0,4943	-0,26	0,1946	-1
-1	-0,3626	-1,3626	-0,0204	0,0108	-0,0082	0,0421
$dy_2 = -0,363$						
	349,093	354,6013	0,0517	0,0387	0,0443	0,0421
	-2,1021	2,8279	0,2273	0,1968	0,2104	0,2053
	-0,8695	-5,1295				
	-0,1759	2,2495				
	-3,1194	-11,7225				
	342,827	342,827				

[vv] =

$$m_0 = \pm \sqrt{\frac{342,8}{25-10}} = 4,781$$

$$m = \pm 1,087 \text{ cm} \quad 0,941 \quad 1,006 \quad 0,981$$

Se vor calcula în continuare coordonatele definitive ale punctelor încadrate:

Tabelul 5.29

	Coordonate provizorii	Coordonate definitive
P ₀	X= 436287,150	0,004 436287,154
	Y= 370371,235	-0,003 370371,232
R ₀	X= 436961,553	0,002 436961,555
	Y= 371551,335	-0,004 371551,331

GEODEZIE

Tabelul 5.30

	Coordonate definitive		Orient.def.
Pct.	X	Y	(θ)
	[m]	[m]	g.c.cc.
1	2	3	4
P ₀	436287,154	370371,232	66,947765
R ₀	436961,555	371551,331	66,9477
Δ	674,401	1180,099	

a	Δx ₁	c	Δx ₂		Orient.def.
b	Δy ₁	d	Δy ₂	Δθ=aΔx ₂ +bΔy ₂ + cΔx ₁ +dΔy ₁	(θ)=θ ^c +Δθ
[cc / cm]	[cm]	[cc / cm]	[cm]	[cc]	[cc]
5	6	7	8	9	10
-4.0665	0.4010	4.0665	0.157		
2.3239	-0.2775	-2.3239	-0.363	0.794	66.947765

Tabelul 5.31.

Metoda	Punctul P ₀			
	X	m _X (cm)	Y	m _Y (cm)
Intersecția multiplă înainte	436287,164	2,199	370371,243	1,898
Intersecția multiplă combinată	436287,154	1,087	370371,232	0,941

GEODEZIE

Metoda	Punctul R_0			
	X	m_x (cm)	Y	m_y (cm)
	-	-	-	-
Intersecția multiplă înapoi	436961,543	1,19	371551,346	1,31
Intersecția multiplă combinată	436961,555	1,006	371551,331	0,981

6. REZOLVAREA REȚELELOR DE TRIANGULAȚIE PRIN METODA MĂSURĂTORILOR CONDIȚIONATE

6.1. Considerații generale

Metodologia de prelucrare a măsurătorilor geodezice prin metoda măsurătorilor condiționate de aceeași precizie și de precizii diferite a fost tratată în §4.3.4 și §4.3.5., iar în cele ce urmează vor fi prezentate câteva aspecte privind stabilirea condițiilor geometrice și a ecuațiilor de corecții aferente acestora.

Este cunoscut faptul că în orice rețea geodezică, numărul mărimilor măsurate este mai mare decât numărul strict necesar pentru obținerea mărimilor ce trebuie determinate.

Numărul măsurătorilor suplimentare, efectuate într-o rețea geodezică, determină numărul ecuațiilor de condiție

Numărul condițiilor geometrice "r" se stabilește în funcție de natura rețelei (fără constrângeri, cu constrângeri) și este dat de diferența dintre numărul observațiilor efectuate " n_e " și numărul observațiilor strict necesar " n_m ":

$$r = n_e - n_m \quad (6.1.)$$

Volumul de calcul necesar compensării unei rețele geodezice este diferit în funcție de metoda de prelucrare aleasă, de configurația geometrică a rețelei și de numărul ecuațiilor normale.

În cazul rețelelor de triangulație cu multe legături la ordinul superior, în interiorul cărora se dezvoltă o rețea de

îndesire, metoda cea mai indicată de rezolvare este cea a măsurătorilor indirecte.

Rețelele de triangulație sub forma unor lanțuri de triunghiuri sau patrulatere, cu puține legături la ordinul superior, se rezolvă prin metoda măsurătorilor condiționate.

Atunci când, la rezolvarea rețelei de triangulație se aplică metoda măsurătorilor condiționate, trebuie avut grijă la stabilirea numărului necesar și suficient de ecuații de condiție și la scrierea corectă a acestora.

În cazul utilizării metodei măsurătorilor condiționate la rezolvarea rețelelor geodezice pot apărea următoarele neajunsuri :

- omiterea unor ecuații de condiție;
- scrierea unor ecuații de condiție ce constituie consecința altor ecuații.

În cazul omiterii unor ecuații , rezultatele finale ale compensării vor fi inexacte, deoarece nu vor verifica condițiile omise, rezultând o rețea incompletă geometric.

Atunci când, ecuațiile scrise sunt consecințe ale altor ecuații (suma, diferența lor etc.), va rezulta o nedeterminare pentru corelata "k" respectivă.

În scopul prelucrării măsurătorilor efectuate într-o rețea de triangulație geodezică este important, în prima etapă, să se stabilească numărul condițiilor geometrice, să se cunoască forma condițiilor geometrice și corespunzător acestora să se scrie ecuațiile de corecții .

6.2. Stabilirea numărului condițiilor geometrice în rețele fără constrângeri (independente)

Condițiile geometrice pe care trebuie să le îndeplinească observațiile geodezice într-o asemenea rețea de triangulație se numesc condiții interioare.

Într-o rețea de triangulație independentă se formează următoarele condiții :

- *condiția de figură* - Suma unghiurilor interioare ale triunghiurilor plane trebuie să fie egală cu 200^g .
- *condiția de tur de orizont (de stație)*- Suma unghiurilor situate în jurul unui punct și care formează un tur de orizont complet trebuie să fie egală cu 400^g .
- *condiția de pol sau de laturi* - Rezolvarea succesivă a triunghiurilor care au vârf comun, cu începere de la o latură și finalizare pe aceeași latură, trebuie să conducă către aceeași valoare.

Intrucât, construcția unei rețele este posibilă atunci când se cunoaște lungimea unei laturi cu ajutorul căreia se determină scara rețelei și două unghiuri, pentru fiecare punct determinat, conform (6.1) se poate scrie că numărul total de ecuații interioare "r" se calculează cu relația:

$$r = \omega - 2(p - 2) = \omega - 2p + 4 \quad (6.3)$$

unde :

- ω - numărul unghiurilor măsurate ;
- $2(p-2)$ -numărul strict necesar de unghiuri măsurate pentru determinarea unui număr de $(p-2)$ puncte din rețea;
- p - numărul total de puncte ;

r – numărul total al condițiilor geometrice.

Observație: din numărul total de puncte se scade 2 pentru că primele două puncte delimitează latura inițială.

Numărul ecuațiilor de figură se stabilește cu relația:

$$w_1 = l_1 - p_1 + l \quad (6.4)$$

în care:

l_1 – numărul laturilor cu viză dublă ;

p_1 – numărul punctelor staționabile ;

w_1 – numărul condițiilor de figură .

Numărul ecuațiilor de punct central (w_2):

w_2 – numărul punctelor în care unghiurile sunt măsurate într-un tur de orizont complet.

Numărul ecuațiilor de pol sau de laturi:

$$s = l - \{1 + 2(p - 2)\} = l - 2p + 3 \quad (6.5)$$

Pornind de la latura cunoscută pentru fiecare din cele $(p-2)$ puncte determinate sunt necesare câte două laturi. Astfel paranteza mare din relația (6.5.) reprezintă numărul strict necesar de laturi, iar " l " numărul total de laturi.

6.3. Stabilirea numărului condițiilor geometrice în rețele dependente sau subordonate

Intr-o rețea de triangulație dependentă deschisă (cu constrângeri) se formează condițiile de:

- figură ;
- tur de orizont ;
- laturi ;

- orientări ;
- unghi fix ;
- baze ;
- coordonate.

Se observă că în rețelele subordonate apar în plus față de rețelele independente condiții de orientări, de unghi fix, de baze și de coordonate.

Deci pentru a stabili numărul primelor trei condiții se folosesc formulele scrise pentru rețelele neconstrânse.

Numărul condițiilor de orientări " n_0 " se determină cu relația:

$$n_0 = N_0 - 1 \quad (6.6)$$

unde:

N_0 - numărul orientărilor fixe (cunoscute)

Numărul condițiilor de unghi fix " n_u ":

$$n_u = N_u \quad (6.7)$$

unde:

N_u - numărul unghiurilor fixe

Numărul ecuațiilor de baze " n_b ":

$$n_b = N_b - 1 \quad (6.8)$$

unde:

N_b - numărul bazelor măsurate

Numărul condițiilor de coordonate " n_c ":

$$n_c = 2(R-1) \quad (6.9)$$

unde:

R - numărul grupelor separate de puncte fixe

6.4. Forma condițiilor geometrice și a ecuațiilor de erori

În cele ce urmează, se vor examina formele concrete ale condițiilor geometrice și ale ecuațiilor de erori în funcție de elementele măsurate:

Condiția de figură

Suma unghiurilor interioare ale triunghiurilor trebuie să fie egală cu 200^g .

De exemplu pentru triunghiul BCF (fig.6.1.) se cere să fie satisfăcută egalitatea :

$$(\hat{1}) + (\hat{2}) + (\hat{3}) = 200^g \quad (6.10)$$

Notând valoarea cea mai probabilă a unghiurilor în funcție de unghiurile măsurate și corecțiile aferente se poate scrie:

$$\begin{aligned} \hat{1} &= \hat{1} + v_1 \\ \hat{2} &= \hat{2} + v_2 \\ \hat{3} &= \hat{3} + v_3 \end{aligned} \quad (6.11)$$

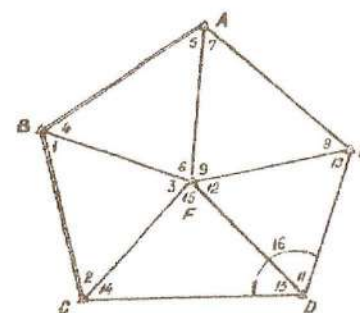


Fig.6.1. Rețea de triangulație

Înlocuind pe (6.11) în (6.10) se obține ecuația de condiție de figură:

$$v_1 + v_2 + v_3 + \underbrace{\hat{1} + \hat{2} + \hat{3}}_{w_1} - 200^g = 0 \quad (6.12)$$

Termenul liber al acesteia " w_1 " reprezintă eroarea de neînchidere unghiulară în triunghiul considerat.

Condiția de tur de orizon "t"

Suma unghiurilor situate în jurul unui punct și care formează un tur de orizon complet trebuie să fie egală cu 400^g .

De exemplu pentru punctul "F" se cere să fie satisfăcută egalitatea :

$$(\hat{3}) + (\hat{6}) + (\hat{9}) + (\hat{12}) + (\hat{15}) = 400^g \quad (6.13)$$

sau:

$$\hat{3} + v_3 + \hat{6} + v_6 + \hat{9} + v_9 + \hat{12} + v_{12} + \hat{15} + v_{15} = 400^s \quad (6.14)$$

Deoarece, de obicei în punctul "F" se măsoară direcțiile, atunci :

$$\hat{3} + \hat{6} + \hat{9} + \hat{12} + \hat{15} = 400^s \quad (6.15)$$

și în consecință, termenul liber din ecuația de condiție pentru turul de orizont este egal cu zero, iar ecuația de condiție are forma :

$$v_3 + v_6 + v_9 + v_{12} + v_{15} = 0 \quad (6.16)$$

Condiția de pol sau acordul laturilor

Rezolvarea succesivă a triunghiurilor care au vârf comun, cu începere de la o latură și finalizare pe aceeași latură trebuie să conducă către aceeași valoare.

De exemplu, pornind cu calculul de la latura BF, prin aplicarea teoremei sinusurilor în mod succesiv se obține :

$$\begin{aligned} BF &= \frac{\sin(5)}{\sin(4)} AF; \quad AF = \frac{\sin(8)}{\sin(7)} EF; \quad EF = \frac{\sin(11)}{\sin(10)} DF; \\ DF &= \frac{\sin(14)}{\sin(13)} CF; \quad CF = \frac{\sin(1)}{\sin(2)} BF \end{aligned} \quad (6.17)$$

Înlocuind relațiile (6.17), una în cealaltă și împărțind cu BF se obține relația de pol:

$$\frac{\sin(\hat{5})\sin(\hat{8})\sin(\hat{10})\sin(\hat{14})\sin(\hat{1})}{\sin(\hat{4})\sin(\hat{7})\sin(\hat{10})\sin(\hat{13})\sin(\hat{2})} = 1 \quad (6.18)$$

Punctul "F" din care pornesc laturile către vârfurile poligonului ABCDE se numește pol. Polul poate fi ales atât în interiorul conturului poligonal cât și în exteriorul lui.

Condiția de pol se poate scrie foarte ușor, pornind de la relația geometrică evidentă:

$$\frac{BF}{AF} \frac{AF}{EF} \frac{EF}{DF} \frac{DF}{CF} \frac{CF}{BF} = 1 \quad (6.19)$$

în care se înlocuiesc laturile cu sinusurile unghiurilor opuse, se ajunge astfel la relația (6.18).

Relația (6.18) se mai poate scrie sub forma:

$$\begin{aligned} &\sin(\hat{5} + v_5) \sin(\hat{8} + v_8) \sin(\hat{11} + v_{11}) \sin(\hat{14} + v_{14}) \sin(\hat{1} + v_1) - \\ &- \sin(\hat{4} + v_4) \sin(\hat{7} + v_7) \sin(\hat{10} + v_{10}) \sin(\hat{13} + v_{13}) \sin(\hat{2} + v_2) = 0 \end{aligned} \quad (6.20)$$

Pentru liniarizarea relației (6.20) se va dezvolta fiecare termen în serie Taylor și se vor efectua produsele lor, astfel se obține:

$$\begin{aligned} &P_1 + \frac{P_1}{\rho} (\text{ctg } \hat{5} v_5 + \text{ctg } \hat{8} v_8 + \text{ctg } \hat{11} v_{11} + \text{ctg } \hat{14} v_{14} + \text{ctg } \hat{1} v_1) - \\ &- P_2 - \frac{P_2}{\rho} (\text{ctg } \hat{4} v_4 + \text{ctg } \hat{7} v_7 + \text{ctg } \hat{10} v_{10} + \text{ctg } \hat{13} v_{13} + \text{ctg } \hat{2} v_2) = 0 \end{aligned} \quad (6.21)$$

în care:

$$\begin{aligned} P_1 &= \sin \hat{5} \sin \hat{8} \sin \hat{11} \sin \hat{14} \sin \hat{1} \\ P_2 &= \sin \hat{4} \sin \hat{7} \sin \hat{10} \sin \hat{13} \sin \hat{2} \end{aligned} \quad (6.22)$$

Efectuând notațiile:

$$\begin{aligned} \operatorname{ctg}(i) &= d_i; \quad i = \hat{1}, \hat{2}, \dots, \hat{14} \\ w &= \rho^\omega \left(1 - \frac{P_2}{P_1}\right) \end{aligned} \quad (6.23)$$

relația (6.21) devine:

$$\begin{aligned} -d_4 v_4 + d_5 v_5 - d_7 v_7 + d_8 v_8 - d_{10} v_{10} + d_{11} v_{11} - \\ - d_{13} v_{13} + d_{14} v_{14} - d_2 v_2 + d_1 v_1 + w = 0 \end{aligned} \quad (6.24)$$

În cazul, când liniarizarea se face prin logaritmare termenul liber se va calcula cu relația:

$$\frac{\rho}{M} (P_1 - P_2) = w_3; \quad M = \lg e = 0,434294 \quad (6.25)$$

în care :

$$\begin{aligned} P_1 &= \lg \sin \hat{5} \sin \hat{8} \sin \hat{11} \sin \hat{14} \sin \hat{1} \\ P_2 &= \lg \sin \hat{4} \sin \hat{7} \sin \hat{10} \sin \hat{13} \sin \hat{2} \end{aligned} \quad (6.26)$$

“ P_1 ” și “ P_2 ” se calculează folosind unghiurile măsurate.

Condiția de stație

Unul și același unghi măsurat cu stații diferite sau unghiul măsurat direct față de suma altor unghiuri măsurate direct, dar încadrate în acesta, trebuie să aibă aceleași valori.

De exemplu, în punctul “D” în care au fost măsurate direct unghiurile 11, 13, 16 trebuie să satisfacă egalitatea :

$$(\hat{11}) + (\hat{13}) = (\hat{16}) \quad (6.27)$$

Condiția de stație se satisface de obicei înainte de compensare.

De observat că în cele patru condiții arătate mai sus intră valorile unghiurilor măsurate fără participarea datelor inițiale. În acest fel pe baza acestor condiții se poate trage concluzia asupra calității măsurătorilor.

Luând în considerare și datele inițiale, acestea împreună cu unghiurile măsurate trebuie să satisfacă, în plus, într-o rețea de triangulație condițiile următoare :

Condiția de orientări

Dacă într-o rețea există două sau mai multe laturi ale căror orientări se cunosc, deci sunt definitive, atunci valorile acestor orientări obținute cu ajutorul unghiurilor din rețea trebuie să fie egale cu valorile definitive. Un caz particular al condiției orientărilor constă în aceea că suma sau diferența unor unghiuri măsurate trebuie să fie egală cu diferența orientărilor date. Acest caz particular mai poartă numele și de condiția de unghi fix.

Dacă de exemplu sunt cunoscute orientările “ θ_{BA} ” și “ θ_{BC} ”, atunci trebuie să existe satisfăcută egalitatea :

$$(\hat{1}) + (\hat{4}) = \theta_{BC} - \theta_{BA} \quad (6.28)$$

sau:

$$v_1 + v_4 + \underbrace{\hat{1} + \hat{4} - (\theta_{BC} - \theta_{BA})}_w = 0 \quad (6.29)$$

Condiția de baze

Dacă în rețea avem două sau mai multe laturi inițiale (baze), atunci valoarea calculată a uneia din ele cu utilizarea unghiurilor măsurate trebuie să fie egală cu valoarea dată.

De exemplu latura AB calculată pornind de la latura BC, trebuie să fie egală cu cea dată adică :

$$AB = \frac{\sin(\hat{6})}{\sin(\hat{5})} BF ; BF = \frac{\sin(\hat{2})}{\sin(\hat{3})} BC \quad (6.30)$$

de unde :

$$\frac{BC \sin(\hat{2}) \sin(\hat{6})}{AB \sin(\hat{3}) \sin(\hat{5})} = 1 \quad (6.31)$$

Pentru a scrie ecuația de baze, înlocuim unghiurile cele mai probabile cu unghiurile măsurate și corecțiile acestora :

$$\frac{BC \sin(\hat{2} + v_2) \sin(\hat{6} + v_6)}{AB \sin(\hat{3} + v_3) \sin(\hat{5} + v_5)} = 1 \quad (6.32)$$

Logaritmând relația (6.32) obținem:

$$\log BC + \log \sin(\hat{2} + v_2) + \log \sin(\hat{6} + v_6) - \{ \log AB + \log \sin(\hat{3} + v_3) + \log \sin(\hat{5} + v_5) \} = 0 \quad (6.33)$$

Se știe că :

$$\log x = \ln e \ln x = 0,434294 \ln x = M \ln x \quad (6.34)$$

deci:

$$M \{ \ln BC + \ln \sin(\hat{2} + v_2) + \ln \sin(\hat{6} + v_6) - M \{ \ln AB + \ln \sin(\hat{3} + v_3) + \ln \sin(\hat{5} + v_5) \} = 0 \quad (6.35)$$

Dezvoltând în serie și după grupări rezultă :

$$\begin{aligned} & \text{ctg } \hat{2} v_2 - \text{ctg } \hat{3} v_3 + \text{ctg } \hat{6} v_6 - \text{ctg } \hat{5} v_5 - \\ & - \rho^\omega \frac{v_{AB}}{AB} + \rho^{\omega\omega} \frac{v_{BC}}{BC} + \frac{\rho^{\omega\omega}}{M} (P_1 - P_2) = 0 \end{aligned} \quad (6.36)$$

în care:

$$\begin{aligned} P_1 &= \log BC \sin \hat{2} \sin \hat{6} \\ P_2 &= \log AB \sin \hat{3} \sin \hat{5} \end{aligned} \quad (6.37)$$

Notând:

$$\begin{aligned} \text{ctg } \hat{i} &= d_i; \quad \hat{i} = \hat{2}, \hat{3}, \hat{5}, \hat{6} \\ \frac{\rho^\omega}{M} (P_1 - P_2) &= w \end{aligned} \quad (6.38)$$

ecuația de baze se prezintă sub forma:

$$d_2 v_2 - d_3 v_3 - d_5 v_5 + d_6 v_6 + \rho^{\infty} \frac{v_{BC}}{BC} - \rho^{\infty} \frac{v_{AB}}{AB} + w = 0 \quad (6.39)$$

În cazul în care, laturile AB și BC se consideră fără erori, atunci erorile relative $\frac{v_{AB}}{AB}$ și $\frac{v_{BC}}{BC}$ sunt nule și în ecuația de mai sus termenii $\frac{v_{AB}}{AB}$, $\frac{v_{BC}}{BC}$ nu există.

Condiția de coordonate

Dacă în rețea avem date inițial puncte sau grupe de puncte situate separat unul de altul, adică neavând între ele o legătură definitivă, de exemplu punctele A, B, C și D, E, F (fig.6.2) atunci parcurgând cu calculele de la unul din punctele A, B sau C spre unul din punctele D, E sau F, trebuie obținute coordonatele definitive ale acestui punct.

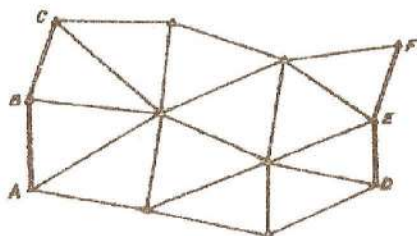


Fig.6.2. Rețea de triangulație cu constrângeri

Condițiile coordonatelor se creează și în cazul unei rețele discontinue de trianguliuri : exemplu un lanț închis de trianguliuri (fig.6.3):

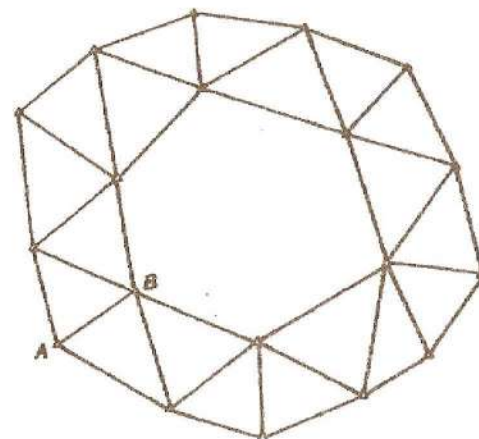


Fig.6.3. Lanț de trianguliuri închis

Pentru a arăta modul de scriere al ecuațiilor de orientări și de coordonate considerăm o rețea de triangulație de forma unui lanț de patrulater (fig.6.4):

În rețea sunt date coordonatele punctelor A, B, C, D și sunt măsurate unghiurile 1, 2, ..., 24.

Se constată că în rețea se pot forma ecuații de condiție de figură, de laturi, de baze, de orientări și de coordonate.

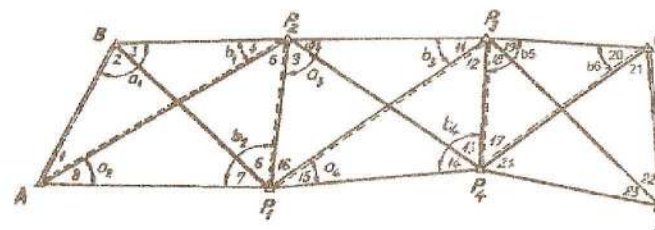


Fig.6.4. Lanț de patrulater

Ecuatia de condiție de orientări

Formarea acestei ecuații are la bază condiția geometrică de orientări, care constă în aceea că plecând de la orientarea cunoscută a uneia din laturi și folosind unghiurile măsurate, trebuie să se obțină orientarea cunoscută a celeilalte laturi. Din cauza erorilor inerente măsurărilor acest lucru nu se întâmplă, nepotrivirea reprezentând termenul liber al ecuației. Pentru aceasta se alege drumul cel mai scurt cu numărul cel mai mic de vârfuri.

Astfel pornind de la orientarea laturii AB (cunoscută din coordonate) se poate ajunge la orientarea laturii BC (cunoscută tot din coordonate) pe traseul AP_1P_4D .

Orientarea laturii DC va fi :

$$\theta_{DC} = \theta_{AB} + (\hat{1}) + (\hat{8}) + (\hat{7}) + (\hat{6}) + (\hat{16}) + (\hat{15}) + (\hat{13}) + (\hat{14}) + (\hat{17}) + (\hat{24}) + (\hat{22}) + (\hat{23}) - 3 \cdot 200^s \quad (6.40)$$

Înlocuind în egalitatea scrisă, unghiurile compensate cu valorile lor măsurate și corecțiile corespunzătoare și notând :

$$\hat{1} + \hat{8} + \hat{7} + \hat{6} + \hat{16} + \hat{15} + \hat{13} + \hat{14} + \hat{17} + \hat{24} + \hat{23} + \hat{22} - 3 \cdot 200 - (\theta_{DC} - \theta_{AB}) = w \quad (6.41)$$

obținem ecuația de condiție de orientări a cărei formă este :

$$v_1 + v_8 + v_7 + v_6 + v_{16} + v_{15} + v_{13} + v_{14} + v_{17} + v_{24} + v_{23} + v_{22} + w_5 = 0 \quad (6.42)$$

Ecuatia de condiție de coordonate

Dacă la compensarea unei rețele de triangulație s-au pus toate condițiile în afara celor de coordonate, se poate întâmpla să se ajungă la alte valori de coordonate față de cele cunoscute.

Pentru stabilirea ecuațiilor de condiție de coordonate se alege un traseu sprijinit cu unul din capete pe unul din punctele cu coordonatele cunoscute, iar calălalt capăt pe alt punct cu coordonatele de asemenea cunoscute.

În exemplul considerat plecând de la punctul "A" pentru a ajunge la punctul "C", se alege traseul punctat $AP_2P_1P_3P_4C$ care cuprinde toate punctele a căror coordonate trebuie determinate.

Ecuațiile de condiție de coordonate sunt în număr de două, una pe axa absciselor și una pe axa ordonatelor.

Folosind orientările și laturile stabilite prin intermediul unghiurilor compensate abscisa punctului "C" este dată de relația :

$$x_C = x_A + (s_{AP_2}) \cos(\theta_{AP_2}) + (s_{P_2P_1}) \cos(\theta_{P_2P_1}) + \dots + (s_{P_4C}) \cos(\theta_{P_4C}) \quad (6.43)$$

Intrucât :

$$(\theta_{AP_2}) = \theta_{AB} + \hat{1} + v_1 = \theta_{AP_2} + v_1$$

$$(\theta_{P_2P_1}) = \theta_{AB} + \hat{1} - \hat{5} + v_1 - v_5 - 200^s = \theta_{P_2P_1} + v_1 - v_5$$

$$(\theta_{P_4C}) = \theta_{P_4C} + v_1 - v_5 + v_{16} - v_{12} + v_{17}$$

$$(s_{AP_2}) = s_{AP_2} + v_{AP_2}$$

$$(s_{P_2P_1}) = s_{P_2P_1} + v_{P_2P_1}$$

$$\dots\dots\dots (6.44)$$

$$(s_{P_4C}) = s_{P_4C} + v_{P_4C}$$

în egalitatea lui "X_C" putem aplica formula cunoscută a dezvoltării în serie pentru o funcție cu mai multe variabile și obținem :

$$x_C = x_A + s_{AP_2} \cos \theta_{AP_2} + \dots + s_{P_4C} \cos \theta_{P_4C} +$$

$$+ \cos \theta_{AP_2} v_{AP_2} + \dots + \cos \theta_{P_4C} v_{P_4C} - \frac{1}{\rho^\infty} [(y_C - y_A) v_1 +$$

$$+ \dots + (y_C - y_{P_4}) v_{17}] \quad (6.45)$$

Abscisa punctului "C" calculată cu elementele măsurate este :

$$x'_C = x_A + s_{AP_2} \cos \theta_{AP_2} + \dots + s_{P_4C} \cos \theta_{P_4C} \quad (6.46)$$

Notăm :

$x'_C - x_C = w_x$ - neînchiderea punctului "C" pe "x" în milimetri

Rezultă deci, egalitatea :

$$\cos \theta_{AP_2} v_{AP_2} + \dots + \cos \theta_{P_4C} v_{P_4C} - \frac{1}{\rho^\infty} [(y_C - y_A) v_1 -$$

$$- (y_C - y_{P_2}) v_5 + \dots + (y_C - y_{P_4}) v_{17}] + w_x = 0 \quad (6.47)$$

Pentru calculul corecțiilor $v_{AP_2}, v_{P_2P_1}, \dots, v_{P_4C}$ procedăm astfel : se calculează laturile $AP_2, P_2P_1, \dots, P_4C$, aplicând teorema sinusului :

$$AP_2 = \frac{\sin a_1}{\sin b_1} AB$$

$$P_2P_1 = \frac{\sin a_1 \sin a_2}{\sin b_1 \sin b_2} AB$$

$$\dots\dots\dots$$

$$P_4C = \frac{\sin a_1 \dots \sin a_5}{\sin b_1 \dots \sin b_5} AB \quad (6.48)$$

S-a notat :

a_1, \dots, a_5 - unghiurile opuse laturilor ce urmează a se determina din triunghiuri

b_1, \dots, b_5 - unghiurile opuse laturilor de plecare.

Pe de altă parte putem scrie :

$$\frac{m \log x}{mx} = \Delta \quad (6.49)$$

sau :

$$\frac{d \log x}{dx} = \Delta = \frac{dM \ln x}{dx} = \frac{M \frac{dx}{x}}{dx} \quad (6.50)$$

deci :

$$\frac{M}{x} = \frac{m_{\log x}}{m_x} \quad (6.51)$$

$$m_x = \frac{x}{M} m_{\log x} \quad (6.52)$$

sau :

$$\Delta x = \frac{x}{M} \Delta \log x \quad (6.53)$$

$M \cong 0,4343$ modulul logaritmilor naturali

Pentru cazul nostru avem :

$$AP_2 = \frac{AP_2}{M} \Delta(\log \sin a_1 + \log AB - \log \sin b_1) \quad (6.54)$$

sau :

$$AP_2 = \frac{AP_2}{M} \left(\frac{d \log \sin a_1}{da_1} \Delta a_1 - \frac{d \log \sin b_1}{db_1} \Delta b_1 \right) \quad (6.55)$$

Considerând creșterile cu însăși corecțiile se poate scrie :

$$v_{AP_2} = \frac{AP_2}{M} \left(\frac{d \log \sin a_1}{da_1} v_{a_1} - \frac{d \log \sin b_1}{db_1} v_{b_1} \right) \quad (6.56)$$

Analog se stabilește :

$$v_{P_2P_1} = \frac{P_2P_1}{M} \left(\frac{d \log \sin a_1}{da_1} v_{a_1} + \frac{d \log \sin a_2}{da_2} v_{a_2} - \frac{d \log \sin b_1}{db_1} v_{b_1} - \frac{d \log \sin b_2}{db_2} v_{b_2} \right) \quad (6.57)$$

ș.a.m.d.

GEODEZIE

Revenind la unghiurile măsurate se pot utiliza notațiile :

$$\frac{d \log \sin a_1}{da_1} = \frac{d \log \sin(\hat{2} + \hat{3})}{d(\hat{2} + \hat{3})} = d_{2-3}$$

$$\frac{d \log \sin a_5}{da_5} = \frac{d \log \sin(\hat{18} + \hat{19})}{d(\hat{18} + \hat{19})} = d_{18-19} \quad (6.58)$$

$$v_{a_1} = v_{(2+3)} = v_2 + v_3$$

$$(6.59)$$

$$v_{a_5} = v_{(18+19)} = v_{18} + v_{19}$$

Aceleași relații se determină și pentru termenii în "b".

Cu aceste notații se poate scrie :

$$\begin{aligned} \cos \theta_{AP_2} v_{AP_2} + \dots + \cos \theta_{P_2C} v_{P_2C} &= \frac{AP_2 \cos \theta_{AP_2}}{M} [d_{2-3}(v_2 + v_3) - \\ &- d_4 v_4] + \frac{P_2P_1 \cos \theta_{P_2P_1}}{M} [d_{2-3}(v_2 + v_3) + d_8 v_8 - d_4 v_4 - \\ &- d_{6-7}(v_6 + v_7)] + \dots + \frac{P_4C \cos \theta_{P_4C}}{M} [d_{2-3}(v_2 + v_3) + d_8 v_8 + \\ &+ \dots + d_{18-19}(v_{18} + v_{19}) - d_4 v_4 - d_{6-7}(v_6 + v_7) - \dots - d_{20} v_{20}] \end{aligned} \quad (6.60)$$

Ecuția de condiție pe axa absciselor ia forma :

GEODEZIE

$$\begin{aligned}
& (x_C - x_A)d_{2-3}(v_2 + v_3) + (x_C - x_{P_2})d_8v_8 + \dots \\
& + (x_C - x_{P_4})d_{18-19}(v_{18} + v_{19}) - (x_C - x_A)d_4v_4 - \\
& - (x_C - x_{P_3})d_{6-7}(v_6 + v_7) - \dots - (x_C - x_{P_4})d_{20}v_{20} - \\
& - \frac{M10^6}{\rho^{\alpha}}[(y_C - y_A)v_1 - (y_C - y_{P_2})v_5 + \dots + \\
& + (y_C - y_{P_4})v_{17}] + Mw_x = 0
\end{aligned} \quad (6.61)$$

Analog ecuația de condiție pe axa ordonatelor se scrie :

$$\begin{aligned}
& (y_C - y_A)d_{2-3}(v_2 + v_3) + \dots + (y_C - y_{P_4})d_{18-19}(v_{18} + v_{19}) - \\
& - (y_C - y_A)d_4v_4 - \dots - (y_C - y_{P_4})d_{20}v_{20} - \frac{M10^6}{\rho^{\alpha}}[(x_C - x_A)v_1 - \\
& - (x_C - x_{P_2})v_5 + \dots + (x_C - x_{P_4})v_{17}] + Mw_y = 0
\end{aligned} \quad (6.62)$$

În ambele ecuații de corecții, termenii se ordonează după corecțiile "v".

Ecuația funcției de greutate

Pentru a cunoaște precizia cu care a fost determinată o latură a rețelei de triangulație se calculează eroarea relativă a laturii celei mai puțin precise considerată de regulă la mijlocul rețelei. În acest scop, în afara ecuațiilor de condiție arătate mai sus și necesare pentru compensare se mai formează o ecuație care se numește ecuația funcției de greutate.

Arătăm modul de formare al acestei ecuații considerând din nou rețeaua gen lanț de patrulaterare din figura precedentă

(fig.6.4) și admitem că cea mai slabă determinare ar fi pentru latura P_1P_3 .

A scrie ecuația funcției de greutate cu referire la latura P_1P_3 înseamnă a stabili mai întâi lungimea acesteia ca funcție de mărimile date și măsurate. În acest scop se pornește de la una din laturile cunoscute, pe traseul cu un număr mic de triunghiuri. Pornind de la latura AB avem :

$$(P_1P_3) = \frac{\sin[(\hat{2}) + (\hat{3})]\sin(\hat{8})\sin[(\hat{9}) + (\hat{10})]}{\sin(\hat{4})\sin[(\hat{6}) + (\hat{7})]\sin(\hat{11})} AB \quad (6.63)$$

În continuare, se stabilește creșterea logaritmului laturii P_1P_3 prin dezvoltarea în serie a logaritmilor factorilor din expresia de mai sus:

$$\begin{aligned}
\Delta \log P_1P_3 = & d_{2-3}(v_2 + v_3) - d_4v_4 + d_8v_8 - \\
& - d_{6-7}(v_6 + v_7) + d_{9-10}(v_9 + v_{10}) - d_{11}v_{11}
\end{aligned} \quad (6.64)$$

Relația 6.64, reprezintă ecuația funcției de greutate.

Ecuația se atașează la sistemul general de ecuații de condiții și se rezolvă pe coloana ponderilor simultan cu sistemul de ecuații normale. Va rezulta ponderea funcției de greutate Q_f după relația :

$$Q_f = [ffr] \quad (6.65)$$

în care :

r - numărul total de ecuații de condiție

$$v_i = a_i k_1 + b_i k_2 + \dots + r_i k_r; i = 1, 2, \dots, n \quad (6.73)$$

Calculul coordonatelor punctelor de triangulație

Calculul complet al unei rețele de triangulație se finalizează cu stabilirea valorilor care definesc poziția în plan a punctelor ce formează rețeaua, deci cu calculul coordonatelor "x", "y" al acestora.

Pentru aceasta, după ce direcțiile măsurate au fost reduse în planul de proiecție, iar unghiurile stabilite din direcții, corectate (compensate) conform cu condițiile geometrice ce trebuie să le îndeplinească rețeaua de triangulație; se procedează la calculul orientărilor, laturilor și în cele din urmă la calculul coordonatelor.

Modul de calcul al elementelor arătate nu diferă de cel cunoscut în cadrul cursului de Topografie generală și aplicat în rețele de triangulație de ordin inferior.

Dacă de exemplu, considerăm rețeaua de triangulație de forma unui lanț de patrulatere (fig.6.4), cu privire la latura AP_2 putem scrie :

$$\begin{aligned} \theta_{AP_2} &= \theta_{AB} + (\hat{1}) \\ AP_2 &= \frac{AB}{\sin(\hat{4})} \sin[(\hat{2}) + (\hat{3})] \end{aligned} \quad (6.74)$$

și cu acestea :

$$\begin{aligned} x_{P_2} &= x_A + AP_2 \cos \theta_{AP_2} \\ y_{P_2} &= y_A + AP_2 \sin \theta_{AP_2} \end{aligned} \quad (6.75)$$

În mod analog se procedează în continuare pentru calculul coordonatelor punctelor P_1, P_3, P_4 .

6.5. Stabilirea condițiilor geometrice pentru rețele închise

Considerăm rețeaua de triangulație subordonată închisă (fig.6.5.).

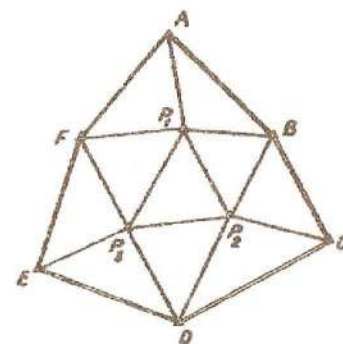


Fig.6.5. Rețea de triangulație închisă

Toate vizele din rețea sunt duble, iar punctele A, B, C, ..., F sunt date.

Aplicând relațiile de calcul a condițiilor geometrice prezentate, anterior rezultă :

- 10 ecuații de figură;
- 3 ecuații de tur de orizont;
- 6-1=5 ecuații de unghi fix;
- 3 ecuații de poli;
- (6-1)-2=3 ecuații de baze.

TOTAL 24 ecuații

Observații:

În unele cazuri condițiile de poli pot fi înlocuite cu cele de baze și invers.

În exemplul de mai sus în loc de trei condiții de baze și trei poli se pot lua, o condiție de poli și cinci de baze.

La rețelele de triangulație închise, față de numărul ecuațiilor stabilit cu relațiile prezentate anterior, se scad o ecuație unghiulară și două ecuații de laturi, deoarece ar rezulta un surplus de ecuații care ar duce la o nedeterminare.

6.6. Stabilirea ecuațiilor de erori pentru o rețea dependentă

Se presupune că la fiecare din rețelele luate în studiu punctele și direcțiile sunt reprezentate în plan pentru un sistem de proiecție oarecare, cilindric sau stereografic.

Deasemenea ecuațiile de condiție se vor scrie pentru cazul în care compensarea se realizează pe unghiuri și nu pe direcții.

Pentru scrierea ecuațiilor de condiție (ecuații de corecții) considerăm mai întâi cazul rețelei de triangulație din fig. 6.6.

În acest caz vor exista ecuații de figură, de tur de orizont, de laturi, de baze și de unghi fix:

$$r = \omega - 2p + 4 = 20 - 2 \cdot 7 + 4 = 10$$

$$w_1 = l_1 - p_1 + l = 13 - 7 + 1 = 7$$

$$W_2 = 1$$

$$s = l - 2p + 3 = 13 - 2 \cdot 7 + 3 = 2$$

$$r = w_1 + w_2 + s = 7 + 1 + 2 = 10$$

$$n_p = N_p - 12 - 1 = 1$$

$$n_b = N_b - 1 = 2 - 1 = 1$$

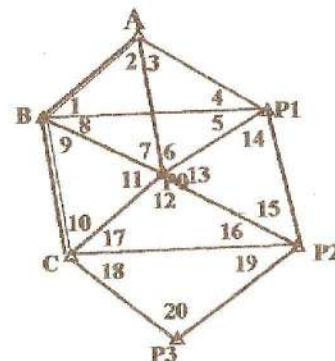


Fig 6.6. Rețea de triangulație dependentă

Ecuațiile de figură:

$$v_1 + v_2 + v_3 + v_4 + w_1 = 0$$

$$v_1 + v_2 + v_7 + v_8 + w_2 = 0$$

$$v_3 + v_4 + v_5 + v_6 + w_3 = 0$$

$$v_{13} + v_{14} + v_{15} + w_4 = 0$$

$$v_{12} + v_{16} + v_{17} + w_5 = 0$$

$$v_9 + v_{10} + v_{11} + w_6 = 0$$

$$v_{18} + v_{19} + v_{20} + w_7 = 0$$

în care :

" w_i " se calculează ca o diferență dintre suma unghiurilor în triunghiurile menționate mai sus și 200^g .

Ecuția de punct central:

$$v_6 + v_7 + v_{11} + v_{12} + v_{13} + w_8 = 0$$

în care:

$$w_8 = \hat{6} + \hat{7} + \hat{11} + \hat{12} + \hat{13} - 400^g$$

Ecuția de de unghi fix:

$$v_1 + v_8 + v_9 + w_9 = 0$$

în care:

$$w_9 = \hat{1} + \hat{8} + \hat{9} - (\theta_{BC} - \theta_{BA})$$

Ecuția de pol sau de laturi:

$$d_8 v_8 - d_5 v_5 + d_{14} v_{14} - d_{16} v_{16} - d_{17} v_{17} + d_{10} v_{10} - d_9 v_9 + w_{10} = 0$$

în care:

$$w_{10} = \frac{\rho^\infty}{M} (P_1 - P_2)$$

$$P_1 = \lg \sin \hat{8} \sin \hat{14} \sin \hat{16} \sin \hat{110}$$

$$P_2 = \lg \sin \hat{5} \sin \hat{15} \sin \hat{17} \sin \hat{9}$$

$$d_1 v_1 - d_2 v_2 + d_3 v_3 - d_4 v_4 + d_5 v_5 - d_6 v_6 + d_7 v_7 - d_8 v_8 + w_{11} = 0$$

unde :

GEODEZIE

$$w_{11} = \rho^\infty \left(1 - \frac{P_2}{P_1} \right)$$

$$P_1 = \sin \hat{1} \sin \hat{3} \sin \hat{5} \sin \hat{7}$$

$$P_2 = \sin \hat{2} \sin \hat{4} \sin \hat{6} \sin \hat{8}$$

Ecuția de baze:

$$d_{11} v_{11} - d_{10} v_{10} + d_2 v_2 - d_7 v_7 + \rho^\infty \frac{v_{AB}}{AB} - \rho^\infty \frac{v_{BC}}{BC} + w_{12} = 0$$

$$w_{12} = \rho^\infty \left(1 - \frac{P_2}{P_1} \right)$$

$$P_1 = AB \sin \hat{1} \sin \hat{2}$$

$$P_2 = BC \sin \hat{10} \sin \hat{7}$$

Formarea ecuațiilor normale și calculul corecțiilor

Din teoria măsurătorilor condiționate rezultă că, numărul total de condiții geometrice ce trebuie să le îndeplinească o rețea de triangulație, determină un număr corespunzător de ecuații de condiții.

Aceste ecuații, alcătuiesc sistemul ecuațiilor de erori, a cărui formă generală este :

$$a_1 v_1 + a_2 v_2 + \dots + a_{20} v_{20} + w_1 = 0$$

$$b_1 v_1 + b_2 v_2 + \dots + b_{20} v_{20} + w_2 = 0$$

GEODEZIE

$$l_1 v_1 + l_2 v_2 + \dots + l_{20} v_{20} + w_{12} = 0$$

Punând condiția de minim:

$$[vv] = \text{minim}$$

se obține sistemul normal de ecuații:

$$[aa]k_1 + [ab]k_2 + \dots + [al]k_{12} + w_1 = 0$$

$$[bb]k_2 + \dots + [bl]k_{12} + w_2 = 0$$

$$[ll]k_{12} + w_{12} = 0$$

Prin rezolvarea sistemului normal de ecuații rezultă corelatele k_1, k_2, \dots, k_{12} , cu ajutorul cărora se calculează corecțiile:

$$v_i = a_i k_1 + b_i k_2 + \dots + l_i k_{12} \quad i = 1, 2, \dots, 20$$

și în final se calculează valoarea cea mai probabilă a unghiurilor:

$$(\hat{1}) = \hat{1} + v_1, (\hat{2}) = \hat{2} + v_2, \dots, (\hat{20}) = \hat{20} + v_{20}$$

6.7. Cazuri particulare de rețele de triangulație

Cunoscute sub numele de încadrări de puncte geodezice noi în elemente geodezice fixe, aceste cazuri particulare sunt frecvent întâlnite în rețelele de triangulație existente.

Ansamblul de puncte noi și vechi cu direcțiile de legătură măsurate, formează o rețea de triangulație simplă, care se rezolvă utilizând teoria măsurătorilor condiționate.

Se vor analiza în cele ce urmează câteva cazuri de încadrări de puncte geodezice noi, sau rețele de puncte noi în elemente geodezice fixe.

Analiza constă în stabilirea numărului de condiții geometrice și formarea ecuațiilor de erori pentru fiecare caz în parte.

În rest, rezolvarea sistemului format din ecuațiile de erori, compensarea unghiurilor, calculul orientărilor, laturilor și coordonatelor punctelor noi, reprezintă etape de calcul care nu diferă de metoda cunoscută, fapt pentru care nu va face obiectul viitoarelor încadrări.

6.7.1. Încadrarea unui punct staționabil într-un unghi fix

a. Punctul de încadrat staționabil :

Fie unghiul fix ABC format din direcțiile fixe BA și BC și un punct staționabil „ P_0 ” situat în interiorul acestui unghi. (fig. 6.7).

Elementele date în rețeaua formată de punctele A, B, C, P_0 sunt coordonatele punctelor A, B, C.

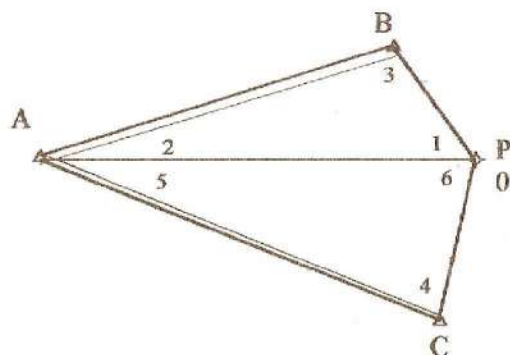


Fig.6.7.Incadrarea unui punct într-un unghi fix

Elementele măsurate sunt unghiurile notate cu 1, 2, ..., 6 (stabilite din direcțiile măsurate în fiecare punct de stație). Se pune problema compensării unghiurilor obținute din măsurători astfel încât acestea să satisfacă condițiile geometrice.

Pentru compensare se stabilește numărul condițiilor geometrice, mai întâi, considerând rețeaua independentă, după care se adaugă condițiile ce sunt impuse de legătura cu punctele vechi ale acestei rețele.

Rezultă :

$$w_1 = l_1 - p_1 + 1 = 5 - 4 + 1 = 2$$

$$w_2 = 0$$

$$s = 1 - 2p + 3 = 5 - 8 + 3 = 0$$

$$\text{Total } r = w - 2p + 4 = 6 - 8 + 4 = 2$$

La condițiile geometrice stabilite pentru rețele independente se adaugă condițiile pentru rețele constrânse, care se prezintă sub forma:

- $n_\theta = N_\theta - 1 = 2 - 1 = 1$ ecuații de orientări (în cazul nostru de unghi fix)
- $n_b = N_b - 1 = 2 - 1 = 1$ ecuații de bază
-

Conform cu numărul condițiilor geometrice stabilite, ecuațiile de erori sunt :

$$v_1 + v_2 + v_3 + w_1 = 0$$

$$v_4 + v_5 + v_6 + w_2 = 0$$

$$v_2 + v_5 + w_3 = 0$$

$$d_1 v_1 - d_3 v_3 + d_4 v_4 - d_6 v_6 + w_4 = 0$$

în care :

$$w_1 = \hat{1} + \hat{2} + \hat{3} - 200^\circ$$

$$w_2 = \hat{4} + \hat{5} + \hat{6} - 200^\circ$$

$$w_3 = \hat{2} + \hat{5} - (\theta_{BC} - \theta_{BA})$$

$$w_4 = \frac{\rho''}{M} \log \frac{BC \sin \hat{1} \sin \hat{4}}{AB \sin \hat{3} \sin \hat{6}}$$

6.7.2. Incadrarea unui punct nestaționabil într-un unghi fix

Acesta se deosebește de precedentul prin aceea că punctul „ P_0 ” nu este staționabil și în consecință unghiurile din acest punct nu se pot măsura. (fig. 6.8).

Aplicând relațiile cunoscute s-a stabilit numărul condițiilor geometrice, după cum urmează:

$$w_1 = l_1 - p_1 + 1 = 2 - 3 + 1 = 0$$

$$w_2 = 0$$

$$s = 1 - 2p + 3 = 5 - 8 + 3 = 0$$

$$n_\theta = N_\theta - 1 = 2 - 1 = 1$$

$$n_b = N_b - 1 = 2 - 1 = 1$$

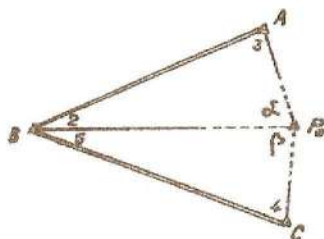


Fig 6.8 Incadrarea unui punct nestaționabil

Pentru condițiile stabilite se scriu ecuațiile de erori:

$$v_2 + v_5 + w_1 = 0$$

$$d_{2-3}v_2 + d_{2-3}v_3 - d_{3-4}v_3 + d_{4-5}v_4 - d_{4-5}v_5 + w_2 = 0$$

în care :

$$w_1 = \hat{2} + \hat{5} - (\theta_{BC} - \theta_{BA})$$

$$w_2 = \frac{\rho^\infty}{M} \log \frac{\sin(\hat{2} + \hat{3}) \sin \hat{4}}{\sin \hat{3} \sin(\hat{4} + \hat{5})}$$

6.7.3. Incadrarea unui punct într-un triunghi fix

Fie triunghiul construit din punctele date A, B, C și un punct „ P_0 ” ce urmează a fi încadrat. (fig. 6.9).

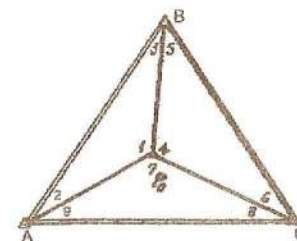


Fig 6.9. Incadrarea unui punct într-un triunghi închis

În cazul în care punctul „ P_0 ” este staționabil, unghiurile măsurate sunt în număr de 9, notate conform figurii (6.9).

Dacă ținem seama de faptul că punctul „ P_0 ” se află în interiorul conturului poligonal închis ABC, numărul condițiilor geometrice ce trebuie să le îndeplinească rețeaua este :

$$w_1 = l_1 - p_1 + 1 = 6 - 4 + 1 = 3$$

$$w_2 = 1$$

$$s = 1 - 2p + 3 = 6 - 8 + 3 = 1$$

$$\text{Total } r = w - 2p + 4 = 9 - 8 + 4 = 5$$

la care se adaugă condițiile de orientări (unghi fix), din care se scade o condiție unghiulară și 2 condiții liniare :

$$n_\theta = N_\theta - 1 = 2$$

$$n_b = N_b - 1 - 2 = 0$$

Aceste condiții conduc la următorul sistem de erori :

$$v_1 + v_2 + v_3 + w_1 = 0$$

$$v_4 + v_5 + v_6 + w_2 = 0$$

$$v_7 + v_8 + v_9 + w_3 = 0$$

$$v_1 + v_4 + v_7 + w_4 = 0$$

$$v_2 + v_9 + w_5 = 0$$

$$v_3 + v_5 + w_6 = 0$$

$$d_2 v_2 - d_3 v_3 + d_5 v_5 - d_6 v_6 + d_8 v_8 - d_9 v_9 + w_7 = 0$$

Modul de calcul al termenilor liberi este analog cu cel prezentat în cazurile precedente.

Problema poate fi tratată și pentru cazul când, punctul „ P ” este nestaționabil. Lipsind unghiurile de centru vor exista numai trei condiții de unghi fix și o condiție de laturi sau de pol.

6.7.4. Incadrarea unui lanț de triunghiuri într-un unghi fix

Fie unghiul fix ABC și lanțul de triunghiuri ABP_1P_2C cu punctele ce urmează a se determina „ P_1 ” și „ P_2 ”. Pentru acest caz trebuie îndeplinite trei condiții de figură, o condiție de unghi fix și o condiție de baze. (fig. 6.10).

Ecuatiile de erori corespunzătoare condițiilor geometrice au forma:

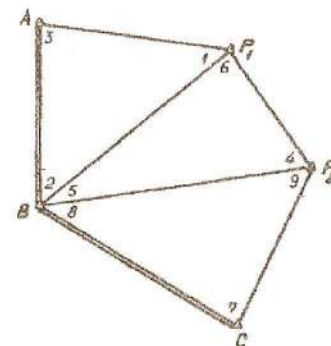


Fig. 6.10. Incadrarea unei rețele într-un unghi fix

$$v_1 + v_2 + v_3 + w_1 = 0$$

$$v_4 + v_5 + v_6 + w_2 = 0$$

$$v_7 + v_8 + v_9 + w_3 = 0$$

$$v_2 + v_5 + v_8 + w_4 = 0$$

$$d_1 v_1 - d_3 v_3 + d_4 v_4 - d_6 v_6 + d_7 v_7 - d_9 v_9 + w_5 = 0$$

în care :

$$w_1 = \hat{1} + \hat{2} + \hat{3} - 200^g$$

$$w_2 = \hat{4} + \hat{5} + \hat{6} - 200^g$$

$$w_3 = \hat{7} + \hat{8} + \hat{9} - 200^g$$

$$w_4 = \hat{2} + \hat{5} + \hat{8} - (\theta_{BC} + \theta_{AB})$$

$$w_5 = \frac{\rho^{\infty}}{M} \log \frac{BC \sin \hat{1} \sin \hat{4} \sin \hat{7}}{AB \sin \hat{3} \sin \hat{6} \sin \hat{9}}$$

Problema se tratează similar pentru cazul când, punctele „ P_1 ” și „ P_2 ” sunt nestaționabile.

6.7.5. Incadrarea a două patrulatere într-un unghi fix

Considerăm patrulaterele ABP_2P_1 și BCP_3P_2 situate în interiorul unghiului fix ABC. (fig. 6.11).

Ca și în cazurile precedente determinăm numărul condițiilor geometrice pe care trebuie să le îndeplinească rețeaua cu ajutorul relațiilor cunoscute și obținem :

- 6 condiții de figură;
- 2 condiții de laturi;
- 1 condiție de unghi fix;
- 1 condiție de baze.

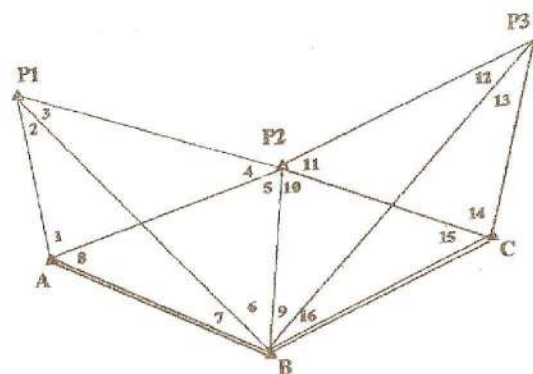


Fig. 6.11. Incadrarea a două patrulatere într-un unghi fix

Scriind ecuațiile corespunzătoare se formează sistemul :

$$v_1 + v_2 + v_3 + v_4 + w_1 = 0$$

$$v_5 + v_6 + v_7 + v_8 + w_2 = 0$$

$$v_9 + v_{10} + v_{11} + v_{12} + w_3 = 0$$

$$v_{13} + v_{14} + v_{15} + v_{16} + w_4 = 0$$

$$v_3 + v_4 + v_5 + v_6 + w_5 = 0$$

$$v_{11} + v_{12} + v_{13} + v_{14} + w_6 = 0$$

$$v_6 + v_7 + v_9 + v_{16} + w_7 = 0$$

$$d_1 v_1 - d_2 v_2 + d_3 v_3 - d_4 v_4 + d_8 v_8 - d_5 v_5 + d_6 v_6 - d_7 v_7 + w_8 = 0$$

$$d_9 v_9 - d_{10} v_{10} + d_{11} v_{11} - d_{12} v_{12} + d_{13} v_{13} - d_{14} v_{14} + d_{15} v_{15} - d_{16} v_{16} + w_9 = 0$$

$$d_5 v_5 - d_8 v_8 + d_{15} v_{15} - d_{10} v_{10} + w_{10} = 0$$

în care :

$$w_1 = \hat{1} + \hat{2} + \hat{3} + \hat{4} - 200^s$$

$$w_2 = \hat{5} + \hat{6} + \hat{7} + \hat{8} - 200^s$$

$$w_3 = \hat{9} + \hat{10} + \hat{11} + \hat{12} - 200^s$$

$$w_4 = \hat{13} + \hat{14} + \hat{15} + \hat{16} - 200^s$$

$$w_5 = \hat{3} + \hat{4} + \hat{5} + \hat{6} - 200^s$$

$$w_6 = \hat{11} + \hat{12} + \hat{13} + \hat{14} - 200^s$$

$$w_7 = \hat{7} + \hat{6} + \hat{9} + \hat{16} - (\theta_{BC} + \theta_{AB})$$

$$w_8 = \rho^{\infty} \left(1 - \frac{P_2}{P_1} \right)$$

unde:

$$P_1 = \sin \hat{1} \sin \hat{3} \sin \hat{5} \sin \hat{7}; P_2 = \sin \hat{2} \sin \hat{4} \sin \hat{6} \sin \hat{8}$$

$$w_9 = \rho^{\infty} \left(1 - \frac{P_2}{P_1} \right)$$

unde:

$$P_1 = \sin \hat{9} \sin \hat{11} \sin \hat{13} \sin \hat{15}; P_2 = \sin \hat{10} \sin \hat{12} \sin \hat{14} \sin \hat{16}$$

$$w_{10} = \frac{\rho^{\infty}}{M} \lg \frac{BC \sin \hat{1} \sin \hat{4} \sin \hat{7}}{AB \sin \hat{3} \sin \hat{6} \sin \hat{9}}$$

7. NIVELMENTUL GEODEZIC

Nivelmentul geodezic se referă la determinarea înălțimii unor puncte, situate pe suprafața terestră, amplasate la distanțe mari unele de altele și ca atare va lua în considerare neparalelismul între suprafețele de nivel, și de asemenea corecțiile de sfericitate și refracție.

În funcție de instrumentele utilizate la determinarea diferențelor de nivel, diferențe cu ajutorul cărora se calculează înălțimile punctelor, nivelmentul geodezic se clasifică în: nivelment geometric, realizat cu ajutorul nivelelor, și nivelment trigonometric realizat cu ajutorul teodolitelor. În acest capitol nu se vor face referiri la celelalte metode de determinare a altitudinii (cotelor) punctelor, precum nivelmentul barometric, nivelmentul hidrostatic etc.

Înainte de a trece la tratarea efectivă a nivelmentului geodezic se va face o prezentare succintă a sistemelor de altitudini utilizate în geodezie.

7.1. Sisteme de altitudini

În funcție de suprafața de referință utilizată și semnificația geometrică sau fizică, prin care se descrie poziția punctelor pe suprafața terestră, sistemele de altitudini se clasifică în:

- dinamice;
- ortometrice;
- normale;
- elipsoidale.

7.1.1. Sistemul de altitudini dinamice

Altitudinea dinamică a unui punct (H^D), noțiune introdusă de Helmert în 1873, reprezintă raportul dintre diferența de potențial a două suprafețe de nivel, la valoarea gravității normale pentru latitudinea de 45° , raportată la elipsoidul de referință.

Diferența de potențial, luată cu semn schimbat, se referă la o suprafață de nivel oarecare, care trece prin punctul „P” și suprafața de nivel zero care trece prin punctul „O” situat pe geoid. Relația de calcul se prezintă sub forma:

$$H_P^D = \frac{-\int_O^P dW}{\gamma_{45^\circ}} = \frac{-(W_P - W_O)}{\gamma_{45^\circ}} = \frac{C_P}{\gamma_{45^\circ}} \quad (7.1)$$

unde :

W_O – potențialul geoidului ($W_O = 6263686 \pm 3$). $10 \text{ m}^2 \text{ s}^{-2}$);

W_P – potențialul suprafeței de nivel care trece prin punctul „P”.

Diferența dintre $-(W_P - W_O)$ se numește **numărul geopotențial** (C_P) al punctului „P”, noțiune introdusă în anul 1955 de către Asociația Internațională a Geodezilor.

Numărul geopotențial al unui punct situat pe suprafața terestră reprezintă diferența negativă dintre potențialul suprafeței de nivel care trece prin punctul considerat și potențialul geoidului.

Din punct de vedere dimensional altitudinile dinamice sunt exprimate în metri, însă ele nu au semnificația geometrică, de a reprezenta înălțimea de la o anumită suprafață la punctul considerat.

Altitudinile dinamice păstrează semnificația fizică generală de împărțire a numerelor potențiale cu o valoare constantă aleasă în mod convențional.

Cotele dinamice se caracterizează printr-o proprietate deosebită și anume: *punctele situate pe o anumită suprafață de nivel au aceleași cote dinamice*

Pentru două puncte „A” și „B” diferența de nivel dinamică poate fi scrisă sub forma:

$$\Delta H_{AB}^D = H_B^D - H_A^D = \frac{1}{\gamma_{45^\circ}} (C_B - C_A) \quad (7.2)$$

sau ținând seama de ecuația fundamentală se poate scrie:

$$\Delta H_{AB}^D = \frac{1}{\gamma_{45^\circ}} \int_A^B g dh \quad (7.3)$$

În continuare relația se poate transforma:

$$\Delta H_{AB}^D = \frac{1}{\gamma_{45^\circ}} \int_A^B (g - \gamma_{45^\circ} + \gamma_{45^\circ}) dh = \int_A^B dh + \int_A^B \frac{g - \gamma_{45^\circ}}{\gamma_{45^\circ}} dh \quad (7.4)$$

Efectuând notațiile:

$$\Delta h_{AB} = \int_A^B dh = \sum_A^B dh \quad (7.5)$$

$$\delta_{AB}^D = \int_A^B \frac{g - \gamma_{45^\circ}}{\gamma_{45^\circ}} dh \approx \sum_A^B \frac{g - \gamma_{45^\circ}}{\gamma_{45^\circ}} dh \quad (7.6)$$

relația 7.4 devine:

$$\Delta H_{AB}^D = \Delta h_{AB} + \delta_{AB}^D \quad (7.7)$$

unde:

Δh_{AB} - diferența de nivel măsurată;

δ_{AB}^D - corecția dinamică pe traseul AB.

Sistemul de cote dinamice a stat la baza creării rețelei de nivelment din Europa de vest.

7.1.2. Sistemul de altitudini ortometrice

În cazul cotelor ortometrice suprafața de referință este geoidul (noțiune introdusă de Listing în anul 1873), iar altitudinea ortometrică (H_p^{OR}) este segmentul liniei de forță cuprins între poziția punctului „P” de pe suprafața terestră și proiecția sa „P₀” pe geoid (fig. 7.1).

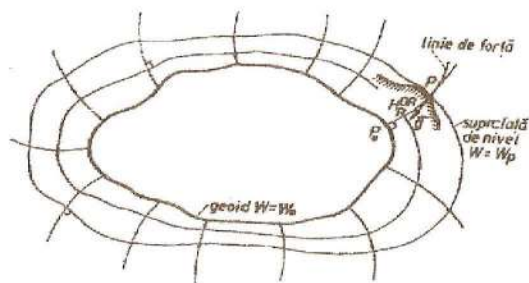


Fig. 7.1. Suprafețe de nivel

Geoidul este o suprafață de nivel echipotențială, care are proprietatea, că în oricare din punctele sale, direcția liniilor de forță este perpendiculară pe această suprafață. Tangenta la

linia de forță într-un punct „P” dă direcția gravitației „ \vec{g} ”, materializată de poziția firului cu plumb. Geoidul este definit uzual ca suprafața medie a mărilor și oceanelor prelungită imaginar pe sub continente.

Conform teoriei potențialului în orice punct din spațiu se poate scrie *ecuația fundamentală*:

$$dW = -g dh, \quad (7.8)$$

Prin această ecuație se stabilește dependența dintre depărtarea „dh” și diferența de potențial „dW” existentă între două suprafețe de nivel infinit apropiate.

Din relația (7.8) rezultă:

$$dh = -\frac{dW}{g} \quad (7.9)$$

sau:

$$\int_0^{H_p^{OR}} dh = -\int_{W_0}^{W_p} \frac{dW}{g} \quad (7.10)$$

integrând se obține:

$$H_p^{OR} = \frac{-(W_p - W_0)}{g_m} = \frac{C_p}{g_m} \quad (7.11)$$

Prin „ \bar{g}_m ” s-a notat valoarea medie a gravitației în lungul liniei de forță.

În funcție de (7.11) se poate spune că *altitudinea ortometrică* „ H^{OR} ” se obține prin împărțirea numărului geopotential la valoarea medie a gravității în lungul liniei de forță.

După Moldoveanu [13] valoarea medie a gravității este dată de relația:

$$\bar{g}_P = g_P + 0.0424 H_P^{OR} \quad (7.12)$$

unde:

g_P – valoarea gravității măsurată la nivelul punctului „P”.

7.1.2.1. Neparalelismul suprafețelor de nivel

În cadrul nivelmentului geometric s-a admis ipoteza că suprafețele de nivel sunt concentrice și paralele între ele. Dacă acest lucru este posibil pentru zone restrânse, nu mai este posibil pentru zone mari, din domeniul Geodeziei. Este cunoscut, că atât suprafața de nivel zero (geoidul), cât și suprafețele de nivel gravitaționale au forma convențională de elipsoid. Suprafețele acestor elipsoizi nu sunt paralele, după cum se va vedea în continuare.

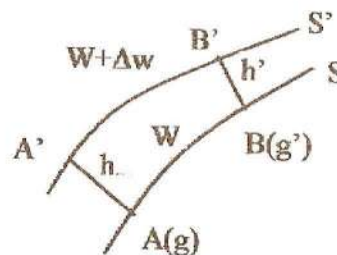


Fig. 7.2. Secțiune prin două suprafețe de nivel

Deoarece suprafețele de nivel sunt suprafețe echipotențiale, diferența de potențial dintre două suprafețe de nivel este o mărime constantă. Rezultă că, creșterea de potențial (de lucru mecanic) nu depinde de drumul parcurs pentru trecerea unui punct de pe o suprafață de nivel pe alta.

Considerând două suprafețe de nivel gravitaționale apropiate „S” și „S'” și două traiectorii ortogonale AA' și BB' reprezentând direcțiile verticalelor (fig. 7.2), atunci lungimile segmentelor pe verticale AA' = h și BB' = h' le considerăm rectilinii, deși în realitate sunt ușor curbilinii.

Utilizând lucru mecanic al forței de greutate, pentru o masă unitară, se poate afirma, că aceasta nu depinde de drum atunci când ne deplasăm din punctul „A” în punctul B'. Astfel se poate scrie:

$$L_{AA'B} = L_{ABB'} \quad (7.13)$$

dar:

$$L_{AA'B} = L_{AA'} + L_{A'B}$$

$$L_{ABB'} = L_{AB} + L_{BB'}$$

Având în vedere că lucrul mecanic (creșterea de potențial) este egal cu intensitatea forței înmulțită cu deplasarea și că pe o suprafață de nivel este nul, rezultă:

$$\begin{aligned} L_{AA'} &= gh & L_{A'B} &= 0 \\ L_{AB} &= 0 & L_{BB'} &= g'h' \end{aligned} \quad (7.14)$$

S-a notat cu „g” și „g'” intensitatea forței de greutate în punctele „A” și „B”, iar cu „h” și „h'” depărtările dintre cele două suprafețe de nivel în dreptul punctelor anterior menționate.

Conform relației (7.8) se poate scrie:

$$dW = gh = -g'h' \quad (7.15)$$

sau:

$$h = \frac{dW}{g}; \quad h' = \frac{dW}{g'}; \quad (7.16)$$

Cum însă intensitățile forțelor de greutate sunt diferite în puncte diferite, deci $g \neq g'$ rezultă că și $h \neq h'$.

Din măsurătorile gravimetrice se cunoaște că „g” variază cu latitudinea. și considerând $g = \gamma$, formula gravității normale stabilită de Clairaut are forma:

$$\gamma_0 = \gamma_e (1 + \beta \sin^2 \varphi - \beta_1 \sin^2 2\alpha) \quad (7.17)$$

unde:

γ_e - gravitatea normală la ecuator;

γ_0 - gravitatea normală în punctul de latitudine „B”;

φ - latitudinea într-un punct oarecare;

β - turtirea gravimetrică (f^*), care se calculează, după Clairaut, cu relația:

$$\beta = \frac{\gamma_p - \gamma_e}{\gamma_e} \quad (7.18)$$

unde:

γ_p - gravitatea normală la pol;

α - turtirea elipsoidului ($\alpha = \frac{a-b}{a}$);

a, b - semiaxa mare și respectiv mică a elipsoidului.

$$\beta_1 = \frac{\alpha^2}{8} + \frac{\alpha\beta}{4} \quad (7.19)$$

Observație: În capitolul de Geodezie elipsoidală pentru latitudinea geodezică s-a utilizat notația „B”, iar pentru turtirea elipsoidului notația „f”.

Gravitatea normală dă valori care se referă la suprafața elipsoidului de rotație ales.

Pentru a calcula mărimea „g” a gravității normale la anumite înălțimi „H” de la elipsoid - înălțime luată pe direcția normalei la suprafața acestuia în punctul respectiv, se aplică relația:

$$g = g_0 + \frac{\partial g}{\partial h} H \quad (7.20)$$

în care:

$\frac{\partial g}{\partial h}$ - gradientul vertical al gravității normale,

($\frac{\partial g}{\partial h} = -0,0848 \text{ gal/km}$);

H - înălțimea deasupra elipsoidului.

Semnul minus al gradientului vertical al gravității arată că la o creștere a înălțimii „H” deasupra elipsoidului, corecția va fi negativă, adică la o mărire a distanței de centrul de greutate al Pământului gravitatea scade.

Valorile gravității normale sunt diferite în funcție de elipsoidul de referință considerat, astfel pentru elipsoidul internațional 1967, avem:

$$g_e = 978,0318456 \text{ gal};$$

$$g_p = 983,2177279 \text{ gal}$$

Deoarece, când mergem pe suprafața geoidului (sau pe altă suprafață de nivel gravitațională) de la ecuator la poli, gravitatea normală „g” crește, rezultă că valoarea depărtării „h” dintre cele două suprafețe de nivel va descrește.

Suprafețele de nivel gravitaționale sunt mai apropiate între ele la pol decât la ecuator. Creșterea relativă a gravității normale fiind de aproximativ 5 ‰, când „φ” crește de la 0° la 90°, rezultă o descreștere tot de 5 ‰ a depărtării „h”.

Cum depărtările „h” considerate față de suprafața de referință reprezintă tocmai cotele ortometrice, rezultă că o suprafață de nivel oarecare are la ecuator cota ortometrică egală cu 1000 m, aceeași suprafață va avea la pol cota ortometrică egală cu 995 m.

Se observă o deosebire netă privind modul de stabilire a cotelor ortometrice, în comparație cu cele cunoscute la Topografie, când suprafețele de nivele se considerau plane sau sferice.

Intrucât nivelmetrele realizează linii de viză într-un plan orizontal, se impune introducerea unor corecții pentru a realiza trecerea de la mărimile măsurate după plane orizontale paralele la mărimi corespunzătoare suprafețelor de nivel elipsoidale și neparalele.

Presupunem că se execută un nivelment geometric între două puncte „A” și „B” pentru a se stabili diferența de nivel dintre aceste puncte.

Considerând traseul mai sus menționat împărțit în niveleurile 12, 23, ..., iar diferențele de nivel corespunzătoare notate cu $\Delta z_{12}, \Delta z_{23}, \dots$, respectiv lecturile înapoi notate cu „r” și cu „v” lecturile înainte pe miră, pentru cazul primului niveleu se poate scrie:

$$rg_1 = (v + \Delta z_1)g_2 \quad (7.21)$$

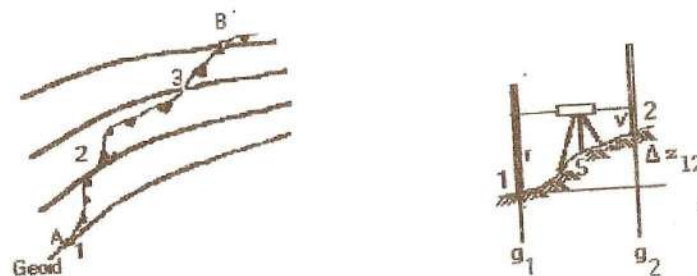


Fig. 7.3 Drumuirea de nivelment

S-a notat cu „g₁” și „g₂” intensitatea forței de greutate în punctele 1 și 2, iar cu „r” și „v” lecturile pe mirele verticale situate în aceste puncte. Dezvoltând relația de mai sus obținem:

$$\Delta z_{12}g_2 = rg_1 - vg_2 \quad (7.22)$$

sau adunând și scăzând „rg₂” obținem:

$$\Delta z_{12}g_2 = rg_1 - vg_2 - rg_2 + rg_2 \quad (7.23)$$

de unde:

$$\Delta z_{12} = (r - v) + r \frac{(g_1 - g_2)}{g_2} \quad (7.24)$$

În relația (7.24) termenul $r \frac{g_1 - g_2}{g_2}$ reprezintă corecția ce trebuie aplicată diferenței lecturilor pe miră pentru a obține diferența de nivel ortometrică între cele două puncte.

Pe întregul traseu avem:

$$\Delta z_{AB} = \sum_{i=1}^n \Delta z_i = \sum_{i=1}^n (r_i - v_i) + \sum_{i=1}^n r_i \frac{g_i - g_{i+1}}{g_{i+1}} \quad (7.25)$$

sau notând $\sum_{i=1}^n (r_i - v_i) = \Delta h_{AB}$, diferența de nivel între punctele „A” și „B”, rezultată din măsurători și considerând că $r = \text{constant}$, putem scrie:

$$\Delta z_{AB} = \sum_{i=1}^n \Delta z_i = \Delta h_{AB} + r \sum \frac{g_i - g_{i+1}}{g_{i+1}} \quad (7.26)$$

Mai simplu:

$$\Delta z_{AB} = \Delta h_{AB} + c_1 \quad (7.27)$$

Corecția „ c_1 ”, care se aplică diferenței de nivel măsurate în vederea obținerii diferenței de nivel ortometrice se calculează cu relația:

$$c_1 = -\beta H_{med} \sin 2\varphi_{med} \Delta\varphi \quad (7.28)$$

unde:

H_{med} - altitudinea medie;

$\Delta\varphi$ - diferența de latitudine;

φ_{med} - latitudinea medie;

β - coeficient ce indică turtirea gravimetrică.

Corecția ortometrică este negativă când se merge spre pol și pozitivă în caz contrar. În practică se aplică pe tronsoane de nivelment convenabil alese.

Relația practică utilizată pentru calculul corecției ortometrice (δ_{AB}^{OR}), dată de [13], se prezintă sub forma:

$$\delta_{AB}^{OR} = \sum_A^B \frac{g - \gamma_0}{\gamma_0} \Delta h_{AB} + \frac{\bar{g}_A - \gamma_0}{\gamma_0} H_A - \frac{\bar{g}_B - \gamma_0}{\gamma_0} H_B \quad (7.29)$$

unde:

γ_0 - valoarea gravitației normale la latitudinea de 45° ;

\bar{g}_A, \bar{g}_B - valorile medii ale gravitației de-a lungul liniilor de forță ce trec prin punctele „A” și „B”;

H_A și H_B - valorile aproximative ale cotelor punctelor „A” și „B”;

Δh_{AB} - diferența de nivel măsurată.

7.1.3. Sistemul de altitudini normale

Noțiunea de altitudine normală a fost introdusă în anul 1945 de M.S. Molodenski, în scopul de-a elimina dezavantajul cotelor ortometrice, provenit din:

- raportarea la suprafața ondulată a geoidului;
- utilizarea gravitației medii în lungul liniei de forță.

În acest scop se renunță la suprafața geoidului ca suprafață de referință și se introduce o suprafață teoretică apropiată de geoid, care nu are ondulații și care se numește *cvasigeoid* sau cogeoid. În al doilea rând se propune utilizarea câmpului gravitației normale în locul câmpului gravitației.

Cvasigeoidul este suprafața de nivel astfel construită încât segmentul de normală la elipsoid este egal cu anomalia altitudinii.

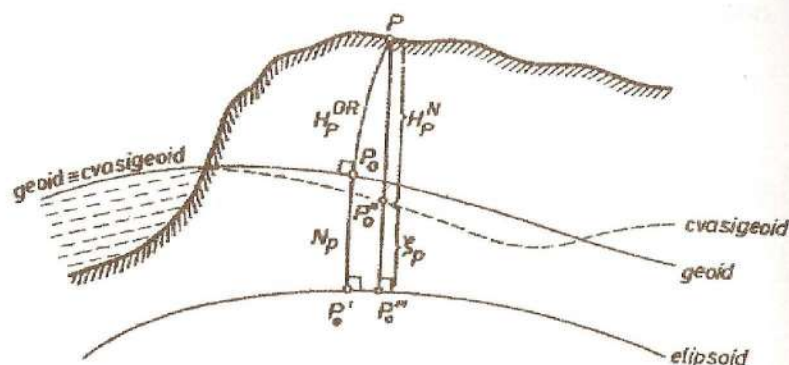


Fig. 7.4. Sistemul de altitudini ortometrice și normale

Altitudinea normală se notează cu H_P^N (fig. 7.4) și se obține prin împărțirea numărului geopotențial la o valoare medie a gravitației normale:

$$H_P^N = \frac{C_P}{\gamma} \quad (7.30)$$

unde:

$\bar{\gamma}$ - valoarea medie a accelerației normale a gravitației în lungul normalei la elipsoid

Trecerea de la diferențele de nivel măsurate la cele normale se face prin aplicarea corecțiilor normale. Aceste corecții se obțin din corecțiile ortometrice, prin înlocuirea gravitației medii cu gravitatea normală medie în lungul liniei de forță și a altitudinii cu altitudinea normală:

$$\delta_{AB}^N = \sum_A^B \frac{g - \gamma_0}{\gamma_0} \Delta h_{AB} + \frac{\bar{\chi}_A - \gamma_0}{\gamma_0} H_A^N - \frac{\bar{\gamma}_B - \gamma_0}{\gamma_0} H_B^N \quad (7.31)$$

După Dima [7], cotele normale se obțin prin corectarea rezultatelor nivelmentului geometric cu așa numita corecție normală:

$$C_N = c_1 + c_2 + c_3 \quad (7.32)$$

unde: cei trei termeni corectivi au semnificația:

$$\begin{aligned} c_1 &= -\beta H_m \Delta \varphi \sin 2\varphi_m \\ c_2 &= \beta^2 \Delta H \sin^4 \varphi_m \\ c_3 &= \frac{(g - \gamma)_m}{\gamma_m} \Delta H \end{aligned} \quad (7.33)$$

Se observă că termenul corectiv „ c_1 ” este însăși corecția ortometrică sferoidică și este datorat neparalelismului suprafețelor de nivel.

Termenul corectiv „ c_2 ” este datorat reliefului terenului; în terenurile de șes nu se ia în considerație pentru că $\Delta H = 0$.

Termenul c_3 este datorat structurii neuniforme a scoarței terestre în zona în care se fac măsurătorile. În acest termen corectiv intră anomalia medie a forței de gravitate $(g - \gamma)_m$ și

intensitatea medie teoretică γ_m a acestei forțe, valorile lor obținându-se prin măsurători gravimetrice.

De menționat faptul ca rețeaua nivelmentului de stat din țara noastră este exprimată în cote normale.

Formula recomandată, de instrucțiunile în vigoare, pentru trecerea de la diferențele de nivel măsurate la diferențe de altitudini normale este:

$$H_B^N - H_A^N = \Delta h_{AB} + \frac{(g - \gamma)_{\text{mediu}}}{\gamma_{\text{mediu}}^H} \Delta h_{AB} - \frac{(\gamma_A - \gamma_B) H_{\text{mediu}}}{\gamma_{\text{mediu}}^H} \quad (7.34)$$

unde:

γ_{mediu}^H - valoarea accelerației gravitației normale la altitudinea medie calculată pentru latitudinea medie a celor două puncte între care se execută măsurătorile de nivelment geometric;

$(g - \gamma)_{\text{mediu}}$ - valoarea medie a anomaliilor accelerației greutății corespunzătoare celor două puncte;

γ_A, γ_B - valorile normale ale accelerației gravitației pentru proiecțiile pe elipsoid a celor două puncte.

7.1.4. Sisteme de altitudini elipsoidale

Revenind la suprafețele de referință, prezentate în capitolele anterioare, reiterăm, că pentru poziționarea planimetrică a punctelor suprafața de referință este elipsoidul, iar pentru altitudini geoidul.

Pentru a nu avea două suprafețe de referință separate, una pentru planimetrie și alta pentru altimetrie, este necesar ca

în lucrări speciale să se utilizeze o singură suprafață de referință - elipsoidul de rotație.

Cotele elipsoidale sunt date de înălțimile punctelor, luate pe normala la elipsoid, de la punctele situate pe suprafața terestră până la proiecția acestora pe elipsoid.

Expresiile de calcul sunt date de relația :

$$H_p^E = H_p^{OR} + N_p; \quad H_p^E = H_p^N + \zeta_p \quad (7.35)$$

unde: H_p^E - cota elipsoidală a punctului "P" ;

N - ondulația geoidului- înălțimea (pe verticală) a geoidului față de elipsoid ;

ζ - anomaliile altitudinilor, înălțimea cvasigeoidului față de elipsoid.

7.2. Nivelmentul geometric geodezic

7.2.1. Considerații generale

Baza altimetrică a ridicărilor topografice în vederea întocmirii planurilor topografice la diferite scări, o formează rețeaua nivelitică de stat.

Nivelmentul geometric de stat cuprinde rețelele de nivelment geometric de ord. I - IV și nivelmentul de intravilan, care se caracterizează printr-o înaltă precizie.

Rețeaua de nivelment de ord. I cuprinde liniile de nivelment, care se leagă cu liniile de nivelment similar al țărilor vecine, legând punctele fundamentale altimetrice.

Rețeaua de ord.I (fig.4.5) formează poligoane închise cu lungimi de 1200-1500 km ce se dezvoltă, în general, în lungul căilor ferate.

Drumurile de nivelment de ord.I se execută pe tronsoane dus - întors, astfel ca fiecare diferență de nivel pe tronson să rezulte ca media a 8 valori. Se admite la 1 km de drumuire o eroare medie pătratică întâmplătoare $\eta = \pm 0.5 \text{ mm}$ și una sistematică de $\sigma = \pm 0.05 \text{ mm}$; toleranța pentru eroarea medie pătratică este de $T = \pm 2 \text{ mm} \sqrt{L_{(km)}}$.

Rețeaua de ord.II se compune din liniile nivelitice sprijinite pe puncte de nivelment de ord. I, formând poligoane cu perimetrul de 500 - 600 km.

Rețeaua de ord.II se desfășoară în lungul căilor ferate, șoselelor, fluviilor și râurilor mari și se execută dus-întors cu medii din 4 valori. Toleranța totală admisă este de $T = \pm 5 \text{ mm} \sqrt{L_{(km)}}$, iar eroarea sistematică trebuie să fie mai mică de $\pm 0.2 \text{ mm/km}$.

Rețeaua de ord.III se dezvoltă în interiorul poligoanelor de ord.I și II așa încât să formeze poligoane sau traverse cu perimetre de 150-200 km, recomandându-se ca într-un poligon de ord II să existe 6-9 poligoane de ord. III.

Rețeaua de ord III se execută dus-întors, cu medii de 4 valori cu o precizie care să asigure obținerea unei neînchideri în poligon închis sau drumuri cu două capete, care să nu depășească toleranța totală $T = \pm 10 \text{ mm} \sqrt{L_{(km)}}$.

Rețeaua de ord.IV îndesește rețeaua de ord.I, II și III, ea se dezvoltă astfel încât să formeze poligoane închise cu perimetrul de 100 km sau traverse având lungimi de 100 sau 50 km.

Neagră zero 1975", cu punctul fundamental plasat în capela militară Constanța.

7.2.2. Compensarea rețelelor de nivelment prin metoda măsurătorilor condiționate

Metoda observațiilor condiționate utilizată la rezolvarea rețelelor de nivelment este cunoscută sub denumirea de *metoda poligoanelor*, întrucât numărul condițiilor geometrice este dat de numărul poligoanelor reale și fictive existente în rețea.

Numărul total de condiții geometrice „ r ”, într-o rețea de nivelment se stabilește cu relația:

$$r = n_{pr} + n_{pf} = n_{pr} + N_v - 1 \quad (7.36)$$

unde:

- n_{pr} - numărul poligoanelor reale;
- n_{pf} - numărul poligoanelor fictive;
- N_v - numărul punctelor vechi.

Metoda observațiilor condiționate este mai avantajoasă decât metoda observațiilor indirecte, în cazul când, numărul punctelor noi este mai mare decât numărul condițiilor geometrice.

Metoda observațiilor condiționate se aplică la rețelele nivelitice independente sau dependente ce aparțin ord I și II.

Fie spre exemplu rețeaua nivelitică independentă formată din poligoanele închise I, II, III, IV (fig. 7.5.).

Introducem notațiile:

- h_1, h_2, \dots, h_8 - diferențele de nivel măsurate;
- $(h_1), (h_2), \dots, (h_8)$ - diferențele de nivel probabile;

v_1, v_2, \dots, v_8 - corecțiile probabile ale diferențelor de nivel măsurate;

S_1, S_2, \dots, S_8 - lungimile traverselor ce formează cele patru poligoane închise;

p_1, p_2, \dots, p_8 - ponderile mărimilor măsurate.

Conform relației (7.36) se calculează numărul condițiilor geometrice :

$$r = n_{pr} + N_v - 1 = 4 + 1 - 1 = 4 \quad (7.37)$$

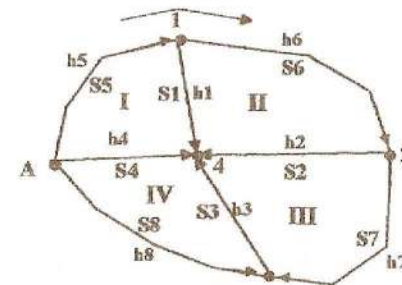


Fig. 7.5. Rețea de nivelment neconstrânsă

Dacă se respectă sensul de creștere a declivităților, indicat pe figură prin săgeți, atunci în baza unui sens general de parcurgere (sensul orar), pot fi formate condițiile :

$$\begin{aligned} (h_1) - (h_4) + (h_5) &= 0 \\ -(h_1) + (h_6) + (h_2) &= 0 \\ -(h_2) + (h_7) + (h_3) &= 0 \\ -(h_3) - (h_8) + (h_4) &= 0 \end{aligned} \quad (7.38)$$

dar:

$$\begin{aligned} (h_1) &= h_1 + v_1 \\ (h_2) &= h_2 + v_2 \\ \dots\dots\dots \\ (h_8) &= h_8 + v_8 \end{aligned} \quad (7.39)$$

și astfel cele patru condiții geometrice conduc la patru ecuații de corecții de forma:

$$\begin{aligned} v_1 + v_4 + v_5 + w_1 &= 0; & p_1 \\ -v_1 + v_6 + v_2 + w_2 &= 0; & p_2 \\ -v_2 + v_7 + v_3 + w_3 &= 0; & p_3 \\ -v_3 + v_4 + v_8 + w_4 &= 0; & p_4 \end{aligned} \quad (7.40)$$

unde:

$$\begin{aligned} w_1 &= h_1 - h_4 + h_5 \\ w_2 &= -h_1 + h_6 + h_2 \\ w_3 &= -h_2 + h_7 + h_3 \\ w_4 &= -h_3 + h_4 - h_8 \end{aligned} \quad (7.41)$$

se numesc neînchideri nivelitice.

p_i – ponderile tronsoanelor de nivelment

Pentru nivelmentul geometric ponderea unui tronson este dată de inversul lungimii traseului :

$$p_i = \frac{1}{S_i}; \quad i = 1, 2, \dots, 8 \quad (7.42)$$

Sistemul de corecții obținut este nedeterminat și prin aplicarea condiției $[pvv] = \text{minim}$, poate fi transformat într-un sistem determinat, de forma:

$$\begin{aligned} \left[\frac{paa}{p} \right] k_1 + \left[\frac{pab}{p} \right] k_2 + \left[\frac{pac}{p} \right] k_3 + \left[\frac{pad}{p} \right] k_4 + [W_1] &= 0 \\ \left[\frac{pbb}{p} \right] k_2 + \left[\frac{pbc}{p} \right] k_3 + \left[\frac{pbd}{p} \right] k_4 + [W_2] &= 0 \\ \left[\frac{pbc}{p} \right] k_3 + \left[\frac{pbd}{p} \right] k_4 + [W_3] &= 0 \\ \left[\frac{pbd}{p} \right] k_4 + [W_4] &= 0 \end{aligned} \quad (7.43)$$

Coeficienții ecuațiilor normale se pot calcula conform considerațiilor teoretice prezentate în §4.3.5, sau se pot exprima, în mod direct, în funcție de lungimea traseelor de nivelment.

Pentru aceasta, se pleacă de la matricea coeficienților corespunzătoare sistemului ecuațiilor de corecții:

$$\begin{matrix} & 1 & 2 & 3 & 4 & 5 & 6 & 7 & 8 \\ \begin{pmatrix} 1 & 0 & 0 & -1 & 1 & 0 & 0 & 0 \\ -1 & 1 & 0 & 0 & 0 & 1 & 0 & 0 \\ 0 & -1 & 1 & 0 & 0 & 0 & 1 & 0 \\ 0 & 0 & -1 & 1 & 0 & 0 & 0 & -1 \end{pmatrix} & \begin{matrix} a \\ b \\ c \\ d \end{matrix} \end{matrix} \quad (7.44)$$

în funcție de care se culează:

$$\left[\frac{aa}{p} \right] = \frac{a_1 a_1}{p_1} + \frac{a_2 a_2}{p_2} + \frac{a_3 a_3}{p_3} + \dots + \frac{a_8 a_8}{p_8} = \frac{1}{S_1} + \frac{1}{S_4} + \frac{1}{S_5} =$$

$$= S_1 + S_4 + S_5 = S_I - \text{perimetru primului poligon}$$

$$\left[\frac{ab}{p} \right] = \frac{a_1 b_1}{p_1} + \frac{a_2 b_2}{p_2} + \frac{a_3 b_3}{p_3} + \dots + \frac{a_8 b_8}{p_8} = -S_1$$

$$\left[\frac{ac}{p} \right] = \frac{a_1 c_1}{p_1} + \frac{a_2 c_2}{p_2} + \frac{a_3 c_3}{p_3} + \dots + \frac{a_8 c_8}{p_8} = 0$$

$$\left[\frac{ad}{p} \right] = \frac{a_1 d_1}{p_1} + \frac{a_2 d_2}{p_2} + \frac{a_3 d_3}{p_3} + \dots + \frac{a_8 d_8}{p_8} = -S_4$$

$$\left[\frac{bb}{p} \right] = \frac{b_1 b_1}{p_1} + \frac{b_2 b_2}{p_2} + \frac{b_3 b_3}{p_3} + \dots + \frac{b_8 b_8}{p_8} = \frac{1}{S_1} + \frac{1}{S_2} + \frac{1}{S_6} =$$

$$= S_1 + S_2 + S_6 = S_{II} - \text{perimetrul poligonului II}$$

$$\left[\frac{bc}{p} \right] = \frac{b_1 c_1}{p_1} + \frac{b_2 c_2}{p_2} + \frac{b_3 c_3}{p_3} + \dots + \frac{b_8 c_8}{p_8} = -S_2$$

$$\left[\frac{bd}{p} \right] = \frac{b_1 d_1}{p_1} + \frac{b_2 d_2}{p_2} + \frac{b_3 d_3}{p_3} + \dots + \frac{b_8 d_8}{p_8} = 0$$

$$\left[\frac{cc}{p} \right] = \frac{c_1 c_1}{p_1} + \frac{c_2 c_2}{p_2} + \frac{c_3 c_3}{p_3} + \dots + \frac{c_8 c_8}{p_8} = \frac{1}{S_2} + \frac{1}{S_3} + \frac{1}{S_7} =$$

$$= S_2 + S_3 + S_7 = S_{III} - \text{perimetrul poligonului III}$$

$$\left[\frac{cd}{p} \right] = \frac{c_1 d_1}{p_1} + \frac{c_2 d_2}{p_2} + \frac{c_3 d_3}{p_3} + \dots + \frac{c_8 d_8}{p_8} = -S_3$$

$$\left[\frac{dd}{p} \right] = \frac{d_1 d_1}{p_1} + \frac{d_2 d_2}{p_2} + \frac{d_3 d_3}{p_3} + \dots + \frac{d_8 d_8}{p_8} = \frac{1}{S_3} + \frac{1}{S_4} + \frac{1}{S_8} =$$

$$= S_3 + S_4 + S_8 = S_{IV} - \text{perimetru poligonului IV}$$

(7.45)

$$\left[\frac{pab}{p} \right] = -S_1 \text{ secțiunea comună poligoanelor I-II}$$

$$\left[\frac{pac}{p} \right] = 0 \text{ secțiunea comună poligoanelor I-III}$$

$$\left[\frac{pad}{p} \right] = -S_4 \text{ secțiunea comună poligoanelor I-IV}$$

ș.a.m.d.

Cu acești coeficienți sistemul ecuațiilor normale are o formă simplă și poate fi scris direct după schița traseelor, respectiv:

$$S^I k_1 - S_1 k_2 - 0 k_3 - S_4 k_4 + w_1 = 0$$

$$-S_1 k_1 + S^{II} k_2 - S_2 k_3 - 0 k_4 + w_2 = 0$$

$$\begin{aligned} 0k_1 - S_2k_2 + S^{\text{III}}k_3 - S_3k_4 + w_3 &= 0 \\ -S_4k_1 - 0k_2 - S_3k_3 + S^{\text{IV}}k_4 + w_4 &= 0 \end{aligned} \quad (7.46)$$

Rezolvând acest sistem obținem corelatele k_1, k_2, k_3, k_4 , cu ajutorul cărora determinăm corecțiile, folosind relațiile:

$$v_i = \frac{1}{P_i}(a_i k_1 + b_i k_2 + c_i k_3 + d_i k_4); i = 1, 2, \dots, 8 \quad (7.47)$$

Tinând seama de valoarea coeficienților ecuațiilor de corecții se obține:

$$\begin{aligned} v_1 &= S_1(k_1 - k_2) \\ v_2 &= S_2(k_2 - k_3) \\ &\dots\dots\dots \\ v_8 &= S_8(-k_4). \end{aligned} \quad (7.48)$$

Corecțiile diferențelor de nivel date de (7.48) pot fi scrise direct folosind următoarele reguli:

- corecția unei diferențe de nivel măsurată pe o secțiune interioară rețelei, este dată de lungimea secțiunii înmulțită cu diferența dintre corelatele poligoanelor adiacente (sensul diferenței coincide cu sensul general de scriere a condițiilor);
- corecția unei diferențe de nivel măsurată pe o secțiune de contur a rețelei este dată de lungimea secțiunii înmulțită cu corelata poligonului din care face parte secțiunea.

Diferențele de nivel compensate se obțin după relația:

$$(h_i) = h_i + v_i, i = 1, 2, \dots, 8 \quad (7.49)$$

Eroarea medie pătratică a unității de ponderi se calculează cu formula:

$$m_0 = \sqrt{\frac{[pvv]}{r}} \quad (7.50)$$

unde:

r - nr. ecuațiilor de condiție

După obținerea diferenței de nivel compensate se calculează cotele punctelor nodale (pornind de la un punct de cotă cunoscută, sau luat arbitrar) și apoi cotele punctelor de pe secțiuni.

Compensarea rețelelor de nivelment va fi tratată și pentru cazul rețelelor de nivelment dependente, rețele care conțin două sau mai multe puncte de cote cunoscute.

Fie spre exemplu rețeaua nivelitică formată din 4 poligoane închise și 2 puncte „A”, „B” ale căror cote sunt cunoscute (fig. 7.6.). Acest caz corespunde rețelelor nivelitice de ord II și III. Dacă traseul de nivelment ce se sprijină pe punctele date „A”, „B” se consideră închis după traseul imaginar reprezentat punctat formând poligonul „V”, atunci ecuațiile de corecții se prezintă sub forma:

$$\begin{aligned} v_{12} + v_{23} - v_{13} + w_1 &= 0 \\ -v_{23} + v_{2A} + v_{AA} + v_{43} + w_2 &= 0 \\ -v_{34} - v_{4B} - v_{B5} + v_{53} + w_3 &= 0 \\ v_{13} - v_{53} - v_{15} + w_4 &= 0 \\ v_{B4} - v_{4A} + w_5 &= 0 \end{aligned} \quad (7.51)$$

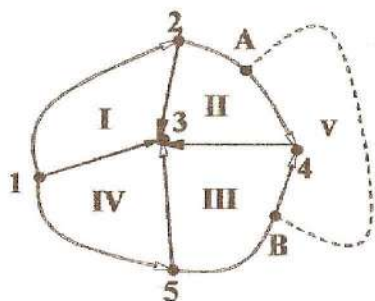


Fig. 7.6. Rețea dependentă de nivelment

Conform figurii se poate scrie direct sistemul ecuațiilor normale:

$$\begin{aligned}
 S^I K_1 - S_{23} K_2 - 0 K_3 - S_{13} K_4 - 0 K_5 + w_1 &= 0 \\
 -S_{23} K_1 + S^{II} K_2 - S_{34} K_3 - 0 K_4 - S_{A4} K_5 + w_2 &= 0 \\
 0 K_1 - S_{34} K_2 + S^{III} K_3 - S_{53} K_4 - S_{4B} K_5 + w_3 &= 0 \quad (7.52) \\
 -S_{13} K_1 - 0 K_2 - S_{53} K_3 + S^{IV} K_4 - S_{4B} K_5 + w_4 &= 0 \\
 -0 K_1 - S_{A4} K_2 - S_{4B} K_3 - 0 K_4 + S^V K_5 + w_5 &= 0
 \end{aligned}$$

unde lungimea poligonului fictiv „V” este:

$$S^V = S_{A4} + S_{B4} \quad \text{și} \quad w_5 = H_B - H_A + h_{B4} - h_{A4} \quad (7.53)$$

Din relația (7.52) se observă că sistemul ecuațiilor normale poate fi scris direct de pe schița rețelei. Indiferent de configurația sa, fiecărui poligon

(real sau fictiv) îi corespunde o ecuație normală constituită din:

- coeficientul corelatei de pe diagonala principală, căruia îi corespunde lungimea (în km) a perimetrului poligonului considerat;
- coeficienții corelatelor poligoanelor adiacente, care sunt egali cu lungimea laturilor adiacente, luați cu semn schimbat;
- corelatele poligoanelor adiacente, reale sau fictive;
- termenul liber, egal cu neînchiderea în poligon.

În afară de metodele prezentate, compensarea rețelelor de nivelment geometric de ordinul III și IV se poate realiza prin *metoda aproximațiilor succesive*.

În principiu, metoda constă în exprimarea corelatelor poligoanelor (k_i) în funcție de neînchiderea diferențelor de nivel (w_i), raportate la perimetrele poligoanelor S^i plus corecțiile k'_i .

Prin introducerea acestor expresii în sistemul inițial al corelatelor se obține un nou sistem normal de corelate k'_i cu neînchiderile w'_i . După care se exprimă k'_i în funcție de w'_i raportate la perimetrele poligoanelor S^i plus corecțiile k''_i , s.a.m.d., operațiunile se repetă până când neînchiderile diferențelor de nivel pe poligoane tind spre zero. Prezentarea în detaliu a metodei se regăsește în [7].

7.2.3. Compensarea rețelelor de nivelment prin metoda măsurătorilor indirecte

O rețea de nivelment geometric este alcătuită din reperele de nivelment între care se efectuează măsurători în vederea determinării diferențelor de nivel și a lungimii traseelor pe care se efectuează observațiile.

Pentru a se efectua calculele de compensare, trebuie să se cunoscă sau să se determine:

- Diferențele de nivel măsurate Δh_{ij} prin metoda nivelmentului geometric și reduse unitar la unul din sistemele de altitudini cunoscut (funcție de cerințele lucrării);

- Lungimile traseelor urmate pentru determinarea diferențelor de nivel se determină concomitent cu efectuarea observațiilor și ele sunt necesare pentru determinarea ponderilor măsurătorilor. Pentru unele rețele poate fi considerat ca element de calcul al ponderii numărul stațiilor efectuate pentru determinarea diferenței de nivel dintre două repere;

- Altitudinea (H_i) a unuia sau a mai multor repere de nivelment din rețeaua considerată;

- Informații cu privire la matricea ponderilor observațiilor necesare la construirea modelului funcțional-stochastic.

Pentru o prelucrare prin metoda observațiilor indirecte este necesar ca numărul măsurătorilor să fie mai mare decât numărul necunoscutelor implicate în model.

Această metodă de compensare mai poartă numele de metoda nodurilor deoarece ecuațiile corecțiilor se scriu în jurul fiecărui punct nou, denumit și nod. Metoda se utilizează, în general, la nivelmentul de ord. III și IV. Se tratează analog cu metoda planimetrică a variației coordonatelor și s-ar putea numi ca atare și metoda variației altitudinilor.

Pentru prelucrare se vor deduce corecții pentru măsurători și respectiv pentru altitudinile provizorii:

$$\begin{aligned}(\Delta h_{ij}) &= \Delta h_{ij}^0 + v_{ij} \\ (H_i) &= H_i^0 + dx_i\end{aligned}\quad (7.54)$$

Ecuațiile corecțiilor au forme diferite în funcție de tipul punctelor între care se scriu și anume:

- între două puncte vechi nu se execută o nouă măsurătoare directă, fără puncte intermediare. Aceasta se observă și pe figura 7.6. de care se va ține seama la deducerea formulelor folosite în prelucrare.
- între un punct vechi „A” și un punct nou „I” se poate scrie:

$$H_A + \Delta h_{AI}^0 + v_{AI} = H_I^0 + dx_i \quad (7.55)$$

de unde rezultă:

$$v_{AI} = dx_i + \underbrace{H_I^0 - (H_A + \Delta h_{AI}^0)}_{l_{AI}} = dx_i + l_{AI} \quad (7.56)$$

- între două puncte noi:

$$H_1^0 + dx_1 + \Delta h_{12}^0 + v_{12} = H_2^0 + dx_2 \quad (7.57)$$

de unde rezultă:

$$v_{12} = -dx_1 + dx_2 + \underbrace{H_2^0 - (H_1^0 + \Delta h_{12}^0)}_{l_{12}} = -dx_1 + dx_2 + l_{12} \quad (7.58)$$

Considerând rețeaua neconstrânsă din figura 7.5., în care se cunoaște cota punctului „A”, se măsoară diferențele de nivel între puncte, pe baza cărora se determină cotele provizorii ale punctelor nodale 1, 2, 3 și 4.

Pentru scrierea ecuațiilor de corecții se introduc notațiile:

- $(H_1), (H_2), (H_3), (H_4)$ – cotele cele mai probabile ale punctelor nodale;
- $H_1^0, H_2^0, H_3^0, H_4^0$ – cotele aproximative ale punctelor nodale;
- dx_1, dx_2, dx_3, dx_4 – corecțiile probabile ale cotelor aproximative;
- h_1, h_2, \dots, h_8 – diferențele de nivel măsurate.

Conform acestor notații se poate scrie:

$$\begin{aligned} (H_1) &= H_1^0 + dx_1 \\ (H_2) &= H_2^0 + dx_2 \\ &\dots\dots\dots \\ (H_4) &= H_4^0 + dx_4 \end{aligned} \quad (7.59)$$

Cotele provizorii se obțin pornind de la cota cunoscută a punctului „A”, adunând algebric (în funcție de sensul de creștere a declivității), pe diferite trasee, diferențele de nivel măsurate.

$$\begin{aligned} H_1^0 &= H_A + h_5 \\ H_2^0 &= H_1^0 + h_6 \\ &\dots\dots\dots \\ H_4^0 &= H_A + h_4 \end{aligned} \quad (7.60)$$

Ecuațiile corecțiilor se pot stabili cu ușurință, direct de pe figură, în jurul fiecărui nod, ținând seama de ecuațiile stabilite anterior, și de faptul că pentru fiecare diferență de nivel măsurată între nodurile existente se va scrie o ecuație de corecții.

Ecuațiile corecțiilor pentru rețeaua de nivelment neconstrânsă (fig 7.5) se prezentată sub forma:

$$\begin{aligned} v_{A1} &= + dx_1 && + l_{A1}, p_{A1} \\ v_{12} &= - dx_1 + dx_2 && + l_{12}, p_{12} \\ v_{14} &= - dx_1 && + dx_4 + l_{14}, p_{14} \\ v_{23} &= && - dx_2 + dx_3 + l_{23}, p_{23} \\ v_{24} &= && - dx_2 + dx_4 + l_{24}, p_{24} \\ v_{34} &= && - dx_3 + dx_4 + l_{34}, p_{34} \\ v_{A4} &= && + dx_4 + l_{A4}, p_{A4} \\ v_{A3} &= && + dx_3 + l_{A3}, p_{A3} \end{aligned} \quad (7.61)$$

în care:

$$\begin{aligned} l_{A1} &= H_1^0 + h_{A1} - H_A \\ l_{12} &= H_2^0 + h_{12} - H_1^0 \\ &\dots\dots\dots \\ l_{A3} &= H_3^0 + h_{A3} - H_A \end{aligned} \quad (7.62)$$

Sistemul de erori se rezolvă după metoda măsurătorilor indirecte de precizii diferite, punând condiția $[pvv] = \text{minim}$. Se obține sistemul ecuațiilor normale:

$$\begin{aligned}
[paa]dx_1 + [pab]dx_2 + [pac]dx_3 + [pad]dx_4 + [pal] &= 0 \\
[pba]dx_1 + [pbb]dx_2 + [pbc]dx_3 + [pbd]dx_4 + [pbl] &= 0 \\
[pca]dx_1 + [pcb]dx_2 + [pcc]dx_3 + [pcd]dx_4 + [pcl] &= 0 \\
[pda]dx_1 + [pdb]dx_2 + [pdc]dx_3 + [pdd]dx_4 + [pdl] &= 0
\end{aligned}
\quad (7.63)$$

Coeficienții necunoscutelor și termenii liberi se obțin conform metodologiei prezentată în §4.3.3.

O scriere directă a ecuațiilor normale se realizează în funcție de ponderile ecuațiilor, astfel, pentru prima ecuație normală se poate scrie:

$$\begin{aligned}
&\overbrace{(p_{A1} + p_{12} + p_{13})}^{P_1} dx_1 - p_{12} dx_2 - p_{13} dx_3 + \\
&+ \overbrace{(p_{A1} l_{A1} - p_{12} l_{12} - p_{13} l_{13})}^{L_1} = 0
\end{aligned}
\quad (7.64)$$

Se observă că sistemul ecuațiilor normale poate fi format de pe schița rețelei, indiferent de complexitatea sa, fiecărui punct nou corespunzându-i o ecuație normală constituită din următorii termeni:

- coeficientul necunoscutei de pe diagonala principală „ P_i ”, corespunzător nodului „ i ”, pentru care se scrie ecuația, este egal cu suma ponderilor liniilor care converg în nodul menționat;
- în ecuație mai intervin necunoscutele corespunzătoare nodurilor cu care punctul „ i ” este în legătură cu coeficienții respectivi egali cu $-p_{ij}$;
- termenul liber, notat în continuare cu „ E ”, este format dintr-o sumă de produse, între ponderi și

termenii liberi ai ecuațiilor de erori scrise pentru punctul „ i ”, în care semnul plus se ia pentru liniile care intră în punct, iar semnul minus pentru liniile care pleacă din punct.

În acest fel ecuația normală, pentru rețeaua considerată se prezintă sub forma:

$$\begin{aligned}
P_1 dx_1 - p_{12} dx_2 - p_{13} dx_3 + L_1 &= 0 \\
-p_{12} dx_1 + P_2 dx_2 - p_{23} dx_3 - p_{24} dx_4 + L_2 &= 0 \\
-p_{13} dx_1 - p_{23} dx_2 + P_3 dx_3 + L_3 &= 0 \\
-p_{24} dx_2 + P_4 dx_4 + L_4 &= 0
\end{aligned}
\quad (7.65)$$

Prin rezolvarea sistemului cu una din metodele cunoscute de la teoria de prelucrare a mărimilor geodezice, se obțin corecțiile: dx_1, dx_2, \dots, dx_4 , cu ajutorul cărora se calculează valorile probabile ale cotelor:

$$\begin{aligned}
(H_1) &= H_1 + dx_1 \\
(H_2) &= H_2 + dx_2
\end{aligned}
\quad (7.66)$$

$$(H_4) = H_4 + dx_4$$

Eroarea medie pătratică se calculează cu formula:

$$m_0 = \sqrt{\frac{[pvv]}{n-k}} \quad (7.67)$$

în care:

n – numărul ecuațiilor de erori (în cazul exemplului considerat $n=8$);

k – numărul de necunoscute ce se calculează (în cazul exemplului considerat $k=4$).

7.3. Nivelmentul trigonometric geodezic

Nivelmentul trigonometric se utilizează la determinarea altitudinii punctelor rețelelor geodezice, în rețele geodezice tridimensionale pentru determinarea altitudinilor elipsoidale și în Geodezia fizică pentru determinarea deviației verticale și a ondulației geoidului.

Problema principală la determinarea altitudinilor prin nivelment trigonometric o constituie efectul refracției atmosferice verticale și a sfericității. Refracția verticală influențează valoarea unghiurilor zenitale măsurate și implicit și a diferențelor de nivel determinate. De asemenea, sfericitatea influențează diferențele de nivel, determinate între două puncte.

De la cursul de Topografie se cunoaște că valoarea corecției totale de sfericitate și refracție se calculează cu relația:

$$C = \frac{(1-k)}{2R} D^2 \quad (7.68)$$

unde:

k - coeficientul de refracție ($k=0 \div 0.26$, pentru latitudinea $B=0^\circ \div 90^\circ$);

R - raza medie de curbură a secțiunilor eliptice ce trec prin punctele „ P_i ” și „ P_j ”;

$$R_m = \frac{R_i + R_j}{2} \quad (7.69)$$

Valoarea celor două raze de curbură se calculează cu relația:

$$R_i = \frac{M_i N_i}{N_i \cos^2 A_{ij} + M_i \sin^2 A_{ij}} \quad (7.70)$$

unde:

A_{ij} - azimutul secțiunii normale ;

M_i și „ N_i ”- razele principale de curbură ale elipsoidului de referință.

La studierea fenomenului de refracție, de multe ori, suprafața geoidului se înlocuiește cu suprafața sferei medii Gauss de rază $R = \sqrt{MN}$, fără introducerea unor erori superioare celor generate de acceptarea altor aproximații.

7.3.1. Refracția atmosferică verticală

Dacă se consideră punctele „ P_i ” și „ P_j ” în care s-au efectuat observații unghiulare verticale, care au fost corectate cu componentele deviației verticale pe direcția celor două puncte (v. §1.11.3.), datorită fenomenului refracției atmosferice verticale se măsoară distanțele zenitale ζ_{ij}^0 și ζ_{ji}^0 în locul valorilor reale ζ_{ij} și ζ_{ji} (fig.7.7). Conform figurii se poate scrie:

$$\zeta_{ij} = \zeta_{ij}^0 + \rho_{ij}; \quad \zeta_{ji} = \zeta_{ji}^0 + \rho_{ji} \quad (7.71)$$

unde:

ρ_{ij} și ρ_{ji} - unghiurile de refracție între cele două puncte

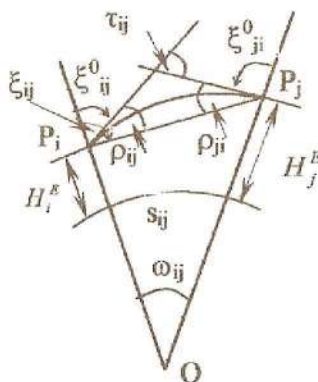


Fig.7.7. Refracția terestră verticală

Unghiul „ τ ” format de tangentele din punctele „ P_i ” și „ P_j ” se numește **unghiul refracției totale** a cărui expresie de calcul este dată de relația:

$$\tau_{ij} = 200 - [200 - (\rho_{ij} + \rho_{ji})] = \rho_{ij} + \rho_{ji} \quad (7.72)$$

Notând cu „ Γ ” curbura variabilă a razei de lumină, refracția totală poate fi determinată teoretic cu relația:

$$\tau_{ij} = \int_{P_i}^{P_j} \Gamma ds \quad (7.73)$$

unde:

ds- elementul de arc al arcului $\widehat{P_i P_j}$.

Relația (7.3) este numai teoretic aplicabilă, pentru că aceasta ar necesita măsurători de temperatură și presiune din punct în punct, în lungul razei de lumină, care, evident sunt posibile numai teoretic.

În practică, având în vedere că lungimea vizelor la nivelmentul trigonometric este de până la 7km, se acceptă o valoare constantă a curburii razei de lumină, ceea ce înseamnă că arcul de curbura dintre cele două puncte poate fi aproximat cu un arc de cerc. În baza acestei aproximări se poate scrie:

$$\rho_{ij} = \rho_{ji} = \rho = \frac{\tau_{ij}}{2} \quad (7.74)$$

De asemenea, ca urmare a aproximării acceptate, raza de curbura devine constantă. În urma integrării relației (7.3) rezultă:

$$\tau_{ij} = \Gamma \widehat{P_i P_j} \quad (7.75)$$

O altă aproximație acceptată este aceea de a înlocui lungimea arcului din relația de mai sus, cu distanța de pe elipsoidul de referință „ s_{ij} ”.

Asimilând elipsoidul cu sfera de rază medie Gauss se poate înlocui lungimea arcului de cerc cu raza medie deînmulțită cu unghiul la centru și astfel relația (7.5) devine:

$$\tau_{ij} = \Gamma R_m \omega_{ij} = \frac{1}{R_r} R_m \omega_{ij} = k \omega_{ij} \quad (7.76)$$

unde:

R_m – valoarea medie a razelor de curbură în cele două puncte între care se determină diferența de nivel;

R_r – raza de curbură a razei de lumină după care se fac observațiile zenitale.

k – coeficient de proporționalitate denumit și *coeficient de refracție*:

$$k = \frac{R_m}{R_r} \quad (7.77)$$

Din relațiile (7.74) și (7.76) rezultă expresia de calcul a valorii unghiului de refracție:

$$\rho = k \frac{\omega_{ij}}{2} \quad (7.78)$$

Din triunghiul OP_iP_j (fig. 7.7) se poate deduce că:

$$\begin{aligned} 200 - (\zeta_{ij}^0 + \rho_{ij}) &= 200 - [\omega_{ij} + (200 - (\zeta_{ji}^0 + \rho_{ji}))] = \\ &= -\omega_{ij} + (\zeta_{ji}^0 + \rho_{ji}) \end{aligned} \quad (7.79)$$

sau:

$$(\zeta_{ij}^0 + \rho_{ij}) = 200 + \omega_{ij} - (\zeta_{ji}^0 + \rho_{ji}) \quad (7.80)$$

sau:

$$\underbrace{\rho_{ij} + \rho_{ji}}_{\tau_{ij}} = 200 + \omega_{ij} - (\zeta_{ij}^0 + \zeta_{ji}^0) \quad (7.81)$$

Înlocuind valoarea expresiei (7.81) în relația (7.76) și efectuând calculele se obține coeficientul de refracție „ k ”:

$$k - 1 = \frac{200 - (\zeta_{ij}^0 + \zeta_{ji}^0)}{\omega_{ij}} \quad (7.82)$$

Refracția atmosferică este o funcție periodică, dependentă de mai mulți factori, dintre care cel mai important este temperatura atmosferei. Acest factor face ca *refracția atmosferică terestră să fie o consecință directă a încălzirii solului*.

În variația diurnă (24 ore) a refracției verticale se remarcă o caracteristică de stabilitate *între orele 10 și 15, perioadă în care se recomandă să se execute măsurăturile geodezice zenitale*.

Pentru lucrările curente se acceptă coeficientul de refracție (calculat de Gauss) $k=0.13$, valoare utilizată și în stațiile totale pentru calculul corecțiilor fizice, iar pentru țara noastră coeficientul adoptat este $k=0.14$.

Pentru a diminua efectul refracției atmosferice este indicat, să se măsoare ambele distanțe zenitale, pe cât posibil simultan (observații zenitale reciproce și simultane)

7.3.2. Nivelmentul trigonometric geodezic reciproc și simultan

Pentru a stabili relația de calcul a diferenței de nivel dintre punctele „ P_i ” și „ P_j ”, trebuie luat în considerare sistemul de altitudini în care va fi utilizată diferența.

În cazul sistemelor de altitudini ce au ca suprafața de referință geoidul, nu este necesară aplicarea corecțiilor de reducere a observațiilor zenitale la normala la elipsoid, iar în cazul altitudinilor elipsoidale se aplică aceste corecții.

Cu aceste precizări și într-un caz și în altul se parcurg etapele:

- se măsoară unghiurile zenitale ζ_i^0 și ζ_j^0 ;
- se determină distanța dintre punctele P_i și P_j , din coordonate;
- se acceptă următoarele ipoteze simplificatoare:
 - se consideră observațiile executate la sol ($I_i=S_i=I_j=S_j$), urmând ca acestea să se introducă în formulele finale;
 - se neglijează ondulațiile geoidului și deviațiile de la verticală a normalei la elipsoid;
 - se asimilează distanța calculată din coordonate cu distanța redusă la geoid.

Pentru a calcula diferența de nivel dintre punctele „ P_i ” și „ P_j ”, în triunghiul P_iP_jO (fig 7.8.) se poate aplica teorema sinusului sau a tangentei. Prin aplicarea teoremei tangentei se obține:

$$\operatorname{tg} \frac{A-B}{2} \operatorname{tg} \frac{C}{3} = \frac{a-b}{a+b} \quad (7.83)$$

Asimilând triunghiul P_iP_jO cu triunghiul ABC, se pot face, în continuare, asimilările:

$$\begin{aligned} A &= 200^g - (\zeta_{ij} + \rho_{ij}) \\ B &= 200^g - (\zeta_{ji} + \rho_{ji}) \\ C &= \omega_{ij} \\ a &= R + H_j \text{ și } b = R + H_i \end{aligned} \quad (7.84)$$

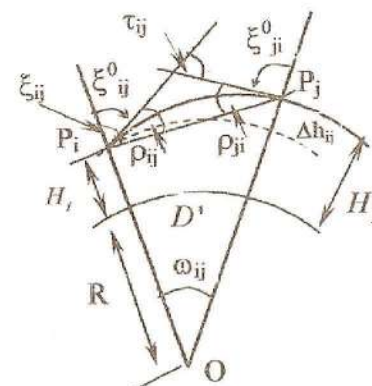


Fig.7.8. Nivelmentul trigonometric

Înlocuind (7.84) în (7.83) se obține:

$$\operatorname{tg} \frac{\zeta_{ji} - \zeta_{ij}}{2} \operatorname{tg} \frac{\omega_{ij}}{2} = \frac{H_B - H_A}{2R + H_A + H_B} \quad (7.85)$$

de unde rezultă:

$$H_j - H_i = \Delta h_{ij} = (2R + H_i + H_j) \operatorname{tg} \frac{\zeta_{ji} - \zeta_{ij}}{2} \operatorname{tg} \frac{\omega_{ij}}{2} \quad (7.86)$$

Deoarece „ ω_{ij} ” este un unghi mic (pentru lungimea laturilor de triangulație de 30 km, $\omega_{ij} < 30^\circ$), se poate asimila valoarea funcției cu valoarea argumentului:

$$\operatorname{tg} \frac{\omega_{ij}}{2} = \frac{\omega_{ij}}{2} \quad (7.87)$$

Datorită asimilării geoidului cu sfera de rază medie Gauss se poate scrie:

$$\omega_{ij} = \frac{D'}{R} \quad (7.88)$$

Inlocuind relațiile (7.87) și (7.88) în (7.86) se obține următoarea relație de calcul:

$$\Delta h_{ij} = D' \left(1 + \frac{H_m^0}{R} \right) \text{tg} \frac{\zeta_{ji} - \zeta_{ij}}{2} \quad (7.89)$$

în care :

$$H_m^0 = \frac{H_i^0 + H_j^0}{2} \quad (7.90)$$

unde: H_i^0 și H_j^0 sunt altitudinile aproximative ale celor două puncte determinate de pe hartă.

Dacă se ia în considerare înălțimile instrumentelor din cele două puncte (I_i , I_j) și înălțimile semnalelor (S_i , S_j) diferența de nivel trebuie corectată cu:

➤ ($I_i - S_j$) pentru punctul „P_i”, (pentru a determina Δh_{ij});

➤ ($I_j - S_i$) pentru punctul „P_j”, (pentru a determina Δh_{ji});

întrucât $\Delta h_{ij} = -\Delta h_{ji}$ media celor două corecții va fi:

$$\frac{I_i - I_j}{2} + \frac{S_i - S_j}{2} \quad (7.91)$$

Cu aceasta diferența de nivel trigonometric reciproc și simultan este dată de relația:

$$\Delta h_{ij} = D' \left(1 + \frac{H_m^0}{R} \right) \text{tg} \frac{\zeta_{ji} - \zeta_{ij}}{2} + \frac{I_i - I_j}{2} + \frac{S_i - S_j}{2} \quad (7.92)$$

7.3.3. Nivelmentul trigonometric geodezic unilateral

În practică, de regulă, se fac numai observații unghiulare verticale unilaterale, situații când refracția atmosferică are o contribuție semnificativă, fapt pentru care se va ține seama de aceasta.

Dacă din relația (7.80) se extrage valoarea pentru distanța zenitală „ ζ_{ji} ” se obține:

$$\zeta_{ji}^0 = 200 - (\zeta_{ij}^0 + 2\rho - \omega_{ij}) \quad (7.93)$$

Prin introducerea rel. (7.93) în (7.89) și ținând seama de rel. (7.81), (7.82) se obține:

$$\begin{aligned} \Delta h_{ij} &= \frac{200^s - \zeta_{ij}^0 - 2\rho + \omega_{ij} - \zeta_{ij}}{2} = \\ &= D' \left(1 + \frac{H_m^0}{R} \right) \text{tg} \frac{200^s - 2\zeta_{ij}^0 - 2\rho + \omega_{ij}}{2} = \\ &= D' \left(1 + \frac{H_m^0}{R} \right) \text{tg} \frac{200^s - (2\zeta_{ij}^0 - \overbrace{[200^s - (\zeta_{ij}^0 + \zeta_{ji}^0) + \omega_{ij}]}^{(k-1)\omega_{ij}}) + \omega_{ij}}{2} = \\ &= D' \left(1 + \frac{H_m^0}{R} \right) \text{tg} [100 - (\zeta_{ij}^0 + \frac{k-1}{2} \omega_{ij})] = \\ &= D' \left(1 + \frac{H_m^0}{R} \right) \text{ctg} (\zeta_{ij}^0 - \frac{1-k}{2} \omega_{ij}) \end{aligned} \quad (7.94)$$

Dacă se dezvoltă în serie Taylor cotangenta din relația de mai sus se poate scrie:

$$\operatorname{ctg}(\zeta_{ij}^0 - \frac{1-k}{2}\omega_{ij}) = \operatorname{ctg}\zeta_{ij}^0 + \frac{1-k}{2} \frac{\omega_{ij}}{\sin^2 \zeta_{ij}^0} \quad (7.95)$$

În rel. (7.95) se înlocuiește „ ω_{ij} ” cu D/R , și astfel, formula de calcul a diferenței de nivel, în cazul nivelmentului trigonometric unilateral se prezintă sub forma:

$$\Delta h_{ij} = D \left(1 + \frac{H_m^0}{R}\right) \operatorname{ctg}\zeta_{ij}^0 + \frac{1-k}{2R \sin^2 \zeta_{ij}^0} D^2 + I_i - S_j \quad (7.96)$$

7.3.4 Metode de realizare a nivelmentului trigonometric

În cazul nivelmentului trigonometric unilateral se aplică:

- metoda intersecției înainte;
- metoda intersecției înapoi;
- metoda drumirii de nivelment geodezic etc.

Metoda intersecției înainte — constă în măsurarea distanțelor zenitale (unghiurilor zenitale) de la punctele cunoscute spre punctul a cărui cotă dorim să o determinăm.

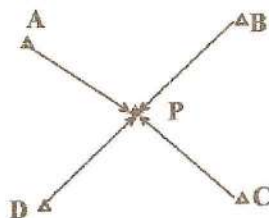


Fig. 7.9 Metoda intersecției înainte

Considerând cunoscute cotele punctelor A, B, C, D, (fig. 7.9.) se determină diferențele de nivel spre punctul „P” cu relația (7.96.). Cota punctului „P” se determină cu relația:

$$H_P^i = H_i + \Delta h_{ip}; \quad i = A, B, C, D \quad (7.97)$$

Valoarea cea mai probabilă a cotei punctului nou se determină cu relația:

$$(H_P) = \frac{P_A H_P^A + P_B H_P^B + P_C H_P^C + P_D H_P^D}{P_A + P_B + P_C + P_D} \quad (7.98)$$

în care:

P_A, P_B, P_C, P_D — ponderile cotelor, care se determină cu relațiile:

$$P_i = \frac{1}{D_{ip}^2}; \quad i = A, B, C, D \quad (7.99)$$

$H_P^i; i = A, B, C, D$ — cota punctului „P” determinate din punctele vechi.

Metoda intersecției înapoi — constă în măsurarea unghiurilor zenitale (distanțelor zenitale) $\zeta_P^i; i = A, B, C, D$, în punctul a cărui cotă dorim să o determinăm spre punctele de cotă cunoscută. Pe baza observațiilor efectuate se calculează diferențele de nivel cu rel. (7.96) și apoi cota punctului „P”:

$$H_P^i = H_i - \Delta h_{Pi}; \quad i = A, B, C, D \quad (7.100)$$

Cota cea mai probabilă a punctului „P” se determină ca și în cazul intersecției înainte (rel. 7.98.).

Drumuirea de nivelment geodezic – este formată dintr-un traseu de nivelment unilateral sprijinit la capete pe puncte de cote cunoscute (H_A și H_B), traseu care trece prin punctele rețelei de triangulație a căror cote dorim să le determinăm. Diferențele de nivel dintre puncte se calculează cu relații de forma (7.96), iar neînchiderea pe cote se stabilește cu:

$$W_h = [\Delta h_{ij}]_A^B - (H_B - H_A) < T \quad (7.101)$$

unde:

$$T = 0.20 \sqrt{[d_{ij}]_A^B} \quad [m] \quad (7.102)$$

în care : distanțele se exprimă în „km”, iar toleranța în „m”,

Corecția de neînchidere unitară se calculează cu relația:

$$C_h^0 = -\frac{W_h}{[d_{ij}]_A^B} \quad (7.103)$$

Eroarea de neînchidere pe cote se repartizează diferențelor de nivel măsurate, proporțional cu distanțele dintre puncte denumite cu eroarea unitară, luată cu semn schimbat:

$$(\Delta h_{ij}) = \Delta h_{ij} + d_{ij} C_h^0 \quad (7.104)$$

unde:

(Δh_{ij}) - diferențele de nivel compensate;

Δh_{ij} - diferențele de nivel măsurate;

C_h^0 - corecția unitară ;

d_{ij} - distanțele aferente diferențelor de nivel măsurate.

Cu diferențele de nivel compensate se calculează cotele

definitive ale punctelor:

$$H_j = H_A + [(\Delta h_{ij})]_A^j \quad (7.105)$$

Cu referire la precizia cotelor, obținute prin nivelment trigonometric, trebuie reamintit că, datorită ipotezelor simplificatoare introduse în modelul funcțional stochastic, aceasta este mai mică decât în cazul nivelmentului geometric geodezic.

Metoda nivelmentului trigonometric geodezic este indicată în cazul determinării cotelor rețelelor de triangulație în regiunile de deal și munte.

ANEXE

RELATII MATEMATICE UTILIZATE FRECVENT IN GEODEZIE

I. Serii

Seriile au o mare importanță în calculele geodezice. Cu ajutorul lor, multe formule complexe se reduc la forme simple ce pot fi utilizate cu ușurință în calcule.

Formulele inițiale pentru dezvoltarea în serie sunt:

Seria Taylor

$$f(x) = f(x_0 + h) = f(x_0) + \frac{h}{1!} f'(x_0) + \frac{h^2}{2!} f''(x_0) + \frac{h^3}{3!} f'''(x_0) + \dots \quad (I.1)$$

Seria Mac-Laurin

$$f(x) = f(0) + \frac{x}{1!} f'(0) + \frac{x^2}{2!} f''(0) + \frac{x^3}{3!} f'''(0) + \dots \quad (I.2)$$

în care: $f(0)$, $f'(0)$, $f''(0)$... sunt valorile funcțiilor $f(x)$, $f'(x)$, $f''(x)$... pentru cazul $x=0$.

Formulele (I.1) și (I.2) pot fi folosite cu condiția ca funcția $f(x)$ și toate derivatele succesive să fie finite și continue pentru toate valorile variabile în intervalul discutat.

Folosind formulele Mac – Laurin și Taylor obținem următoarele serii particulare care sunt folosite pe larg în geodezia superioară:

Serii trigonometrice

$$\sin(x_0 + h) = \sin x_0 + h \cos x_0 - \frac{h^2}{2} \sin x_0 - \frac{h^3}{6} \cos x_0 + \dots$$

$$\cos(x_0 + h) = \cos x_0 - h \sin x_0 - \frac{h^2}{2} \cos x_0 + \frac{h^3}{6} \sin x_0 + \dots$$

$$\operatorname{tg}(x_0 + h) = \operatorname{tg} x_0 + h \frac{1}{\cos^2 x_0} + h^2 \frac{\sin x_0}{\cos^3 x_0} + \frac{h^3}{3} \frac{\cos^2 x_0 + 3 \sin^2 x_0}{\cos^4 x_0} + \dots$$

$$\operatorname{ctg}(x_0 + h) = \operatorname{ctg} x_0 - h \frac{1}{\sin^2 x_0} + h^2 \frac{\cos x_0}{\sin^3 x_0} - \frac{h^3}{3} \frac{\sin^2 x_0 + 3 \cos^2 x_0}{\sin^4 x_0} + \dots \quad (I.3)$$

Funcțiile trigonometrice ale unghiurilor mici

Dacă argumentul x este exprimat în fracțiuni de rază, atunci:

$$\sin x = x - \frac{x^3}{6} + \frac{x^5}{120} - \dots$$

$$\cos x = 1 - \frac{x^2}{2} + \frac{x^4}{24} - \dots$$

$$\operatorname{tg} x = x + \frac{x^3}{3} + \frac{2x^5}{15} + \dots$$

$$\operatorname{ctgx} = \frac{1}{x} - \frac{x}{3} + \frac{x^3}{5} - \frac{2x^5}{945} - \dots \quad (\text{I.4})$$

$$\sec x = 1 + \frac{x^2}{2} + \frac{5x^4}{24} + \dots$$

$$\operatorname{cosec} x = \frac{1}{x} + \frac{x}{6} + \frac{7x^3}{360} + \dots$$

Dacă x este exprimat în secunde de arc, atunci avem:

$$\sin x'' = \frac{x''}{\rho''} - \frac{x''^3}{6\rho''^3} + \frac{x''^5}{120\rho''^5} - \dots$$

$$\cos x'' = 1 - \frac{x''^2}{2\rho''^2} + \frac{x''^4}{24\rho''^4} - \dots \quad (\text{I.5})$$

$$\operatorname{tg} x'' = \frac{x''}{\rho''} + \frac{x''^3}{3\rho''^3} + \frac{2x''^5}{15\rho''^5} + \dots$$

Descompunerea binomului $(1+x)^m$ ($|x| < 1$)

$$(1+x)^m = 1 + mx + \frac{m(m-1)}{1 \cdot 2} x^2 + \frac{m(m-1)(m-2)}{1 \cdot 2 \cdot 3} x^3 + \dots + \frac{m(m-1) \dots (m-n+1)}{1 \cdot 2 \cdot 3 \cdot \dots \cdot n} x^n \quad (\text{I.6})$$

Dând lui " m " diferite valori, obținem:

$$\frac{1}{1+x} = 1 - x + x^2 - x^3 + x^4 - \dots$$

$$\sqrt{1+x} = 1 + \frac{1}{2}x - \frac{1}{8}x^2 + \frac{1}{16}x^3 - \frac{5}{128}x^4 + \dots$$

$$\frac{1}{\sqrt{1+x}} = 1 - \frac{1}{2}x + \frac{3}{8}x^2 - \frac{5}{16}x^3 + \frac{35}{128}x^4 - \dots$$

$$\frac{1}{(1+x)^2} = 1 - 2x + 3x^2 - 4x^3 + 5x^4 - \dots$$

$$\sqrt{1-x^2} = 1 - \frac{1}{2}x^2 - \frac{1}{8}x^4 - \frac{1}{16}x^6 - \dots \quad (\text{I.7})$$

$$\frac{1}{\sqrt{1-x^2}} = 1 + \frac{1}{2}x^2 + \frac{3}{8}x^4 + \frac{5}{16}x^6 + \dots$$

Seriile logaritmice ($|x| < 1$)

$$\ln(1 \pm x) = \pm x - \frac{1}{2}x^2 \pm \frac{1}{3}x^3 - \frac{1}{4}x^4 \pm \dots$$

$$\log(1 \pm x) = \mu \ln(1 \pm x) = \pm \mu x - \frac{\mu}{2}x^2 \pm \frac{\mu}{3}x^3 - \frac{\mu}{4}x^4 \pm \dots \quad (\text{I.8})$$

Diferențiala unei funcții de mai multe variabile scalare

$$df = \sum_{i=1}^n \frac{\partial f}{\partial x_i} dx_i \quad (\text{I.9})$$

unde:

$\frac{\partial f}{\partial x_i}$ - derivatele parțiale ale funcției $f(x_1, x_2, \dots, x_n)$;

dx_i , - diferențialele mărimilor scalare

În cazul când argumentele funcției sunt funcții de alte variabile independente $f(x_1(t), x_2(t) \dots x_n(t))$, atunci se poate defini derivata totală a funcției "f":

$$\frac{df}{dt} = \sum_{i=1}^n \frac{\partial f}{\partial x_i} \frac{dx_i}{dt} \quad (I.10)$$

În caz particular, pentru $z=f(x, y(x))$ se obține:

$$\frac{df}{dx} = \frac{\partial f}{\partial x} + \frac{\partial f}{\partial y} \frac{dy}{dx} \quad (I.11)$$

Operatorii diferențiali:

Operatorul Hamilton (operatorul gradient):

$$\nabla = \left(\frac{\partial}{\partial x_1}, \frac{\partial}{\partial x_2}, \dots, \frac{\partial}{\partial x_n} \right) = \left(\frac{\partial}{\partial x_i}, i=1, 2 \dots n \right) \quad (1.12)$$

Operatorul Laplace:

$$\Delta = \nabla^2 = \frac{\partial^2}{\partial x_1^2} + \frac{\partial^2}{\partial x_2^2} + \dots + \frac{\partial^2}{\partial x_n^2} = \sum_{i=1}^n \frac{\partial^2}{\partial x_i^2} \quad (1.13)$$

II. Formule din trigonometria sferică

A. Formule de bază ale trigonometriei sferice

Notatii:

A, B, C - unghiurile triunghiului sferic ABC din fig.II.1

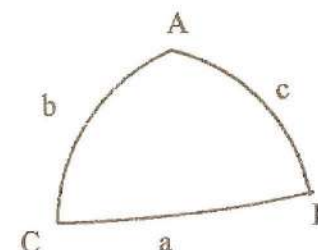


Fig.II.1 Triunghi sferic

a, b, c - laturile triunghiului sferic ABC opuse unghiurilor A, B, C și exprimate în valori unghiulare.

1. *Formula sinusurilor*.- laturile triunghiurilor sferice sunt proporționale cu sinusurile unghiurilor opuse:

$$\frac{\sin a}{\sin A} = \frac{\sin b}{\sin B} = \frac{\sin c}{\sin C} \quad (II.1)$$

2. *Formula cosinusului unei laturi a triunghiului sferic*. Cosinusul unei laturi a triunghiului sferic este egal cu produsul cosinusurilor celorlalte două laturi adunat cu produsul sinusurilor aceluiași laturi și a cosinusului unghiului dintre ele.

$$\begin{aligned}\cos a &= \cos b \cos c + \sin b \sin c \cos A \\ \cos b &= \cos c \cos a + \sin c \sin a \cos B \\ \cos c &= \cos a \cos b + \sin a \sin b \cos C\end{aligned}\quad (\text{II.2})$$

3. *Formula cosinusului unui unghi al triunghiului sferic.* Cosinusul unui unghi al triunghiului sferic este egal cu produsul cosinusurilor celorlalte două unghiuri cu semn schimbat, adunat cu produsul sinusurilor aceluiași unghiuri și a cosinusul laturii dintre ele. (Formulele transformate polar ale formulelor II.2)

$$\begin{aligned}\cos A &= -\cos B \cos C + \sin B \sin C \cos a \\ \cos b &= -\cos C \cos A + \sin C \sin A \cos b \\ \cos c &= -\cos A \cos B + \sin A \sin B \cos c\end{aligned}\quad (\text{II.3})$$

4. *Formula produsului sinusului unei laturi cu cosinusul unghiului adiacent (formula celor cinci elemente).*

Produsul sinusului unei laturi cu cosinusul unghiului adiacent este egal cu produsul cosinusurilor laturii opuse acestui unghi prin sinusul celei de-a treia laturi, din care se scade produsul sinusului laturii opuse prin cosinusul celei de-a treia și cu cosinusul unghiului dintre ele:

$$\begin{aligned}\sin a \cos B &= \cos b \sin c - \sin b \cos c \cos A \\ \sin a \cos C &= \cos c \sin b - \sin c \cos b \cos A \\ \sin b \cos C &= \cos c \sin a - \sin c \cos a \cos B\end{aligned}$$

$$\sin b \cos A = \cos a \sin c - \sin a \cos c \cos B \quad (\text{II.4})$$

$$\sin c \cos A = \cos a \sin b - \sin a \cos b \cos C$$

$$\sin c \cos B = \cos b \sin a - \sin b \cos a \cos C$$

5. *Formula produsului sinusului unghiului cu cosinusul unei laturi adiacente.* Produsul sinusului unui unghi prin cosinusul laturii adiacente, este egal cu produsul cosinusului opus acelei laturi prin sinusul celui de-al treilea unghi, adunat cu produsul sinusului unghiului opus cu cosinusul celui de-al treilea unghi și cu cosinusul laturii dintre ele. (Transformatele polare ale formulelor II.4).

$$\sin A \cos b = \cos B \sin C + \sin B \cos C \cos a$$

$$\sin A \cos c = \cos C \sin B + \sin C \cos B \cos a$$

$$\sin B \cos c = \cos C \sin A + \sin C \cos A \cos b$$

$$\sin B \cos a = \cos A \sin C + \sin A \cos C \cos b \quad (\text{II.5})$$

$$\sin C \cos a = \cos A \sin B + \sin A \cos B \cos c$$

$$\sin C \cos b = \cos B \sin A + \sin B \cos A \cos c$$

6. *Formula cotangentelor (formula celor patru elemente alăturate).*

Produsul cotangentei unei laturi prin sinusul laturii alăturate este egal cu produsul dintre cosinusul celei de-a doua laturi prin cosinusul unghiului

cuprins între ele, adunat cu produsul dintre sinusul aceluiași unghi și cotangenta unghiului opus primei laturi.

$$\operatorname{ctg} a \sin b = \cos b \cos C + \sin C \operatorname{ctg} A$$

$$\operatorname{ctg} a \sin c = \cos c \cos B + \sin B \operatorname{ctg} A$$

$$\operatorname{ctg} b \sin c = \cos c \cos A + \sin A \operatorname{ctg} B \quad (\text{II.6})$$

$$\operatorname{ctg} b \sin a = \cos a \cos C + \sin C \operatorname{ctg} B$$

$$\operatorname{ctg} c \sin a = \cos a \cos B + \sin B \operatorname{ctg} C$$

$$\operatorname{ctg} c \sin b = \cos b \cos A + \sin A \operatorname{ctg} C$$

B. Reguli pentru rezolvarea unui triunghi sferic dreptunghic.

Fie un triunghi sferic ABC, fig. II 2, în care unghiul $A=90^\circ$, iar latura „a” este ipotenuza.

La rezolvarea acestui triunghi vom conveni:

- În locul catetelor „b” și „c” vom considera în calcule complementele lor până la 90° , adică $90^\circ-b$ și $90^\circ-c$.
- Unghiul drept „A” nu-l vom lua în considerare.

Atunci, triunghiurile dreptunghiulare pot fi rezolvate după următoarele reguli:

- Cosinusul unui element din triunghiul sferic dreptunghic este egal cu produsul sinusurilor elementelor opuse.* În conformitate cu această regulă vom avea:

$$\cos a = \cos b \cos c$$

$$\cos B = \cos b \sin C$$

$$\cos C = \cos c \sin B \quad (\text{II.7})$$

$$\sin b = \sin a \sin B$$

$$\sin c = \sin a \sin C$$

2. Cosinusul unui element este egal cu produsul cotangentelor elementelor alăturate. Pe baza acestei reguli vom avea:

$$\cos a = \operatorname{ctg} B \operatorname{ctg} C$$

$$\cos B = \operatorname{ctg} a \operatorname{tg} c$$

$$\cos C = \operatorname{ctg} a \operatorname{ctg} b \quad (\text{II.8})$$

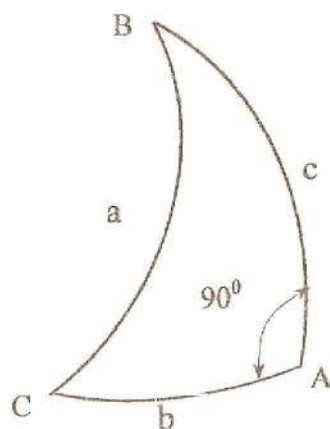
$$\sin b = \operatorname{tg} c \operatorname{ctg} C$$

$$\sin c = \operatorname{tg} b \operatorname{ctg} B$$

C. Formulele pentru rezolvarea triunghiurilor sferice cu unghiuri ascuțite

Pentru rezolvarea triunghiurilor sferice cu unghiuri ascuțite, pe lângă formulele de bază arătate mai sus, se mai folosesc în anumite cazuri și următoarele formule:

- Formulele în funcție de semiperimetru.*



$$\sin \frac{A}{2} = \sqrt{\frac{\sin(p-b)\sin(p-c)}{\sin b \sin c}}$$

$$\sin \frac{B}{2} = \sqrt{\frac{\sin(p-c)\sin(p-a)}{\sin c \sin a}} \quad (\text{II.9})$$

$$\sin \frac{C}{2} = \sqrt{\frac{\sin(p-a)\sin(p-b)}{\sin a \sin b}}$$

$$\cos \frac{B}{2} = \sqrt{\frac{\sin p \sin(p-b)}{\sin c \sin a}}$$

$$\cos \frac{C}{2} = \sqrt{\frac{\sin p \sin(p-c)}{\sin a \sin b}}$$

$$\operatorname{tg} \frac{A}{2} = \frac{m}{\sin(p-a)}$$

$$\operatorname{tg} \frac{B}{2} = \frac{m}{\sin(p-b)}$$

$$\operatorname{tg} \frac{C}{2} = \frac{m}{\sin(p-c)}$$

unde :

$$m = \sqrt{\frac{\sin(p-a)\sin(p-b)\sin(p-c)}{\sin p}}$$

1. Teorema tangentelor

$$\frac{\operatorname{tg} \frac{a-b}{2}}{\operatorname{tg} \frac{a+b}{2}} = \frac{\operatorname{tg} \frac{A-B}{2}}{\operatorname{tg} \frac{A+B}{2}} \quad (\text{II.10})$$

2. Formula sinusului jumătății excesului sferic

$$\sin \frac{\epsilon}{2} = \frac{\sqrt{\sin p \sin(p-a)\sin(p-b)\sin(p-c)}}{2 \cos \frac{a}{2} \cos \frac{b}{2} \cos \frac{c}{2}} \quad (\text{II.11})$$

3. Formulele sinusului și cosinusului semisumei și semidiferenței unghiului triunghiului sferic:

$$\begin{aligned}\sin \frac{A+B}{2} &= \frac{\cos \frac{a-b}{2}}{\cos \frac{c}{2}} \cos \frac{C}{2} \\ \sin \frac{A-B}{2} &= \frac{\sin \frac{a-b}{2}}{\sin \frac{c}{2}} \cos \frac{C}{2} \\ \cos \frac{A+B}{2} &= \frac{\cos \frac{a+b}{2}}{\cos \frac{c}{2}} \sin \frac{C}{2}\end{aligned}\quad (\text{II.12})$$

$$\cos \frac{A-B}{2} = \frac{\sin \frac{a+b}{2}}{\sin \frac{c}{2}} \sin \frac{C}{2}$$

4. Analogiile lui Nepper:

$$\begin{aligned}\operatorname{tg} \frac{A+B}{2} &= \frac{\cos \frac{a-b}{2}}{\cos \frac{a+b}{2}} \operatorname{ctg} \frac{C}{2} \\ \operatorname{tg} \frac{A-B}{2} &= \frac{\sin \frac{a-b}{2}}{\sin \frac{a+b}{2}} \operatorname{ctg} \frac{C}{2}\end{aligned}\quad (\text{II.13})$$

$$\begin{aligned}\operatorname{tg} \frac{a+b}{2} &= \frac{\cos \frac{A-B}{2}}{\cos \frac{A+B}{2}} \operatorname{tg} \frac{c}{2} \\ \operatorname{tg} \frac{a-b}{2} &= \frac{\sin \frac{A-B}{2}}{\sin \frac{A+B}{2}} \operatorname{tg} \frac{c}{2}\end{aligned}$$

III NOTIUNI DE MATRICI

- **Matrice pătrată.** Matricea "A" este o matrice pătrată dacă numărul coloanelor este egal cu numărul liniilor și este egal cu dimensiunea matricei: $\dim(\operatorname{col} A) = \dim(\operatorname{lin} A) = \dim(A)$.
- **Matrice simetrică.** O matrice simetrică "S" este o matrice pătrată pentru care $s_{ij} = s_{ji}$ cu $i, j = 1, \dim "S"$, unde cu s_{ij} s-a notat un element al matricei aflat pe linia "i" și coloana "j".
- **Matrice antisimetrică.** Matricea "A" este antisimetrică dacă este o matrice pătrată pentru care $a_{ij} = -a_{ji}$ cu $i, j = 1, \dots, \dim "A"$ și $i \neq j$.
- **Matrice diagonală.** Matricea "A" este o matrice diagonală dacă ea este pătrată și dacă elementele ei îndeplinesc condiția $a_{ij} = 0$ pentru $i \neq j$.
- **Matrice unitate.** "I" este o matrice unitate dacă ea este o matrice diagonală pentru care $i_{ii} = 1$ pentru $i = 1, \dots, \dim "I"$.
- **Matricea superior (inferior) triunghiulară** este matricea pătrată pentru care toate elementele de deasupra (dedesubtul) diagonalei principale sunt egale cu zero.
- O **matrice pozitiv definită** "A" este o matrice pătrată pentru care forma pătratică $a^T A a$ este un număr pozitiv pentru orice

$a \neq 0$.

- O matrice ortogonală "A" este matricea reală pentru care toți vectorii coloană (linie) satisfac următoarele egalități:

$$a_i^T a_j = \begin{cases} 0 & \text{pentru } i \neq j \\ 1 & \text{pentru } i = j \end{cases} \quad (\text{III.1})$$

- Urma unei matrice pătrate este numărul care rezultă din adunarea elementelor de pe diagonala matricei:

$$\text{urma}(A) = \sum_{i=1}^{\dim(A)} a_{ii} \quad (\text{III.2})$$

Se poate arăta că pentru o matrice pozitiv definită "A" există relația: $a^T A a = \text{urma}(a a^T A)$ și că pentru două matrici "A" și "B" există relația $\text{urma}(AB) = \text{urma}(BA)$ dacă cele două produse există.

- **Determinantul unei matrice.** Fiecărei matrice pătrate îi este asociat un număr real numit *determinant*, notat $\det(A)$, ce poate fi obținut cu relația:

$$\det(A) = \prod a_{ii}^{(i-1)}; \quad a_{ii}^{(0)} = a_{ii} \text{ (suma celor } \dim(A) \text{ pivoți)} \quad (\text{III.3})$$

- **Matrice singulară.** O matrice "A" este nesingulară, dacă și numai dacă $\det(A) \neq 0$, în caz contrar ea fiind o matrice singulară. O matrice pozitiv definită este întotdeauna o matrice nesingulară.
- **Rangul unei matrice.** Rangul unei matrice $\text{rang}(A)$, este dat de numărul liniilor sau coloanelor liniar independente. Dacă pentru o matrice pătrată "A" rangul acestei matrice este mai mic decât dimensiunea ei atunci se spune că matricea "A" are

defect de rang, defectul fiind dat de relația: $d = \dim(A) - \text{rang}(A)$.

- **matrice cu defect de rang este o matrice singulară.**
- **Matrice inversă.** Dacă există matricea pătrată "B" astfel încât produsul dintre ea și o matrice pătrată nesingulară "A" să fie egal cu matricea unitate ($BA = I$) atunci ea se numește inversa matricei "A" și se notează cu A^{-1} .
- Orice matrice nesingulară pătrată are una și numai o singură inversă. Există totuși și pentru matrice pătrate singulare inverse de un anumit tip, numite inverse generalizate.
 - Inversa unei matrice simetrice este tot o matrice simetrică.
 - Inversa unei matrice diagonale nesingulare este tot o matrice diagonală, elementele acesteia fiind obținute prin inversarea elementelor de pe diagonala matricei inițiale: $(\text{diag}(a_i))^{-1} = \text{diag}(a_i^{-1})$.
 - Pentru o matrice pătrată ortogonală inversa este egală cu transpusa matricei: $R^{-1} = R^T$.
- **Transpusa unei matrice** Transpusa matricei "A", notată cu A^T , se obține din matricea inițială prin schimbarea liniilor în coloane, astfel că linia "i" din "A" devine coloana "j" din A^T .
- **Minorul.** Minorul elementului a_{ij} , al unei matrice pătrate de dimensiuni "n", este determinantul de ordinul n-1 atașat submatricei obținute prin eliminarea liniei "i" și coloanei "j".

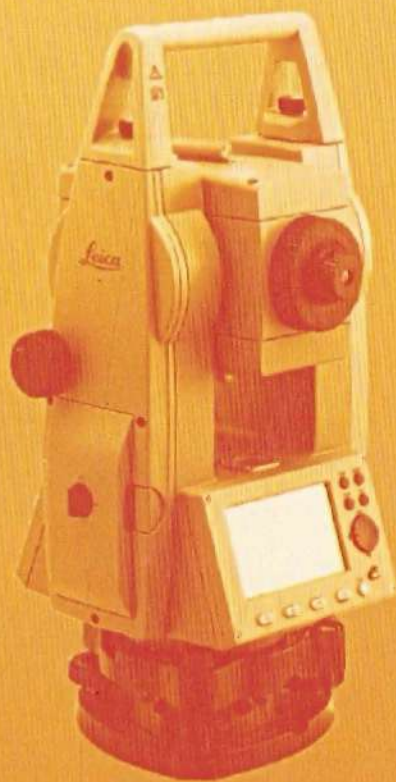
CUPRINS

Prefață.....	1
Introducere.....	3
1.GEODEZIA SPATIALA.....	6
1.1.Considerații generale.....	6
1.2.Elipsoizul de rotație.....	8
1.2.1.Scopul și importanța elipsoidului de referință.....	10
1.3.Sisteme de coordonate utilizate în geodezie.....	11
1.3.1.Sistemul de coordonate naturale.....	11
1.3.1.1.Sistemul cartezian geocentric.....	11
1.3.1.2.Sistemul astronomic local.....	13
1.3.2.Sistemul de coordonate convenționale.....	14
1.3.2.1.Sistemul global elipsoidal.....	14
1.3.2.2.Sistemul elipsoidal local.....	16
1.4.Parametri elipsoidului de referință.....	16
1.5.Ecuatiile parametrice ale elipsoidului de rotație.....	19
1.6.Razele principale de curbura.....	26
1.6.1.Raza de curbura a elipsei meridiene "M".....	27
1.6.2.Raza de curbura a primului vertical "N".....	30
1.6.3.Raza de curbura a unei secțiuni normale în funcție de azimut.....	32
1.6.4.Raza medie de curbura "R _m ".....	36
1.7.Lungimea arcului de meridian.....	39
1.8.Lungimea arcului de paralel.....	44
1.9.Secțiuni normale pe elipsoid.....	45
1.10.Linia geodezică.....	47
1.10.1.Poziția liniei geodezice față de secțiunile normale reciproce.....	48
1.10.2.Corecția de reducere la linia geodezică.....	50
1.11.Reducerea observațiilor geodezice pe suprafața elipsoidului de referință.....	52
1.11.1.Reducerea observațiilor azimutale.....	54
1.11.1.1.Corecția datorată altitudinii punctului vizat.....	54
1.11.1.2.Corecția datorată deviației verticale.....	56
1.11.2.Reducerea determinărilor astronomice pe elipsoidul de referință.....	59
1.11.2.1.Reducerea coordonatelor astronomice.....	59

1.11.2.2.Reducerea azimutelor astronomice.....	60
1.11.3.Reducerea observațiilor zenitale la normala la elipsoid.....	62
1.11.4.Reducerea distanțelor pe elipsoid.....	65
1.11.4.1.Reducerea bazelor geodezice măsurate cu firul de invar.....	65
4.2.Reducerea laturilor măsurate cu aparate electronice.....	67
1.11.5.Corecția de centrare și reducere.....	69
2.REZOLVAREA TRIUNGHURIILOR GEODEZICE PE SUPRAFATA ELIPSOIDULUI DE REFERINTA.....	72
2.1.Excesul sferic.....	73
2.2.Rezolvarea triunghiurilor sferice mici prin metoda Legendre.....	77
2.3.Rezolvarea triunghiurilor sferice mici, prin metoda Soldner.....	81
3.PROBLEME GEODEZICE DE BAZA.....	85
3.1.Scopul și importanța problemelor geodezice de bază.....	85
3.2.Precizia de calcul a coordonatelor geodezice.....	86
3.3.Rezolvarea problemei geodezice directe.....	87
3.3.1.Metoda dezvoltărilor în serie.....	87
3.3.2.Metoda înlocuirii suprafeței elipsoidului cu sfera Gauss.....	93
3.4.Rezolvarea problemei geodezice inverse.....	97
3.4.1.Metoda înlocuirii suprafeței elipsoidului cu sfera Gauss.....	97
4.RETELE GEODEZICE.....	101
4.1.Date geodezice fundamentale de referință.....	101
4.2.Clasificarea rețelelor de geodezie.....	109
4.3.Prelucrarea măsurătorilor geodezice.....	116
4.3.1.Măsurători indirecte.....	118
4.3.2.Măsurători indirecte de aceeași precizie.....	121
4.3.2.1.Stabilirea sistemului normal de ecuații.....	122
4.3.2.2.Calculul coeficienților ecuațiilor normale.....	123
4.3.2.3.Rezolvarea sistemului de ecuații normale prin metoda Gauss-Doolittle.....	126
4.3.2.4.Rezolvarea matriceală a sistemului ecuațiilor de erori.....	131
4.3.2.5.Exprimarea matriceală a coeficienților de pondere.....	134
4.3.3.Măsurători indirecte de precizii diferite.....	137
4.3.3.1.Metoda matriceală.....	144
4.3.4.Măsurători condiționate.....	147
4.3.4.1.Rezolvarea matriceală a măsurătorilor condiționate de aceeași precizie.....	154
4.3.4.2.Expresia matriceală a coeficienților de pondere.....	156
4.3.4.3.Coeфициntul de pondere al unei funcții de mărime.....

obținute prin măsurători condiționate.....	157
4.3.5.Măsurători condiționate de precizii diferite.....	159
4.3.5.1.Rezolvarea matriceală a măsurătorilor condiționate de precizii diferite.....	164
4.3.6.Măsurători indirecte supuse la condiții.....	168
4.3.6.1.Rezolvarea matriceală a măsurătorilor indirecte.....	supuse la condiții.....170
5.REZOLVAREA REȚELOR DE TRIANGULAȚIE PRIN.....	
METODA MASURATORILOR INDIRECTE.....	175
5.1.Considerații generale.....	175
5.2.Rezolvarea rețelor de triangulație prin metoda măsurătorilor.....	indirecte.....177
5.2.1.Scrierea ecuațiilor de corecții.....	178
5.2.2.Intersecția multiplă înainte.....	185
5.2.2.1.Scrierea sistemului ecuațiilor de corecții.....	186
5.2.2.2.Rezolvarea sistemului ecuațiilor de corecții.....	187
5.2.2.3.Transformarea sistemelor de ecuații în sisteme.....	echivalente (Regulile lui Schreiber).....188
5.2.2.4.Rezolvarea simplificată a sistemului a sistemului.....	ecuațiilor de erori.....192
5.2.3.Intersecția multiplă înapoi.....	197
5.2.4.Intersecții combinate.....	202
5.2.5.Controlul rezolvării rețelei geodezice și calculul preciziei.....	206
5.2.6.Exemple de calcul.....	208
6.REZOLVAREA REȚELOR DE TRIANGULAȚIE PRIN.....	
METODA MASURATORILOR CONDITIONATE.....	247
6.1.Considerații generale.....	247
6.2.Stabilirea numărului condițiilor geometrice în rețele fără.....	constrângeri (independente).....249
6.3.Stabilirea numărului condițiilor geometrice în rețele dependente sau.....	subordonate.....250
6.4.Forma condițiilor geometrice și a ecuațiilor de erori.....	252
6.5.Stabilirea condițiilor geometrice pentru rețele închise.....	273
6.6.Stabilirea ecuațiilor de erori pentru o rețea dependentă.....	274
6.7.Cazuri particulare de rețele de triangulație.....	279
6.7.1.Incadrarea unui punct staționabil într-un unghi fix.....	279
6.7.2.Incadrarea unui punct nestaționabil într-un unghi fix.....	282
6.7.3.Incadrarea unui punct într-un triunghi fix.....	283
6.7.4.Incadrarea unui lanț de triunghiuri într-un unghi fix.....	285
6.7.5.Incadrarea a două patrulatere într-un unghi fix.....	286

7.NIVELMENTUL GEOMETRIC.....	289
7.1.Sisteme de altitudini.....	289
7.1.1.Sistemul de altitudini dinamice.....	290
7.1.2.Sistemul de altitudini ortometrice.....	292
7.1.2.1.Neparalelismul suprafețelor de nivel.....	294
7.1.3.Sistemul de altitudini normale.....	301
7.1.4.Sisteme de altitudini elipsoidale.....	304
7.2.Nivelmentul geometric geodezic.....	305
7.2.1.Considerații generale.....	305
7.2.2.Compensarea rețelor de nivelment prin metoda.....	măsurătorilor condiționate.....308
7.2.3.Compensarea rețelor de nivelment prin metoda.....	măsurătorilor indirecte.....318
7.3.Nivelmentul trigonometric geodezic.....	324
7.3.1.Refracția atmosferică verticală.....	325
7.3.2.Nivelmentul trigonometric geodezic reciproc și simultan.....	329
7.3.3.Nivelmentul trigonometric geodezic unilateral.....	333
7.3.4.Metode de realizare a nivelmentului trigonometric.....	334
8.ANEXE.....	338
9.BIBLIOGRAFIE.....	354
10.CUPRINS.....	356



ISBN:
973-744-024-2
978-973-744-024-2